



Tension Test

Tension Test

اختبار شد

- * يستخدم لمعرفة الخواص الميكانيكية للمادة تحت تأثير أحمال شد.
- * to get the mechanical properties under applied tension loads.

بعض التعريفات . Some definitions

(1) stress (σ) ^{شج} الإجهاد .

وهو القوة المبذولة على وحدة المساحة .

$$\sigma = \frac{P \rightarrow \text{force}}{A \rightarrow \text{Area}} \quad \begin{matrix} \text{القوة} \\ \text{المساحة} \end{matrix}$$

(2) strength . مقاومة المادة .

وهو مقاومة المادة للكسر تحت تأثير الأحمال .

(3) strain (ϵ) الانفعال

وهو التشكل الذي يحدث في المادة تحت تأثير الأحمال .

(4) Ductility . المطيلية

-X-

هي قدرة المادة على إحداث أكبر تشكل للمادة قبل الكسر .

(5) Brittleness . القصفان

هي قدرة المادة على الكسر قبل حدوث تشكل للمادة .

(6) Elasticity . المرونة

-X-

هي قدرة المادة على استعادة أبعادها الأصلية بعد زوال الحمل .

(7) plasticity . اللدونة

قدرة المادة على الاحتفاظ بجزء من التشكل اللدني بعد زوال الحمل .

* Advantage of tension test . مميزات الاختبار الشد .

- ١- أسهل إجراء اختبارات ميكانيكية وأصغر .
- ٢- يستخدم كأساس لبيان خواص المواد المعدنية لدفعها لحدود عالية في تحمل الشد . (لذلك يجرى على المواد الحديدية وغير الحديدية)
- ٣- يستخدم للحكم في جودة المواد لما له من علاقة بالخواص الميكانيكية الشد .

* Types of test Specimen . أنواع عينات الاختبار

with respect to .
 بالنسبة لشكل .
 (1) W.r.t Shape

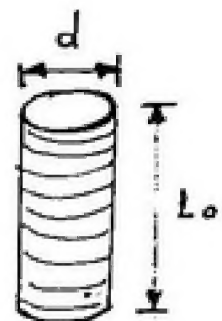


(2) W.r.t cross section .

(A) round specimen . العينات الدائرية .

$$L_0 = 5d \quad (\text{for short specimen})$$

$$L_0 = 10d \quad (\text{for Long specimen})$$

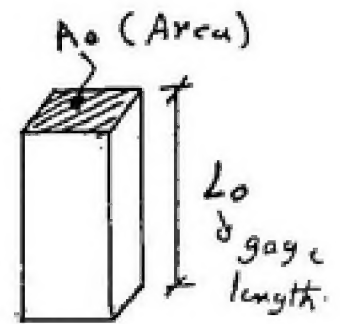


where :-
 d :- diameter of specimen . قطر العينة .
 L_0 :- gauge length . طول القياس .

(B) Rectangular & Square Specimen . العينات المربعة والمربعة .

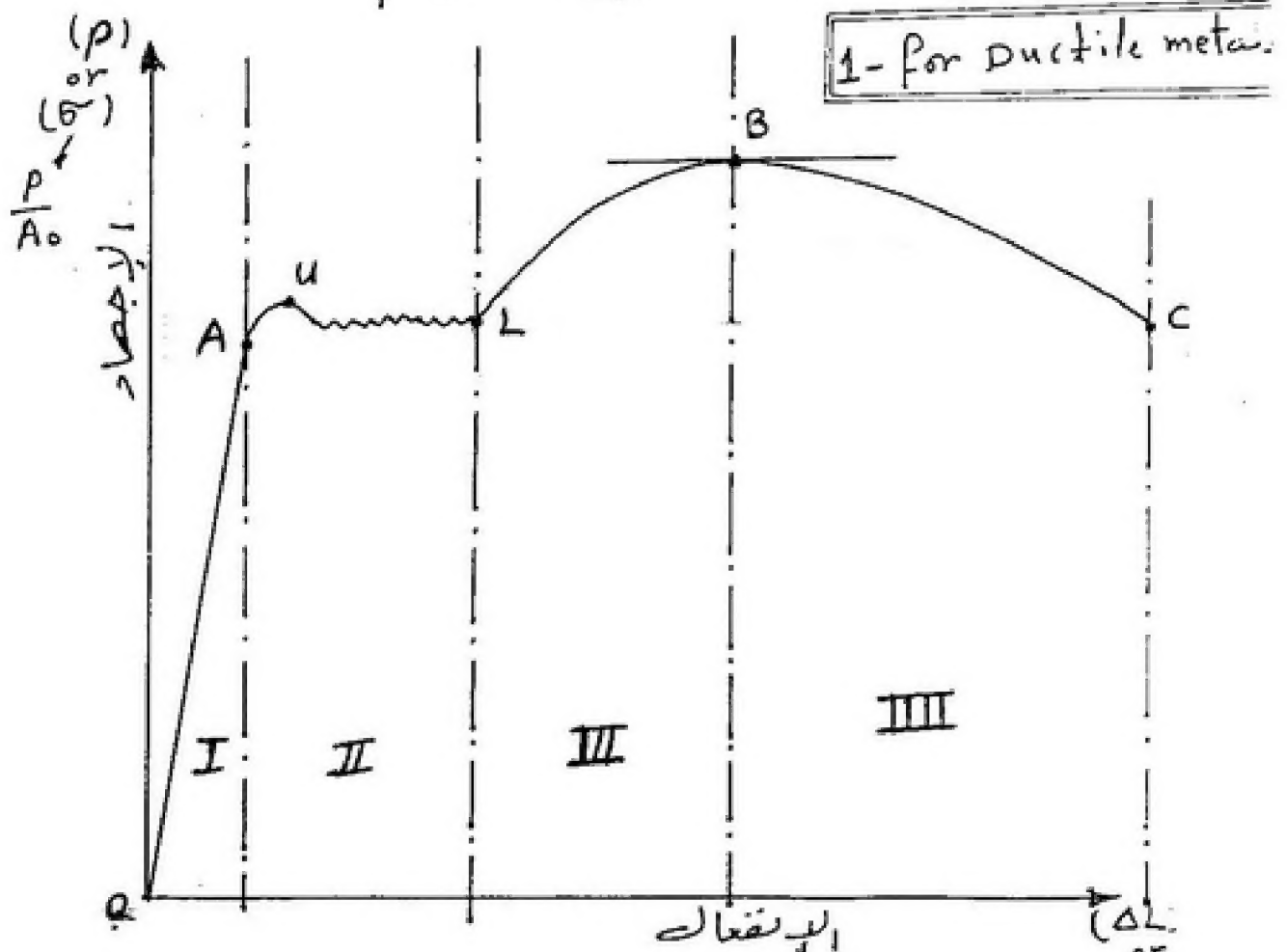
$$L_0 = 5.65 \sqrt{A_0} \rightarrow \text{short specimen.}$$

$$L_0 = 11.3 \sqrt{A_0} \rightarrow \text{Long specimen.}$$



I* Behavior of material under tension loads.

* سلوك المواد تحت تأثير أحمال شد .



ordinary nominal Engineering stress-strain curve for mild steel.

* stage (I) {elastic stage}

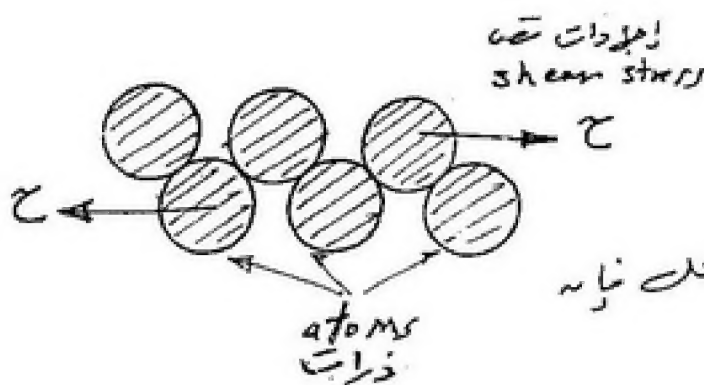
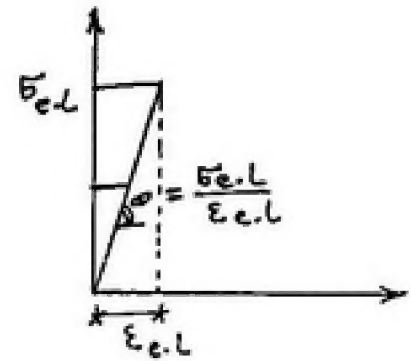
(O → A)

* في هذه المرحلة الإجهاد يتناسب مع الإرتفاع

$$\sigma \propto \epsilon \quad \text{و} \quad P \propto \Delta L$$

Where L_0 and A_0 are constant.

مرحلة المرنة .



* في هذه المرحلة ما زالت قوى التماسك أقوى من قوى الربط بين الذرات لذلك فإن الذرات تتحرك ولكن مكانها bond بينها حيث إذا تم إزالة الحمل فإن الذرات تعود لمكانها الأصلي .

Point (A) :- represent

(1) proportional limit
حد التناسب .

(2) elastic limit
حد المرونة .

(1) proportional limit stress

إجهاد حد التناسب
($\sigma_{e.L}$)

* هو أقصى إجهاد عندئذ تنص العلاقة الخطية بين الإجهاد والإرتفاع .

* The greater stress upto the relation between σ (stress) and ϵ (strain) is linear.

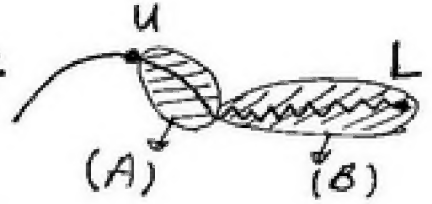
(2) elastic limit stress.

* هو أقصى إجهاد تستطيع عنده المادة أن تستعيد أبعادها الأصلية بعد زوال هذا الإجهاد .

* stage (II) { yield stage } مرحلة الخضوع

U → upper yield point نقطة الخضوع العليا

* ويوجد عندها إزاحة بلاستيكية حرة (free dislocation) .



L → Lower yield point نقطة الخضوع السفلى

* ويوجد عندها إزاحة بلاستيكية مرتبطة (move dislocation) .

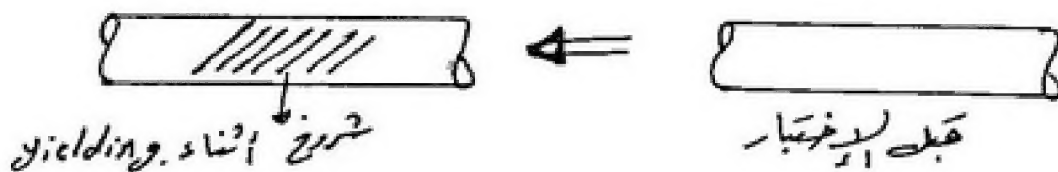
(move dislocation) through lattice .

* part (A)

خلال المرحلة (A) كسر الروابط بين الذرات مما سبب حدوث عدم اتزان. وأدى إلى حالة الكسح وزيادة الاستطالة

* part (B)

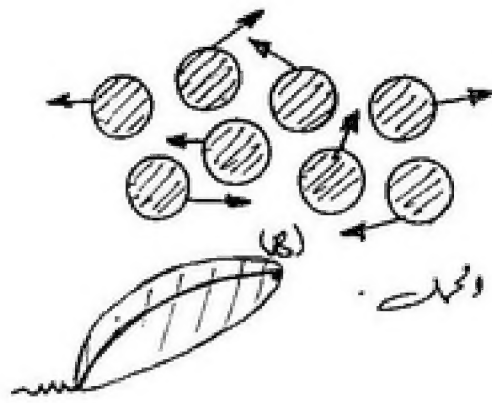
خلال المرحلة (B) تتحرك الإزاحة، إزاحات مختلفة ومحددة بشكل كبير مع ثبات الكسح. وتبدأ تكون شقوق على السطح، شكل مائل.



* تعتبر (Lower yield point) خاصية من خواص المادة التي تختلف باختلاف ظروف الإزاحة. بينما (upper yield point) تختلف باختلاف ظروف الإزاحة. ونزد نقطة (yield point) Lower yield point.

* Stage (III) { elastic - plastic stage } منطقة المرونة واللدونة

- strain hardening - سما هذه المنطقة بتصلد الـ انتقال .



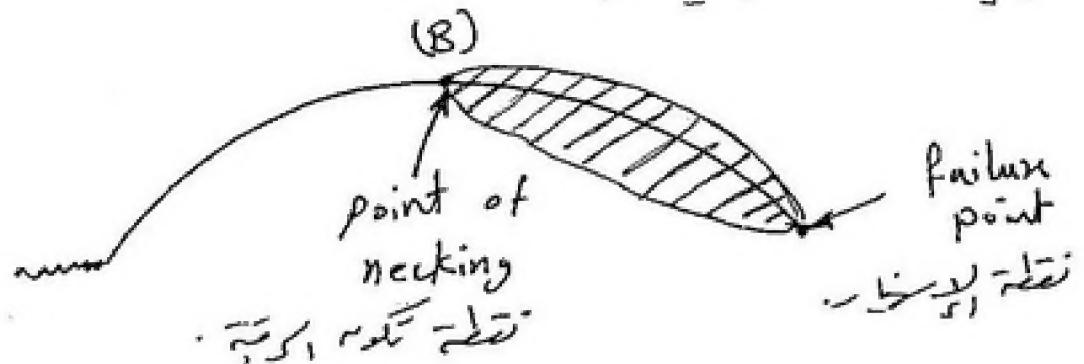
* يحدث تصادم بين الذرات مما يعود صلابته الـ انتقال (strain) وهو ما يساهم في تصد الـ انتقال فتعود الذرات، وزيادة قوة أخيراً مع زيادة التشكل بزيادة نسبة أكبر من زيادة التشكل.

* at (B) necking . الرقبة .

(1) * قبل هذه المرحلة (المنطقة) فإنها أن تتماص، فيقطع لتقابلها زيادة في الطول بحيث يظل الحجم ثابت .

(2) * بعد هذه المنطقة فإنها حيث استطالة كبيرة مع جزء صغير من قطع العينه ستكون هذه المنطقة من نقطة ضعف بعده .

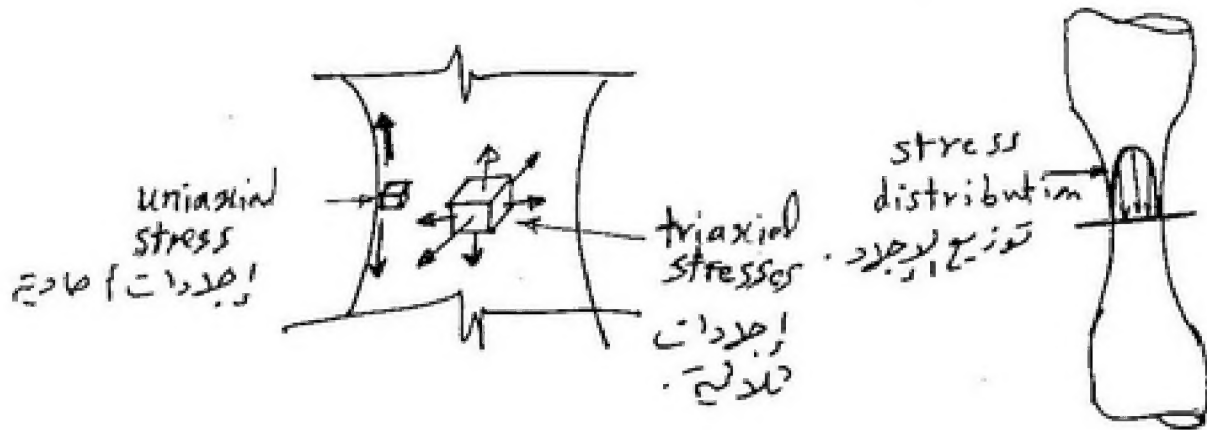
- هذا المنطقه (المنطقة) سامة منقطع العينه . لذلك لن يكون المثال أكبر من القوة المرضية عند المنطقة (B) لذلك يقل التشكل مع زيادة الـ استطالة حتى حيث انقطاع العينه .



* Failure occurs in two stages

البرساختار يحدث خلال مرحلتين .

① Separation انفصال



* نلاحظ أنه منطقة المنتصف بعد حدوث الإزاحة تكون معرضة

لإجهادات ثلاثية (Tri-axial stress) هنا أما منطقة

الطرف تكون معرضة فقط لإجهادات أحادية نلاحظ . وبالنسبة

عندما تصل الإجهادات إلى الحد الثلاثي أي نسبة أكبر من مقاومة

لما في يحدث البرساختار ويكون ارتفاعه داخل

② Shear failure انشطار قص

+ تزداد الإجهادات القص على الطرفين ويكون للعينتين

البرساختار للعينتين بالكامل وبالنسبة يكون سبب الانشطار هو

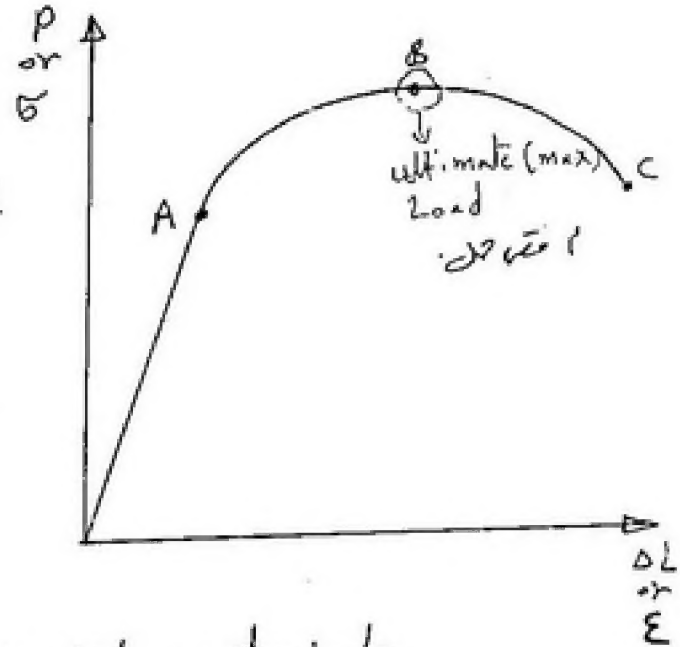
Cup and Cone Fracture
الكأس
والخروط



II * Behavior of semi-ductile metals.

* سلوك المواد (نصف مطيلية) تحت تأثير الشد.

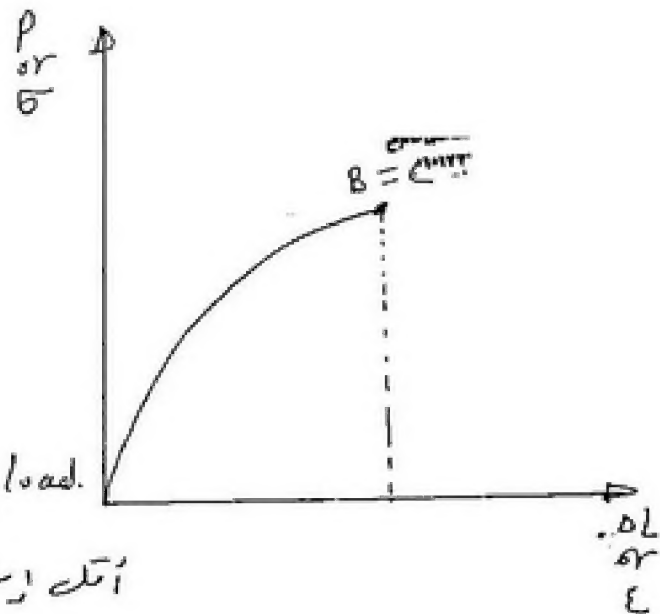
- ① no yield point
لا يوجد نقطة الخضوع
- ② High ultimate (max) load.
أقصى حمل يكون كبير
- ③ Lower elongation.
أقل استطالة عند المواد المطيلية.



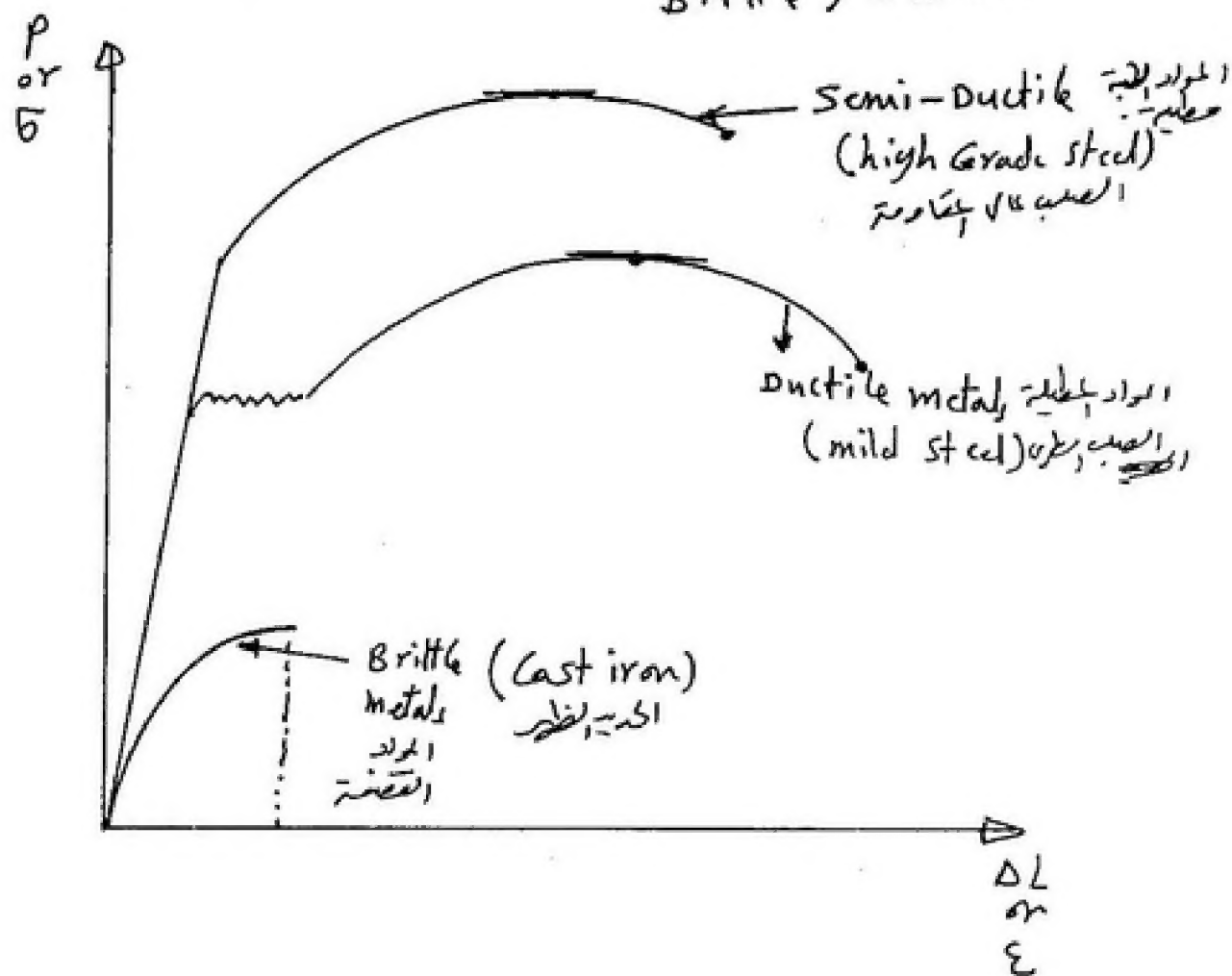
III * Behavior of Brittle materials.

* سلوك المواد الهشة تحت تأثير الشد.

- ① no necking.
لا يوجد ربة.
- ② no yield point
لا يوجد نقطة الخضوع
- ③ no elastic stage
لا يوجد منطقة مرونة
- ④ ultimate load = fracture load.
الحمل الأقصى = الحمل عند الكسر
- ⑤ lower elongation
أقل استطالة



Comparing between (Ductile - Semi Ductile - Brittle) metals.



* Mechanical properties of metals under Tension . الخواص الميكانيكية للمعادن تحت تأثير الشد .

A الإجهادات Stress

- 1 Proportional limit stress = elastic limit . الإجهاد الذي لا يتسبب في تشوه دائم .

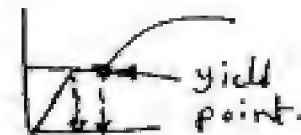
$$\sigma_{e.l} = \frac{P_{e.l}}{A_0}$$

← Load at elastic
← original Area

الحد الأقصى للإجهاد المرن .

- 2 Yield stress . الإجهاد المرن .

$$\sigma_y = \frac{P_y}{A_0}$$



النقطة التي يحدث عندها زيادة دائمة في استطاعة التحمل .

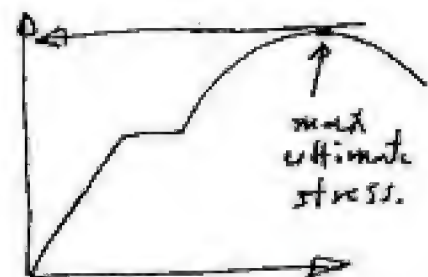
- 3 ultimate Tensile strength .

(max stress)

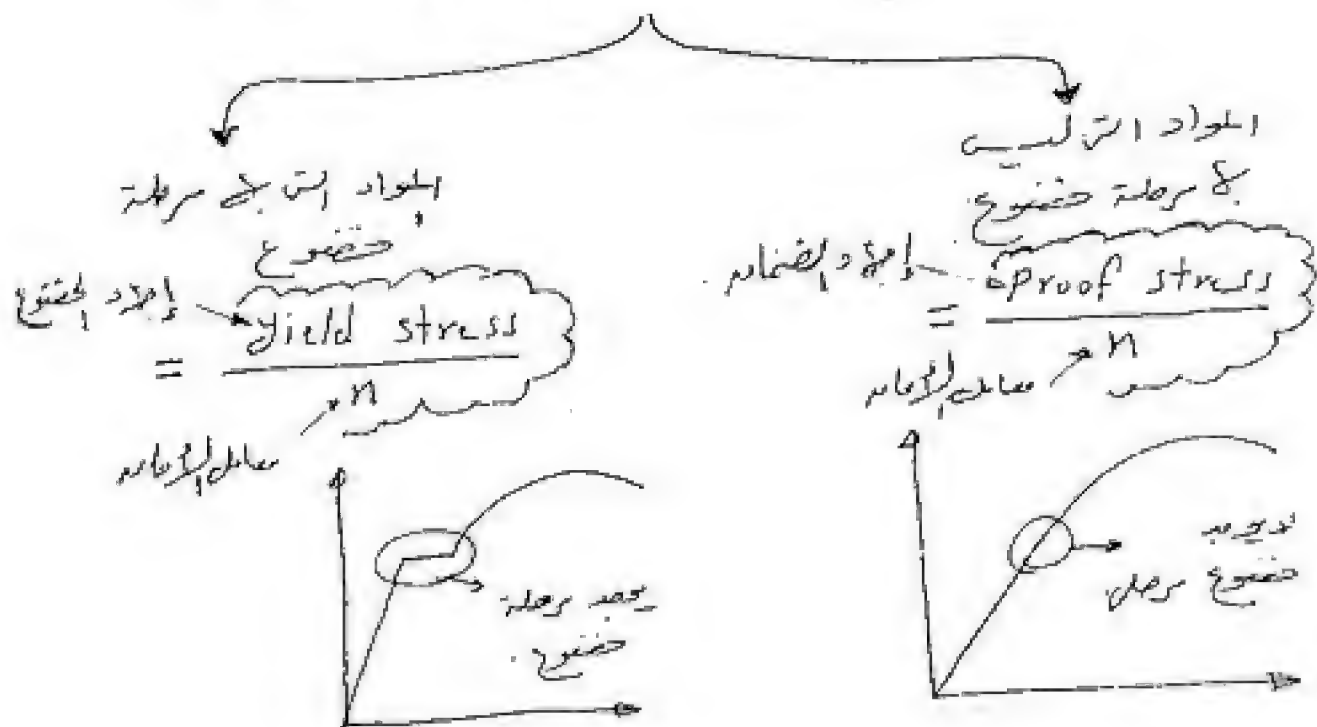
أقصى إجهاد

$$\sigma_{ult} = \frac{P_{ult}}{A_0}$$

(max)



3 working stress = Design stress =
Allowable stress =



4 proof stress =

* هو الإجهاد الذي يحدث في العينة استطالة الانضغاطية مساوية لنسبة محددة من طول العينة.
 * يحدث في العينات التي ليس في مرحلة الخضوع ويتم الاستبدال
 الجزء المخضع بالجزء المتناهي proof stress.

$$\sigma_{proof} = \frac{P_{proof}}{A_0}$$

* كيفية حساب proof stress

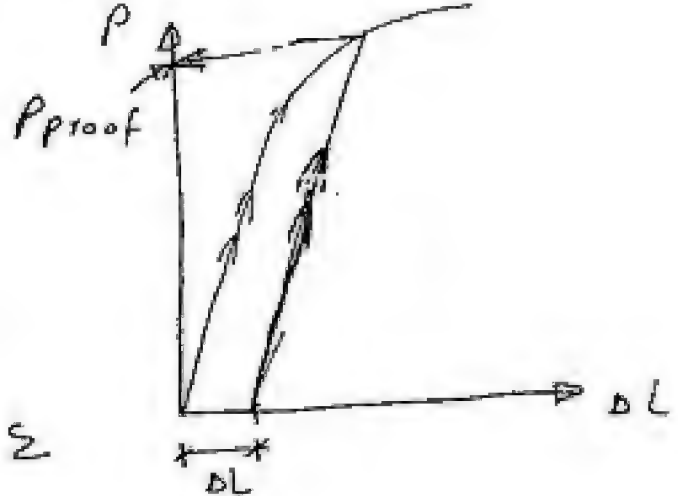
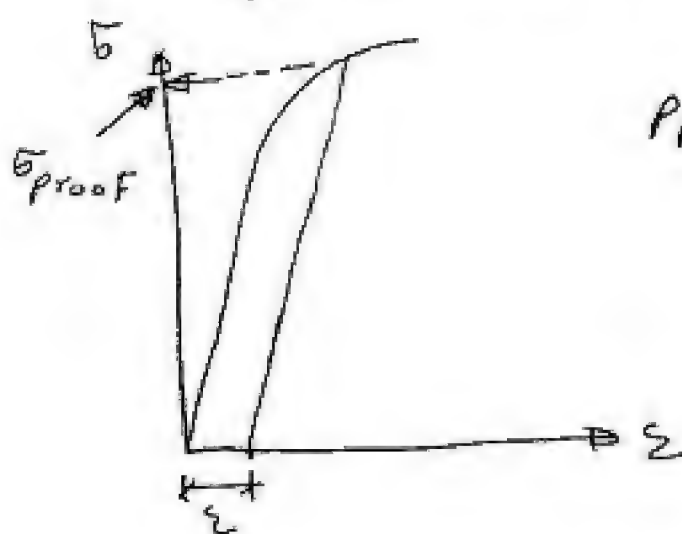
EX

get 0.1 % proof stress ← ماذا نقصد

نقصد أن $\epsilon = 0.1\%$ ← إلى ارتفاع الحساب

stress-strain Curve $\Rightarrow \epsilon = \frac{\Delta L}{L_0} \Rightarrow \Delta L = \frac{0.1}{100} \times L_0$

نوع الحمل المقابل له يكون هو (P_{proof})



5 Stiffness الصلابة

هي مقاومة المادة للشكل أو إلى استطالة المرن

* وتقاس سرعة المرونة (بمعايير المرونة)

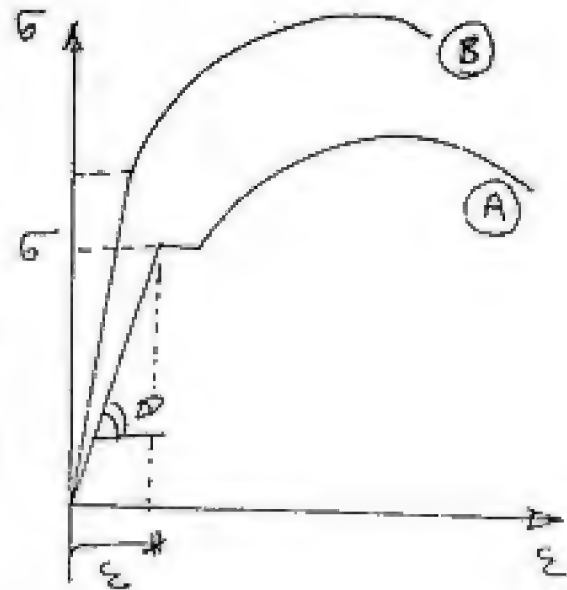
Modulus of elasticity = Young's Modulus
= "E"

$$E = \frac{\sigma}{\epsilon} = \frac{\text{stress}}{\text{strain}} = \tan \theta \leftarrow \begin{matrix} \text{ميل الخط} \\ \text{القصير} \end{matrix}$$

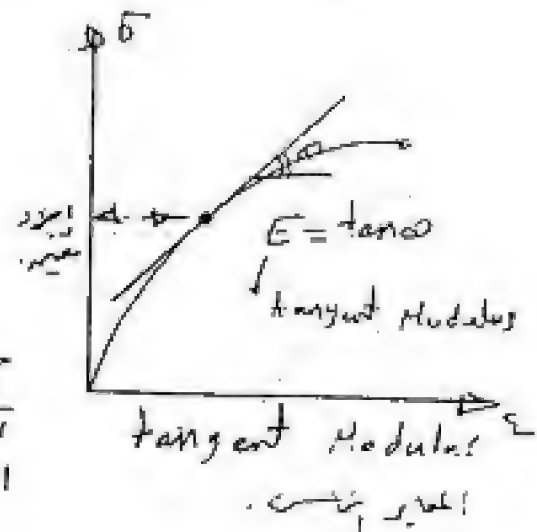
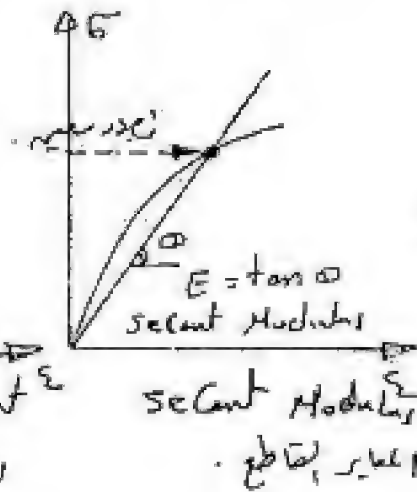
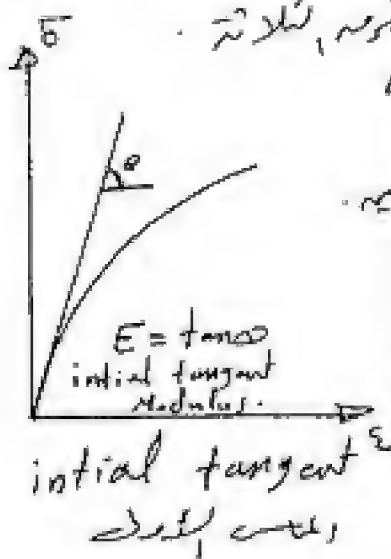
* نلاحظ من جتنا انه ميل
الخط (B) اكبر من جتنا (A)
وبالتالي يكون (E) لعينة B اكبر من
(E) لعينة (A)

$$E_B > E_A$$

$$\text{stiffness (B)} > \text{stiffness (A)}$$



* للخصائص التي لا توجد به سرعة بروتة . مثل (الخصائص)
تقاس بـ stiffness (E) بالوحدة نيوتن/متر مربع .

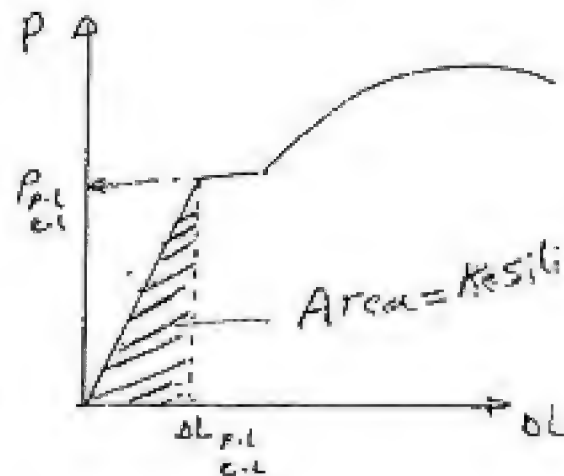


6 Resilience . المرونية .

* هي الطاقة التي تمتصها المادة في تعرضها لحالة إزاحة (إزاحة مرونية)

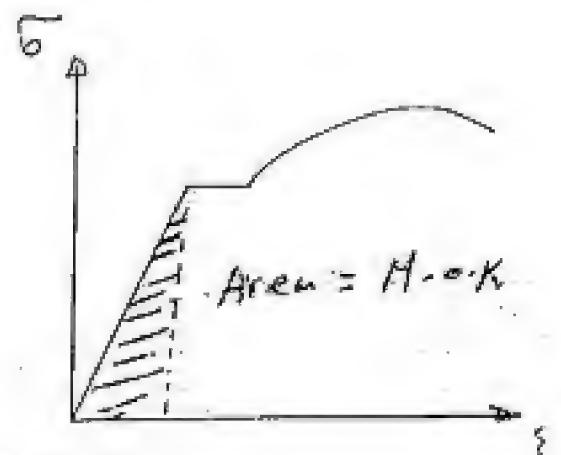
$$R = \frac{1}{2} * P_{p.L} * \Delta L_{p.L}$$

↓
المساحة تحت منحنى (P - ΔL)
تعرضة المرونية فقط



* Modulus of Resilience.

$$\begin{aligned} M.O.R &= \frac{R}{Volume} \\ &= \frac{\frac{1}{2} * P_{p.L} * \Delta L_{p.L}}{A_o * L_o} \\ &= \frac{1}{2} * \left(\frac{P_{p.L}}{A_o} \right) * \left(\frac{\Delta L_{p.L}}{L_o} \right) \end{aligned}$$



$$\Rightarrow M.O.R = \frac{1}{2} * \sigma_{p.L} * \epsilon_{p.L}$$

↓
المساحة تحت منحنى (σ - ε) في منطقة المرونية
* تعتبر (M.O.R) خاصية من خواص المادة لأنها ثابتة
(σ - ε) بينما لا تعتبر (R) خاصية .

7 Toughness المقاومة

القدرة على امتصاص الطاقة

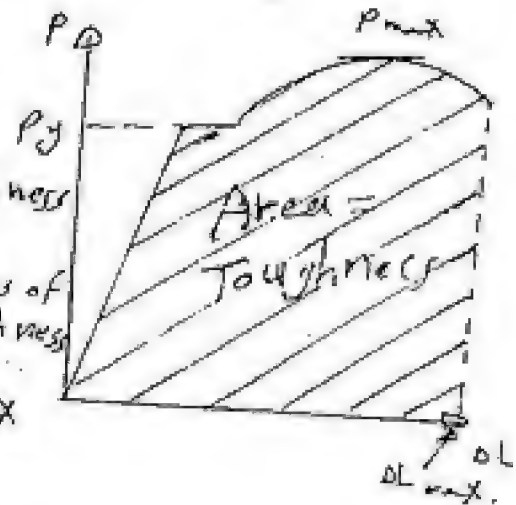
$T = \text{Total Area under } (P-\Delta L) \text{ Curve.}$

① بالقيمة الحقيقية التي هي منطقة الخضوع

$$T = \left(\frac{P_y + P_{max}}{2} \right) * \Delta L_{max}$$

$$M.O.T = M_T = \frac{T}{\text{Volume}} = \text{Modulus of Toughness}$$

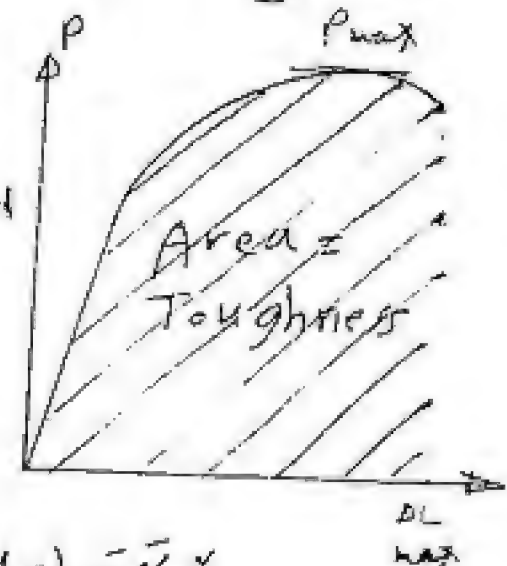
$$M_T = \left(\frac{\sigma_y + \sigma_{max}}{2} \right) * \epsilon_{max}$$



② بالقيمة الحقيقية التي هي منطقة الخضوع

$$T = \left(\frac{2}{3} * P_{max} \right) * \Delta L_{max}$$

$$M_T = \left(\frac{2}{3} * \sigma_{max} \right) * \epsilon_{max}$$



* القيمة (M_T) معيار المقاومة خاصة في المواد المتينة
T خاصة

9 Ductility المَطَوِيَّة

* خاصية تعبر عنه درجة امتداد المادة

* مقاييس المَطَوِيَّة

① النسبة المئوية للامتداد $\% \text{ elongation}$

② $\% \text{ Reduction of Area}$ النقصان في مساحة المقطع العرضي

① $\% \text{ elongation}$ ^{طول الفشل} failure length

$$\% \text{ elongation} = \frac{L_f - L_0}{L_0} \times 100 = \frac{\Delta L_{\max}}{L_0} \times 100 \%$$

If $\% \text{ elong.} \leq 5\% \rightarrow$ Brittle mat.

$\% \text{ elong.} (> 5\% < 15\%) \rightarrow$ Semi-ductile

$\% \text{ elong.} > 15\% \rightarrow$ Ductile mat.

② $\% \text{ Reduction in Area}$

$$\% \text{ reduction} = \frac{A_0 - A_f}{A_0} \times 100 \%$$

10 Poisson's Ratio (ν)

$$\mu = \frac{- \text{lateral strain}}{\text{longitudinal strain}} = \frac{- \Delta D / d_0}{\Delta L / L_0}$$

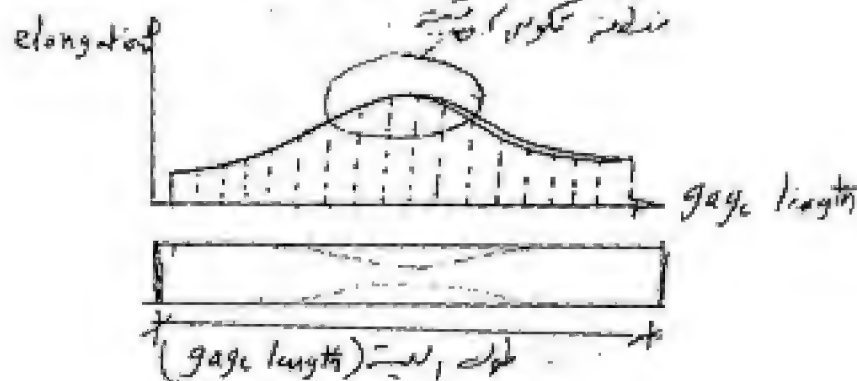
II Modulus of rigidity . مقياس الجساءة .

$$G = \frac{E}{2(1+\nu)}$$

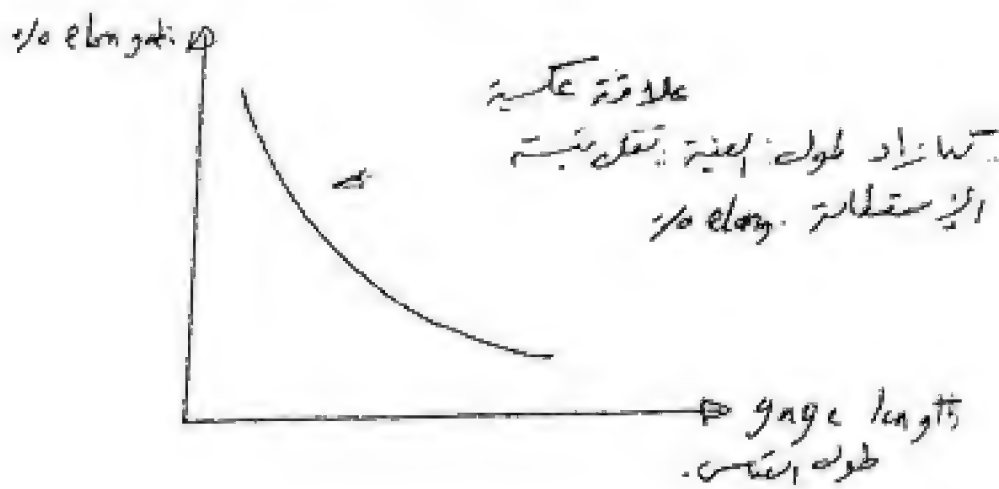
$E \leftarrow$ Young's Modulus
 $\nu \leftarrow$ poisson's ratio .

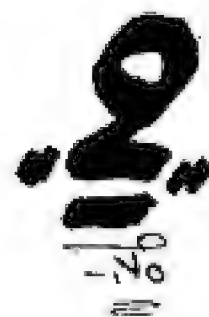
* Effect of gage length on:-

① elongation



② % elongation





Tension Test

Elongation equation معادلة الإزاحة

* elongation in tension الإزاحة تحت الشد
 الإزاحة تحت تأثير الشد
 تنقسم إلى مرحلتين :-

المرحلة الأولى Stage (I)

From 0 → initial necking

إزاحة منتظمة
 Uniform extension

$$\Delta L_1 \propto L_0$$

$$\therefore \Delta L_1 = b L_0 \rightarrow \textcircled{1}$$

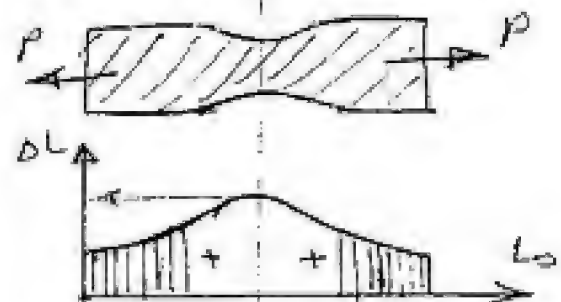
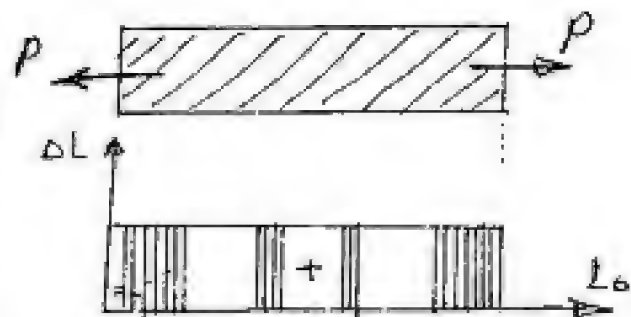
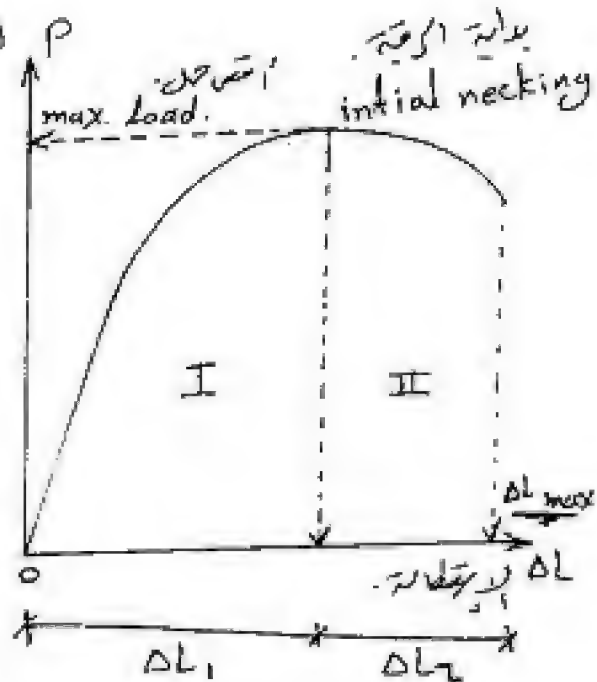
الإزاحة في المرحلة الأولى تكون منتظمة ومتناسب مع طول القياس L_0

المرحلة الثانية Stage II ⇒ after necking بعد بدء الإزاحة

Localized extension

$$\Delta L_2 \propto \sqrt{A_0}$$

$$\therefore \Delta L_2 = c \sqrt{A_0} \rightarrow \textcircled{2}$$



$$\therefore \Delta L_{total} = \Delta L_1 (\text{إستطالة مستطيلة}) + \Delta L_2 (\text{إستطالة إهليلجية})$$

$$\therefore \Delta L_t = b L_0 + c \sqrt{A_0}$$

↓ elongation eqn معادلة الإستطالة

where :-

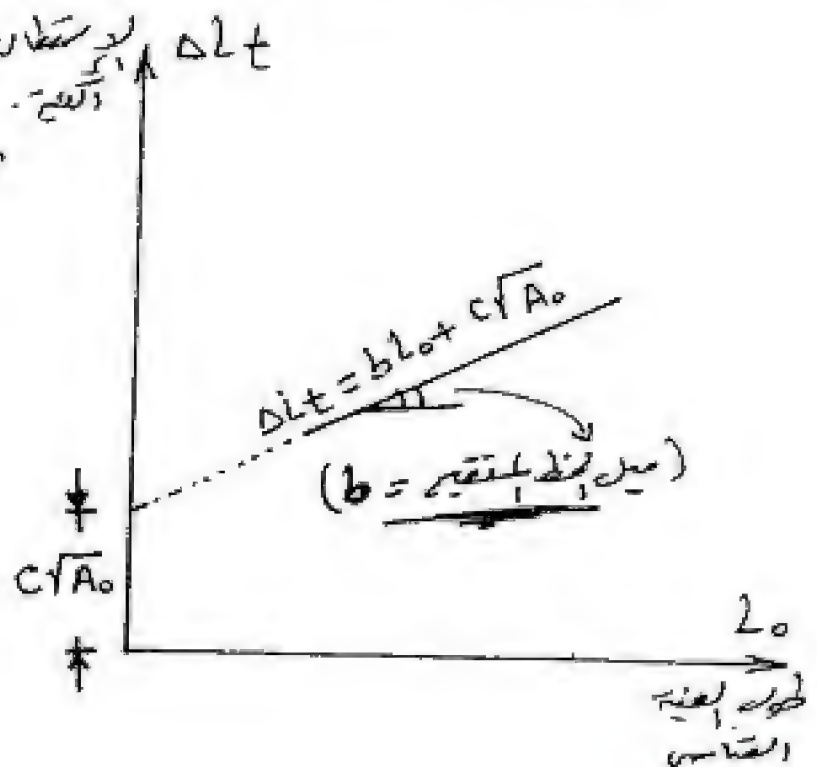
b, c are unwin's constant
ثوابت تعتمد على نوع المادة.

* لحساب (b, c) نأخذ مجموعة من شتيات الإستطالة
في أطوال (L_0) ونكتب كل نفس القطر (A_0) ثابت، ونؤيد
بملاحظة بين $(L_0, \Delta L_t)$

$$\Delta L_t = b L_0 + c \sqrt{A_0}$$

$c \sqrt{A_0} = \text{Constant}$ ثابت
مبارى الجزء المقطوع من
محور إحداثيات.

$b =$ ميل الخط المستقيم.



$$\therefore \Delta L = b L_0 + c \sqrt{A_0}$$

نقطة الخضوع
نسبة L_0

$$\left(\frac{\Delta L}{L_0}\right) = \left(b + \frac{c \sqrt{A_0}}{L_0}\right)$$

$$\left(\frac{\Delta L}{L_0} \times 100\%\right) = \left(b + \frac{c \sqrt{A_0}}{L_0}\right) \times 100\%$$



$$\% \text{ elongation} = \left(b + \frac{c \sqrt{A_0}}{L_0}\right) \times 100\%$$

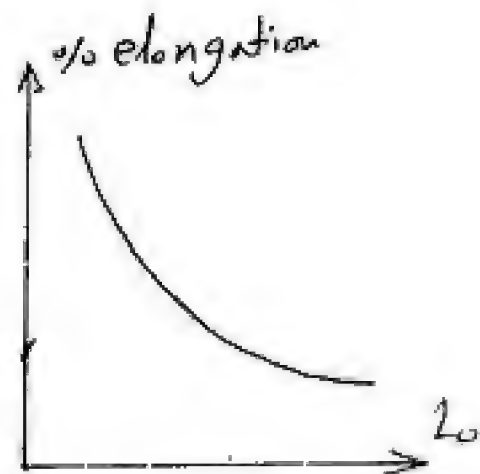
$$\therefore \% \text{ elongation} \propto \frac{1}{L_0}$$

طول العين

تعتبر Ductility مقلوبة.

as $L_0 \uparrow$ $\% \text{ elong.} \downarrow$

$L_0 \uparrow$ Ductility \downarrow



True Stress - True Strain

الإجهاد الحقيقي - الانفعال الحقيقي

* True Stress الإجهاد الحقيقي

$$\sigma_t = \frac{P_i}{A_i} \Rightarrow \begin{aligned} P_i &: \text{القوة عند لحظة معينة} \\ A_i &: \text{المساحة عند لحظة معينة} \end{aligned}$$

* True Strain الانفعال الحقيقي

$$\epsilon_t = \frac{\Delta l_i}{L_i} \Rightarrow \begin{aligned} \Delta l_i &: \text{الزيادة في الطول عند لحظة معينة} \\ L_i &: \text{الطول المقياس عند نفس اللحظة} \end{aligned}$$

before necking

قبل حدوث الرقبة
(up to necking)
صحة صيغة الانفعال

$$\sigma_t = \sigma_n (1 + \epsilon_n)$$

$$\epsilon_t = \ln(1 + \epsilon_n)$$

$$\sigma_n = \frac{P_i}{A_0} \quad \#$$

$$\epsilon_n = \frac{\Delta l_i}{L_0} \quad \#$$

after necking

بعد حدوث الرقبة

$$\sigma_t = \frac{P_i}{A_i}$$

$$\epsilon_t = 2 \ln \frac{d_0}{d_i}$$

وتستخدم هذه المعادلات للحقن
إذا وجد التغير في المساحة

* prove that :-

$$\bar{\sigma}_t = \bar{\sigma}_n (1 + \epsilon_n)$$

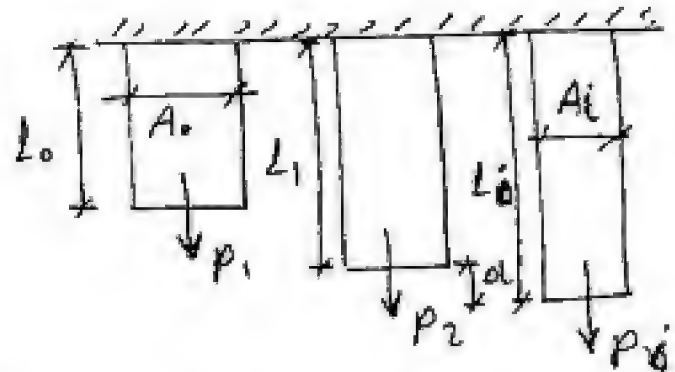
$$\epsilon_t = \ln(1 + \epsilon_n)$$

For constant volume

الحجم ثابت

$$A_0 L_0 = A_i L_i$$

$$A_i = \frac{A_0 L_0}{L_i} \quad \#$$



$$\therefore \bar{\sigma}_t = \frac{P_i}{A_i} = \frac{P_i}{\frac{A_0 L_0}{L_i}} = \frac{P_i L_i}{A_0 L_0} = \frac{P_i}{A_0} \times \frac{L_i}{L_0}$$

$$\bar{\sigma}_t = \frac{P_i}{A_0} \left(\frac{L_0 + \Delta L}{L_0} \right) = \bar{\sigma}_n \left(1 + \frac{\Delta L_i}{L_0} \right)$$

$$\therefore \bar{\sigma}_t = \bar{\sigma}_n (1 + \epsilon_n) \quad \#$$

$$\begin{aligned} \epsilon_t &= \frac{\Delta L_0}{L_0} + \frac{\Delta L_1}{L_1} + \dots + \frac{\Delta L_i}{L_i} \\ &= \sum_{L_0}^{L_i} \frac{\Delta L}{L} = \int_{L_0}^{L_i} \frac{dL}{L} = \ln L \Big|_{L_0}^{L_i} \\ &= \ln L_i - \ln L_0 = \ln \frac{L_i}{L_0} \quad \# \\ &= \ln \left(\frac{L_0 + \Delta L}{L_0} \right) = \ln \left(1 + \frac{\Delta L}{L_0} \right) \end{aligned}$$

$$\therefore \epsilon_t = \ln(1 + \epsilon_n) \quad \#$$

* True Stress - Strain diagram :-

① Stage (I)

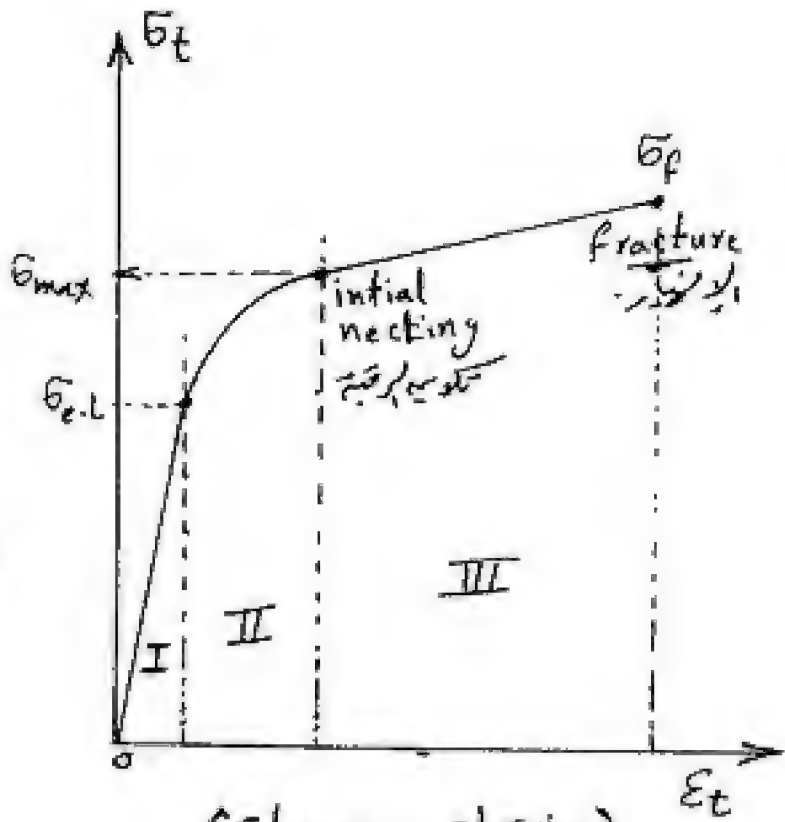
elastic stage مرحلة المرنة

start from 0 → $\sigma_{e.l}$

$\epsilon_t < \sigma_t$ علاقة خطية بين σ_t و ϵ_t

$$\sigma_t = E \epsilon_t$$

$$\sigma_t = \sigma_n < \epsilon_t = \epsilon_n$$



② Stage (II)

elastic-plastic stage

مرحلة المرنة - اللدونة

$\epsilon_t < \sigma_t$ علاقة أسية بين σ_t و ϵ_t

(Stress - strain) Curve

منحنى إجهاد - استطالة أسية

$$\sigma_t = b \epsilon_t^n$$

$$\sigma_t = \sigma_n (1 + \epsilon_n)$$

$$\epsilon_t = \ln(1 + \epsilon_n)$$

$(b < n)$ ثوابت تعتمد على نوع المادة

b :- strength coefficient

n :- strain hardening exponent.

③ Stage (III)

From initial necking → fracture
علاقة خطية

$$\sigma_t = K \epsilon_t + m$$

$(m < k)$ ثوابت تعتمد على نوع المادة

Fracture in tension

① for ductile materials (mild steel)

Cup and Cone Failure
استفراجه و انقباض

Due to Shear stresses
سبب الاجهاد القص



② for brittle materials (Cast iron)

Separation or tensile fracture
استفراجه او انفصال

بسبب مقاومة المواد في الاجهاد

Due to tension stresses
بسبب الاجهاد الشد



ملاحظة * مقاومة الشد في المواد الهشة أقل من المواد المطيعة.
* مقاومة الشد في المواد الهشة أكبر من المواد المطيعة.

* Effect of variables on tensile properties :-
تأثير المتغيرات على خواص الشد

① Test speed (rate) :- سرعة التحميل

as Test speed $\uparrow \Rightarrow \sigma_{ult} \uparrow$ & % elongation \downarrow
Ductility

② Temperature :- درجة الحرارة

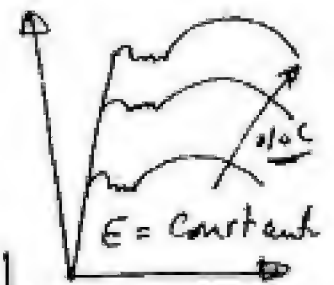
* for most metals as temp $\downarrow \sigma_{ult} \uparrow$ & Ductility \downarrow

③ Chemical Composition :- التركيب الكيميائي

as C (Carbon Content) \uparrow

Strength \uparrow & Ductility \downarrow

$E \leftarrow$ لا يتأثر بتغير نسبة الكربون



④ effect of Cold deformation

الشد بالبرودة

$\sigma_{ult} \uparrow$ & Ductility \downarrow



Sheet NO.3
(Tension Test)

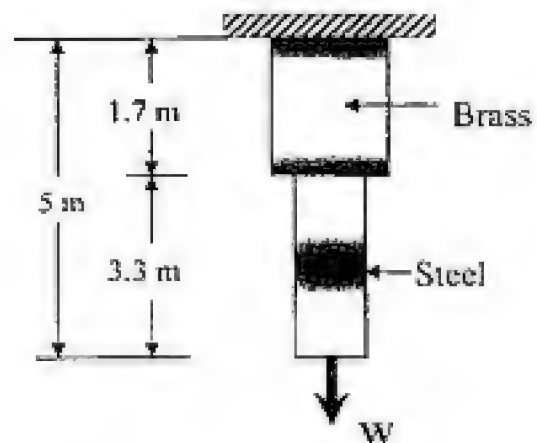
Problem (1):-

A bar of 5 m long is made up from two materials as shown in the figure. The first 1.7 m of its length is of brass and is 7.5 cm² in cross section and the remainder of its length is of steel and 6 cm² in cross section.

$$E_s = 2.1 \times 10^6 \text{ kg/cm}^2,$$

$$E_b = 1 \times 10^6 \text{ kg/cm}^2$$

Determine the load in kg required to produce a total elongation in the bar of 0.12 cm.



Given :

$$L_{\text{total}} = 5.0 \text{ m}$$

$$L_{\text{brass}} = 1.7 \text{ m}$$

$$L_{\text{steel}} = 3.3 \text{ m}$$

$$A_{\text{brass}} = 7.5 \text{ cm}^2$$

$$A_{\text{steel}} = 6 \text{ cm}^2$$

$$\Delta L_{\text{total}} = 0.12 \text{ cm}$$

Required:

The load w in kg

Solution

$$\Delta L = \frac{PL}{EA}$$

Where : ΔL , is the elongation الإ استطالة الحادثة بسبب الحمل
 P , is the load الحمل المسبب للإستطالة
 E , is the modulus of elasticity معامل المرونة
 A , is the cross section area مساحة مقطع العينة

$$\Delta L_T = \Delta L(\text{brass}) + \Delta L(\text{steel})$$

$$\Delta L_T = \frac{P_b L_b}{E_b A_b} + \frac{P_s L_s}{E_s A_s}$$

$$0.12 = \frac{W * (3.3 * 10^2)}{2.1 * 10^6 * 6} + \frac{W * (1.7 * 10^2)}{1 * 10^6 * 7.5}$$

$$0.12 = (0.485 * 10^{-4}) W$$

$$\underline{W=2456.5 \text{ kg}}$$

Problem (2):-

A 20 cm long steel tube 15 cm internal diameter and 1 cm thickness is surrounded closely by a brass tube of the same length and thickness. The tubes carry an axial load of 15 ton.

Estimate the load carried by each tube.

Given:

$$L_{\text{total}} = L_{\text{steel}} = L_{\text{brass}} = 20 \text{ cm}$$

$$D_{\text{internal (Brass)}} = 17 \text{ cm}$$

$$D_{\text{external (Brass)}} = 19 \text{ cm}$$

$$D_{\text{internal (Steel)}} = 15 \text{ cm}$$

$$D_{\text{external (Steel)}} = 17 \text{ cm}$$

Required:

The load P_{steel} , P_{brass}

Solution

$$P(\text{total}) = P(\text{brass}) + P(\text{steel})$$

$$P(\text{brass}) + P(\text{steel}) = 15(\text{ton}) \Rightarrow (1)$$

$$\Delta L(\text{steel}) = \Delta L(\text{brass})$$

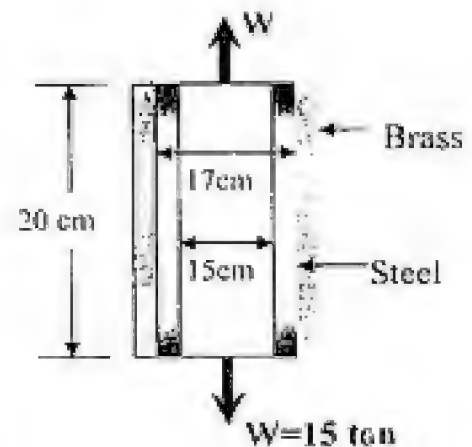
$$\frac{PL}{EA}(\text{steel}) = \frac{PL}{EA}(\text{brass})$$

$$\frac{P_{\text{steel}} L}{2.1 \times 10^6 \left[\frac{\pi}{4} * (17^2 - 15^2) \right]} = \frac{P_{\text{brass}} L}{1 \times 10^6 \left[\frac{\pi}{4} * (19^2 - 17^2) \right]} \Rightarrow \frac{P_{\text{steel}}}{2.1 * 64} = \frac{P_{\text{brass}}}{1 * 72}$$

$$7.44 * 10^{-3} P_{\text{steel}} = 13.8 * 10^{-3} P_{\text{brass}} \Rightarrow P_{\text{steel}} = 1.8668 P_{\text{brass}}$$

$$\Rightarrow \text{Substitute in (1)} \Rightarrow 1.8668 P_{\text{brass}} + P_{\text{brass}} = 15 * 10^3$$

$$P_{\text{brass}} = 5232.31(\text{kg}) \Rightarrow P_{\text{steel}} = 9767.69(\text{kg})$$



Problem (3):-

The tension test was carried out on mild steel specimen of 5 mm diameter and 20 cm gauge length. The gauge length was divided into 10 divisions. After rupture the lengths of those divisions were as follows:

Division No.	1	2	3	4	5	6	7	8	9	10
L_F , mm	24	24	25	29	23.5	23.5	23	23	22.5	22.5

- Illustrate the division which the rupture was occurred in.
- Draw the elongation distribution along the gauge length.
- Draw the relation between the elongation and gauge length.
- Determine the Unwin's constant (b&c).
- Draw the relation between the elongation % and the gauge length.

Given :

Mild steel specimen , Diameter (d) = 5 mm , Gauge length (L_0) = 20 cm
Gauge length divided into 10 division

Solution

i)

Rupture occurred in the division no. (4) Because it has the maximum elongation (Necking region).

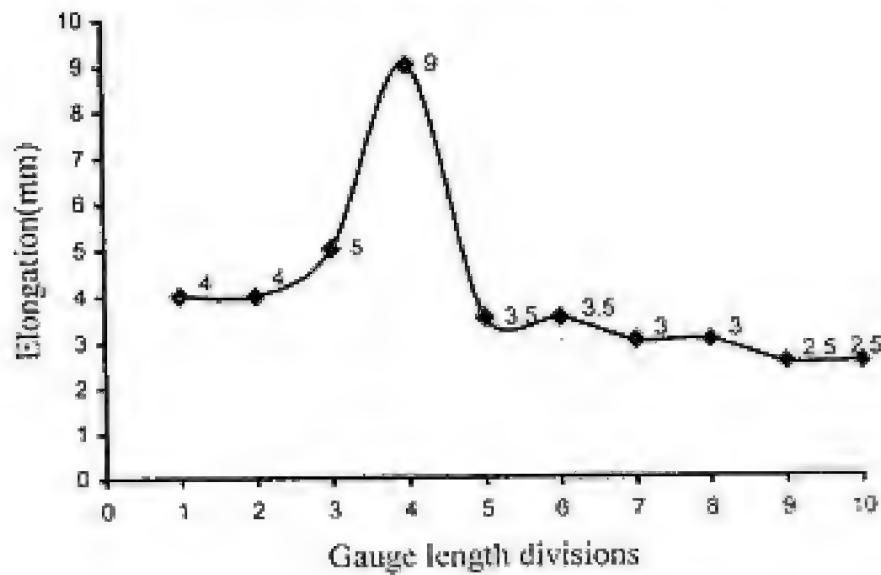
الكسر حدث في القسم رقم (4) لأن عنده أقصى قيمة استطالة (منطقة تكون الرقبة)

ii)

Division No.	1	2	3	4	5	6	7	8	9	10
L_F , mm	24	24	25	29	23.5	23.5	23	23	22.5	22.5
Elongation ΔL_F (mm)	4	4	5	9	3.5	3.5	3	3	2.5	2.5

(Elongation, ΔL_F) وهي الفرق بين الطول النهائي للقسم (L_F) وطول القسم
↓
(length of division) = $\frac{20\text{cm}(\text{gauge length})}{10(\text{No. of division})} = 20 \text{ mm}$

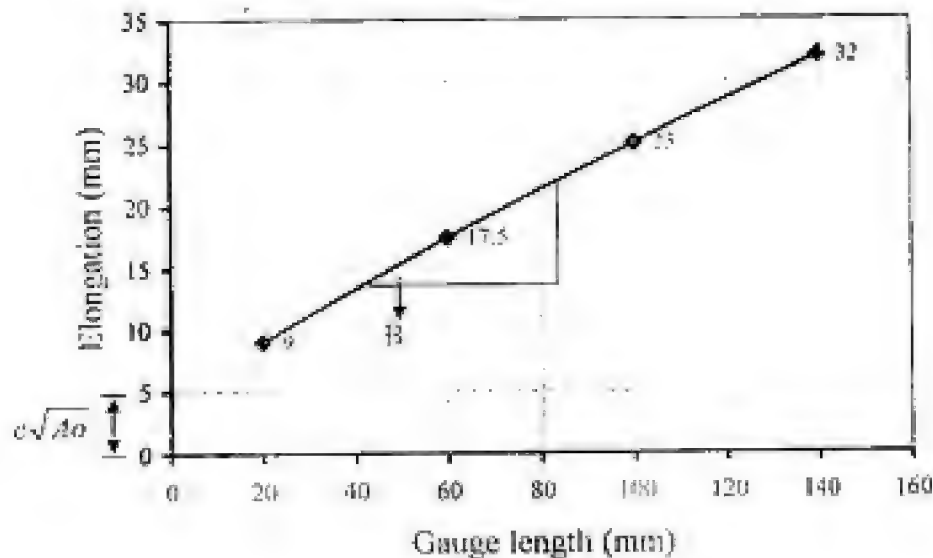
المطلوب هو رسم العلاقة بين الاستطالة (elongation) وأقسام العينة (gauge length divisions)



iii)

المطلوب رسم العلاقة بين الاستطالة (elongation) و طول القياس (gauge length)

Division No.	1	3,4,5	2,3,4,5,6	1,2,3,4,5,6,7
Gauge length (mm)	20	60	100	140
Elongation (mm)	9	17.5	25	32



Determination of unwin's constant {b, c}.

من المفحني السابق

$$c\sqrt{Ao} = 5mm$$

الجزء المقطوع من محور المصادات

$$c\sqrt{\frac{\pi}{4}(5)^2} = 5mm \Rightarrow \boxed{c = 0.7}$$

$$b = \text{slope (ميل الخط المستقيم)} = \frac{32 - 25}{140 - 100} = \frac{7}{40} \Rightarrow$$

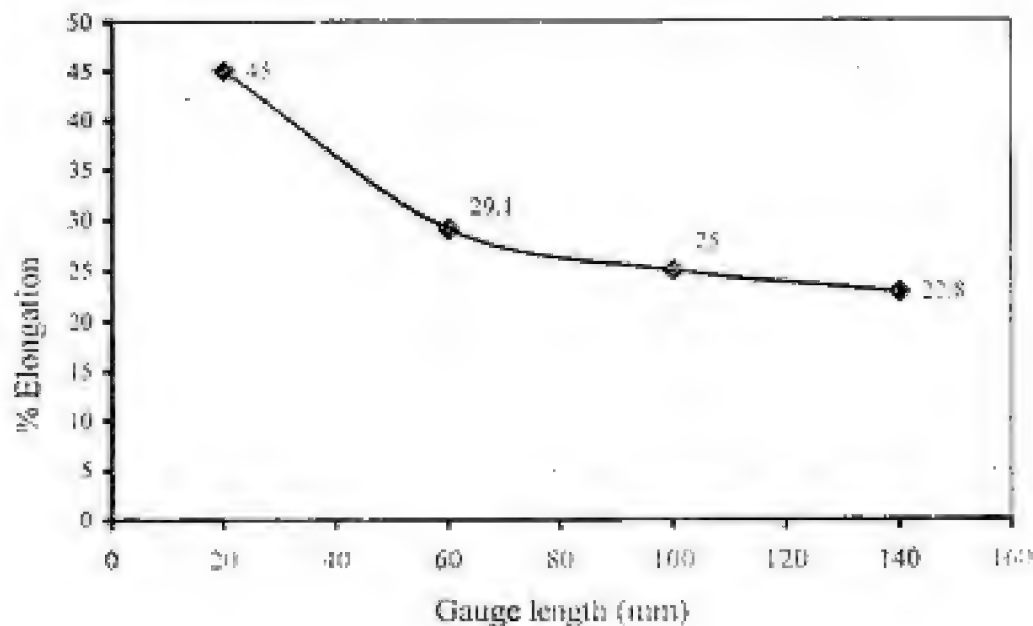
$$\boxed{b = 0.175}$$

v)

المطلوب رسم العلاقة بين الإمتالة (% elongation) و طول القياس (gauge length)

$$\% \text{ Elongation} = \frac{\text{elongation}}{\text{gauge_length}} * 100\%$$

Gauge length (mm)	20	60	100	140
Elongation %	45	29.1	25	22.8



Problem (5):-

A tension test was carried out on a short standard test specimen of steel of 20 mm diameter. The test results were as follows:

Load , ton	2.5	5	7.5	7.5	9	11	12	12.5	11.5	10
ΔL , mm	0.06	0.12	0.18	1.5	4.4	12	20	26	30	33

Draw the load extension diagram and determine the following: -

- i) Yield stress ii) Tensile strength iii) Elongation %
iv) Modulus of elasticity, resilience and. toughness

Solution

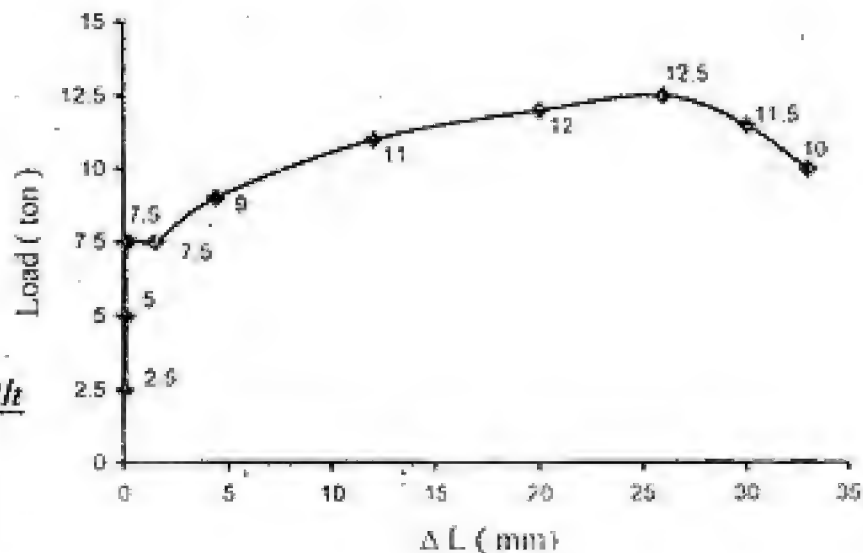
(1) Yield stress

$$P_{\text{yield}} = 7.5 \text{ ton}$$

$$A_n = \frac{\pi}{4} (2)^2 = 3.14 \text{ cm}^2$$

$$\sigma_y = \frac{P_y}{A_n} = \frac{7.5}{3.14}$$

$$\boxed{\sigma_y = 2.387 \text{ ton/cm}^2}$$



(2) Tensile strength

وهو يعني أقصى إجهاد
mean Ultimate stress

$$P_{\text{max}} = 12.5 \text{ ton}$$

$$A_n = \frac{\pi}{4} (2)^2 = 3.14 \text{ cm}^2$$

$$\sigma_{\text{ult}} = \frac{P_{\text{max}}}{A_n} = \frac{12.5}{3.14} \Rightarrow \boxed{\sigma_{\text{ult}} = 3.979 \text{ ton/cm}^2}$$

(3) Elongation %

$$\% \text{ elongation} = \frac{\Delta L_f (\text{failure})}{L_o} * 100$$

For short specimen ($L_o = 5d = 5 * 20 = 100 \text{ mm}$)

$$\% \text{ elongation} = \frac{33}{100} * 100 = 33 \%$$

(4) Modulus of elasticity (E)

$$E = \frac{\sigma}{\epsilon} \longrightarrow \text{Up to proportional limit (Elastic limit) حتى مرحلة المرونة}$$

$$\sigma_{e,l} = \frac{7.5}{\pi} = 2.387 (\text{ton} / \text{cm}^2)$$

$$\epsilon_{e,l} = \frac{0.18}{100} = 18 * 10^{-4}$$

$$E = \frac{2.387}{18 * 10^{-4}} = 1326.28 (\text{ton} / \text{cm}^2)$$

(5) Modulus of resilience

$$M.O.R = \frac{1}{2} * \sigma_{e,l} * \epsilon_{e,l}$$

$$= \frac{1}{2} * 2.387 * 18 * 10^{-4} \longrightarrow \boxed{M.O.R = 2.148 * 10^{-3} \text{ ton} / \text{cm}^2}$$

(5) Modulus of toughness

$$M.O.T = \left(\frac{\sigma_{e,l} + \sigma_{max}}{2} \right) * \epsilon_{failure}$$

$$= \left(\frac{2.387 + 3.979}{2} \right) * 0.33 \longrightarrow \boxed{M.O.T = 1.05 \text{ ton} / \text{cm}^2}$$

Problem (7):-

A tension test was carried out on a long specimen of 8 mm diameter and the following data were recorded:

Load, KN	0	5	8	11	13	15	16.5	17.5	17	15
ΔL , mm	0	0.05	0.08	0.1	1.5	3.5	6	9	11	15

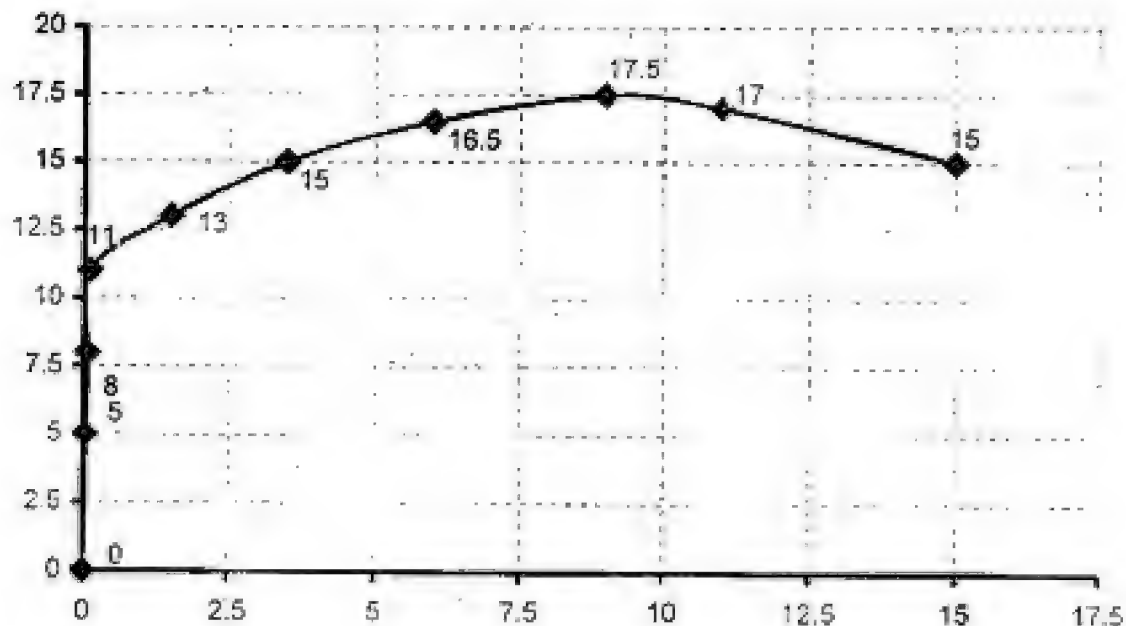
Draw the stress-strain diagram and calculate the following:

- i- Stiffness
- ii- 0.2 % proof stress
- iii- Ductility
- iv- True stress and strain at initial necking
- v- Describe the fracture characteristic of the test specimen
- vi- Design a structural element of round cross-section area from the same material to carry a load of 3 ton if the factor of safety is 1.5.

Given :

Long specimen , 8 mm diameter

Solution



* Draw (stress - strain) diagram

$$A_0 = \frac{\pi}{4} (0.8)^2 = \underline{0.503 \text{ cm}^2}$$

$$L_0 = (\text{Long specimen}) = l_0 d = 10 \times 8 = \underline{80 \text{ mm.}}$$

(1) stiffness المروية

تقاس بمقاومة المروية (E)

$$E = \frac{\sigma}{\epsilon} \text{ at elastic stage.}$$

$$\sigma_{e.l} = \frac{P_{e.l}}{A_0} = \frac{8}{0.503} = \underline{15.91 \text{ KN/cm}^2}$$

$$\epsilon_{e.l} = \frac{\Delta L_{e.l}}{L_0} = \frac{0.08}{80} = \underline{0.001}$$

$$E = \frac{\sigma_{e.l}}{\epsilon_{e.l}} = \frac{15.91}{0.001} = 1.591 \times 10^4 \text{ KN/cm}^2$$

(2) 0.2 % proof stress إجهاد 0.2%

* إجهاد 0.2% هو الإجهاد الذي يتسبب في استطالة 0.2%

$$\epsilon = 0.2 \% = \frac{0.2}{100} = 0.002$$

$$\Rightarrow \Delta L = L_0 \times \epsilon = 0.002 \times 80 = 0.16$$

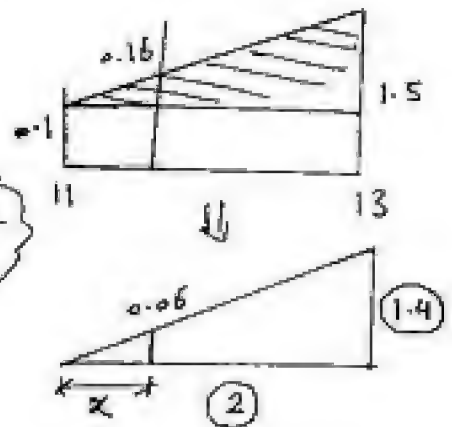
المطالة المطلوبة لإحداث إجهاد 0.2% هي 0.16

* أو بالمتسلسلة وبتناسب مع الجهد

$$\Delta L = 0.16 \quad (0.1 \rightarrow 1.5)$$

$$\therefore P_{proof} = 11.086 \text{ kN}$$

$$\therefore \sigma_{proof} = \frac{11.086}{0.503} = 22.04 \text{ kN/cm}^2$$



(3) Ductility (الطول)

% elongation هو Ductility

$$\frac{1.4}{2} = \frac{0.06}{x}$$

$$x = \frac{0.06 \times 2}{1.4} = 0.086$$

$$\% \text{ elongation} = \frac{\Delta L}{L_0} \times 100 \Rightarrow$$

$$\% \text{ elongation} = \frac{15}{80} \times 100 = 18.75 \%$$

(4) True stress and strain at initial necking.

initial necking = max load

$$\sigma_{max} = \frac{P_{max}}{A_0} = \frac{17.5}{0.503} = 34.79 \text{ kN/cm}^2$$

$$\epsilon_{(P_{max})} = \frac{\Delta L (P_{max})}{L_0} = \frac{9}{80} = 0.1125$$

$$\sigma_{True} = \sigma_{max} (1 + \epsilon)$$

$$\sigma_{True} = 34.79 (1 + 0.1125) = 38.7 \text{ kN/cm}^2$$

$$\epsilon_{true} = \ln (1 + \epsilon) = \ln (1.1125) = 0.1066$$

(5) Describe the fracture characteristic of speci.

Due to % elongation = 18.75% > 15%.

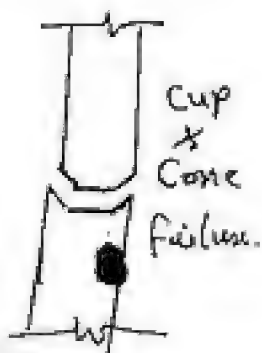
∴ This material is Ductile material.

and Have Ductile failure: (Cup and Cone failure)

(6) Design struct. element round (X-sec)

if $P = 3 \text{ ton} < F.O.S = 1.5$

$$\sigma_{Design} = \frac{\sigma_{proof}}{n (F.O.S)} = \frac{22.04}{1.5} = 14.69 \text{ kN/cm}^2$$



المعرف n هو مقدار الأمان الإضافية لا يزيد عن 1.5

$$\sigma = \frac{P}{A} \Rightarrow 14.69 = \frac{3 (\text{ton}) \times 10}{A}$$

$$A = \frac{30}{14.69} = 2.04 \text{ cm}^2 \Rightarrow A = \frac{\pi d^2}{4} \Rightarrow d = 2.6 \text{ cm}$$

$$d = 26 \text{ mm}$$

Faculty of Engineering

Civil Engineering

1st YEAR

MATERIAL

تَظَرِي ← Compression
+
مَدَامِيَّة
= Compression =

Static Compression test

- Importance

الأهمية

[1] An acceptable test for non-metallic materials such as:-

(1) concrete - (2) wood (3) stones -

[2] To determine mechanical properties under compression for metallic and non-metallic materials.

- Behavior of metals under compression سلوك المعادن تحت الضغط

[a] Ductile metals [Mild steel] المعادن المطيلة

- يمكن أن يظهر منحنى الخضوع [Yield] من المعادن المطيلة

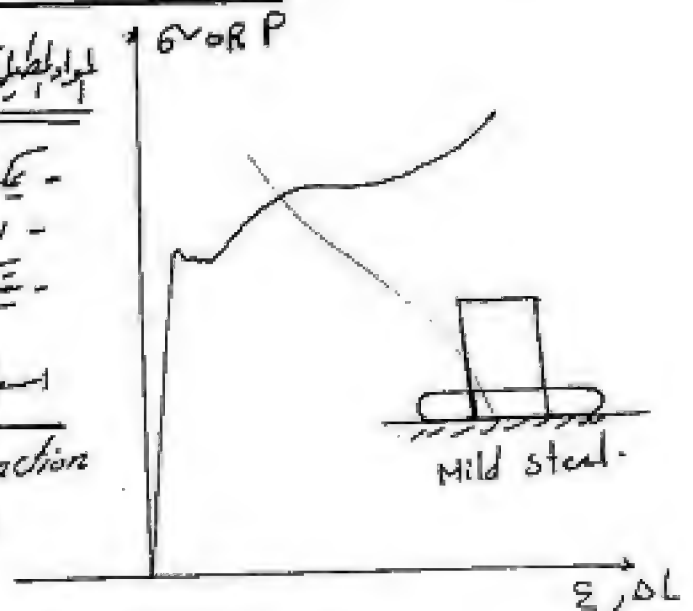
- إجهادات الضغط تتسبب في زيادة مقطع العينة.

- يتكون الشكل البرميل [Barrel shape]

- Barrel shape is due to: أسباب الشكل البرميل:

1- lateral expansion due to axial contraction

2- Friction bet. The end surface of The specimen and The machine heads



- No failure occurs for specimen.

[b] Semi ductile metals [Brass]

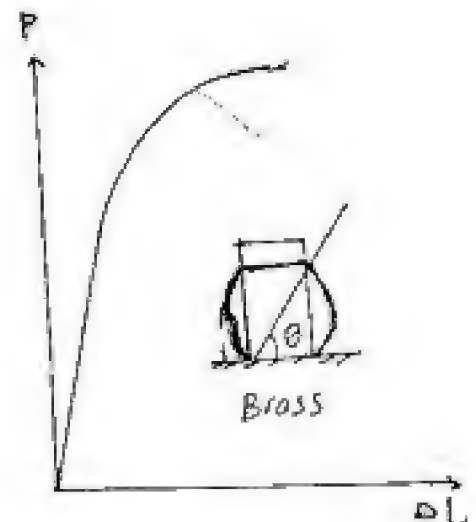
- Yield Point may exist

- Fracture is due to shear stress along angle.

$$\theta = 45 + \frac{\phi}{2} = 50^\circ$$

ϕ angle of internal friction.

عمل بكر هو الزاوية القص



c) Brittle metals 1- Cast Iron

- Fracture may occur due to shear stresses along a plane making an angle θ

$$\theta = 45^\circ + \frac{\phi}{2} = 55 - 60^\circ$$

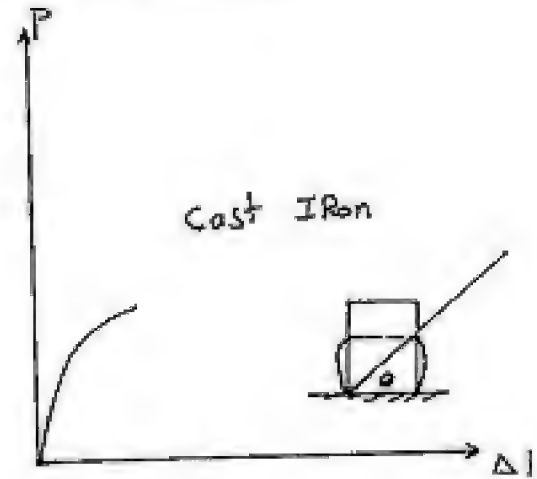
- No yield occur.

- mechanical Properties.

نفس الخواص كما في حالة الحديد

- True stress σ_t

$$\sigma_t = \frac{P_i}{A_i}$$



True strain ϵ_t

$$\epsilon_t = \ln \frac{A_i}{A_o} = 2 \ln \frac{d_i}{d_o}$$

- compression test specimens

- Shape

1- Circular ○

2- Rectangular □

3- square □

للمر

→ Conditions of The compression test specimens

① Circular Cross section for uniform stress -

② $\frac{L}{D} \neq 10$ to avoid buckling -

③ ends of The specimen should be plane, Parallel and Perpendicular to The axis of The specimen.

وذلك للمحافظة على دقة التجربة.

Standard test specimens القياسات القياسية

① long specimen

$L = [8 - 10] D \rightarrow$ used for taking measurements during test.

② medium specimen:-

$$L = 3.0 D$$

- used for knowing maximum applied load and so to know σ_{max} .

③ short specimens

$$L = 0.9 D$$

- used to know behavior of the material when friction occur.

- How To avoid Friction فر

① By lubrication تزييت

② by divide test specimen to 3 parts and study the middle part.

③ by making machine head include with an angle $\alpha \neq 13^\circ$

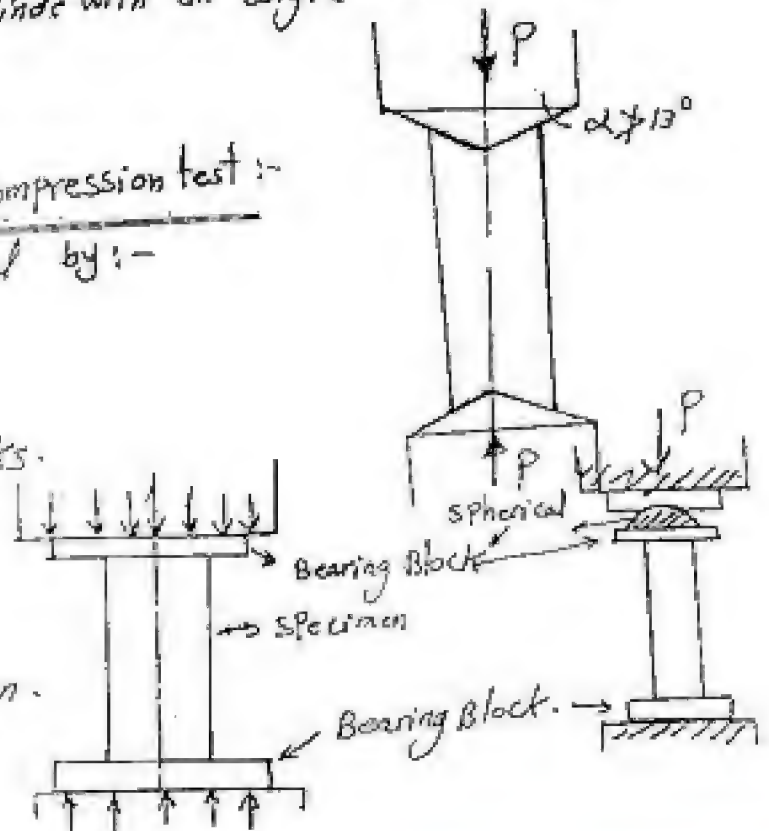
- Precautions considered during compression test:-

① The applied load must be axial by:-

- centering the specimen.
- use Bearing Blocks.
- use spherical bearing blocks.

② Suitable test speed.

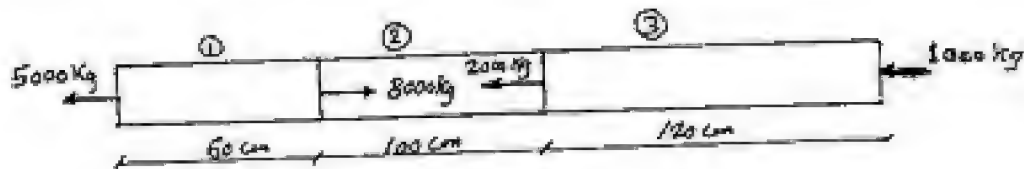
③ use satisfied test specimen.



1) $A = 10 \text{ cm}^2$

$E_b = 1.05 \times 10^6 \text{ kg/cm}^2$

- Find The Total change in length of the bar.



Solution

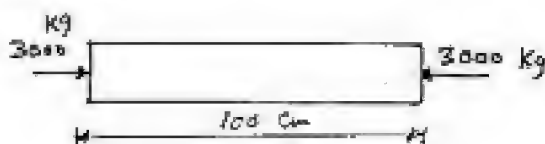
For part ①



- Tension on This Part.

$$\Delta L_1 = \frac{Pl}{EA} = \frac{5000 \times 60}{1.05 \times 10^6 \times 10} = 0.0285 \text{ cm}$$

For Part ②



- Compression on This Part.

$$\Delta L_2 = - \left[\frac{3000 \times 100}{1.05 \times 10^6 \times 10} \right] = -0.0285 \text{ cm}$$

part ③



- Compression Part

$$\Delta L_3 = - \left[\frac{1000 \times 120}{1.05 \times 10^6 \times 10} \right] = -0.0114 \text{ cm}$$

Then

$$\text{Total change} = \Delta L_1 + \Delta L_2 + \Delta L_3$$

$$= 0.0285 - 0.0285 - 0.0114$$

$$= - [0.0114] \text{ cm}$$

then The Specimen will have

a contraction equal 0.0114 cm

أي العينة ستنكمش قليلاً

$$0.0114 \text{ cm} \quad \#$$

2) a) Derive relation to determine The angle of inclination of rupture Plane for brittle metal in compression. OR Prove $\theta = 45 + \frac{\phi}{2}$

Solution

$$A_0 = A \cos \theta$$

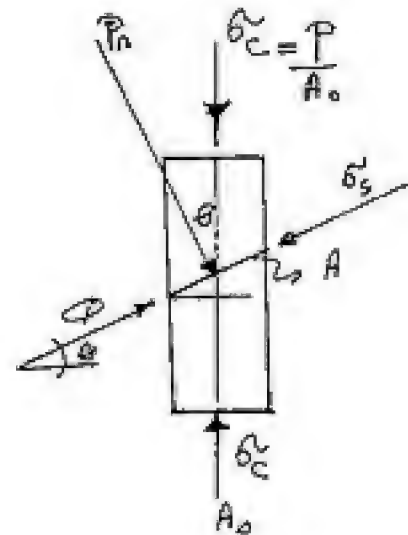
$$P_n = P \cos \theta$$

$$P_s = P \sin \theta$$

$$\sigma_n = \frac{P_n}{A} = \frac{P \cos^2 \theta}{A_0} = \sigma_c \cos^2 \theta$$

$$\sigma_s = \frac{P \sin \theta}{A_0 / \cos \theta} = \sigma_c \sin \theta \cos \theta$$

$$\tau = \sigma_n \tan \phi = \frac{P}{A_0} \cos^2 \theta \tan \phi = \sigma_c \cos^2 \theta \tan \phi$$



- الجهد الشدني يسبب لكسر هو مزيج الجهد الشدني والقص

$$\sigma_r = \sigma_s - \tau = \sigma_c \cos^2 \theta \sin \theta - \sigma_c \cos^2 \theta \tan \phi$$

$$\sigma_{\max} = \sigma$$

$$\frac{d\sigma}{d\theta} = 0$$

$$\sigma_c [\sin \theta \times -\sin \theta + \cos \theta \times \cos \theta] + \sigma_c [\tan \phi + 2 \cos \theta \sin \theta] = 0$$

$$(\cos^2 \theta - \sin^2 \theta) + 2 \tan \phi \times \sin 2\theta = 0$$

$$-(\cos^2 \theta - \sin^2 \theta) = 2 \cos 2\theta \tan \phi$$

$$\frac{2}{2} \cos 2\theta / \sin 2\theta = \tan \phi$$

$$\cot 2\theta = \tan \phi \Rightarrow \tan \phi = \tan [2\theta - 90^\circ]$$

$$\text{then } \phi = 2\theta - 90^\circ \Rightarrow \theta = \frac{\phi}{2} + 45^\circ$$

No (2) (b) نظري

No (3)

$$\text{gauge length} = 200 \text{ mm} = 20 \text{ cm}$$

$$A = 1000 \text{ mm}^2 = 0.1 \text{ cm}^2$$

- based on The diagram

1- The Proportional limit stress

$$\sigma_{PL} = \frac{P_{PL}}{A_0} = 175 \text{ MPa.}$$

$$\begin{array}{l} 2.4 \rightarrow 0.002 \\ 2.2 \rightarrow ? \end{array}$$

2) Modulus of elasticity

$$? = \frac{2.2}{2.4} \times 0.002 = 1.83 \times 10^{-3}$$

$$E = \frac{\sigma_{PL}}{\epsilon_{PL}} = \frac{175}{1.83 \times 10^{-3}} = 95454.5 \text{ MPa.}$$

3) The Modulus of resilience.

$$\begin{aligned} MoR &= \frac{1}{2} \sigma_{PL} \epsilon_{PL} \\ &= \frac{1}{2} \times 175 \times 1.83 \times 10^{-3} = 0.16 \text{ MPa} \end{aligned}$$

4) The Modulus of Toughness

$$\begin{aligned} MoT &= \frac{2}{3} \sigma_{ult} \epsilon_{ult} \\ &= \frac{2}{3} \times 275 \times 3.5 \times 10^{-3} = 0.64 \text{ MPa.} \end{aligned}$$

$$\begin{array}{l} 3.7 \rightarrow 200 \\ ? \rightarrow 210 \end{array}$$

5) Secant Modulus at stress 210 MPa.

$$? = \frac{210}{200} \times 3.7 = 3.685$$

$$\text{secant Modulus} = \frac{167.6}{0.002} = 83783.8 \text{ MPa.}$$

$$\frac{3.1 \times 200}{3.7} = 167.6$$

6) ultimate compressive strength.

$$\sigma_{UH} = \frac{P_{max}}{A_0} = \sigma_{max} = 275 \text{ MPa.}$$

7) % contraction

$$\% \text{ cont.} = \frac{\Delta L_f}{L_0} \times 100 = \epsilon_f \times 100 = 3.5 \times 10^{-3} = 0.35 \%$$

8) EXPLAIN The Fracture characteristic of the Test specimen.

The Material is semi ductile it fracture at angle $45 + \frac{\phi}{2} = 50^\circ$

Faculty of Engineering

Civil Engineering

1st YEAR

MATERIAL

نظري # 1

=+ Shear & Torsion +=

حل # 2

=+ Shear & Torsion +=

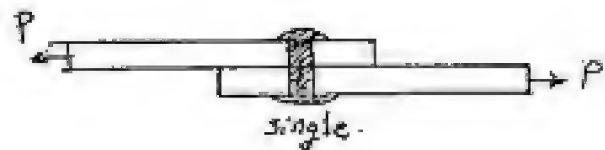
Shear and Torsion Tests

1) For shear

1) direct shear

a) single shear

$$\tau \text{ or } q = \frac{P}{A}$$



b) double shear

$$\tau \text{ or } q = \frac{P}{2A}$$



c) Punching shear

$$\tau \text{ or } q = \frac{P}{\pi D t}$$



2) bending shear or shear in beams

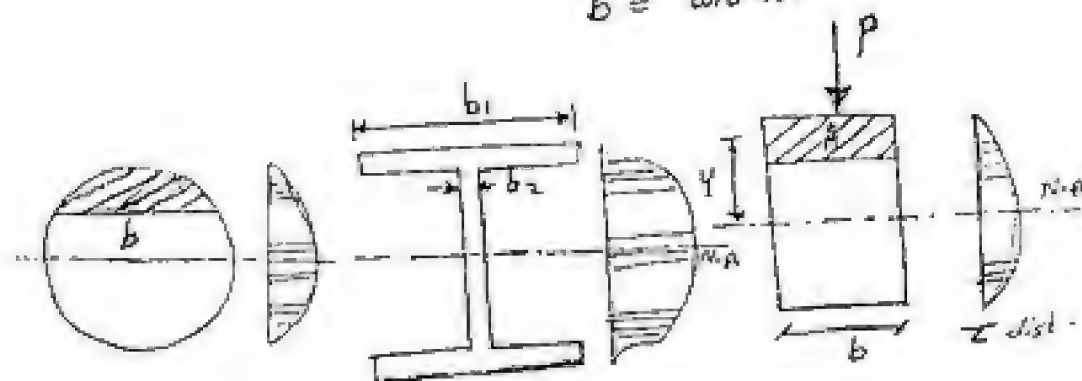
$$\tau = \frac{P Q}{I b}$$

P → shear force

Q = 1st Mom. of area = A × Y

I = 2nd " " "

b = width.



- Shear distribution -

2 For Torsion

- stress due To Twisting

$$\tau_a = \frac{\lambda}{r} \tau$$

$$F_{\text{shear force}} = \frac{\lambda}{r} \tau da$$

T moment of force about "O"

$$T = \frac{\tau}{r} \lambda^2 da$$

$$\text{Total moment } T = \frac{\tau}{r} \int \lambda^2 da$$

$\lambda^2 da = J$ polar moment of area.

$$T = \frac{\tau}{r} J \text{ then } \frac{T}{J} = \frac{\tau}{r} \rightarrow (1)$$

- angle of Twist " θ " - نتيجة إلتواء البعد إلى طول الخط AB
 " θ " shear strain ليكونه AC

$$BC = L\phi = r\theta$$

$$\phi = \frac{r}{L} \theta = \frac{\tau}{G}$$

$$\frac{\tau}{r} = \frac{\theta G}{L} \rightarrow (2)$$

From 1 & 2

$$\frac{T}{J} = \frac{\tau}{r} = \frac{G\theta}{L}$$

إلتواء

τ shear stress.

T twisting Moment torque.

θ " angle.

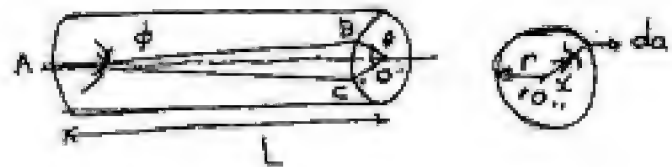
r radius.

J polar moment.

$$J = \frac{\pi}{32} D^4.$$

G → shear modulus of rigidity

L - length.



* Mechanical Properties in Torsion shear -

1) shear elastic strength (الخاصة المرنة للقص)

$$\tau_e = \tau_e = \frac{16 T}{\pi d^3} \text{ or } \frac{16 M_t}{\pi d^3}$$

$M_t = T = \text{moment or Torque}$

$$\frac{T}{J} = \frac{\tau}{r} = \frac{\theta G}{L} \quad \text{الدوائر} \quad \text{في المنة العامة}$$

$$\frac{T}{J} = \frac{\tau}{r} \Rightarrow \tau = \frac{T r}{J}$$

$$J = \frac{\pi}{32} D^4$$

$$r = \frac{D}{2}$$

$$\tau_e = \frac{T * \frac{D}{2}}{\frac{\pi D^4}{32}} = \frac{16 T_e}{\pi D^3} \text{ or } \frac{16 M_t}{\pi D^3}$$

2) Ultimate Torsional shear strength (الخاصة القصوى للقص)

لا يمكن حسابها من المعادلات لذلك نستخدمها على أساس التجارب

a) $\tau_{max} = \frac{12 T \text{ or } M_{t \text{ max}}}{\pi d^3}$ For Ductile materials

b) $\tau_{max} = \frac{14 T_{max}}{\pi d^3}$ For Brittle mat.

c) $\tau_{max} = \frac{T_{max}}{\pi r^2}$ for hollow.

3) Modulus of rigidity "G" (معامل المرونة للقص)

$$G = \frac{T}{\theta} * \frac{L}{J}$$

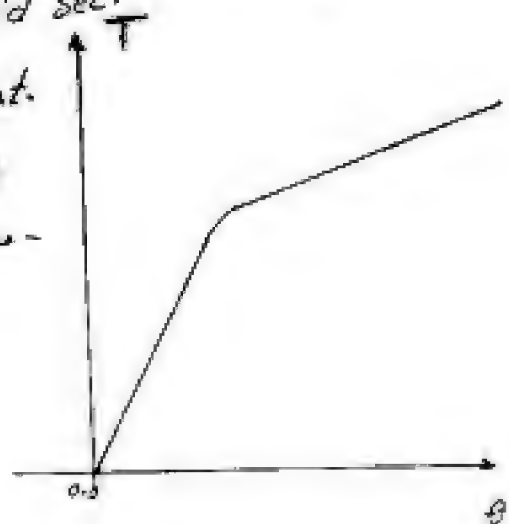
4) Ductility (المطيلية)

$$\text{Ductility} = \theta_{max}$$

θ_{max} تقاس بدرجة

$\theta_{max} \uparrow \Rightarrow$ المطيلية \uparrow

$$\text{or } \% \text{ elong.} = \frac{L' - L}{L} * 100$$



(4) - resilience الرجوعية

$$\text{resilience} = \frac{1}{2} T_e \cdot \theta$$

\rightarrow الرجوعية

$$M.O.R = \frac{1}{2} \frac{T_e \theta}{Vol}$$

\rightarrow معيار الرجوعية

$$\theta = \text{radial داي رادي}$$

$$\theta' = \frac{\theta^\circ \cdot \pi}{180}$$

الزاوية بالراديان

(5) Toughness المتانة

$$T = \text{area under curve} = \frac{2}{3} T \theta$$

\rightarrow الطاقة المخزنة في المادة

1 - $Power = T \cdot \omega$

$T = \text{Torque}$

$\omega = \text{angular vel. "r.p.m"}$

2 - $\omega = \frac{2\pi N}{60}$

$N = \text{عدد الدورات في الدقيقة}$

3 - النسبة للثقلية للحدوة

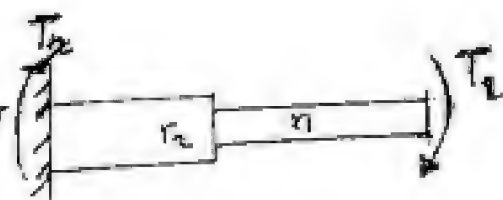
$$J = \frac{\pi}{32} [D^4 - d^4]$$

$D \rightarrow$ البعد الخارج

$d \rightarrow$ البعد الداخلى

4 - For Two shaft [continuous]

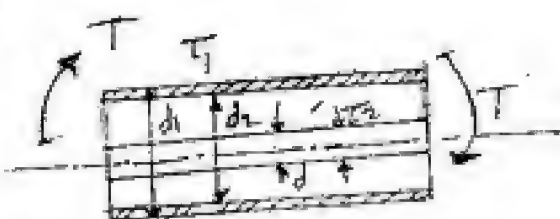
$$T = T_1 + T_2 \quad \theta = \theta_1 + \theta_2$$



- For concentric shaft

$$T = T_1 + T_2$$

$$\theta = \theta_1 = \theta_2$$



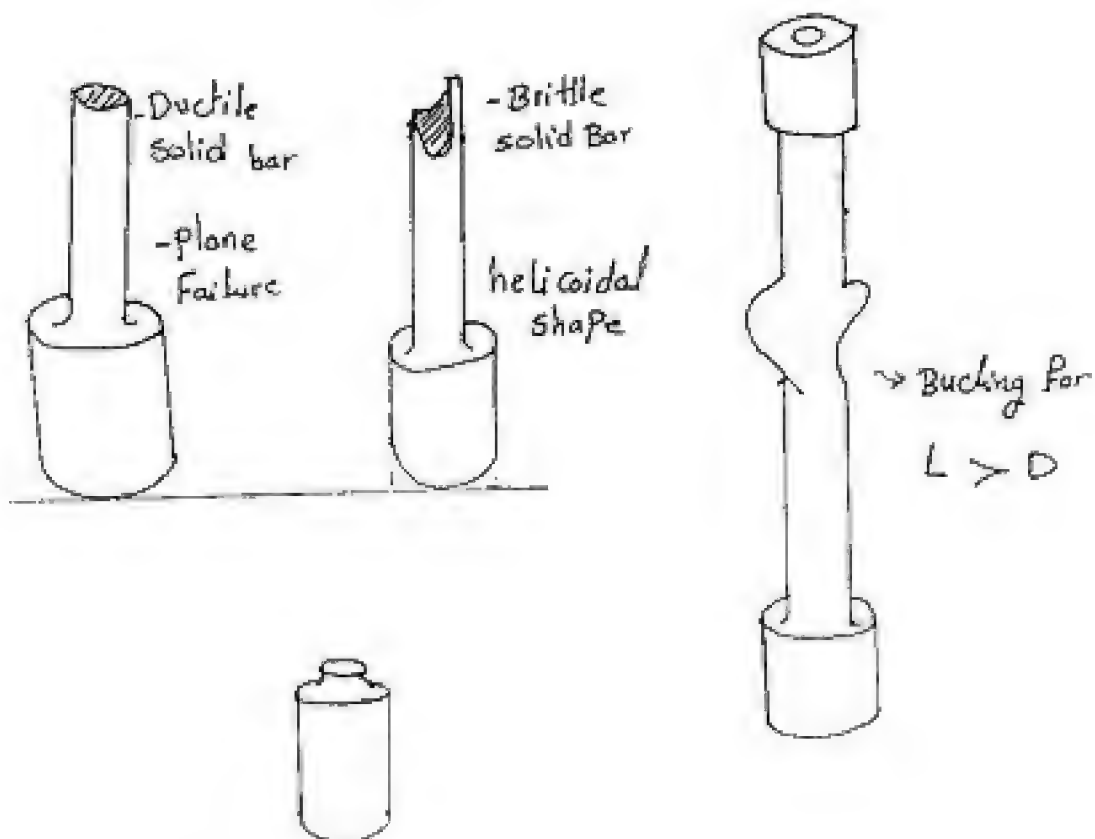
5 - $\frac{\text{shear strength}}{\text{tensile str.}} = 0.8$ For ductile

$= 1.3$ For Brittle

Failure Under Torsion

① For Brittle material tensile strength $<$ shear strength
then The rupture occurs by tensile separation only.

② For Thin-walled tubular specimens of ductile material
having a reduced section of length greater than the diameter
Fail by buckling. يفشل تحت الضغط القصية (تفادع)

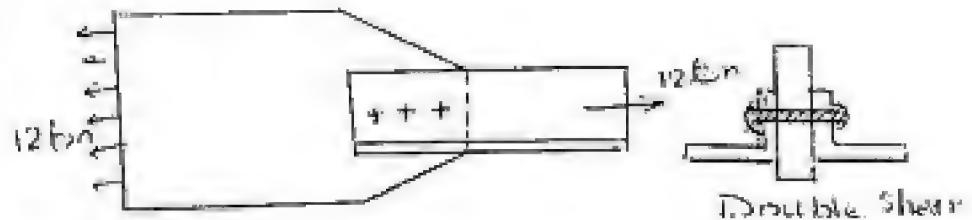


- Tubular specimen
of ductile material
with reduced sec.
- Plane failure -

sheet (5)

II. $d_r = 20 \text{ mm}$ $P = 12 \text{ ton}$ $\sigma_s = q_s = 0.8 \text{ t/cm}^2$

$$q_{sh} = \frac{P}{2A_r n}$$





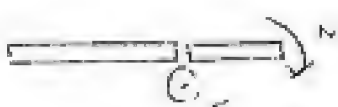
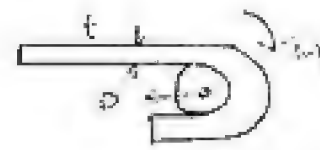


$$0.8 = \frac{12}{2A_r n}$$

$$A_r n = \frac{6}{0.8} = 7.5 \text{ cm}^2$$

$$A_r = \frac{\pi}{4} [2]^2 = 3.14 \text{ cm}^2$$

$$n = \frac{A_t}{A_r} = \frac{7.5}{3.14} = 2.38 \approx 3 \text{ rivets.}$$

(2)

	Brittle	Ductile
tension	- Plane failure 	- Cup and cone failure 
cold bend test	 کسر می شود بدون تغییر شکل	 No failure.
Torsion test	 helical shape	 Plane failure

3) $\tau_{all} = 60 \text{ N/mm}^2$

$T = 10 \text{ KN}\cdot\text{m}$

sol

$$\boxed{\frac{T}{J} = \frac{\tau}{r} = \frac{\theta G}{L}}$$

بمقاديرها

then $\tau = \frac{16 T}{\pi d^3}$ for solid shaft.

$$\frac{16 \times 10 \times 10^6}{\pi d^3} = 60 \Rightarrow d^3 = 848826.36 \text{ mm}^3$$

$$d = 94.63 \text{ mm} \approx \underline{9.5 \text{ cm}}$$

b) for Hollow shaft $\frac{d_i}{d_o} = \frac{7}{8}$

$$\boxed{\frac{T}{J} = \frac{\tau}{r}}$$

$$\tau = \frac{T \cdot r}{J} = \frac{T \cdot \frac{D}{2}}{\frac{\pi}{32} [D^4 - d^4]}$$

$$60 \text{ (N/mm}^2\text{)} = \frac{10 \times 10^6 \text{ (N}\cdot\text{mm)} \times \frac{D}{2}}{\frac{\pi}{32} [D^4 - (\frac{7}{8}D)^4]} = \frac{5 \times 10^6 D}{D^4 \times [0.04]}$$

$$\frac{0.04 \times 60}{5 \times 10^6} = \frac{1}{D^3} \Rightarrow D^3 = [127] \text{ mm} \Rightarrow \underline{D = 12.7 \text{ cm}}$$

$$d_{inner} = \frac{7}{8} \times 12.7 = \underline{11.176 \text{ cm}}$$

shear distribution \Rightarrow

4) $D = 15 \text{ mm}$

$G = 1.73 \times 10^5 \text{ Kg/cm}^2$

Torque	ton.cm	0	0.4	0.8	1	1.2	1.4	1.6	1.75	1.9	2
θ	degree	0	4	8	20	50	100	150	250	300	800

a) stress at Proportional limit

$$I_e = \frac{16 T_e}{\pi d^3}$$

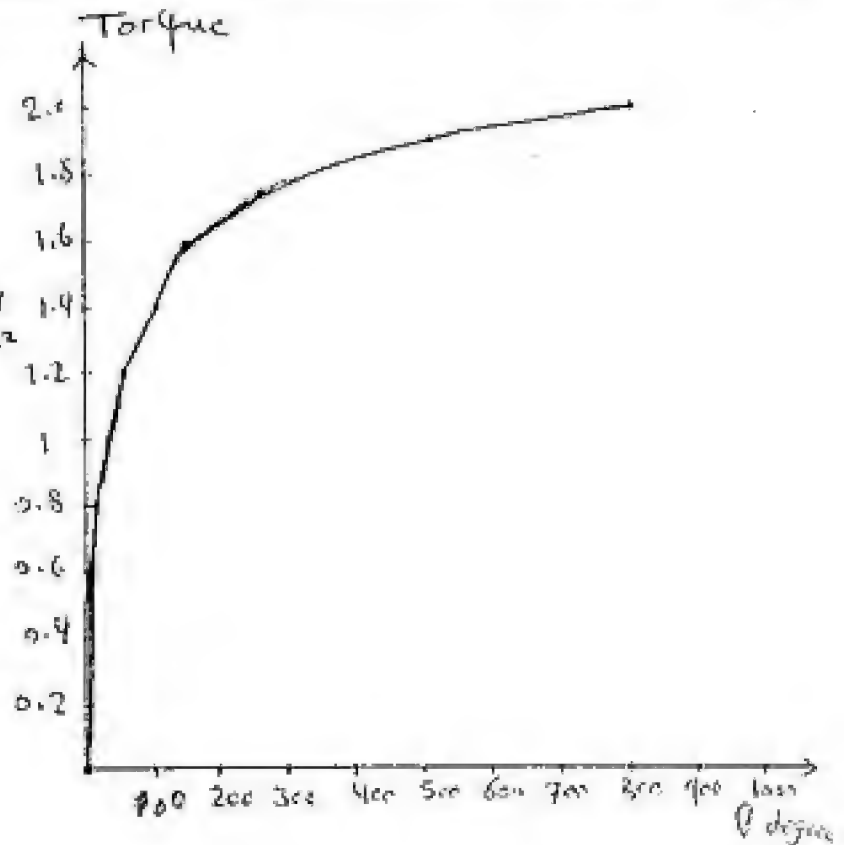
$$= \frac{16 \times (100)}{\pi (1.5)^3} = 150.9 \text{ Kg/cm}^2$$

b) The length of the rod

$$G = \frac{T}{\theta} + \frac{L}{J}$$

$$1.73 \times 10^5 = \frac{0.1 \times 10^3}{\left(\frac{4\pi}{32}\right)} + \frac{L}{\frac{\pi}{32} \times 1.5^4}$$

$L = 60 \text{ cm}$



c) Modulus of Toughness

$$M.O.T = \frac{\frac{2}{3} T \theta \text{ at rup.}}{\text{Vol}} = \frac{\frac{2}{3}}{60 + \frac{\pi}{4} [1.5]^2} + \frac{2000 + 800 \left(\frac{\pi}{180}\right)}{\frac{\pi}{4} [1.5]^2} \text{ Kg/cm}^2$$

$M.O.T = 1.0 \text{ Kg/cm}^2$

[d] - Modulus of resilience in shear

$$M.O.R = \frac{\frac{1}{2} T @ LAL}{Vol}$$

$$= \frac{\frac{1}{2} \times [25.8 + 100] \times \frac{3.6 \times \pi}{180}}{\frac{\pi}{4} [2^2 - 1^2] \times 30} = 0.2293 \text{ Kg/cm}^2$$

[e] Shearing Modulus of rupture or shearing strength.

$$T_{max} = \frac{12 T_{max}}{\pi d^3} \quad \text{For Ductile Mat.} \quad \text{For solid shaft}$$

$$T_{max} = \frac{T_{max}}{2 \pi r^2 t} \quad \text{For hollow shaft}$$

r mean radius.

t thickness.

$$T_{max} = \frac{53 \times 100}{2 \pi \times \left[\frac{1.5}{2}\right]^2 \times 0.5} = 2249.42 \text{ Kg/cm}^2$$

Sheet 6 shear test.

- No ①, ② نظر

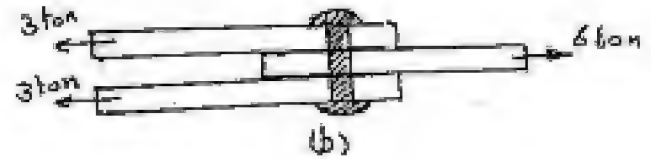
③ $P = 6 \text{ ton}$

$d = 16 \text{ mm}$

$\tau_{\text{sh}} = 0.84 \text{ ton/cm}^2$

Find - No of rivets in cases (a) & (b)

Solution



- For Case (a)

$$\tau = \frac{P}{A}$$

$$A = \frac{P}{\tau} = \frac{6.0}{0.84} = 7.14 \text{ cm}^2$$

$A = n a$ where $a \rightarrow$ Cross area of one rivet
 $n \rightarrow$ No. of rivets.

$$7.14 = n + \frac{\pi}{4} (1.6)^2 (2.0)$$

$n = 3.55$ No of rivets = 4.0 rivet.

- For Case (b)

$$\tau = \frac{P}{2A} = \frac{6.0}{2A}$$

$$A = \frac{6.0}{2 \times 0.84} = 3.571 \text{ cm}^2$$

$$A = n a$$

$$n = \frac{3.571}{2.01} = 1.77$$

No of rivets = 2.0 rivets

Q shaft 500mm Diameter

- $L = 0.75 \text{ m}$

- has a concentric hole drilled for a portion of its length.

- find D_i for hole and L_{\max} of it

so that $T = 1.67 \text{ kN}\cdot\text{m}$ $\tau_{\max} \leq 7.5 \text{ MN/m}^2$

$\theta \leq 1.5$ $G = 80 \text{ MN/m}^2$

solution

- For case of max Shear

$$\tau = \frac{16 T D}{\pi (D^4 - D_i^4)}$$

$$\tau = \frac{T \frac{D}{2}}{\frac{\pi}{32} [D^4 - D_i^4]}$$

$$7.5 \times 10^6 = \frac{1.67 \times 10^3 \times \frac{0.5}{2}}{\frac{\pi}{32} [0.5^4 - D_i^4]}$$

Find $D_i = 0.4988 \text{ m}$
 $= 49.88 \text{ cm}$

for case of $\theta \leq 1.5$

$$\frac{T}{J} = \frac{G \theta}{L}$$

$$\theta_1 = \frac{\theta \times \pi}{180} = \frac{1.5 \pi}{180} = 0.02617$$

$$L = \frac{G \theta J}{T} = \frac{80 \times 10^6 \times 0.02617 \times \frac{\pi}{32} [0.5^4 - 0.4988^4]}{1.67 \times 10^3}$$

$$L = 73.58 \times 10^{-3} \text{ m} = 7.36 \text{ cm}$$

⑤ a hollow steel shaft

$$D_{\text{ex}} = 400 \text{ mm}$$

$$\text{Power} = 9 \text{ MW.}$$

$$\omega = 120 \text{ r.p.m.}$$

$$L = 2 \text{ m}$$

$$\theta = 0.45^\circ$$

$$G = 80 \text{ GN/m}^2$$

Find D_i & T_{max}

- Find D of The solid shaft which will Transmit The same Power at The same max stress.

Solution

$$\text{Power} = T \times \omega$$

$$\omega = \frac{2\pi N}{60} = \frac{2\pi \times 120}{60} = 4\pi \text{ revolution.}$$

$$\text{Find } T = \frac{\text{Power}}{\omega} = \frac{9 \times 10^6}{4\pi} = 0.716 \times 10^6 \text{ N.m}$$

$$\frac{T}{J} = \frac{\theta G}{L}$$

$$J = \frac{\pi}{32} [D^4 - D_i^4]$$

$$J = \frac{T \times L}{\theta G} = \frac{0.716 \times 10^6 \times 2.0}{\left(\frac{0.45\pi}{180}\right) \times 80 \times 10^9} = \underline{2.28 \times 10^{-3} \text{ m}^4}$$

$$2.28 \times 10^{-3} = \frac{\pi}{32} [0.4^4 - D_i^4]$$

$$D_i = 0.22 \text{ m} = 22 \text{ cm}$$

$$\text{Find } T_{\text{max}} = \frac{T \times \frac{D}{2}}{J} = \frac{0.716 \times 10^6 \times \frac{0.4}{2}}{2.28 \times 10^{-3}} = \underline{6.28 \times 10^7 \text{ N/m}^2}$$

$$b) T = 0.716 \times 10^6 \text{ N.m}$$

$$\tau = 6.28 \times 10^7 \text{ N/m}^2$$

$$\tau_{\max} = \frac{16 T}{\pi d^3}$$

$$6.28 \times 10^7 = \frac{16 \times 0.716 \times 10^6}{\pi d^3}$$

$$d^3 = 0.058 \quad d = 0.387 \text{ m}$$

Diameter of solid shaft = 38.7 cm.

No. 6 Torsion Test

Mild steel

$D = 15 \text{ mm}$ $L = 15 \text{ cm}$

$T \text{ (Kg. cm)}$	0	800	1600	2000	2400	2800	3200	3500	3800	4000
$\theta \text{ degree}$	0	6	16	40	100	200	300	500	1000	1600

a) Elastic shear strength

$$J_c = \frac{16 T_e}{\pi D^3}$$

$$J_c = \frac{16 \times 1600}{\pi (1.5)^3}$$

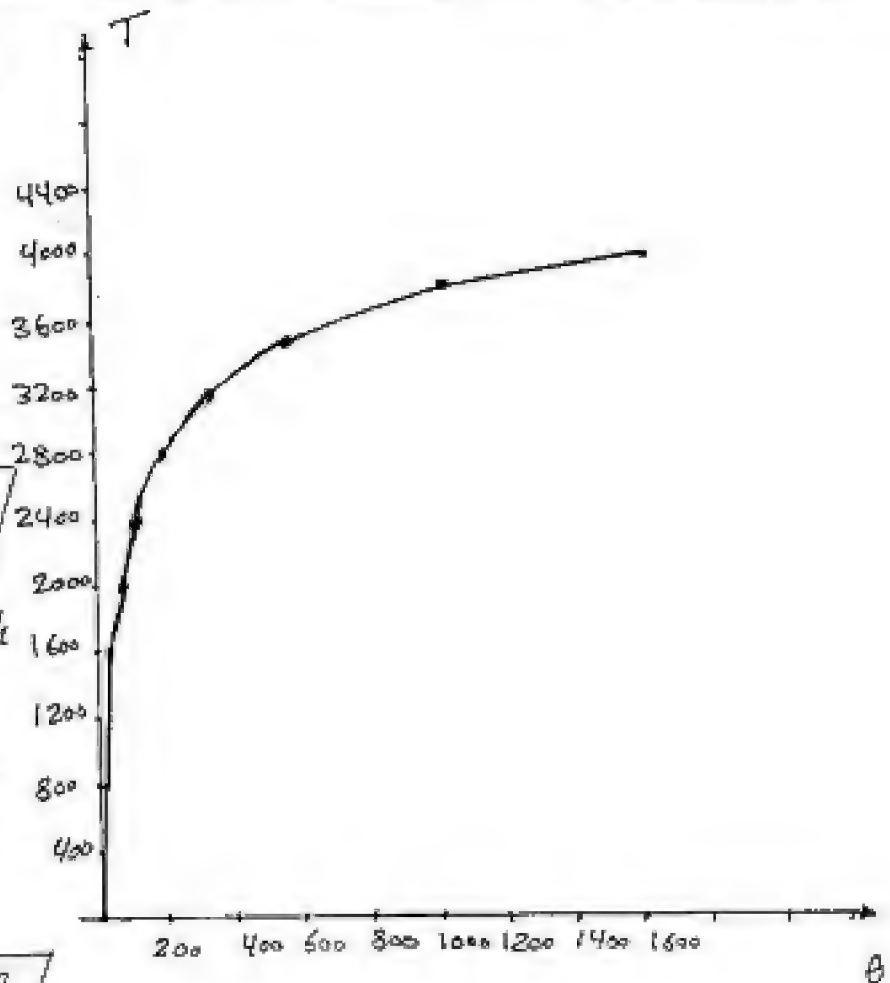
$$J_c = 2414.44 \text{ Kg/cm}^2$$

b) operating shear strength

if $F.O.S = 3$

$$J_{oper.} = \frac{J_c}{F.O.S} = \frac{2414.44}{3}$$

$$J_{oper.} = 804.8 \text{ Kg/cm}^2$$



T - θ diagram.

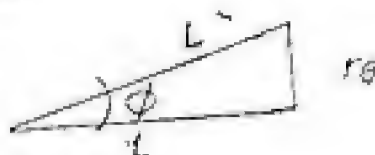
c) Modulus of rupture

The material is Ductile Mat.

$$\text{Then } J_{max} = \frac{12 T_{max}}{\pi d^3} = \frac{12 \times 4000}{\pi (1.5)^3} = 4527 \text{ Kg/cm}^2$$

d) Ductility

$\theta_{max} = 1600^\circ$



$$L = 15 \text{ cm}$$

$$r = \frac{D}{2} = 0.75 \text{ cm}$$

$$\theta = \frac{1600\pi}{180} = 8.89\pi$$

$$L' = \sqrt{L^2 + (r\theta)^2} = \sqrt{15^2 + (0.75 \times 8.89\pi)^2} = 25.7 \text{ cm}$$

$$\% \text{ elong} = \frac{L' - L}{L} \times 100 = \frac{25.7 - 15}{15} \times 100 = 71.33\%$$

e) Modulus of resilience

$$\text{Resilience} = \frac{1}{2} T_{p.l} \theta_{p.l}$$

$$R = \frac{1}{2} \times 1600 \times \left(\frac{16\pi}{180} \right) = 223.4 \text{ kg/cm}$$

$$MOR = \frac{R}{\text{Vol.}} = \frac{223.4}{\frac{\pi}{4} (1.5)^2 \times 15} = 8.43 \text{ kg/cm}^2$$

f) Modulus of Toughness

$$T = \frac{2}{3} T_{\max} \theta_{\max}$$

$$T = \frac{2}{3} \times 4000 \times \frac{1600}{180} \pi = 74467.38 \text{ kg.cm}$$

$$MOT = \frac{T}{\text{Vol}} = \frac{74467.38}{\frac{\pi}{4} (1.5)^2 \times 15} = 2809.33 \text{ kg/cm}^2$$

g) Draw The shear stress distribution on the rod cross section and shape of Fracture.



shear distribution



plane failure

Faculty of Engineering

Civil Engineering

1st YEAR

MATERIAL

1- ⇒ * Bending * ⇐

2- ⇒ * حل, سبب * ⇐

* == * == *

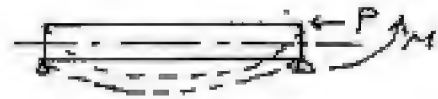
Static Bending test اختبار الانحناء الساكن

Examples of bending stresses

- Beams under transverse Loading



- Beams under axial eccentric Loading



- Bending moment



- differential temperatures اختلاف درجات الحرارة



- what is the Importance of bending stress أهمية اختبار الانحناء

- Bending test is used to obtain the mechanical Properties -
ويستخدم اختبار الانحناء للحصول على الخواص الميكانيكية

1- Stress concentration تركيز الإجهاد
عدم تجانس الإجهاد

2- يعطي قيم دقيقة للعوامل الميكانيكية بأقل مجهول

- assumption of simple bending Theory افتراضات نظرية الانحناء البسيط

① The transverse section of the beam which are plane before bending will remain plane during and after bending.

② Radius of curvature during bending is large compared to the transverse dimensions.

$$③ \quad \sigma_y = \sigma_z = 0$$

④ E " young's modulus has the same value in tension and comp.

$$\frac{1}{R} = \frac{M}{EI} = \frac{\sigma}{Ey} \Rightarrow \sigma = \frac{My}{I}$$

- Mechanical Properties in bending or flexural

(i) Flexural strength σ

a) at the P.L

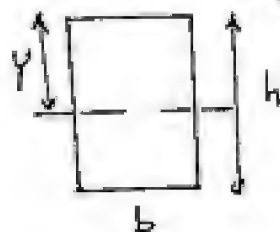
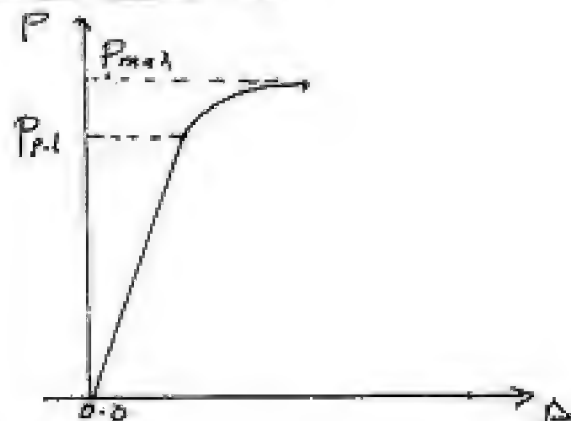
$$\sigma_{P.L} = \frac{M_{P.L} Y}{I}$$

$$I = \frac{bh^3}{12}$$

$$Y = \frac{h}{2}$$

$$M = \frac{PL}{4}$$

For simple Beam



b) at rupture σ_{max}

$$\sigma_{max} = \frac{M_{max} Y}{I}$$

(ii) stiffness

$$E = \frac{PL^3}{48 \Delta I}$$

$\Delta \rightarrow$ deflection

$P \rightarrow$ up to P.L

$E \uparrow \rightarrow$ material is more stiffer.

$E \downarrow \rightarrow$ " " Less stiffer.

(iii) Bending resilience

$$R = \frac{1}{2} P_{P.L} \Delta_{P.L}$$

$$M.O.R = \frac{R}{Volume}$$

5) modulus of toughness

$$T = \frac{2}{3} P_{max} \cdot \Delta_{max}$$

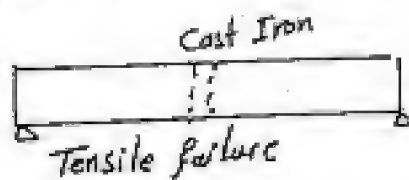
معدل toughness - كلما زادت مكانة الطاقة الممتصة
مقاومة التآكل.

$$M.O.T = \frac{T}{Vol}$$

5) Failure of materials under Bending test.

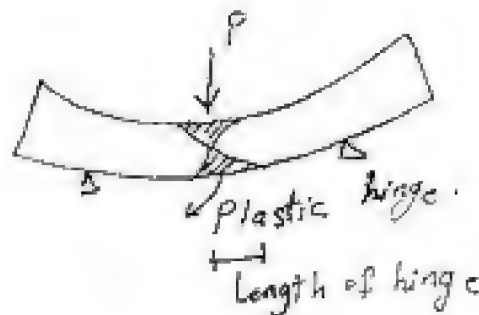
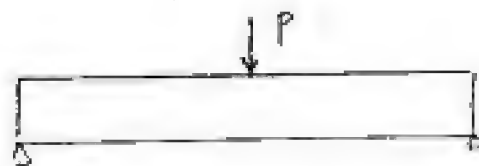
(1) Brittle materials :- cast Iron and concrete.

Failure occurs by Rupture suddenly and plane of failure is normal to the N.A of the beam
يكون التآكل مفاجئاً ويكون مستقيماً.



(2) Ductile materials :- Doesn't rupture at all. ex steel.

عند وصول العزم إلى الحد الأقصى
يحدث التشوه الدائم Plastic mom.
يحدث التشوه الدائم الذي يؤثر على سلوك
المادة بعد مرحلة المرونة إلى
أن يصل الحد الأقصى للمرونة
الحد الأقصى للتشوه الدائم وتسمى
Plastic hinge
تسمى هذه المنطقة بالهinge

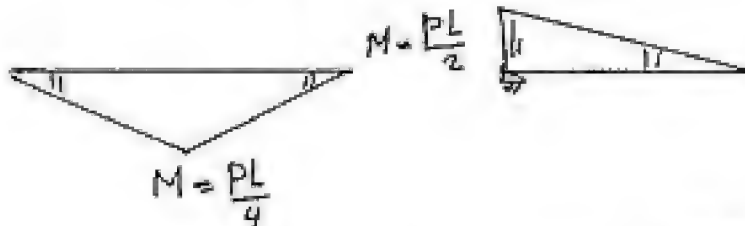
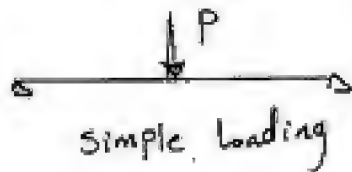


6) effect of variables

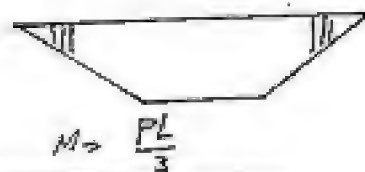
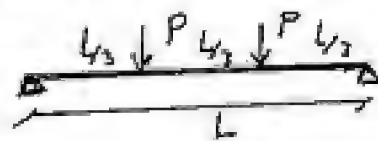
1) type of loading اختلافات التحميل يؤثر على نتائج الكسر

a) In a simple span σ_{max} obtained from center loading.

b) In cantilever Loading gives higher results than center loading.



c) Third Point Loading on a simple span give results less than The center loading.



(2) Specimen dimensions

If $A \rightarrow \text{constant}$

$$\sigma = \frac{MY}{I}$$

3) The shape of X-section of beam.

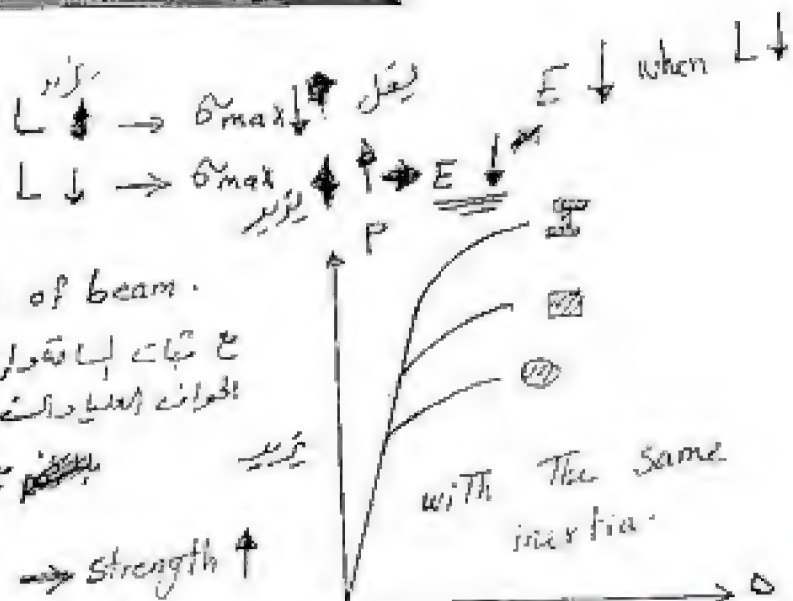
مع ثبات مساحة المقطع شكل المقطع كلما زادت لمعانته

σ_{max}

المعانة العالية والصلابة في زيادة المقطع اللزوم تتكسر

4) Test Speed

Speed $\uparrow \Rightarrow$ Strength \uparrow



Types of Tests

- Hot bend test

- يستخدم لقياس نسبة التكرير في الحديد المطاوع
wrought Iron at 1000°C

- Azarack-bend test بثني الحديد

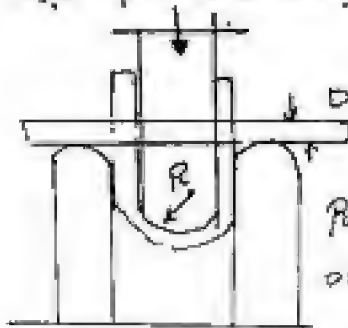
يستخدم لعرض نسبة التكرير

- A nick-bend test التفتيش بالحز

يستخدم لعمل اختبار سريع وفحص التآكل
الناشئ للمادة المعرضة للعيب الداخلي

- Cold bend test

- يستخدم للتحقق من مطيلية المادة وعرض نسبة التكرير في الفولاذ

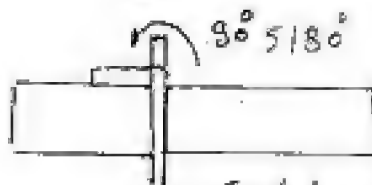


$$R = 1.5D$$

$$\text{or } R = D$$



يستخدم في اختبار التسليخ "wires"



كلما زادت عدد مرات الثني توضح مدى المطيلية.

Sheet [5] Static Bending

(1-3) تمرين

№ [4] Cast Iron beam
Central Load

$$L = 80 \text{ mm}$$

$$M.O.R = 0.196 \text{ kg/cm}^2$$



Load (Kg)	150	300	450	600	750	900	1050	1100	
deflection (mm)	1.05	2.1	3.15	4.2	5.25	6.8	8.88	Failure	

1) Draw - P-Δ Diagram.

a) find Diameter of cross section

$$\text{resilience} = \frac{1}{2} P \Delta \text{ at P.L}$$

$$= \frac{1}{2} \times 750 \times \frac{5.25}{10}$$

$$R = 196.875$$

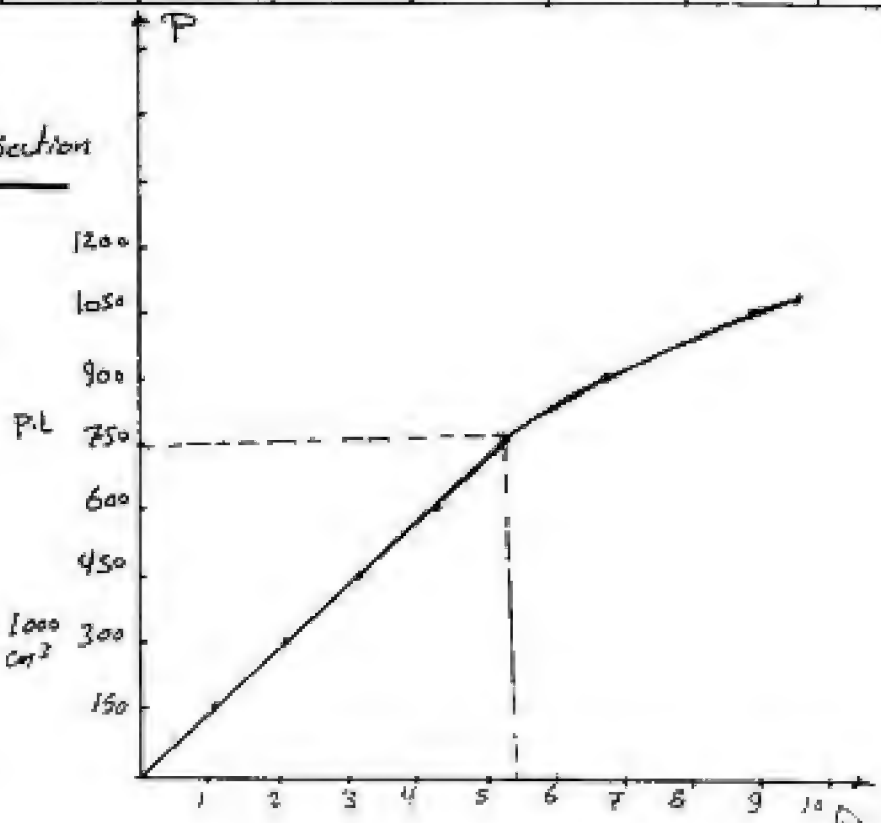
$$M.O.R = \frac{R}{\text{volume}}$$

$$\text{Vol} = \frac{R}{M.O.R} = \frac{196.875}{0.196} = 1000 \text{ cm}^3$$

$$\text{Volume} = \frac{\pi}{4} (D^2) \times L$$

$$1000 = \frac{\pi}{4} (D^2) \times 80$$

$$D^2 = 159 \text{ cm}^2 \quad D = 12.6 \text{ cm}$$



b) Modulus of rupture

$$\sigma_{ult} = \frac{M Y_{max}}{I}$$

$$M = \frac{P L}{4} = \frac{1100 \times 8}{4} = 2200 \text{ Kg. cm}$$

$$Y = \frac{12.6}{2} = 6.3 \text{ cm}$$

$$I = \frac{\pi}{64} (D^4) = \frac{\pi}{64} (12.6)^4 = 1237.2 \text{ cm}^4$$

$$\sigma_{ult} = \frac{2200 \times 6.3}{1237.2} = 11.2 \text{ kg/cm}^2$$

c) Modulus of elasticity E

$$E = \frac{P L^3}{48 \Delta I} \quad \text{UP TO P.L}$$

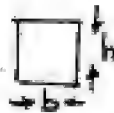
$$E = \frac{(150) * 8^3}{48 \left(\frac{1.05}{10} \right) + 1237.23} = 12.31 \text{ Kg/cm}^2$$

5) Timber beam

- Centrally Loaded

- L = 90 cm

- b = 2.5 cm h = 5 cm



Load Kg	100	200	300	400	500	600	700	750	
deflection (mm)	4.75	9.52	14.3	19.02	23.86	28.8	36.1	Failure	

- Draw The P-Δ Diagram.

a) $\sigma_{p.l}$ [Extreme fiber stress at P.L]

$$\sigma_{p.l} = \frac{M_{p.l} + P}{I}$$

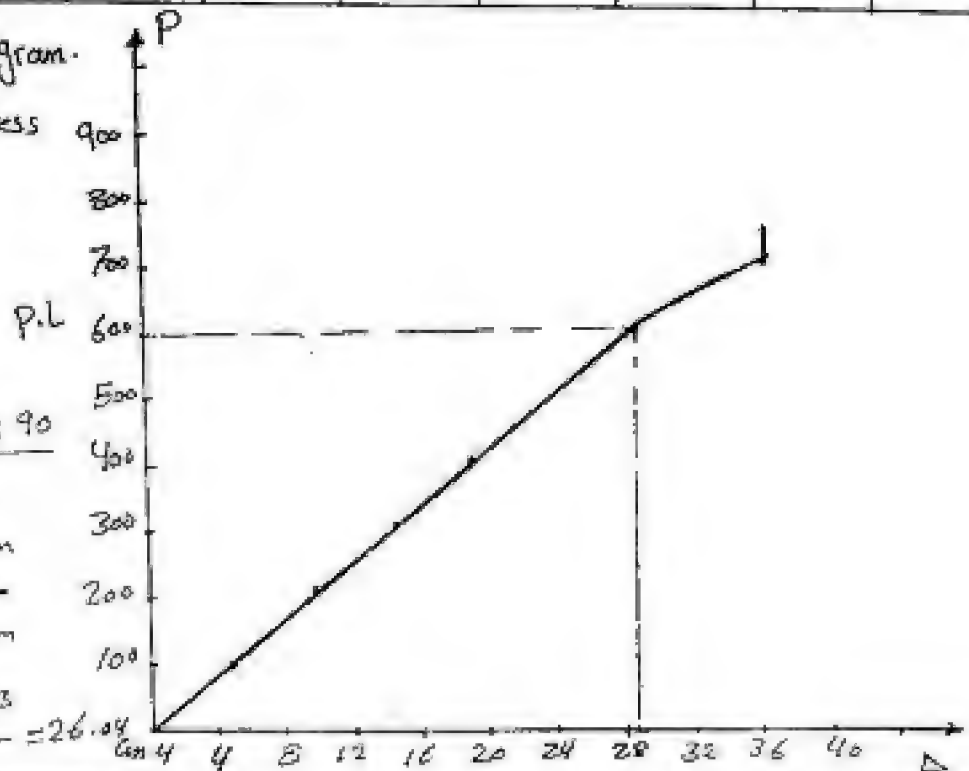
$$M_{p.l} = \frac{P_{p.l} * L}{4} = \frac{600 * 90}{4}$$

$$M_{p.l} = 13500 \text{ Kg.cm}$$

$$Y = \frac{h}{2} = \frac{5}{2} = 2.5 \text{ cm}$$

$$I = \frac{b h^3}{12} = \frac{2.5 * 5^3}{12} = 26.04$$

$$\sigma_{p.l} = \frac{13500 * 2.5}{26.04} = 1296 \text{ Kg/cm}^2$$



b) Modulus of rupture

$$\sigma_{max} = \frac{M \times Y_{(max)}}{I}$$

$$M = \frac{750 \times 90}{4} = \underline{16875 \text{ Kg.cm}}$$

$$\sigma_{max} = \frac{16875 \times 2.5}{26.04} = \underline{1620 \text{ Kg/cm}^2}$$

c) Modulus of resilience

$$R = \frac{1}{2} P \cdot \Delta \text{ at P.L}$$

$$R = \frac{1}{2} \times 600 \times \frac{28.8}{10} = \underline{864 \text{ Kg.cm}}$$

$$MOR = \frac{R}{Vol} = \frac{864}{[2.5 \times 5] \times 90} = \underline{0.768 \text{ Kg/cm}^2}$$

d) Modulus of toughness

$$T = \frac{2}{3} P_{max} \Delta_{max}$$

$$T = \frac{2}{3} \times 750 \times 361 = \underline{15050 \text{ Kg.cm}}$$

$$MOT = \frac{T}{Vol} = \frac{15050}{(2.5 \times 5) \times 90} = \underline{13.38 \text{ Kg/cm}^2}$$

e) Stiffness of material (E)

$$E = \frac{PL^3}{48 \Delta I} \text{ up to P.L}$$

$$E = \frac{(100) \times 90^3}{48 \left(\frac{4.75}{10} \right) \times 26.04} = \underline{122778.9 \text{ Kg/cm}^2}$$

6) a cantilever 1.2 m

steel Tube with $D_{\text{ex}} = 6 \text{ cm}$
 $D_{\text{in}} = 5 \text{ cm}$

carry a conc. Load = $W \text{ kg}$

$$\sigma_{\text{max}} \leq 1.3 \text{ ton/cm}^2$$

Find "W"



Solution

$$\sigma_{\text{max}} = \frac{(W \times L) \times Y}{I} \quad \text{where } M = W \times L$$

$$\underline{1.3} = \frac{W \times 120 \times \frac{6}{2}}{\frac{\pi}{64} [6^4 - 5^4]} = \frac{W \times 360}{32.94} = \underline{10.93 W}$$

$$W = 0.1189 \text{ ton} = 118.9 \text{ kg} * = W \leq \underline{118.9 \text{ kg} *}$$

"6"
4/11

"Material"

= Compression Test =

* اختبار ضغط *



اختبار الضغط

Static Compression Test

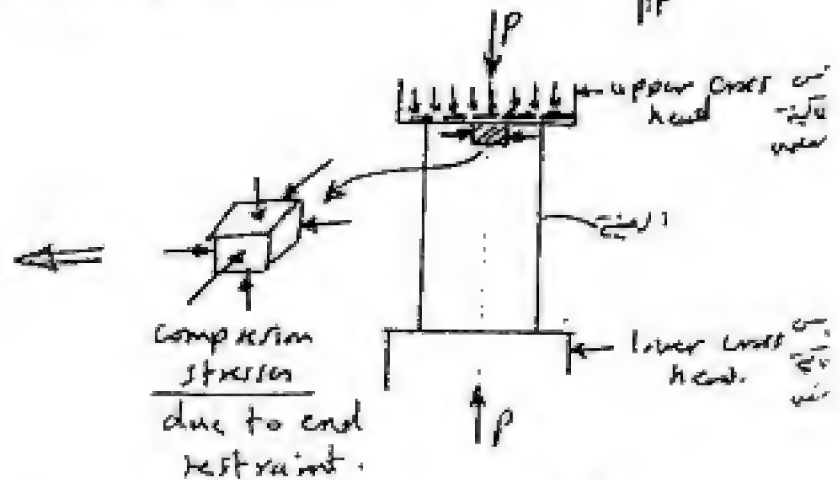
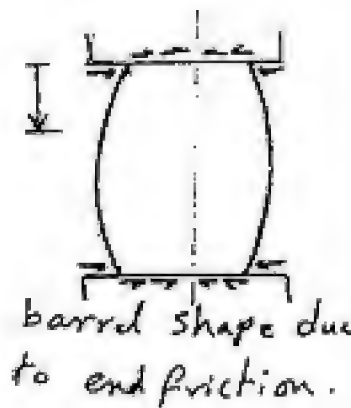
- 1- يستخدم كأساس لاختبار المواد غير المعدنية (non-metallic material) مثل:
 - 1- Concrete ، 2- Wood ، 3- Stones ، etc.
- 2- يستخدم لحساب الخصائص الميكانيكية للمواد المعدنية وغير المعدنية.

أهم القيود واختبار الضغط: Limitations of Compression Test

① Difficulty of applying truly axial load
 1- صعوبة تطبيق حمل محوري.

② End friction between the two end surfaces of test specimen and the two cross-head of testing machines.

* that friction prevent the lateral expansion and hold the specimen ends near its original dimension



* إلى حد ما يتم سطح العين المتحرك وبسبب ذلك يتغير شكلها.

* هذا الاختبار لا يمنع حدوث تشقق عرضي (Lateral expansion) وتشقق الزوايا
 نتيجة جدا من أبعادها الأصلية.
 يمكن هذا الاختبار كما بعد ذلك أن يكون إمكانية تحديد تقاطع للعين
 (barrel shape).

٢ - الفبيعة بفرقتة لانه اليفتير - :-able character of this test

٣ - obtain sufficient degree of stability large specimen size is required which lead to the need for large capacity testing machines.

٤ - لكي يتم الحصول على درجة انضام كافية بالماينة فبالتك تحتاج الى عينات ذات حجم كبير والعينات ذات الحجم الكبير تحتاج لآلات سعة عالية وهذه صعبة .

** Compression test specimen general requirements

المطلوبات العامة لعينة الاختبار : المضط

① Shape of cross-section شكل العينة

Round (circular) — rectangular — square cross-section.



العينات الدائرية مضطعة لأعلى فتلك توزيع منتظم للجهود .

② Specimen Size :- حجم العينات .

- Define as the ratio $(\frac{L}{A})$ or $\frac{L}{d}$

- $\frac{L}{d}$ must be not too small not too large

يجب ان يكون $\frac{L}{d}$ صغير جدا ولا كبير جدا

why?

1- If $\frac{L}{d}$ is too small -

$\frac{L}{d}$ too small



سوف يكون تأثير الضغط بهيكلية صغيرا جدا
فقط ، ولا يمكن قياسه
سوف يتغير تأثير الضغط
buckling

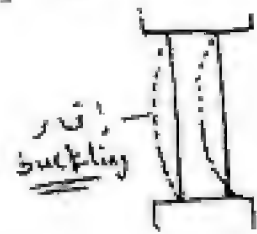


2- If L/d is too large -

بسیار زیاد (buckling) به مقدار بسیار زیاد منتهی می شود

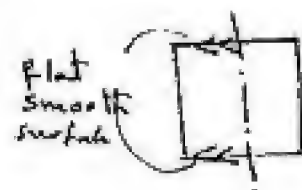
$$40 \geq L/d \geq 2$$

در اینجا



③ The specimen must have smooth flat end surface.
العینه باید از یک سر تا آخر صاف و صاف باشد.

اگر اگر صاف نباشد، سطح غیر صاف بودن
local stress را ایجاد می کند و منتهی به
local failure می شود. (نقطه ای شکست)
در یک نقطه شکست می خورد.



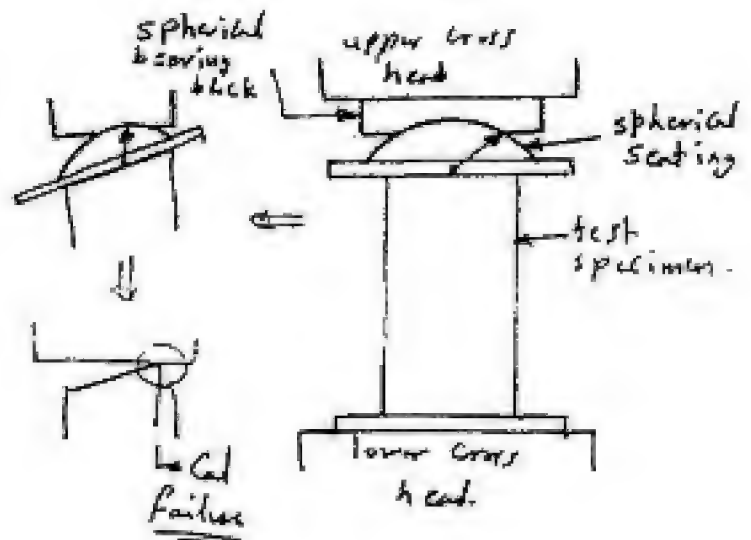
To overcome the flatness and parallelism between
the two surfaces of test specimen.

تغلب بر عدم صاف بودن و موازی بودن سطح العینه

Use Spherical seating block

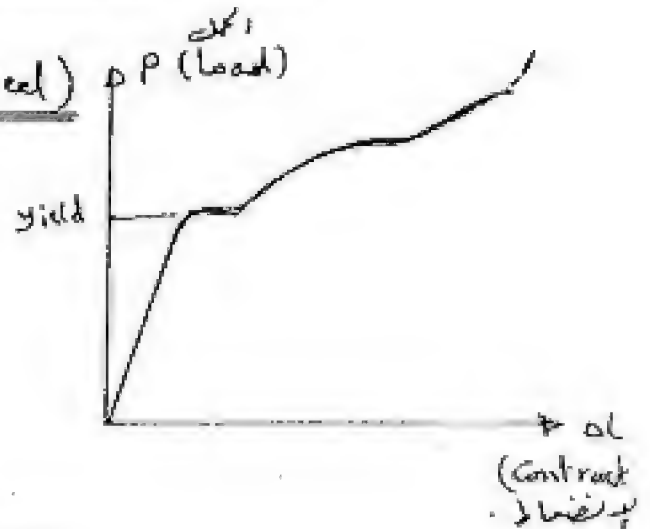
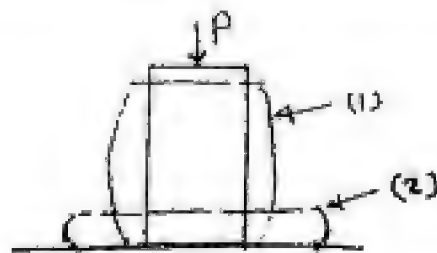
هذه الطريقة توفيق دهنده
التي توفيق توفيق توفيق
توفيق توفيق توفيق (Flat)
توفيق توفيق توفيق توفيق

وهذا يمنع حدوث الفشل
local failure



** Behavior of materials under compression

① Consider a material (mild steel)



(1) barrel shape انحراف بریل

- (أ) بسبب الانحراف لا يتم سحلي العينة مرقص دائرية
(ب) يتم سحلي الانحراف لا كما يحدث عند سحلي دائرية - نريد
تفصيل سحلي (barrel).

(2) flattening of the specimen استواء العينة

تفصيل العينة عند سحلي سحلي يزيد سحلي العينة (contracting)
سحلي سحلي به تعبئة العينة استواء

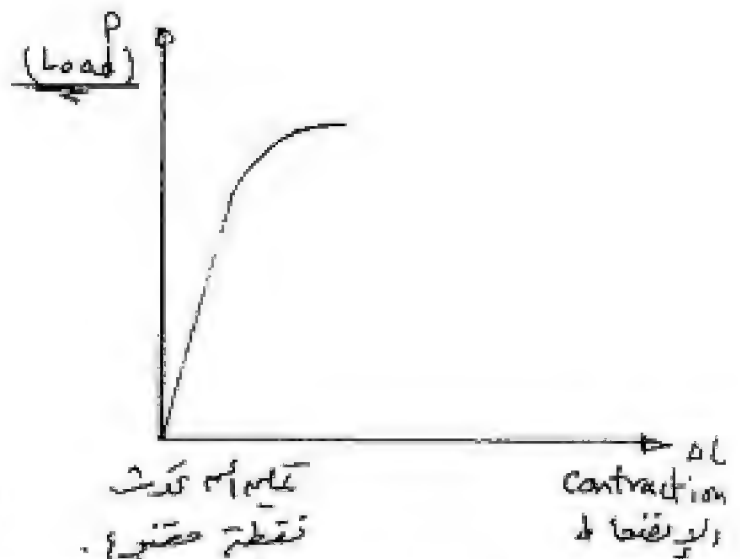
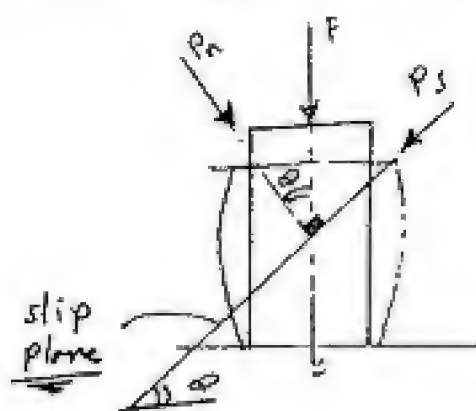
** Failure without fracture استواء بدون كسر

* yielding هبوط العينة استواء

** الخصائص الميكانيكية نفس المعادلات المستخدمة في الشد
لكن باتجاه العينة

ductile materials

② Semi-Ductile metals :- (Brass)



- 1- Yield point may exist
- 2- Fracture is due to shear stresses along an angle

$$\phi = 45 + \frac{\phi}{2}$$

where ϕ :- angle of internal friction.

In Brass $\phi \approx 50^\circ$ $\phi \approx 10^\circ$

* ultimate strength ($\sigma_{ult} = \sigma_{fracture}$)

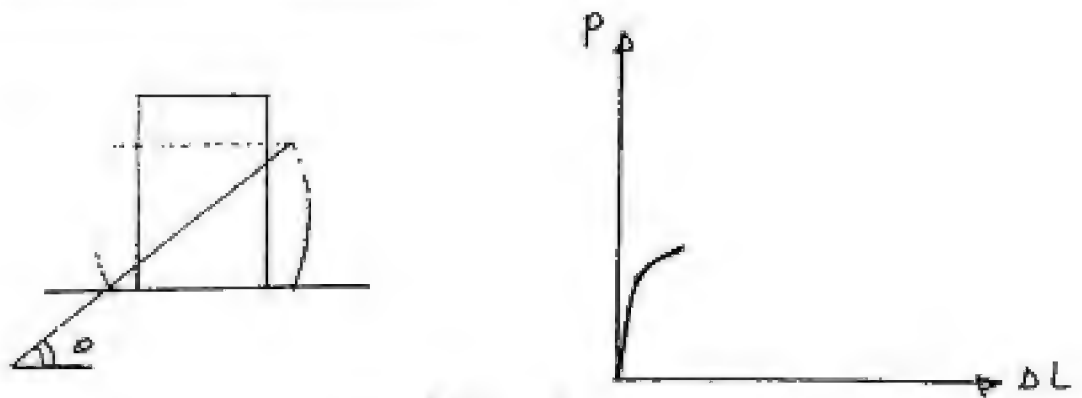
$$\sigma_{ult} = \frac{P_{ult}}{A_0}$$

P_{max} :- max applied load.

A_0 :- Initial cross-section area.

Fracture occurs at maximum loading. #

③ Brittle material (cast iron)

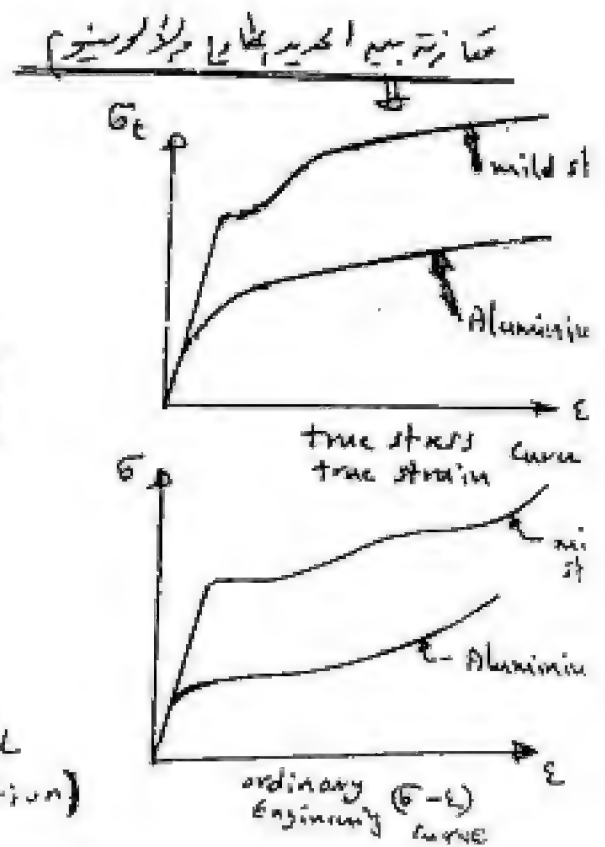
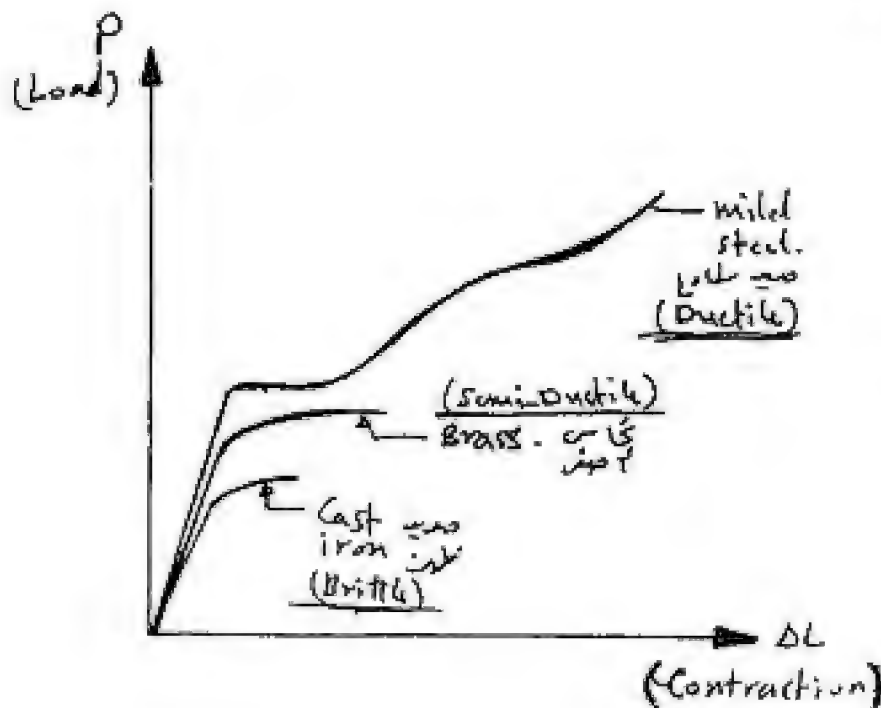


- 1- No yield occurs لا يوجد نقطة الخضوع
- 2- Fracture is due to shear stresses along an angle

$$\phi = 45^\circ + \frac{\phi}{2}$$

$$\phi = 55^\circ - 60^\circ \quad \#$$

$$\bar{\sigma}_{ult} = \frac{P_{ult}}{A_0}$$



* Engineering ($\sigma - \epsilon$)

$$\bar{\sigma} = \frac{P_i}{A_0} \quad \epsilon = \frac{\Delta L}{L_0}$$

* True ($\bar{\sigma}_t - \epsilon_t$)

$$\bar{\sigma}_t = \frac{P_i}{A_i} \quad \epsilon_t = \ln \left(\frac{A_i}{A_0} \right)$$

$$\epsilon_t = 2 \ln \left(\frac{d_i}{d_0} \right)$$

Malleability: المرونة

* the deformation occurred in the material under the comp. load before fracture. يمكن، كاد، يمتد تحت تأثير ضغط قبل كسر.

① %age contraction = $\frac{L_0 - L_f}{L_0} \times 100 \%$

② %age increase in cross-section = $\frac{A_f - A_0}{A_0} \times 100 \%$

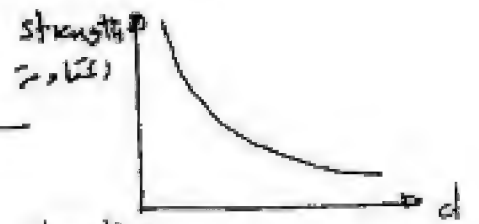
** Effect of test Variables

① Loading rate (test speed) سرعة التحميل

كما زاد معدل التحميل يزداد (strength) المتانة وقوة المرونة (malleability)

② specimen size حجم العينة

كما زاد حجم العينة يزداد حجم العيوب (impurities) وجودها
فيها، وبالتالي تقل المتانة وتقل ductility



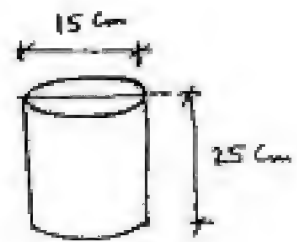
كما زاد طول العينة بزيادة قطرها يزداد تأثير buckling
وبالتالي تقل المتانة وتقل ductility



1

$$P_{max} = 250 \text{ kN}$$

$$\Delta L_{max} = 0.05 \text{ cm}$$



$$\sigma_{max} = \frac{P_{max}}{Area} = \frac{250}{\frac{\pi}{4} \times (15)^2} = 1.414 \text{ kN/cm}^2 = 1414.71 \text{ N/cm}^2$$

$$\% \text{ Contraction} = \frac{L_0 - L_f}{L_0} \times 100 \% = \frac{0.05}{25} = 0.2 \% \rightarrow \text{Brittle material (Concrete)}$$

- Secant Modulus of elasticity (E)

at $\sigma = 455 \text{ N/cm}^2$ and $\Delta L = 0.0075 \text{ cm}$

$$\epsilon = \frac{\Delta L}{L} = \frac{0.0075}{25} = 3 \times 10^{-4}$$

$$E = \frac{\sigma}{\epsilon} = \frac{455}{3 \times 10^{-4}} = 1.5166 \times 10^6 \text{ N/cm}^2 \quad \#$$



2

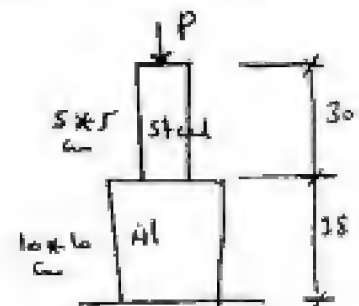
$$P = ??$$

$$\Delta L_T = 0.25 \text{ mm} = 0.025 \text{ cm}$$

$$E_{st} = 210 \text{ kN/mm}^2 < E_{Al} = 70 \text{ kN/mm}^2$$

$$\sigma = E \epsilon \Rightarrow \frac{P}{A} = E \frac{\Delta L}{L} \rightarrow$$

$$\Delta L = \frac{PL}{EA} \quad \Delta L_T = \Delta L_{st} + \Delta L_{Al}$$



$$\Delta L_T = \frac{P L_{st}}{E_{st} A_{st}} + \frac{P L_{Al}}{E_{Al} A_{Al}} = P \left[\frac{L_{st}}{E_{st} A_{st}} + \frac{L_{Al}}{E_{Al} A_{Al}} \right]$$

$$0.25 = P \left[\frac{300}{210 \times 50 \times 50} + \frac{380}{70 \times 100 \times 100} \right] \Rightarrow$$

$$P = 224.36 \text{ kN} \quad \#$$

3

$$A = 10 \text{ cm}^2$$

$$L = 20 \text{ cm}$$

elastic \rightarrow plastic

Load (kg)	0	2700	6750	10100	12500	17500	20000	27000
Decrease in height (mm)	0	0.055	0.1375	0.205	0.255	0.365	0.445	0.7

$$(a) - \bar{\sigma}_{ult} = \frac{P_{ult}}{A_0} = \frac{27000}{10} = 2700 \text{ kg/cm}^2 \quad \#$$

$$(b) - M.O.R = \frac{1}{2} \times \bar{\sigma}_p \times \epsilon_p \times L$$

$$= \frac{1}{2} \times \frac{6750}{10} \times \frac{0.1375}{200} = 0.232 \text{ kg/cm}^2 \quad \#$$

$$(c) - \bar{\sigma}_e \times L = \frac{P_{eL}}{A_0} = \frac{6750}{10} = 675 \text{ kg/cm}^2 \quad \#$$

$$(d) - E = \frac{\bar{\sigma}_{eL}}{\epsilon_{eL}} = \frac{675}{\frac{0.1375}{200}} = 98181.8 \text{ kg/cm}^2 \quad \#$$

$$(e) - M.O.T = \left(\frac{\bar{\sigma}_y + \bar{\sigma}_{max}}{2} \right) \times \epsilon_{max}$$

$$= 0.5 \left(\frac{6750}{10} + \frac{27000}{10} \right) \times \frac{0.7}{200} = 5.9 \text{ kg/cm}^2 \quad \#$$

$$(f) - \% \text{ Contraction} = \frac{L_0 - L_f}{L_0} \times 100\% = \frac{0.7}{200} \times 100 = 0.35\% \quad \#$$



"MATERIAL"

Static Bending
Test....



Static bending Test: ا. افتبار ایستاتیک

Cases of bending :-

Case (1)

- Beam under vertical loads.

Case (2)

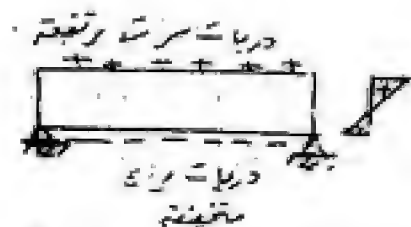
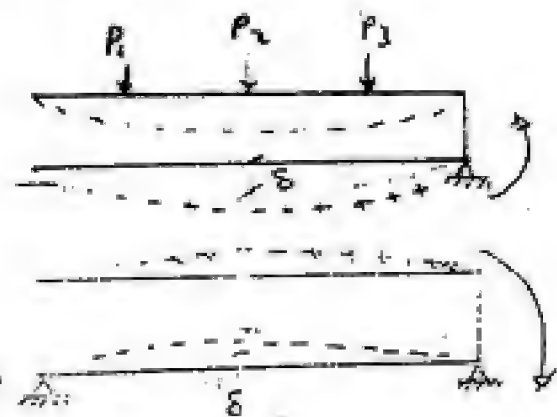
- Beam under external applied moment.

Case (3)

- Beam under eccentric force.

Case (4)

- Beam under different temperature.



* What are the importance of bending test :-

۱- به یاری این آزمایش می توان به بررسی تغییرات تنش (stress concentration)

۲- به یاری این آزمایش می توان به بررسی تغییرات کرنش (strain)

۳- به یاری این آزمایش می توان به بررسی تغییرات مدول الاستیسیته (modulus of elasticity)

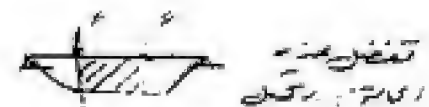
* assumption of bending theory :-

1- plane after bending.

2- pure bending moment is assumed

3- material have same characteristic in tension & compression ($E_t = E_c$)

4- radius of Curvature beam during bending is large compared to the transverse dimensions.



critical properties in bending (flexural) :-

1. strength :-


a) elastic bending strength :-

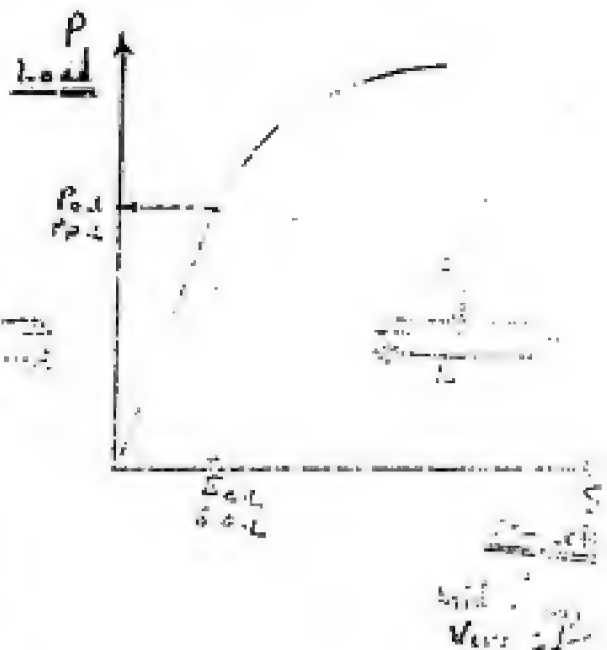
$$\sigma_e = \frac{M_{e-L} \times y}{I}$$

$$M = \frac{PL}{4} \Rightarrow (P = P_{e-L})$$

$$y = \frac{d}{2}$$

$$I = \frac{bd^3}{12}$$

If  $I = \frac{\pi d^4}{64}$



b) max bending strength (Modulus of rupture in bending)

$$\sigma_{max} = \frac{M_{max} \times y}{I}$$

$$M_{max} = \frac{P_{max} \times L}{4} \quad y = \frac{d}{2} \quad I = \frac{bd^3}{12}$$

② stiffness in bending (Modulus of elasticity)

$$\delta = \frac{PL^3}{48EI}$$

$$\Rightarrow \left(E = \frac{PL^3}{48\delta I} \right) \Rightarrow E = \frac{P}{\delta} \times \frac{L^3}{48I}$$

3. Modulus of rupture in flexure

$$R = \frac{1}{2} \times P_{p-L} \times \delta_{p-L} \quad \#$$

$$M \cdot R = \frac{R}{L} = \frac{1}{2} \frac{P_{p-L} \times \delta_{p-L}}{A \times L} \quad \#$$

④ Toughness :-

$T = \text{total area under } P-\delta \text{ Curve.}$

$$T = \frac{2}{3} P_{\max} \times \delta_{\max} \Rightarrow M.O.T = \frac{T}{L} = \frac{2}{3} \frac{P_{\max} \times \delta_{\max}}{L}$$

* fracture in bending :-

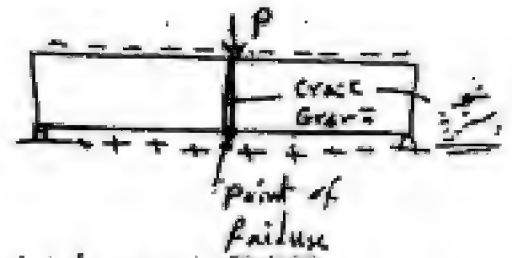
① for Brittle materials

EX:- Cast iron & concrete

For concrete $\epsilon_c = 0.1 \epsilon_c$

Cast iron $\epsilon_c = 0.25 \epsilon_c$

نکته :- $\epsilon_c = 0.1 \epsilon_c$ for concrete



failure is due to crack growth due to tension and is sudden failure.

② for ductile materials

EX (mild steel)

steel doesn't rupture at all.

* عند وصول عزم إلى حد معين

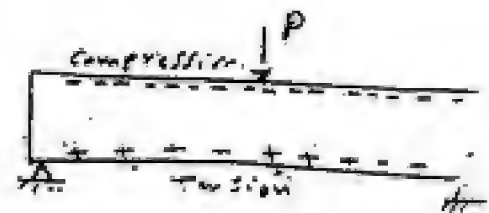
يحدث انحناء كبير (large deflection)

و يحدث yielding

في منطقة (plastic hinge) حيث يحدث انحناء

للقضيب ولا يتفكك ويقتصر هذا على المواد

*



* Factors affecting properties :-

① Type of loading :-

3-point loading

3-point loading



4-point loading



in 3-point loading only a small volume of the beam is subjected to σ_{max} .

in 4-point loading a much larger volume is subjected to σ_{max} .

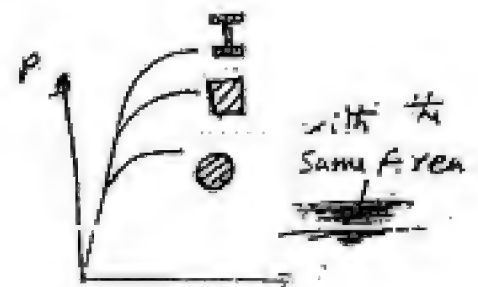
② Specimen dimension :-

a) if specimen size \uparrow strength \downarrow due to increase in imperfections

b) span of beam :-

$L \downarrow$ $\sigma_{ult} \uparrow$ $E \downarrow$

c) shape of cross section :-



③ test speed :-

as test speed \uparrow strength \uparrow

* Types of tests :-

- slow-bend test :-

used for all materials

- quench-bend test :-

- spark-bend test :-

used for testing of materials which are not ductile.

* Cold bend test :- اختبار البنىء البارد.

هو اختبار لقياس مطوية المادة
material ductility.

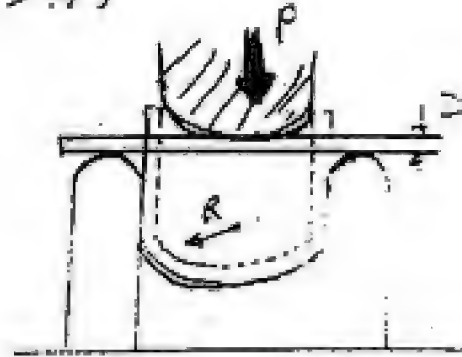
وكنة الحزقة نسبة التكرور د افر منور.

$$R = D \text{ If } D \leq 25 \text{ mm.}$$

$$R = 1.5D \text{ If } D > 25 \text{ mm.}$$

يتم: (مبارات بربلاو (wire)

سما فادد دور مرات البنىء قو منور د افر منور.



Material

Static shear

Torsion Test

اختبار القص و اللي

==

~

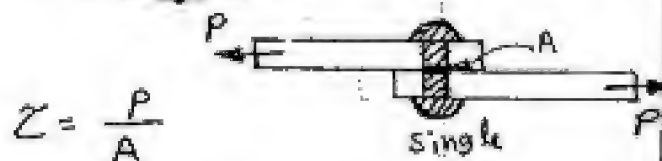
القص، انحناء
مركب

static shear and torsion test

① Shear test (direct)

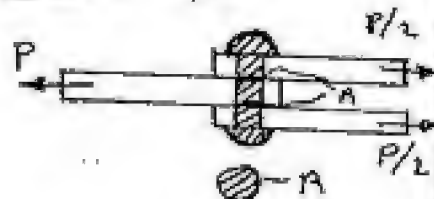
القص المباشر

a) single shear . قص بسيط



$$\tau = \frac{P}{A}$$

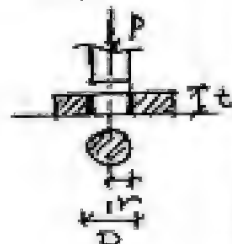
b) double shear . قص مزدوج



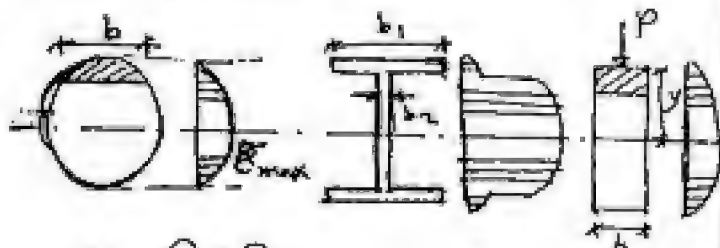
$$\tau = \frac{P}{2A}$$

c) Punching shear . قص بالثقوب

$$\tau = \frac{P}{\pi D t}$$



* Shear in beams :-



$$\tau = \frac{Q \cdot S_x}{I_x \cdot b}$$

Q :- shear force

S_x :- 1st moment of Area = $A \cdot y$

I :- 2nd " " "

b :- width.

② torsion test

التواء



$$\gamma = \frac{\phi}{L} \Rightarrow \gamma = \frac{r \phi}{L}$$

γ :- shear strain.

G :- Shear Modulus of rigidity.

(G (T) i (Modulus of Elasticity))

$$G = \frac{\tau}{\gamma} = \frac{\text{shear stress (torsion)}}{\text{shear strain}}$$

$$\gamma = \frac{\tau}{G} = \frac{r \phi}{L} \quad \tau = \frac{T}{J} r$$

$$\frac{\tau}{r} = \frac{G \phi}{L} = \frac{T}{J} \Rightarrow \text{General equation for torsion.}$$

$$\tau = \frac{T}{J} r = \frac{G \phi}{L} r = G \gamma$$

J :- Polar moment of inertia.

$$J = \frac{\pi}{32} D^4$$

For elastic Torsion

$$\tau \propto r$$



torsion stress.

shear stress.

* Mechanical properties in Torsion :-

(1) elastic shear strength الخاصة بالمرحلة المرنة

$$\tau_e = \frac{T_e}{J} r \quad \text{where } J = \frac{\pi}{32} * d^4$$

T_e :- Torque moment
 d :- diameter

$$\tau_e = \frac{T_e * d}{\frac{\pi}{32} * d^4} = \frac{16 T_e}{\pi d^3} \Rightarrow \tau_e = \frac{16 T}{\pi d^3} \quad \#$$

(2) ultimate Torsional shear strength الخاصة بالمرحلة النهائية

τ_{max} is determine experimentally. يتم تحديدها تجريبياً

a) $\tau_{max} = \frac{12 T_{max}}{\pi d^3} \Rightarrow$ for ductile materials. } For solid sections

b) $\tau_{max} = \frac{14 T_{max}}{\pi d^3} \Rightarrow$ for Brittle materials.



c) $\tau_{max} = \frac{4 T_{max}}{\pi d^2 t} \Rightarrow$ for hollow sections

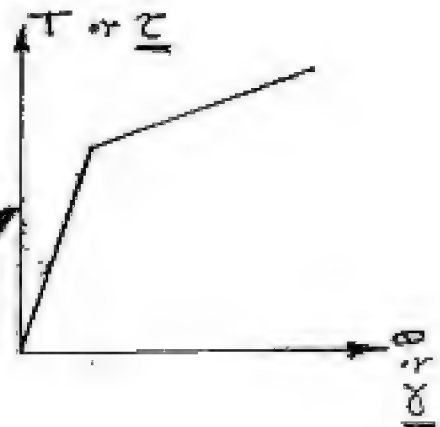


(3) Modulus of rigidity "G" معامل المرونة

$$G = \frac{\tau}{\gamma} \Rightarrow \tau = \frac{T}{J} r$$

$$\gamma = \frac{r \theta}{L}$$

$$G = \frac{T * r}{J} * \frac{L}{r * \theta} = \frac{T * L}{J * \theta} = \left(\frac{L}{J} \right) * \left(\frac{T}{\theta} \right)$$



(4) Ductility المتانة

a) θ_{max} الزاوية القصوى

$\theta_{max} \uparrow$ Ductility \uparrow

or $\% \text{ elongation} = \frac{\Delta L}{L_0} * 100 = \frac{L' - L_0}{L_0} * 100 \%$

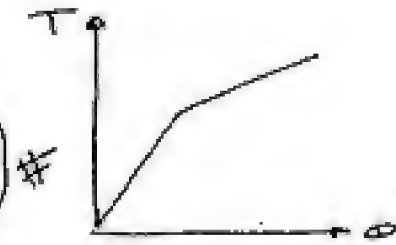


(4) Resilience انرژی ذخیره شده

$$- R = \frac{1}{2} T \times \theta$$

$$- M.O.R = \frac{R}{V} \rightarrow \text{مقدار انرژیه ذخیره شده}$$

با تغییر بردار
 θ :- in radian
 $\theta^\circ = \frac{\theta \times \pi}{180}$



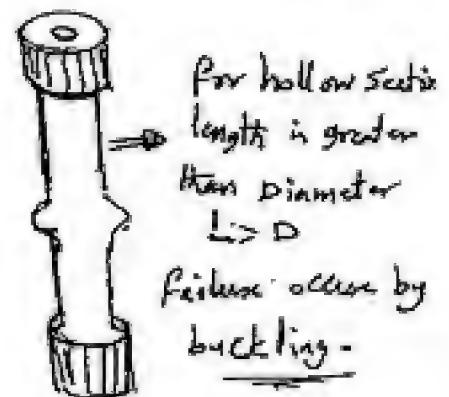
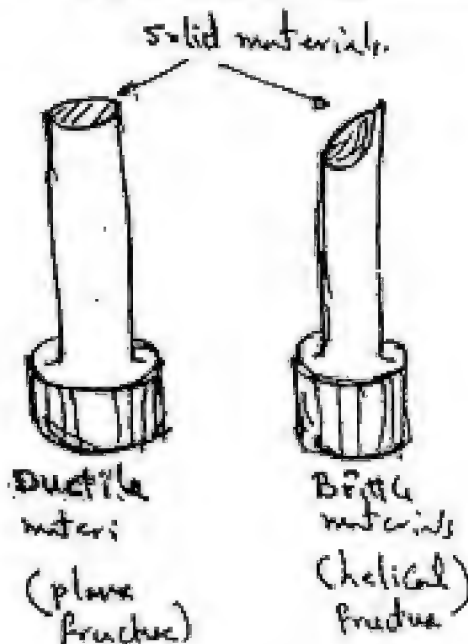
(5) Toughness توان

$$- T = \frac{2}{3} \times T \times \theta$$

$$- M.O.T = \frac{T}{V}$$

** Failure under Torsion.

الاستیک، پلاستیک، و شکست



* For brittle mat. (Cast iron) :- tensile strength < shear strength

* rupture occur due to tensile separation along helical surface
 الیستیک، پلاستیک، و شکست

Sheet (5) (Torsion)

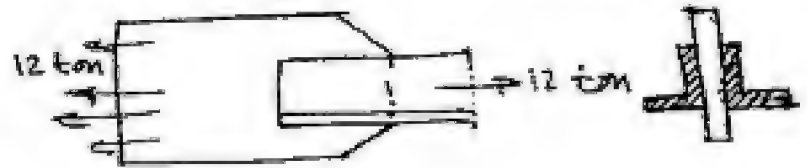
(1)

Given

(Double shear)

$$d_{rivet} = 20 \text{ mm} = 2 \text{ cm}$$

$$\tau_{all} = 0.8 \text{ t/cm}^2$$



Req

n :- no of bolts . عدد بولت ها

Solution

$$\tau = \frac{Q_{max}}{2 * A} \Rightarrow 0.8 = \frac{12}{2 * A} \Rightarrow A = \frac{12 * 6}{2 * 0.8} = \frac{60}{8} = 7.5 \text{ cm}^2$$

Per double shear. (هر دو برش)

$$A_{total} = n * A_{rivet} \Rightarrow n = \frac{A_{tot}}{A_{rivet}} = \frac{7.5}{\pi * (2)^2} = 2.38$$

Take no of bolts = 3 bolts

(2) Ductile materials

Brittle materials

(1) Tension

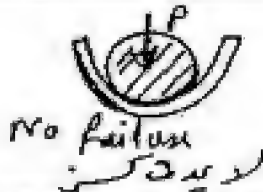


Cup & Cone failure

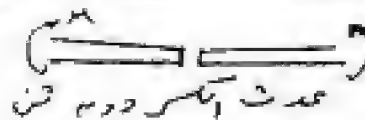


tensile fracture or plane failure.

(2) Cold bend test



No failure



عیدت شکست در دو طرف

(3) Torsion



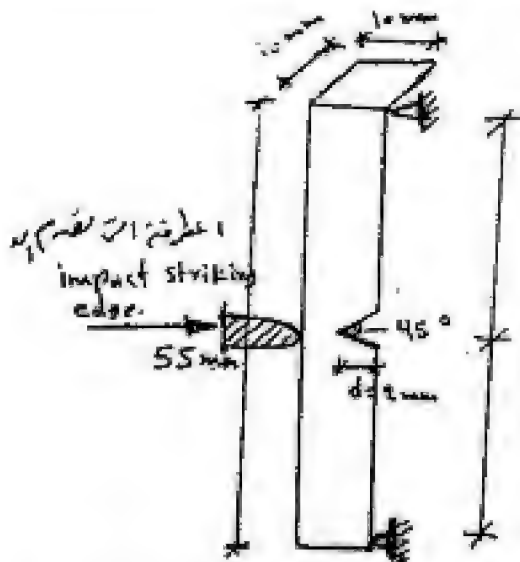
Plane failure
شکست در دو طرف



helical failure
شکست در دو طرف

Notched bar impact test

Charpy Test.

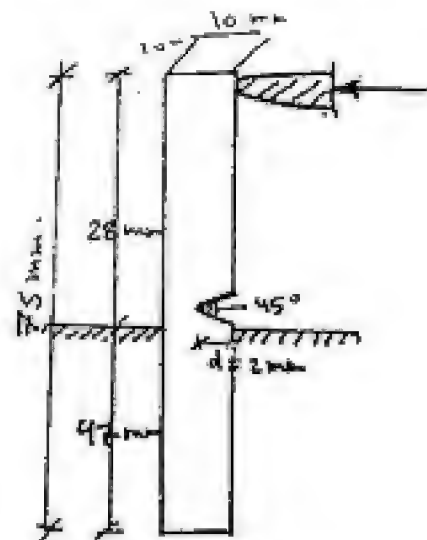


* Simple supported beam.

10 * 10 * 55 mm. ← العينة

* العطرقة لقسم العينة من خلف notch
حيث يكونها ربيع معرفة كمية (I.V)
الطاقة المبذورة.

Izod Test.



* Cantilever beam.

10 * 10 * 75 mm ← العينة

* العطرقة لقسم العينة من أمام notch
حيث يكونها ربيع معرفة كمية (I.V)
الطاقة المبذورة.

1] Why Charpy and Izod specimens are notched?

متى يحدث انشطار مفاجئ، منطقة notch، العينة كما يحدث، المواد الهشة (brittle materials) تكون يتركز عليه طاقة كبيرة مسببة ضرراً، المواد المطيعة تمتد وتمرور notch على سطح حيث تشكل، العينة، وليس انشطار.

2] Why Charpy specimens are strucked behind the notch while Izod specimens are strucked in front of notch?

متى تكون notch منطقة انشطار، وبالتالي يكون، انكسر سطح، عينات الانشطار.

(3) Given

- $\tau_{all} = 60 \text{ N/mm}^2$
- $T = 10 \text{ kN.m}$
- linear elastic behaviour.

Draw stress distribution (shear) along the shaft (x-section)
cyls, Key

1 - $d = ??$ (solid circular shaft)

2 - Hollow circular shaft have $D_{in} = 7/8 D_{out}$.

solution (a)

$$\tau = \frac{T \cdot r}{J} \Rightarrow \tau = \frac{T \times d}{\pi \times \frac{T}{32} d^4} = \frac{16T}{\pi d^3}$$

$$\begin{matrix} \text{KN/m}^2 \\ \downarrow \end{matrix} 60 \times 10^3 = \frac{10 \times 16}{\pi \times d^3} \Rightarrow d^3 = 0.8488 \times 10^{-3}$$

$$\Rightarrow d = 0.095 \text{ m} \Rightarrow d = 9.5 \text{ cm} \quad \# (a)$$

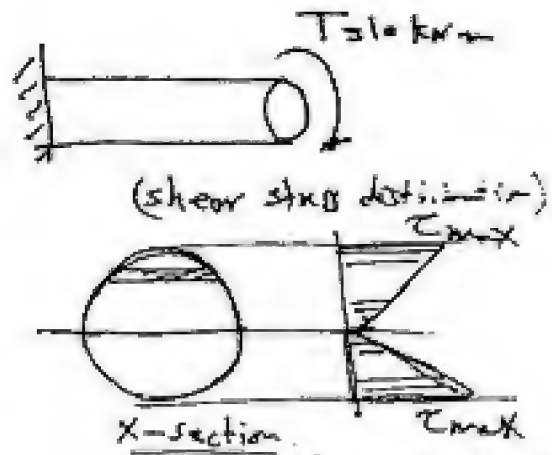
- for Hollow shaft

$$\tau = \frac{T \times d_{out}}{2 \times \frac{\pi}{32} (D_{out}^4 - \frac{7}{8} D_{out}^4)}$$

$$\tau = \frac{T \times d_{out}}{\pi \times \frac{\pi}{32} D_{out}^4 (1 - \frac{7}{8})}$$

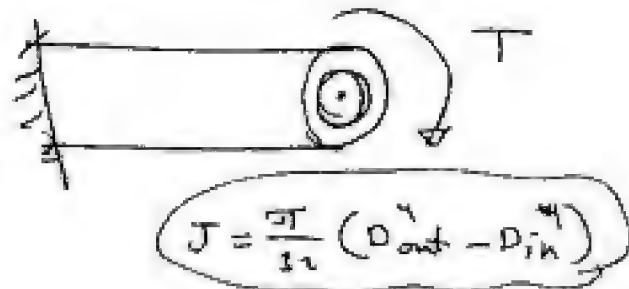
$$60 \times 10^3 = \frac{10 \times 16}{\pi \times 0.125 \times d_{out}^3} \Rightarrow d_{out}^3 = 0.00679 \Rightarrow d_{out} = 0.189 \text{ m} \Rightarrow d_{out} = 18.9 \text{ cm}$$

$$d_{in} = \frac{7}{8} \times 18.9 = 16.575 \text{ cm}$$



at $r=0$ $\tau=0$
at $r=\max$ $\tau=\max$

$$\tau \propto r \quad \#$$



Material

Hardness of Metals

صلابة

* Definition of hardness :- تدرجات الصلادة .

١- صلادة الغلابة (Indentation hardness)

- هي مقاومة المادة لحدوث غلابة دائمة بعد تحت تأثير أحمال إحصائية أو ديناميكية (يستعمل في مقارنة صلادة البكرات والمعدات الأخرى)

٢- صلادة الارتداد (Rebound hardness)

- هي قدرة المادة على استعاضة الطاقة الناتجة من أحمال الصدم والمواد كمرسح أخرى بعد زوال الحمل (يستعمل في صلادة البكرات Springs)

٣- صلادة الخدش (Scratch hardness)

- هي مقاومة مادة لحدوث خدش بحدس آخر .

٤- صلادة التآكل (Abrasion (wear) hardness)

- هي مقاومة سطح المعدن للتآكل نتيجة الاحتكاك (صلادة عجلات القطارات Railways)

٥- صلادة التشغيل بالآليات (machinability hardness)

- هي مقاومة المواد لعمليات التشغيل بالآلية (تد مقارنة المواد لعمليات القطع والتشغيل الخ)

** Static Indentation Hardness test **

أو اختبار صلادة الغلابة الإحصائية ١-

يعتبر اختبارات صلادة الغلابة من الاختبارات الغير تلفة (Non destructive test)

① Brinell Hardness test :-

هو اختبار صلادة المعدن بطريقة برنيل .

الإختبار :-

تتألف طريقة الإختبار من ضغط كرة من الصلب قطرها (D) مع حمل قدرته (P) على
المقياس يؤثر النتائج "d" مع أو "h" مع ، الناتج من هذا الضغط على سطح المادة
الإختبار وذلك بعد إزالة الحمل والفر.

* Indenter used :- صلب الإختبار أداة الضغط

- Hardness steel ball of diameter 1, 2, 5, 10 mm.
كرة من الصلب قطرها 1 - 10 mm.

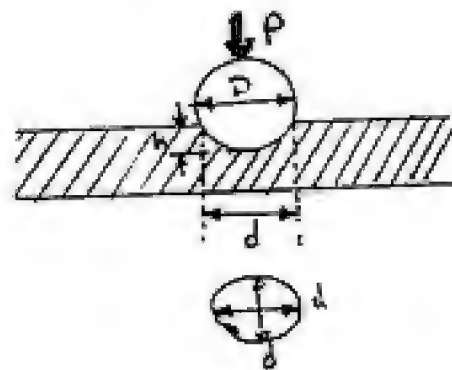
* Load used :- الحمل المستخدم

P = 3000 kg for hard metals.

P = 1500 kg for metals of intermediate hardness.

P = 500 kg for soft materials.

P = 100 kg for very soft materials.



* Brinell Hardness number * رقم بريل للصلابة

$$B.H.N = \frac{P}{\pi D h}$$

بداية "h" عمق الإختبار

$$B.H.N = \frac{P}{\frac{\pi D}{2} [D - \sqrt{D^2 - d^2}]}$$

where :-
P :- applied load (kg)
D :- Diameter of steel ball (mm)
d :- average diameter of indentation (mm)
h :- depth of impression (indentation) (mm)

- يعتبر المؤثر مناسب جداً في رتج برنل إذا كانت قيمة قطر الكرة تتراوح بين
 $d/D = (0.25 - 0.5) = 0.375$ ، القيمة الوسطى تكون 0.375

* كيفية حساب k في الاختبار

$$k = \frac{P}{D^2}$$

- يوجد تناسب بين P و D^2 في الاختبار "P" رتج الكرة برنل "D"

"k" ثابت يختلف باختلاف نوع المعدن .

$k = 30$ for steel.

$k = 10$ for Copper and Al. alloy.

$k = 5$ for Al.

علاقة (B.H.N) بـ إختبار برنل

- ultimate tensile strength of steel = $0.36 \text{ B.H.N kg/mm}^2$

$$\sigma_{ult} = 0.36 \times \text{B.H.N kg/mm}^2$$

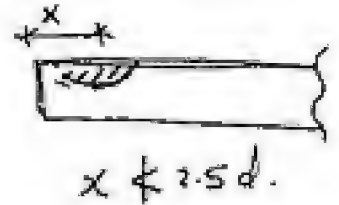
إحتياطات إجتناب إختبار برنل - Precautions of Brinell test

- 1- لا يتم الاختبار على عينات شديدة الصلابة حيث تحدث كسور وبقايا لا يعبر عنها الصلابة الحقيقية
- 2- لا يتم الاختبار على العينات الرقيقة (thin specimen) حيث تزداد (d/D) في السطح به .
- 3- لا يتم الاختبار على العينات المسددة مع السطح حيث يزداد عدم المؤثر في النتيجة يستعمل وبقايا لا يعبر عنها
- 4- لا يتم الاختبار على مسافة $(2.5d)$ من الحواف وبعيداً عن كلادة وكونها لا يوجد تأثير
- 5- السطح المعدن لابد أن يكون نظيفاً ومرتفعاً (clear & polished)
- 6- الزمن المسموح به $(15 - 30 \text{ sec})$

* effect of variables

a) the indentation was made near the edge :-

کیلوم اسٹار اسٹار آبوسہ تحقیق و ہائیک کیلوم رجم
برندہ میں بعدہ افسر میں کیلوم اقل سے اگر کی تحقیق
میں لکھو سادہ کانیہ سادہ اختصار لکھو

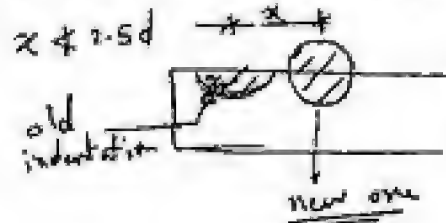


B. H. N. decrease.

b) the indentation was made near an old one i.e.

کیونکہ انہیں بھی دیکھا کہ اُن کے ہاتھ میں ہتھیار تھا۔

(B-A-N increase)



10

c) Rate of loading $\frac{W}{V}$ down

1 - slow rate

یومہ اندازہ: آخر حصہ پیرسہ صلاوۃ بعد من حیث گنیمۃ النکاح (۱، ۲، ۳، ۴)

2- High rate

[illegible]

B.H.N in Case 5

* Uses of V.H test

- ١- يستخدم لقياس صلابة المواد شديدة الصلابة (Very hard metals)
- ٢- يستخدم أيضا لقياس صلابة المواد رقيقة بسلك V.H thin spec واثبات لصلابة الاختبار عند

* Advantages of V.H.t

- ١- لا يحدث تشقق للمواد خاصة لأنها شديدة الصلابة تكسر الاختبار عند قيمة محدودة تشقق كثيرة.
 - ٢- الزاوية تكون واضحة نظرا لمعدن الاختبار المادة وبذلك يمكن قياس قطر الزاوية بدقة أكثر من بريل.
 - ٣- يمكن الحصول على نتيجة دقيقة كرات فيكون للمعدن المختبر وذلك مع استخدام مادة صلبة الجي وأعمال خفيفة معينة.
- لذلك يفضل اختبار الصلابة بطريقة فيكون هذه الطريقة بريل

حفظ

③ Rockwell Hardness test

تستخدم ماكينة خاصة لقياس هذا الاختبار.

Sheet No (6)

No "4"

<u>Given</u> steel specimen	
Brinell	Vickers
Load = 3000 Kg	Load = 100 Kg
B.H.N = 262	V.H.N = 263

Key

- Calculate the diameter and diagonal in the test. (BHN)
- get Bult If (k=30)

(solution)

① for (B.H.N)

$$B.H.N = \frac{P}{\frac{\pi D}{2} [D - \sqrt{D^2 - d^2}]}$$

take $\frac{d}{D} = 0.375$

$$262 = \frac{3000}{\frac{\pi}{2} D [D - \sqrt{D^2 - (0.375D)^2}]}$$

\Rightarrow get $D = \checkmark$ Diameter
 $d = 0.375 D = \checkmark$ diagonal.

$$\boxed{\text{Bult} = 0.36 B.H.N} \quad \& \quad k = \frac{P}{D^2} \Rightarrow \boxed{P = k \cdot D^2}$$

From $P \rightarrow$ get (B.H.N)

② for (V.H.N)

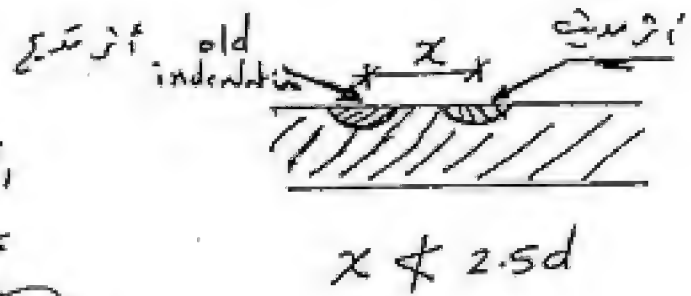
$$V.H.N = 1.854 \frac{F}{d^2} \Rightarrow \boxed{263 = 1.854 \frac{F}{d^2}}$$

\Rightarrow get $d = \checkmark$

اختبار برنس مع اقتراب من قديم

② Hardness test made near an old indentation.

يكون حجم البند قريباً من القديم
الحقيق من بارشاي يزاد رقم برنس
مع اقتراب الحقيق.



B.H.N \rightarrow increase

مميزات اختبار فيكرز (V.H.t)	عيوب اختبار برنس (B.H.t)
<p>١- يستخدم للعينات الحديدية، الصلبه</p> <p>٢- يستخدم للعينات قليلة الصلبه</p> <p>و دقيقة السك</p> <p>٣- يستخدم للعينات الصلبه مع الملح.</p> <p>٤- يمكن الحصول على قيمة دقيقة لرقم فيكرز مع تغير الشكل.</p>	<p>١- يستخدم للعينات الحديدية، الصلبه</p> <p>٢- يستخدم للعينات قليلة الصلبه</p> <p>و دقيقة السك</p> <p>٣- يستخدم للعينات الصلبه مع الملح.</p> <p>٤- لا يمكن الحصول على قيمة دقيقة لرقم برنس مع تغير الشكل.</p>
<p>* What are the relative advantage of vickers hardness test compared to Brinell's hardness test?</p>	<p>* state the limitation of (B.H.t)?</p> <p>* discuss the advantage of vickers test in comparison with Brinell test?</p>

12

Material

Impact

بقاوم =

ads:- apply load suddenly or with shock

تطبيق الحمل فجأة أو بعنف صدمة .

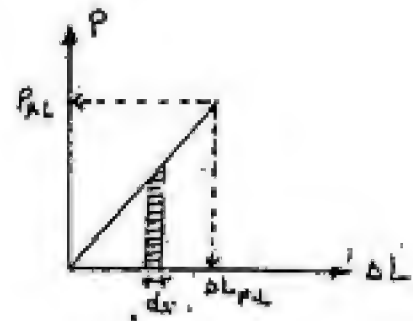
elastic strain energy:- The energy absorbed in a body , when the strain is in elastic limit state .

- هي الطاقة المخزنة بواسطة العنصر عندما يكون في مرحلة مرنة .

* For Gradually applied load:-

Strain energy = $P \frac{\Delta L}{2}$ = Area under Curve upto ΔL

$$\therefore S = \frac{P \cdot L}{EA} = \left(\frac{P}{A} \right) \cdot \frac{L}{E} = \frac{\sigma \cdot L}{E}$$



U (strain energy/unit volume) = $\frac{P \delta}{2} / Al$

$$U = P \cdot \frac{\sigma L}{2E} / Al = \frac{\sigma^2}{2E}$$

$$\therefore U = \frac{\sigma^2}{2E} \Rightarrow \text{Modulus of resilience. معامل المرونة}$$

[I] Tensile impact stress

الحمل صدمة شد

* سقوط حمل فجأة (W) من ارتفاع (h) فتتولد فيه إجهاد شد

External work = internal work.

$$\frac{W(h + \delta_d)}{\text{volume} \rightarrow Al} = \frac{\sigma_d^2}{2E}$$

$$\sigma_d = \frac{\sigma_d L}{E} \quad \#$$

where:-

w:- impact load.

h:- falling height.

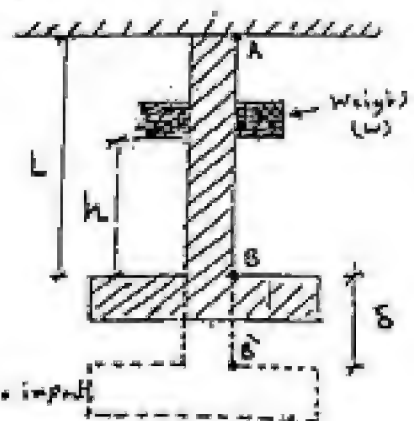
E:- Modulus of elasticity

A:- cross section Area

L:- length of bar.

σ_d :- dynamic stress due to impact

δ_d :- extension



$$\delta = \frac{W}{A} \left[1 + \sqrt{1 + 2h \frac{EA}{WL}} \right] \Rightarrow \frac{1}{S_{st}}$$

$$\sigma_d = \sigma_{static} \left[1 + \sqrt{1 + 2h \frac{EA}{WL}} \right] \Rightarrow \text{impact factor. (ref. table)}$$

$$\delta_d = \frac{WL}{EA} \left[1 + \sqrt{1 + 2h \frac{EA}{WL}} \right] \Rightarrow$$

$$\sigma_d = \sigma_{static} \left[1 + \sqrt{1 + 2h \frac{EA}{WL}} \right] \Rightarrow \text{Impact factor. (ref. table)}$$

* When the Load applied suddenly at $h = 0$

impact factor = 2.0.

$$\sigma_d = 2 \sigma_{st} \quad \& \quad \delta_d = 2 \delta_{st} \quad \#$$

Stress due to impact bending

المسألة رقم 250

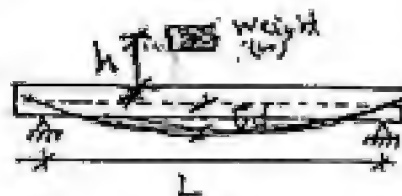
External work = internal work #

$$\delta_{it} = \frac{PL^3}{48EI} \text{ at midspan}$$

$$\Rightarrow P = \frac{48EI}{L^3} \delta_{st}$$

$$W(h + \delta_d) = \frac{P\delta}{2} = \frac{48EI}{2L^3} \delta_{st}^2$$

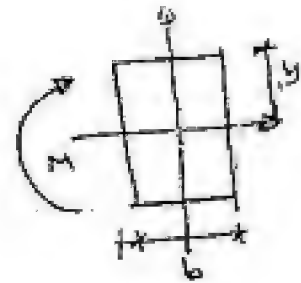
$$\sigma_d = \sigma_{st} \left[1 + \sqrt{1 + \frac{2h}{\delta_{static}}} \right] \quad \#$$



ax stresses

$$\sigma = \frac{M_{max} y}{I} \quad \text{c} \quad M_{max} = \frac{P \times L}{4}$$

$$\sigma_d = \frac{12 E y}{L^2} \delta d \quad \#$$



Strain energy :-

$$U = \frac{1}{6} \times \frac{\sigma^2}{E} \times \frac{I}{A y^2} \times AL$$

where $U = \frac{1}{2} P \delta \rightarrow$ Resilience. $\frac{P \delta}{2}$

$$M.O.R = \frac{1}{6} \times \frac{\sigma^2}{E} \times \frac{I}{A y^2} \quad \text{where} \quad M.O.R_{st} = \frac{\sigma^2}{2E}$$

$$\frac{I}{A y^2} = \text{const.}$$

$$\frac{I}{A y^2} = \frac{1}{3} \quad \text{for } \text{rectangular or square sec.}$$

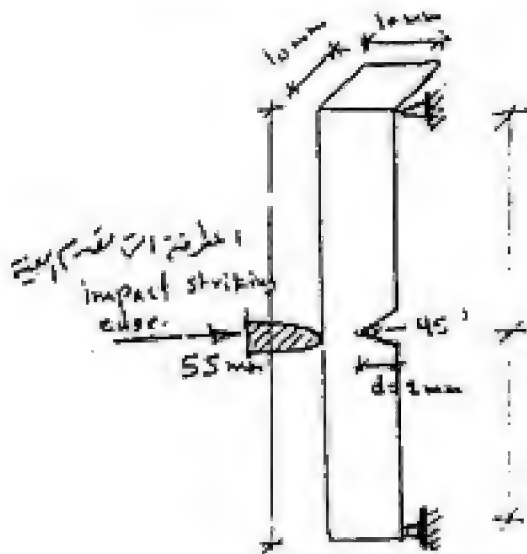
$$\frac{I}{A y^2} = \frac{1}{4} \quad \text{for } \text{circular sec.}$$

$$M.O.R = \frac{1}{18} \frac{\sigma^2}{E} = \frac{1}{9} \times M.O.R_{st}$$

$$M.O.R = \frac{1}{24} \frac{\sigma^2}{E} = \frac{1}{12} \times M.O.R_{st} \quad \#$$

Charpy Test

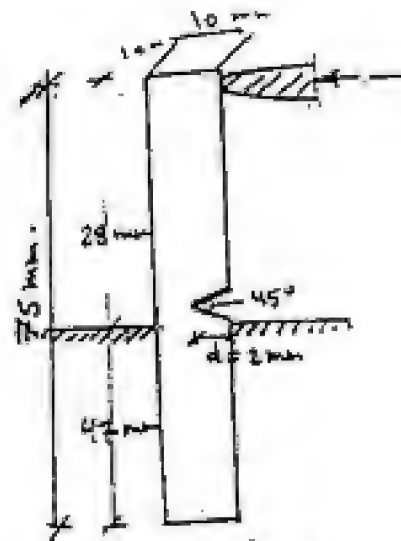
Izod Test



* simple supported beam.

10 * 10 * 55 mm. العينة

* العطرقة تصمم العينة من خلف notch
حيث يكون الضربة من وراء العينة (I.V)
التي تكون مباشرة.



* Cantilever beam.

10 * 10 * 75 mm العينة
* العطرقة تصمم العينة من أمام notch
حيث يكون الضربة من أمام العينة (I.V)
التي تكون مباشرة.

1] why Charpy and Izod specimens are notched.?

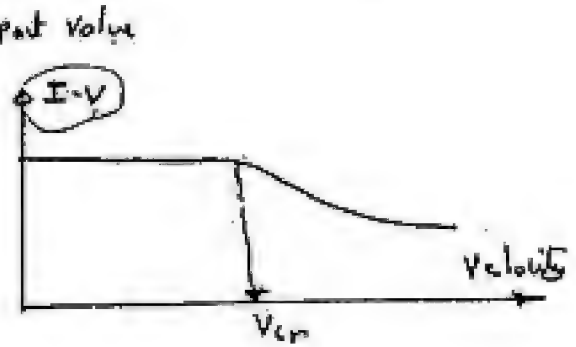
متى يحدث التشقق مفاجئاً، منطقة notch، العينة كما يحدث، المواد العينة
(brittle materials) تكون بذلك قوية، كسر سطح ضوفاً، المواد العينة من روبر
notch، عينة أو يسهل تشققها، العينة، رسيب التشقق.

2] why Charpy specimens are struck behind the notch while Izod specimen are struck in front of notch.?

متى تكون - notch، منطقة التشقق، ربات كسر يكون، كسر سطح، عينة
التي تكون مباشرة.

1) Velocity of hammer on (I.V) :-

نکته اول آنکه لامپیت تغییراتی در (I.V) عند نظام
معیار هم، سرعتات متعلق به سرعت تغییراتی
بعدها تعلق (I.V) تغییراتی.



2) Notch Geometry on (I.V) :-

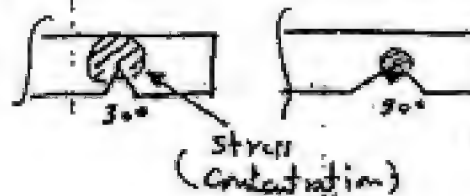
(1) Root radius



Root radius (Root radius) زیاد تر کردن این موردات اما notch
لامپیت تعلق (I.V) رشتگی رشتگی و بعد از آن کمتر.

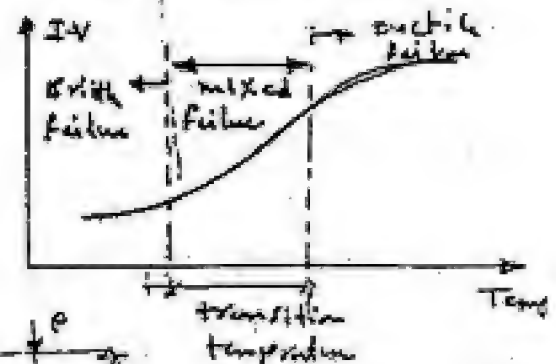
(2) angle of notch

Root radius زیاد تر کردن این موردات اما notch
لامپیت تعلق (I.V) رشتگی رشتگی و بعد از آن کمتر.



3) effect of temperature

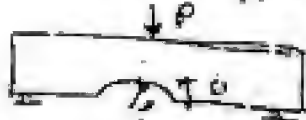
نکته اول آنکه زیاد شدن دما و کراته زیاد (I.V)
میتواند باعث شود که دما و کراته زیاد و لامپیت تعلق
لامپیت تعلق (I.V) رشتگی رشتگی و بعد از آن کمتر.



4) stress concentration factor

نکته اول آنکه زیاد شدن دما و کراته زیاد (I.V)
میتواند باعث شود که دما و کراته زیاد و لامپیت تعلق

$$K_t = 1 + 2\sqrt{\frac{r}{\rho}} = \frac{\text{stress at notch}}{\text{applied stress}}$$



$$M = \frac{PL}{4}$$

$$\sigma = \frac{My}{I}$$



$$\sigma_N = \left(\frac{PL}{4}\right) \times y \Rightarrow \text{stress at notch}$$

$$\sigma_L = \sigma_N \times K_t \quad \text{for semi-circular or circular notch}$$

$$0 \leq r \leq \infty \Rightarrow K_t = 3$$

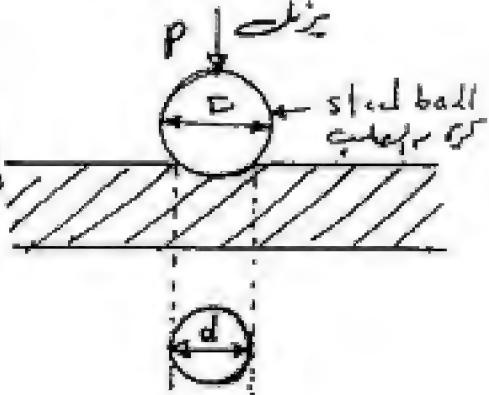
$$\sigma_L = 3\sigma_N \quad \text{if } r \rightarrow \infty \Rightarrow \text{crack}$$

Hardness of metals

* صلابة سطح مادة كدورت شكله دائري

* Indentation Hardness test.
صلابة وعلامة. مقارنة بآلة كدورت علامة بـ

① Brinell Hardness test. اختبار الصلابة بالبرنية

$$B.H.N = \frac{P}{\frac{\pi D}{2} [D - \sqrt{D^2 - d^2}]}$$


P :- الحمل (kg)
 D :- قطر الكرة (mm)
 d :- قطر العلامة (mm)

$$k = \frac{P}{D^2}$$

إيجاد قيمة الحمل بعلامة قطر الكرة.

* ultimate tensile strength.

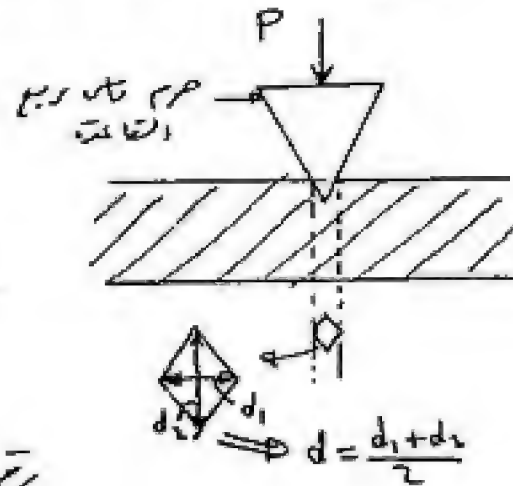
$$\sigma_{ult} = 0.36 * B.H.N \text{ Kg/mm}^2$$

② Vickers Hardness test. اختبار الصلابة بـفكرز

$$V.H.N = \frac{1.854 P}{d^2}$$

P :- حمل (kg)

d :- diagonal of indentation (mm)



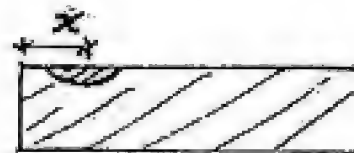
Note :- آخر فیکرز ثابت W و
دراسة صا یذا ارتفاعات بالتحلیل

* Explain the effect of making hardness test near the edge ^① of specimen or near ^② an old indentation on Brinell hardness test.

اختبار الصلابة بالقرب من الحافة

① Hardness test made near the edge

کیوم عدم الصلابة هنا تخرج أكبر من الحقيقة
وبالتالي تقل رتبه برنلی عدم اكرتم الحقيقة



$B.H.N \rightarrow \text{decrease}$

$$x \neq 2.5d$$

Material
=

⇒ Polymers =

= البوليمرات =

الجزء العزى
* = * = *

+
حل امتحان

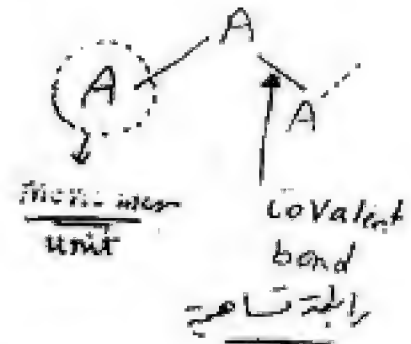
Mid Term 2006
→

* البوليمرات . * polymers *

* Polymers :- البوليمرات

* عبارة عن جزيئات كبيرة تتكون من وحدات صغيرة تسمى "monomers" أو وحدات تتكرر ترتبط مع بعضها بروابط تساهمية

* Example (plastic & rubber)



* Polymerization :- البلمة

* هي العملية التي يتحد فيها جميع الجزيئات الصغيرة لتكوين جزيء كبير من البوليمرات .

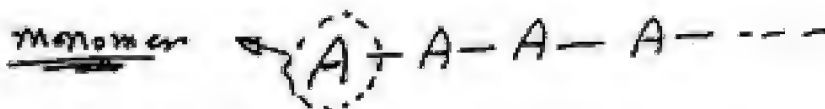
* classification of polymers :- تصنيف البوليمرات

(1) according to chemical type of monomer

تبعاً للطبيعة الكيميائية للمونمر

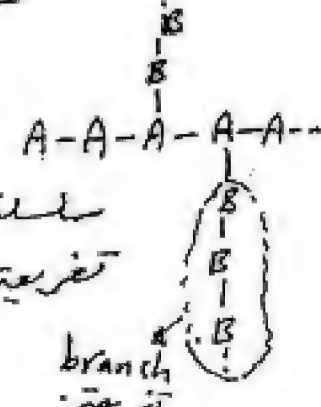
A) Homopolymer :-

تتكون من مونومر "monomer" من نفس النوع .



B) Copolymer :-

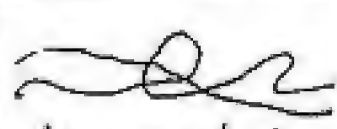
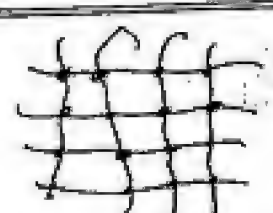
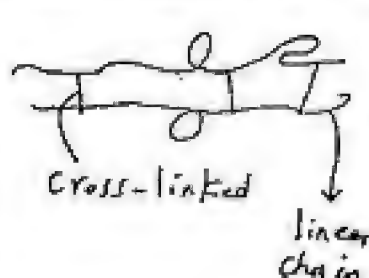
تتكون من وحدات مختلفة -
 $\xrightarrow{\text{Monomer}}$

- Random Copolymers (A-A-B-A-B-B-A-...)
 عشوائية
 وحدات موزعة عشوائياً
- Alternating Copolymers (A-B-A-B-A-...)
 وحدات مختلفة تتوالى بالتتابع
- block Copolymers (A-A-A-B-B-B-A-...)
 تتابع طويل من وحدات بلوك تتابع طويل
 من وحدات أخرى
- Graft Copolymers
 سلسلة مكونة من فرع من الوحدات كترتبط مع
 تفرعية من فرع آخر من الوحدات


(2) according to molecular Configuration

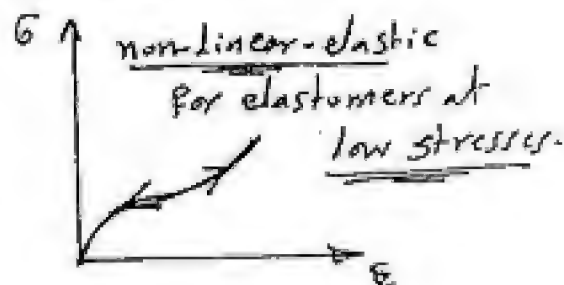
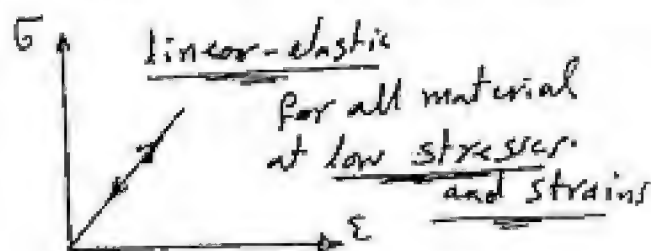
تبعاً لطبيعتها الجزيئية



النوع	Thermoplastic	Thermo Setting	Elastomers.
Structure البنية الهيكلية	Linear chain. سلسلة خطية.	Cross-linked network. شبكة متقاطعة.	Linear cross-linked chain. سلسلة خطية متقاطعة.
Physical properties الخصائص الفيزيائية	- Ductile - مطيل - easy recycled or reshaped - سهلة إعادة التشكيل.	- Brittle - هش - not recycled or reshaped - لا يمكن إعادة تشكيله.	- Semi-Ductile - شبه مطيل - maximum elongation - استطالة قصوى.
Shape الشكل	 Linear chain - Vander-Waals bond.	 Cross-linked.	 Cross-linked Linear chain
Example مثال	Polyethylene بوليثين	epoxy إيبوكسي	Rubber إطاط

* Mechanical behaviour of polymeric material. الخواص الميكانيكية للمواد البوليمرية

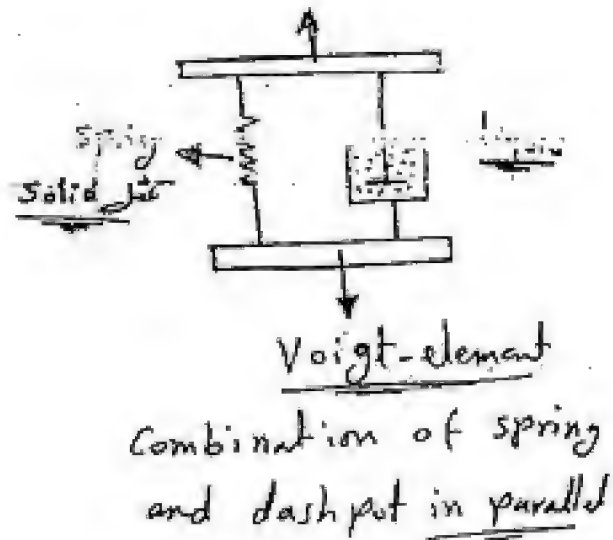
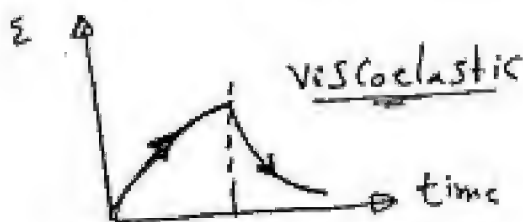
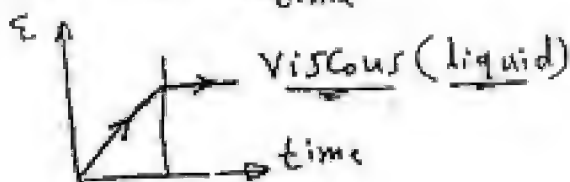
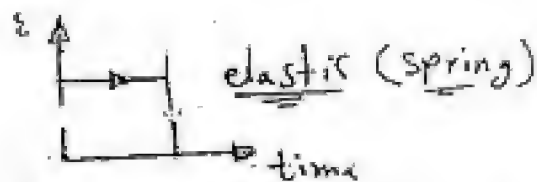
(A) Linear-elastic behaviour.



B) Viscous behavior and viscoelasticity

1- المواد اللزجة (viscous) تتغير مع الزمن.

2- المواد (viscoelastic) تجمع خواص السائل والصلب.



C) High strain behaviour and failure

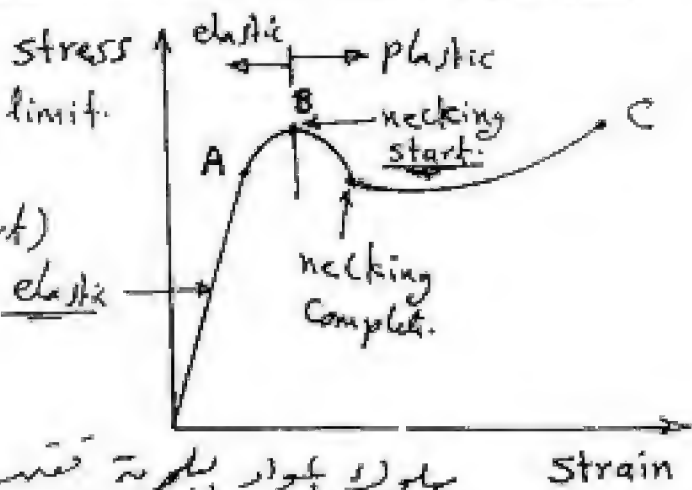
A :- the proportional limit.

B :- yield point.

(point of Necking start)

C :- rupture point

نقطة انقراض



سلوك المواد بمرحلة قسرية (منطقة انقراض) بعد المرحلة المرنة.

* Branching التفرع

* occurs when atom is removed from the main linear chain and replaced by another linear chain.

يحدث عندما تسحب ذرة من سلسلة الخطية الرئيسية بسلسلة
خطة أخرى.

* Branching :- reduce (density - stiffness - strength) of polymers.

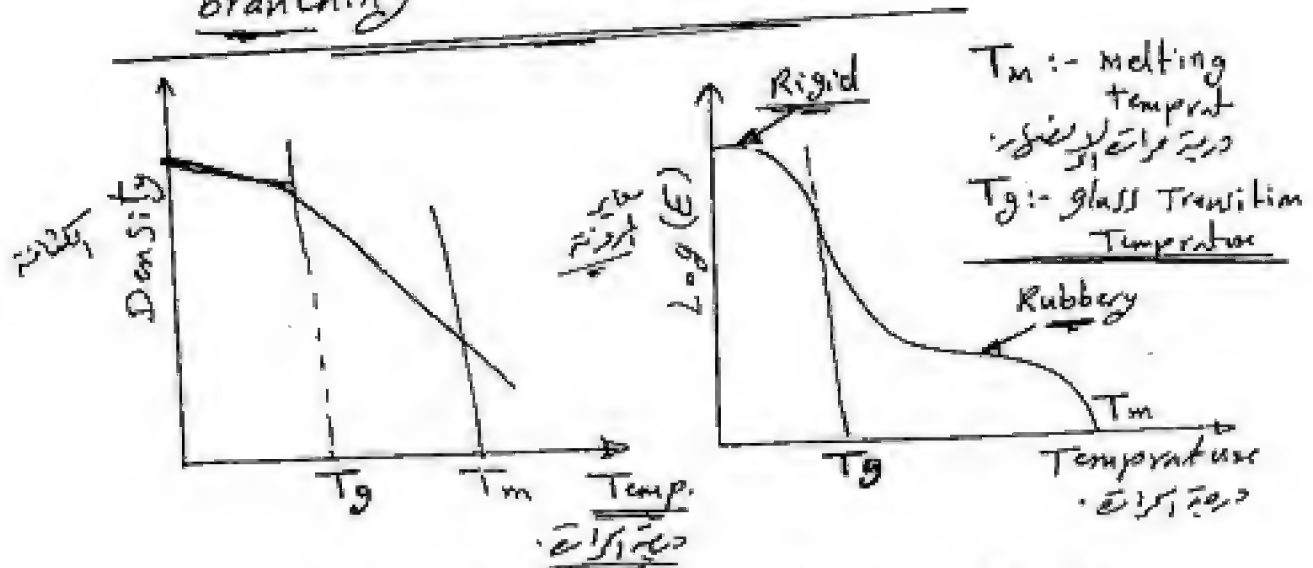
التفرع يقلل من (الكثافة - صلابة - متانة) البوليمرات.



branching



No branching



* Effect of temperature on (E) & (Density) for thermo plastic ← لا يزداد انصهار مع زيادة درجة الحرارة

* Composite materials *

هو خليط من مادتين أو أكثر ليعتاج مادة جديدة تختلف خواصها عن المواد الأصلية.

* Combination of two materials or more to produce new material different in properties from the original material.

* classification of Composite material.

* there are 3 types of Composite material.

- 1- fibrous Composites (^{يتكون من} consist of fibers in matrix)
- 2- particulate Composites (Consists of particles in matrix)
- 3- Laminated Composites (Consists of layers of various materials)
^{يتكون من طبقات من مواد مختلفة}

* Isotropic

المواد التي لها خواص متساوية في جميع الاتجاهات عند أي نقطة.

* anisotropic

المواد التي لها خواص مختلفة في جميع الاتجاهات عند أي نقطة، بحسب.

* Fiber Composite may be (isotropic or anisotropic)

* particulated Composite (if particles are uniformly distributed then it have isotropic properties)

* Laminar Composite always have anisotropic properties.

Fibrous Composite

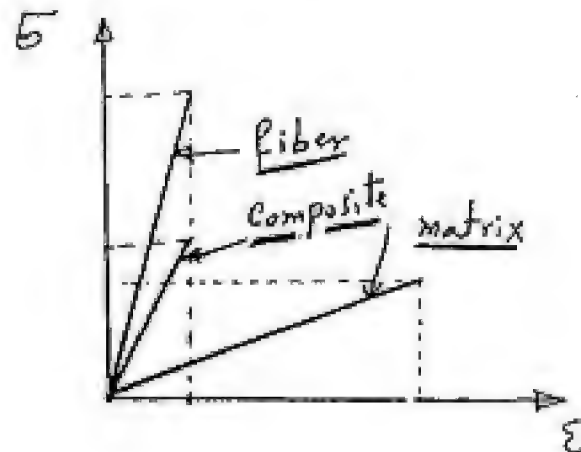
درصدا

Fiber :- تقسیم بتکامل بجزئی (بزرگ) و کوچک (موجود)
(Composite) م

درصدا

Matrix :-

۱- عایقه سطح (Fiber) می آید
۲- نقل از اجزای به اجزای (Fiber)





Answer the following questions. Indicate the units and use illustrative sketches wherever it is necessary.

Question # 1

- Give reasons why aluminum is a good conductor while Al_2O_3 is an insulator.
- The atomic diameter of an iron atom is 2.492 \AA ; Calculate the lattice constant of BCC iron? If atomic weight of iron is 55.85 gm/mol ; calculate the density of BCC iron? (Avogadro's No. = 6.02×10^{23} atoms/atomic weight)
- If slip planes of FCC copper is $\{111\}$ planes, sketch the atomic arrangement in one of these planes and mark the $\langle 110 \rangle$ slip directions on it?
- Show the Burger's vector of an edge and screw dislocation lines
- The plastic deformation of metallic materials depend mainly on the nature of dislocations present in the material; Discuss in details.

Question # 2

- What is the difference between ordinary stress and true stress, derive the relation between them?
- Explain the three methods of estimating modulus of elasticity for materials having non-linear stress-strain behavior.
- What is the purpose of spherical seating block in compression testing machine? List the various precautions that should be taken in positioning it?
- A tensile test specimen of 20 mm diameter was tested under tension up to fracture. Some of the test results were recorded as follows:

Load (kN)	Proportional limit	Maximum	Fracture
	65	115	100
Elongation (mm)	0.25	35	45

The elongation percentage was 22.5 % and the smallest cross section area (at fracture) was 1.6 cm^2 . Find:

- Ductility
- The tensile strength
- The stiffness
- True stress and true strain at fracture.
- Modulus of resilience
- Explain the Fracture behavior of the tested material

Question # 3

- State the limitations of compression test?
- What are the properties measured from cold bend test? Explain the four modes of failure under this test?

- c) A three-point bending test was carried on a cast iron beam of circular cross section and 300 mm loaded span. If the modulus of resilience of the tested material was 0.02 N.mm/mm^3 , and the following readings were recorded:

Load, kN	1.5	3	4.5	6	7.5	9	10.50	11
δ , mm	1	2	3	4.5	5.25	7	9	failure

Draw the load-deflection diagram and find:

- Diameter of the beam
- Modulus of rupture
- Modulus of elasticity
- Elastic bending strength
- Fracture shape of test specimen

Question # 4

Explain the effect of making hardness test near the edge of specimen or near an old indentation on the Brinell hardness number and state the minimum distance?

State the limitations of Brinell hardness test.

A torsion test was done on solid metal rod specimen of 15 mm diameter. The modulus of rigidity was $1.7 \times 10^4 \text{ N/mm}^2$. The following readings were recorded:

T, (N.m)	0	40	80	100	120	140	160	175	190	200
θ , degree	0	4	8	20	5	100	150	250	500	800

Find:

- The length of the rod
- Design stress if the factor of safety equals 2
- Ultimate shear strength
- Modulus of toughness
- Modulus of elasticity if Poisson's ratio ($\nu = 0.3$)
- Describe the fracture shape of test specimen

Question # 5

What is the property measured from impact test and why the impact test specimen is notched?

Explain the effect of temperature on the impact fracture energy?

Define fatigue and state the characteristics of fatigue failure?

A structural element is subjected to repeated loads change from +6 to -2 tons. Find the cross sectional area of this part using Soderberg and Goodman rules.

The tensile strength = 60 kg/cm^2 , Yield strength = 40 kg/cm^2 , Fatigue limit = 18 kg/cm^2

Take the factor of safety for static and fatigue loadings equals to 2

Question # 6

(أ) اشرح كيفية تعيين نسبة امتصاص الأحمال للمعادن؟

(ب) اشرح طريقة صناعة أحجار خبث المتفرقة المعالجة والطوب الرغوية مع ذكر خواص كل واحد.

(ج) اشرح من خواص راج المواد اللاصقة؟ ووضح كيف يمكن أن تترك بين كل من الجير النقي والمطهر والجبس؟

(د) اشرح كيفية تعيين كمية المياه الزائدة للتشبيط أيضاً تعيين زمر الشك الابتدائي للجبس؟

(هـ) اشرح كيفية تصنيع الأسفلت مع ذكر أنواعه وخواصه الموجودة في الأسفلت؟

Final Term Exam (2006)

Question No(1)

- a) Al is Good conductor while Al_2O_3 is an insulator.

* رتبة التواجد الإلكترونيات الحرة في الألمنيوم
(رابطة فلزية) عدم وجود إلكترونات حرة في أكسيد
الألمنيوم (رابطة أيونية)

- b) Given

القطر

Diameter of an iron atom = 2.492 \AA

- (1) * get lattice constant of B.C.C iron?

↓ If atomic weight = 55.85 gm/mol

- (2) * get the density of B.C.C iron?

If Avogadro's $N_0 = 6.02 \times 10^{23} \text{ atom/atomic weight}$.

Solution
↓

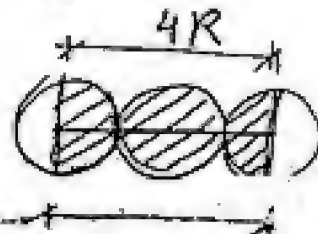
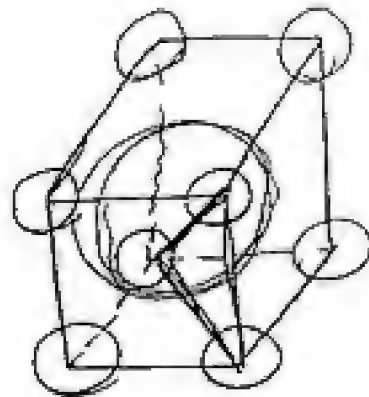
For B.C.C

$$a\sqrt{3} = 4R$$

$$a = \frac{4R}{\sqrt{3}}$$

$$\therefore R = \frac{\text{Diameter}}{2} = 1.246 \text{ \AA}$$

$$= 1.246 \times 10^{-8} \text{ cm}$$



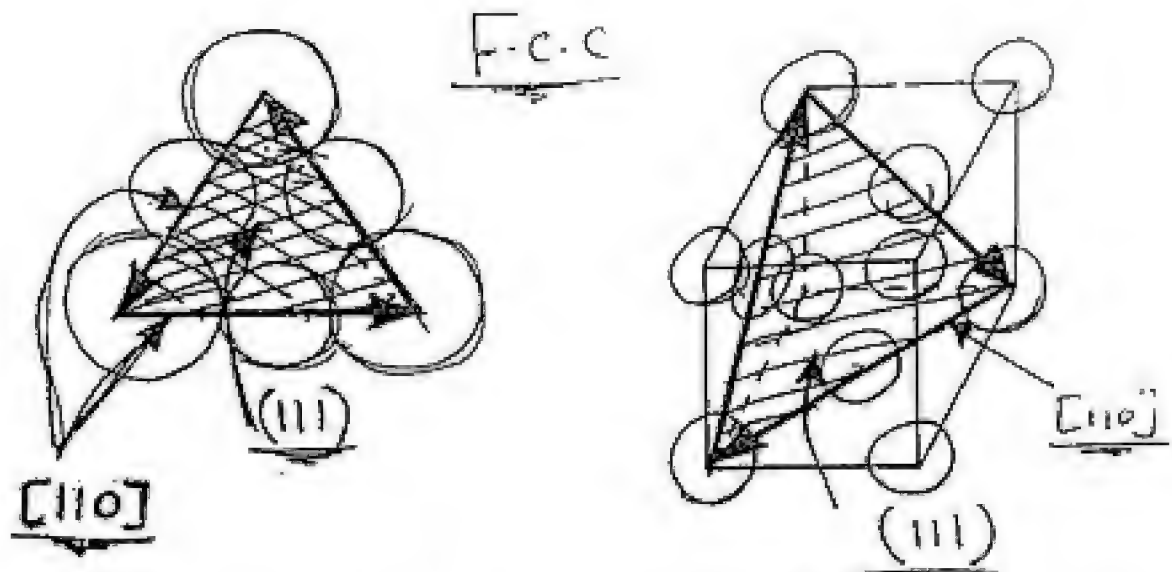
$$a = \frac{4 \times 1.246 \times 10^{-8}}{\sqrt{3}} = 2.88 \times 10^{-8} \text{ cm}$$

* Density

$$\rho_{\text{B.C.C}} = \frac{m}{V} = \frac{\text{no of atoms} \times \frac{\text{atomic weight}}{6.02 \times 10^{23}}}{a^3}$$

$$\rho_{\text{B.C.C}} = \frac{2 \times \frac{55.85}{6.02 \times 10^{23}}}{(2.88 \times 10^{-8})^3} = 7.767 \text{ gm/cm}^3$$

- c) If slip plane of f.c.c Copper is (111) plane sketch the atomic arrangement in one of these planes and mark $\langle 110 \rangle$ slip direction on it ?



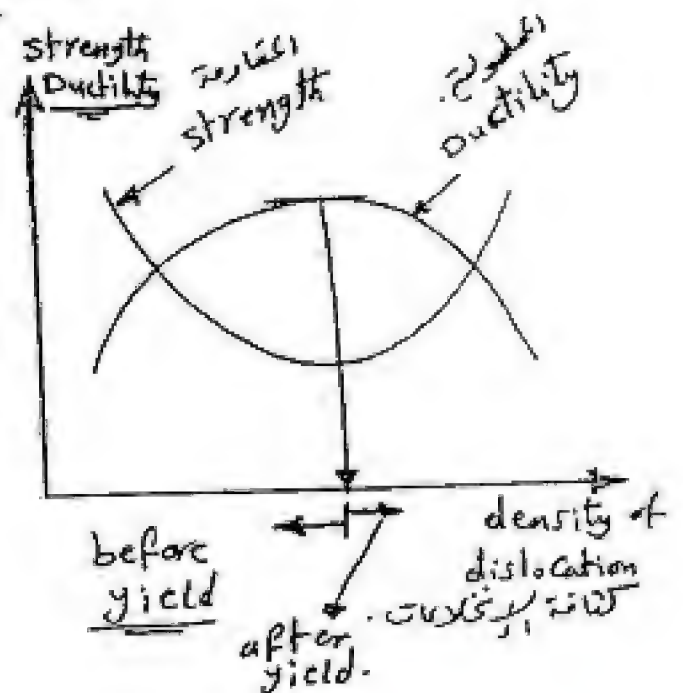
d) the plastic deformation of metallic material depend mainly on the nature of dislocation present in the material, discuss in details.

Solution

* قبل از ایجاد اختلال کمالات
زاد است این اختلالات تنزداد
المطوية و تقيل strength



* بعد از عبور اختلال کمالات
از اختلالات تقيل المطوية و تنزداد
strength



Question No (2)

a) what is the difference between ordinary stress and true stress, drive the relation between them?

ordinary stress

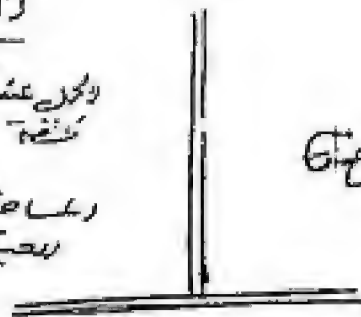
$$\bar{\sigma}_n = \frac{P_i}{A_0}$$

\leftarrow $\frac{\text{القوة المتأصلة}}{\text{المساحة الأصلية}} \leftarrow$ $\frac{\text{القوة المتأصلة}}{\text{المساحة الأصلية}}$

true stress

$$\bar{\sigma}_t = \frac{P_i}{A_i}$$

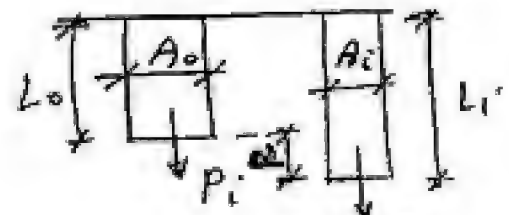
\leftarrow $\frac{\text{القوة المتأصلة}}{\text{المساحة الحالية}} \leftarrow$ $\frac{\text{القوة المتأصلة}}{\text{المساحة الحالية}}$



$$\bar{\sigma}_t = \bar{\sigma}_n (1 + \epsilon_n)$$

$$\bar{\sigma}_t = \frac{P_i}{A_i}$$

$$A_i = \frac{A_0 L_0}{L_i}$$



$$A_0 L_0 = A_i L_i$$

from constant volume
من الحجم الثابت

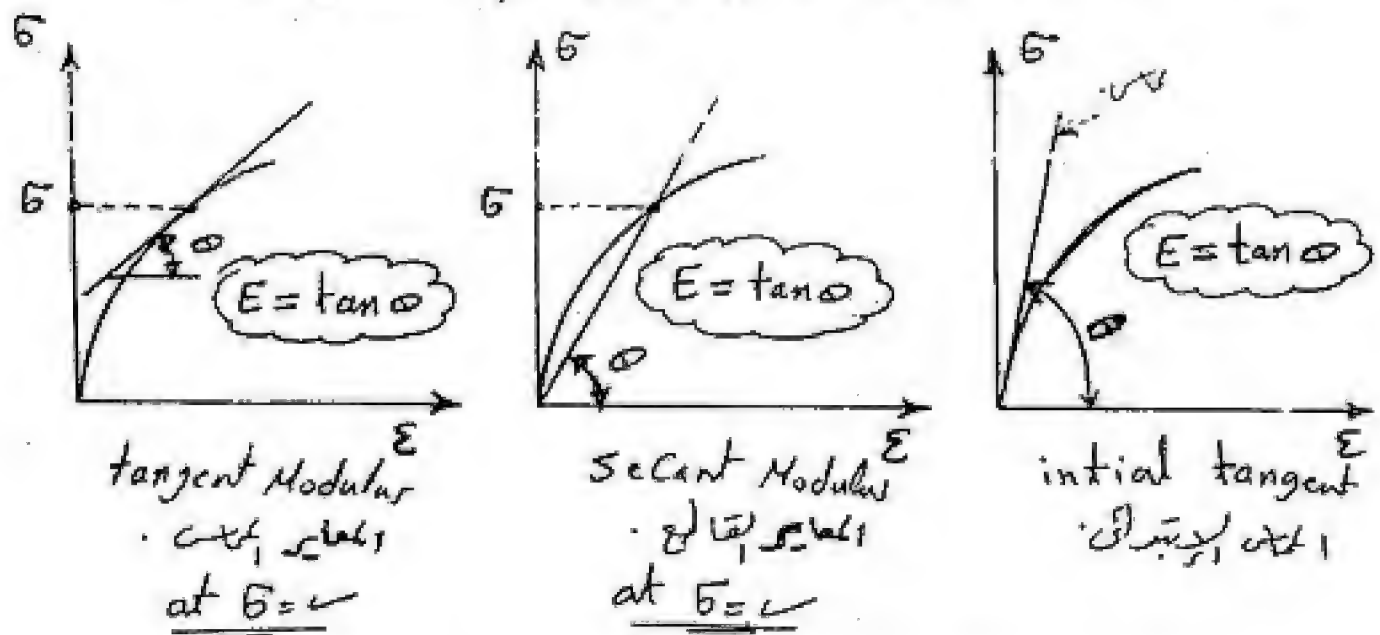
$$\bar{\sigma}_t = \frac{P_i}{A_0} \frac{L_0}{L_i} = \bar{\sigma}_n \left(\frac{L_0}{L_i} \right)$$

$$= \bar{\sigma}_n \left(\frac{L_0 + \Delta L}{L_0} \right)$$

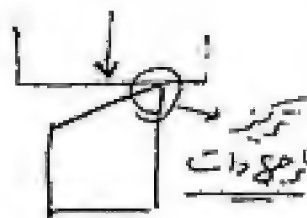
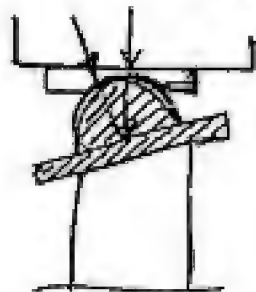
$$\bar{\sigma}_t = \bar{\sigma}_n (1 + \epsilon_n) \quad \#$$

b) Explain the three methods of estimating modulus of elasticity for material having non-linear (stress-strain) behavior.

ثلاث طرق لحساب (E) للمواد ذات سلوك (σ-ε) غير خطي.



c) What is the purpose of spherical seating block in compression testing machine?



للتقليل من عدم استواء
 العين مع سطح توازن
 سطح العين.

d) tensile test $d = 20 \text{ mm}$

Load (kN)	Proportional limit	Maximum	Fracture
	65	115	100
Elongation (mm)	0.25	35	45

$$\% \text{ elongation} = 22.5\% \quad \leftarrow A_f \left(\frac{\pi d_f^2}{4} \right) = 1.6 \text{ cm}^2$$

Find:-

i) Ductility.

$$\% \text{ elongation} = \frac{\Delta L_{\max}}{L_0} \times 100\% = 22.5\%$$

ii) the tensile strength

$$\sigma_{\text{ult}} = \frac{P_{\text{ult}}}{A_0} = \frac{115}{\frac{\pi (20)^2}{4}} = 0.366 \text{ kN/mm}^2$$

iii) the stiffness

$$E = \frac{\sigma_{\text{p.l.}}}{\epsilon_{\text{p.l.}}} = \frac{65 / \frac{\pi (20)^2}{4}}{0.25 / L_0}$$

$$\text{from } \% \text{ elongation} = 22.5\% = \frac{\Delta L_{\max}}{L_0} \times 100$$

$$\Rightarrow \frac{\Delta L_{\max}}{L_0} = 0.225 \Rightarrow L_0 = \frac{45}{0.225} = 200 \text{ mm}$$

$$E = \frac{0.207}{0.25/200} = \frac{0.207 \overset{\sigma_{p.L}}{\downarrow \epsilon_{p.L}}}{1.25 \times 10^{-3}} = 165.6 \text{ KN/mm}^2$$

iv) True stress and true strain at Fracture
at fracture

$$\sigma_t = \frac{P_f}{A_f} = \frac{100}{1.6} = \frac{62.5 \text{ KN/cm}^2}{\downarrow (\text{cm}^2)}$$

$$\epsilon_t = \ln \frac{A_0}{A_f} = \ln \frac{\frac{\pi \times (2)^2}{4}}{1.6 (\text{cm}^2)} = \ln \frac{3.14}{1.6} =$$

$$\epsilon_t = \underline{0.674}$$

v) Modulus of resilience

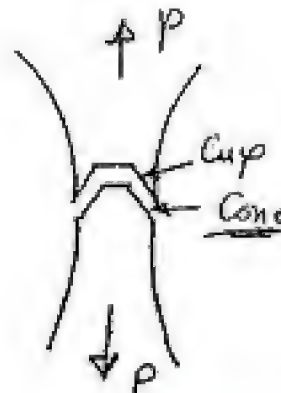
$$M.O.R = \frac{1}{2} \sigma_{p.L} * \epsilon_{p.L} = \frac{1}{2} * 0.207 * 1.25 \times 10^{-3} \\ = \underline{0.13 \times 10^{-3} \text{ KN/mm}^2}$$

vi) Explain the fracture behavior of tested material.

Cup and Cone Failure

Due to shear stresses.

الانقسام يحدث بضغط القص



Question No (3)

a) state the limitations of Compression test.
أذكر أوجه القصور واختار بعناية.

- ١- صعوبة التحميل بحد كموال حقيق.
- ٢- الطبيعة الغير متزنة للضغط.
- ٣- الاختلاف بين سطح العينات ومكانها كيميائية تؤدي إلى نتائج غير متساوية.
- ٤- الحصول على طبيعة متزنة للضغط لا يمكنه إلا استخدام عينات ذات حجم كبير والتي تحتاج لكميات ذات مئة كبيرة.

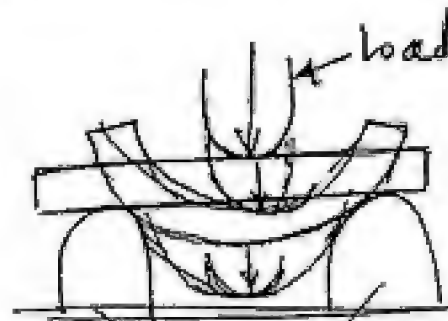
b) What are the properties measured from Cold bend test? Explain the four modes of failure under this test?

* اختبار البند البارد

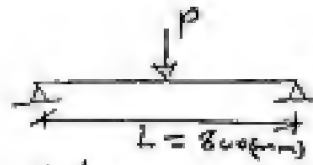
- ١- حساب الانحراف حسب نسبة الشد.
- ٢- اختبار مقاومة الشد.

* 4-modes of failure

- 1- Failure in outer fiber due to tension stress
- 2- " " inner " " " " compression stress
- 3- " " at inclined plane due to shear stress
- 4- Failure due to imperfections.



C) * 3-point bending



* Cast iron of circular cross section

* Modulus of resilience = $0.02 \text{ N}\cdot\text{mm}/\text{mm}^3$
 $= \underline{0.02 \text{ N/mm}^2}$

Load (kN)	1.5	3	4.5	6	7.5	9	10.5	11
δ (mm)	1	2	3	4.5	5.25	7	9	failure

(proportional limit) P.L. \leftarrow

10.5 \rightarrow 9

11 \rightarrow x

$\Rightarrow \underline{x = 9.43}$

i) Diameter of the beam

Modulus of resilience = $\frac{\frac{1}{2} P \delta L}{A \times L}$

$\leftarrow 0.02 = \frac{\frac{1}{2} \times (4.5 \times 10^3) \times 3}{A \times 800}$
 $\frac{\text{N/mm}^2}{\text{mm}^2}$

$\Rightarrow A = 421.875 \text{ mm}^2 = \frac{\pi d^2}{4}$

$\Rightarrow \underline{d = 23.2 \text{ mm}} \quad \#$

ii) Modulus of rupture

it's mean maximum bending strength

$$\sigma_{max} = \frac{M_{max} y}{I}$$

$$= \frac{2200 \times 11.6}{14220.7}$$

$$y = \frac{d}{2} = \frac{23.2}{2}$$

$$= 11.6 \text{ mm}$$

$$I = \frac{\pi d^4}{64} = 14220.7$$

$$\text{mm}^4$$

$$M_{max} = \frac{P_{max} L}{4}$$

$$= \frac{11 \times 800}{4}$$

$$M_{max} = 2200 \text{ kN}\cdot\text{mm}$$

$$\sigma_{max} = 1.79 \text{ kN/mm}^2$$

iii) Modulus of elasticity

$$E = \frac{PL^3}{48 \delta I} = \frac{P_{p.L}}{\delta_{p.L}} \times \frac{L^3}{48 I}$$

$$\# E = \frac{4.5}{3} \times \frac{(800)^3}{48 \times 14220.7} = 1.758 \text{ kN/mm}^2$$

iv) Elastic bending strength.

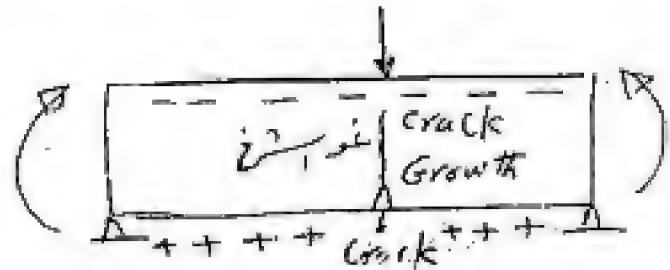
$$\sigma_{e.L} = \frac{M_{p.L} y}{I} = \frac{P_{p.L} \times L}{4} \times \frac{y}{I}$$

$$\sigma_{e.L} = \frac{\frac{4.5 \times 800}{4} \times 11.6}{14220.7} = 0.734 \text{ kN/mm}^2$$

V) Fracture shape of test specimen.

Cast iron \rightarrow Brittle material.

نتیجہ انفرم کسٹ شدہ
 لیکن اسٹیل ریمپٹ ڈیگری
 انفرم رسید کسٹ شدہ
 کسٹ نہ کسٹ کسٹ کسٹ



loads

$$P = 1 \times 2 = 2 \text{ t/m}^2$$

assw $t = 40 \text{ cm}$

$$w = 3 \text{ t/m}^2$$

load dist.

(w₁)

$$H = 2$$

$$L = \text{span}$$

$$\frac{H}{L} < \frac{1}{2}$$

one-way in span dir



$$P = 2 \text{ t/m}^2$$

ult.



ht.

(S₁) 5×3

$$r = \frac{5}{3} = 1.67 < 2 \quad \text{Two-way}$$

$$\alpha = 0.7$$

$$\beta = 0.3$$

نصف $w\alpha = 0.7 \times 3 = 2.1 \text{ t/m}^2$

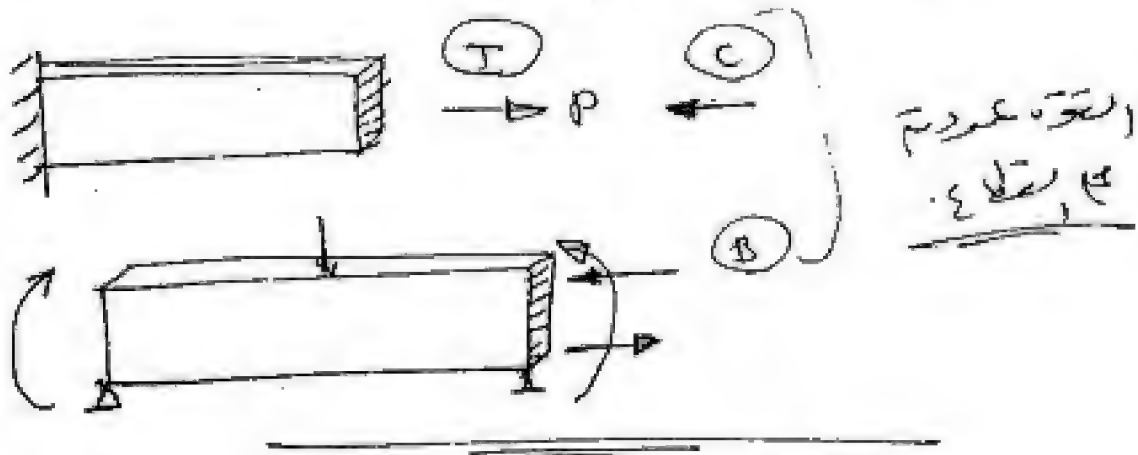
الآخر $w\beta = 0.3 \times 3 = 0.9 \text{ t/m}^2$

= Material =

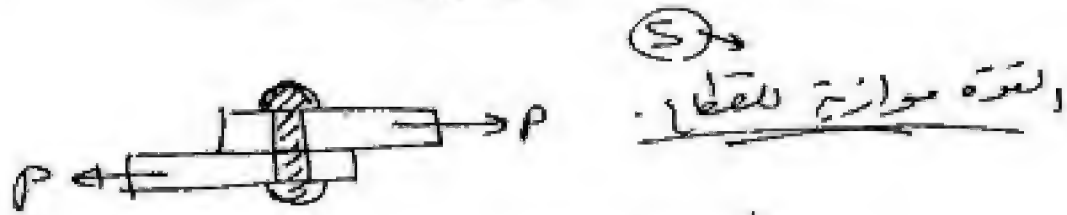
مسائل مراجعة
على

= Torsion =

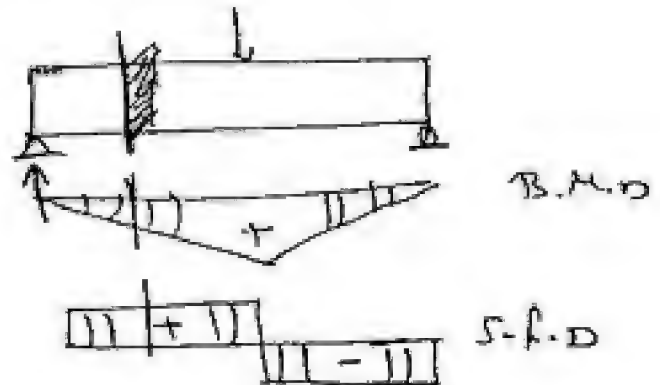
* Torsion & shear *
 . WI . (القوى)



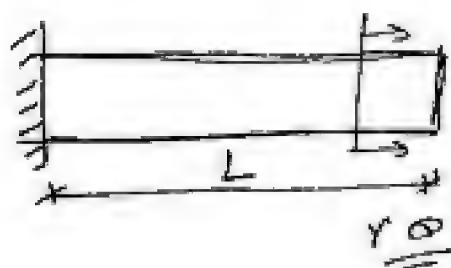
القوة عمودى
 فى المقطع .



القوة موازية للمقطع .



shear stress & Torsion . WI



T :- Torque
 كبح لولتور .



* Shear strain $\gamma = \frac{r\theta}{L}$

* Shear Stress $\tau = \frac{T \cdot r}{J}$ elastic
المرنة

r :- radius قطر، شعاع

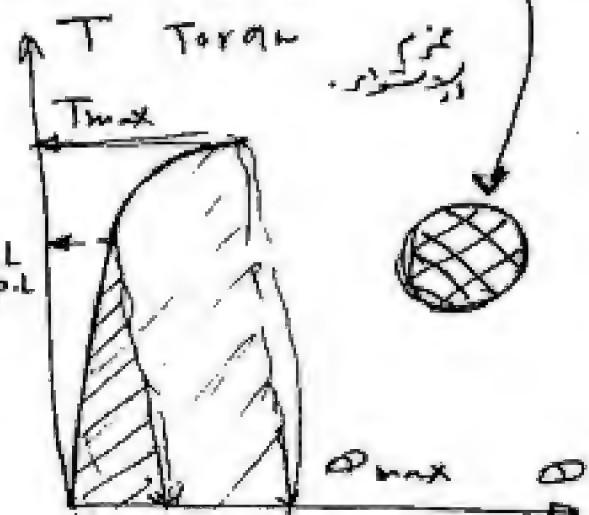
J :- polar moment of inertia. ثقل، عزم

$J = \frac{\pi d^4}{32}$ # (for solid section)

① elastic shear stress

$\tau_{e.l} = \frac{T_{e.l} \cdot r}{J} = \frac{T_{e.l} \cdot \frac{d}{2}}{\frac{\pi d^4}{32}}$

$\tau_{e.l} = \frac{16 T_{e.l}}{\pi d^3}$



② max. shear stress ultimate. τ_{ult} ϕ_{ult} angle of twist.

Modulus of rupture

$\tau_{max} = \frac{12 T_{max}}{\pi d^3} \Rightarrow$ Ductile mat. (mild steel)

$= \frac{14 T_{max}}{\pi d^3} \Rightarrow$ Brittle mat. (Cast iron) & Concrete

③ Modulus of rigidity (shear Modulus) مقاومة القص

$$G = \frac{\tau}{\gamma} = \frac{\frac{T_{\max}}{J}}{\frac{\phi_{\max}}{L}} = \left(\frac{T_{\max}}{\phi_{\max}} \right) \times \left(\frac{L}{J} \right)$$

مقاومة القص

مقاومة القص

④ Modulus of resilience مقاومة الصدمة

$$M.O.R = \frac{R}{V} = \frac{\frac{1}{2} T_{\max} \phi_{\max}}{A * L}$$

#

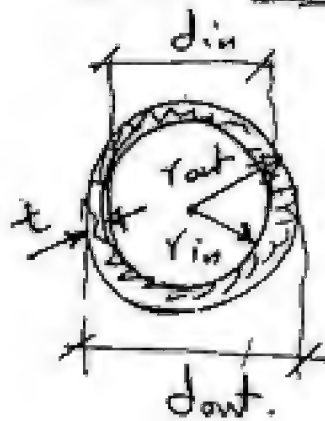
⑤ Modulus of Toughness مقاومة الصدمة،
مقاومة التآكل

$$M.O.T = \frac{T}{V} = \frac{\frac{2}{3} T_{\max} \phi_{\max}}{A * L}$$



for Hollow section

القضبان المجوفة



$$A = \frac{\pi}{4} (d_{out}^2 - d_{in}^2)$$

$$J = \frac{\pi}{32} (d_{out}^4 - d_{in}^4)$$

$$\tau_{c.L} = \frac{T_{c.L} \times r_{out}}{J}$$

$$\tau_{max} = \frac{4 T_{max}}{\pi d_{av}^2 t}$$

$$d_{av} = \frac{d_{out} + d_{in}}{2}$$

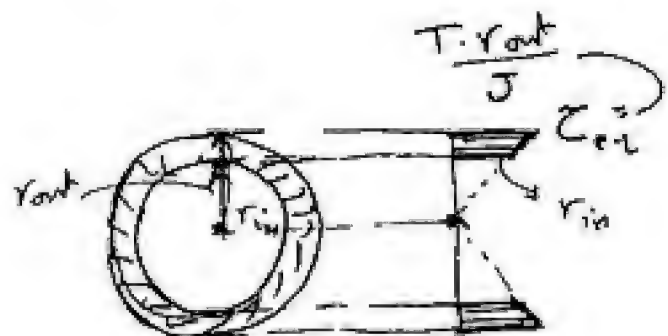
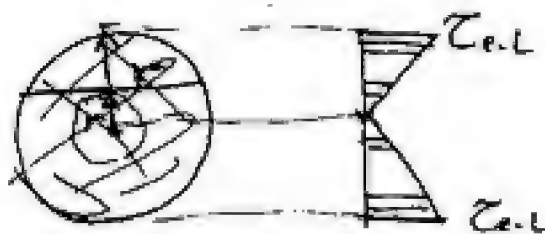
$$t = \frac{d_{out} - d_{in}}{2}$$

thickness
سمك

* Shear stress distribution along

$$\tau = \frac{T \cdot r}{J}$$

X- See
توزيع إجهاد القص في المقطع



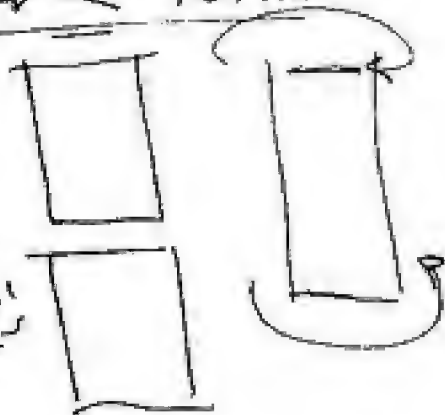
failure (fracture) shapes شکل شکست

Ductile شکل

shear \leftarrow Tension

plain
failure

شکل شکست



Due to shear stress

Brittle شکل

Tension \leftarrow shear

helical
failure

شکل شکست



Due to Tension stress

*

$$G = \frac{E}{2(1+\nu)}$$

Modulus of
elasticity

ν :- poisson's ratio

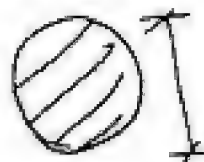
A torsion test was done on solid metal rod specimen of 15 mm diameter. The modulus of rigidity was $1.7 \times 10^4 \text{ N/mm}^2$. The following reading was recorded:

$T, (\text{N.m})$	0	40	80	100	120	140	160	175	190	200
θ, degree	0	4	8	20	5	100	150	250	500	800

Find i) The length of the rod ii) Design stress if the factor of safety = 2

iii) Ultimate shear strength iv) Modulus of toughness

v) Discuss the fracture shape of the test specimen



$D = 15 \text{ mm}$

$$G = 1.7 \times 10^4 \text{ N/mm}^2$$

$$A = \frac{\pi \times (15)^2}{4} = \text{mm}^2$$

$$J = \frac{\pi}{32} (15)^4 = \text{mm}^4$$

	e.L	
	p.L	max
$T, \text{N.m}$	80	200
θ, deg	8	800

① length of the rod

(N/mm)

$$G = \frac{T_{e.L}}{\theta_{e.L}} \times \frac{L}{J}$$

$$1.7 \times 10^4 = \frac{(80 \times 10^3)}{\left(8 \times \frac{\pi}{180}\right)} \times \frac{L}{\frac{\pi}{32} (15)^4}$$

↓
degree → rad

→ get $L = \text{mm}$

② Design stress If $\mu = 0.3$

$$\tau_D = \frac{\tau_{c.L}}{2} = \frac{16 T_{c.L}}{\pi d^3 \times 2} = \frac{16 \times (8 \times 10^3)}{\pi \times (15)^3 \times 2}$$

\downarrow
 μ

$= \checkmark \quad \underline{N/mm^2}$

③ ultim shear solid ^{jit} metal

$$\tau_{max} = \frac{12 T_{max}}{\pi d^3} \quad \text{Ductile}$$

$$= \frac{12 \times (200 \times 10^3)}{\pi \times (15)^3} \quad \begin{matrix} N \cdot m \rightarrow N \cdot mm \\ \checkmark \end{matrix} \quad \underline{N/mm^2}$$

④ $M.O.T = \frac{T}{\theta} = \frac{2/3 T_{max} \phi_{max}}{A \times L}$

$$= \frac{2/3 \times (200 \times 10^3) \times (800 \times \frac{\pi}{180})}{\frac{\pi \times (15)^2}{4} \times L}$$

$= \checkmark \quad \underline{N/mm^2}$

⑤ Modulus of elasticity If poisson's ratio \in $\nu = 0.3$

$$G = \frac{E}{2(1+\nu)} \Rightarrow 1.7 \times 10^4 = \frac{E}{2(1+0.3)}$$

$E = 2.6 \times 1.7 \times 10^4 \quad N/mm^2$

Material

مسائل مراجعة

على

Tension

مسائل مراجعة

→ MidTerm → 2007
→ 2006

→ Final → 2005

b) A tension test was carried out on a mild steel specimen of 20 mm diameter.
The following data were recorded.

	Proportional limit	Maximum load	Failure load
Load, ton	6.28	10.99	9.42
Δl , mm	0.20	30.00	40.00

The elongation percentage was 20%. Find the following:

- 1- Ultimate tensile strength
- 2- The modulus of resilience
- 3- The modulus of elasticity
- 4- The fracture shape of test specimen

* Mid term (2007) *

$$d = 20 \text{ mm} \Rightarrow A_0 = \frac{\pi \times (20)^2}{4} = \underline{314.16 \text{ mm}^2}$$

$$* \% \text{ elongation} = 20 \%$$

$$\% \text{ elongation} = \frac{\Delta L_{\max}}{L_0} \times 100 \%$$

$$\therefore 20 \% = \frac{40}{L_0} \times 100 \%$$

$$\frac{20}{100} = \frac{40}{L_0} \Rightarrow L_0 = 200 \text{ mm} \quad \#$$

2. 200 mm

(1) ultimate tensile strength. (maximum)

$$\sigma_{ult} = \frac{P_{ult}}{A_0} = \frac{10.99}{314.16} = 0.035 \text{ t/mm}^2 \quad \#$$

(2) The Modular of Resiliency مقياس مروية

$$M.O.R = \frac{1}{2} \sigma_{p.L} * \epsilon_{p.L}$$

$$= \frac{1}{2} * \frac{6.28}{314.16} * \frac{0.2}{200}$$

$$= \frac{1}{2} * 0.0199 * 0.001$$

$$\therefore M.O.R = 9.99 * 10^{-6} \text{ t/mm}^2 \quad \#$$

(3) The Modular of elasticity مقياس مروية

$$E = \frac{\sigma_{p.L}}{\epsilon_{p.L}} = \frac{P_{p.L} / A_0}{\Delta L_{p.L} / L_0}$$

$$\therefore E = \frac{6.28 / 314.16}{0.2 / 200} = 19.99 \text{ t/mm}^2 \quad \#$$

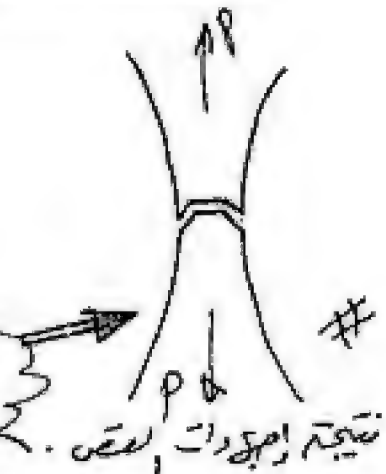
(4) Fracture Shape of test specimen.

$$\% \text{ elongation} = 20\% \geq 15\%$$

\therefore specimen is Ductile material.

* Cup and Cone failure

Due to shear stress



d) A tension test was carried out on a long mild steel specimen of 14 mm diameter. The following data were recorded.

Load, kN	14	28	45.5	45.5	51	60	64	68	70	64	60
Δl , mm	0.04	0.08	0.13	0.15	3	8	13	20	26	30	32

Calculate:

- The design stress if the factor of safety equals 2
- The modulus of resilience
- Stiffness
- Ultimate tensile strength
- Ductility
- True stress and true strain at initial necking
- Explain the fracture behavior of test specimen

Mid Term
(2006)

Given

Long mild steel $\Rightarrow L_0 = 10d$

$$d = 14 \text{ mm} \Rightarrow L_0 = 140 \text{ mm}$$

$$A_0 = \frac{\pi \times (14)^2}{4} \Rightarrow A_0 = 153.94 \text{ mm}^2$$

مع الجداول في كتاب محمد مراد حبيب

	P.L	yield	max	failure.
P, kN	45.5	45.5	70	60
ΔL , mm	0.13	0.15	26	32

i) $\sigma_D = \frac{\sigma_y}{F.O.S} = \frac{P_y / A_0}{2}$ إجهاد التصميم

$$\therefore \sigma_D = \frac{45.5 / 153.94}{2} = 0.1478 \text{ kN/cm}^2$$

#

ii) Modulus of resilience . معيار مرونة

$$M.O.R = \frac{1}{2} \sigma_{p.L} \epsilon_{p.L}$$

$$= \frac{1}{2} * \frac{P_{p.L}}{A_0} * \frac{\Delta L_{p.L}}{L_0}$$

$$M.O.R = \frac{1}{2} * \frac{45.5}{153.94} * \frac{0.13}{140} = 1.37 * 10^{-4} \text{ KN/mm}^2 \#$$

iii) stiffness (صلابة)

تقاس بـ Modulus of elasticity (معيار مرونة)

$$E = \frac{\sigma_{p.L}}{\epsilon_{p.L}} = \frac{45.5/153.94}{0.13/140}$$

$$E = 318.3 \text{ KN/mm}^2 \#$$

iv) ultimate tensile strength . أقصى إجهاد

$$\sigma_{max} = \frac{P_{max}}{A_0} = \frac{70}{153.94} = 0.455 \text{ KN/mm}^2$$

$$\therefore \sigma_{max} = 0.455 \text{ KN/mm}^2 \#$$

v) Ductility $\approx 22.8\%$

$$\begin{aligned}\% \text{ elongation} &= \frac{\Delta L_{\max}}{L_0} \times 100\% \\ &= \frac{32}{140} \times 100 = 22.8\% \\ &\quad \# \end{aligned}$$

vi) True stress and True strain at initial necking \Rightarrow initial necking (max load)

$$\sigma_{\max} = 0.455 \text{ kN/mm}^2$$

$$\epsilon(p_{\max}) = \frac{26}{140} = 0.1857$$

$$\therefore \sigma_t = \sigma_n (1 + \epsilon_n)$$

$$\sigma_t = 0.455 (1 + 0.1857) = 0.54 \text{ kN/mm}^2 \quad \#$$

$$\therefore \epsilon_t = \ln(1 + \epsilon_n)$$

$$\epsilon_t = \ln(1 + 0.1857) = 0.17 \quad \#$$

vii) Fracture behavior. 

$$\% \text{ elong} = 22.8\% \geq 15\%$$

Ductile

Cup & Cone Failure Due to shear stress

سحب، انحناء، انحناء، انحناء، انحناء



b) A tension test was carried out on a long standard test specimen of steel of 16 mm diameter. The loads and corresponding extensions were as follows:

			(P _{pL})	(P _y)				(P _{max})	(P _f)
Load, kN	0	24	48	45	52	60	70	72	68
Extension, mm	0	0.06	0.12	1	3	8	18	26	32

Draw the load-extension diagram and find the following:

- Tensile strength
- Elastic stiffness
- Ductility
- Design stress if the factor of safety = 1.5
- True stress and true strain at initial necking
- Discuss the fracture behavior of the specimen

Final 2005

Given

Long specimen $\Rightarrow L_0 = 10d$

$$d = 16 \text{ mm} \Rightarrow L_0 = 160 \text{ mm}$$

$$A_0 = \frac{\pi (16)^2}{4}$$

$$A_0 = 201.62 \text{ mm}^2$$

i) Tensile strength

$$\sigma_{max} = \frac{P_{max}}{A_0} = \frac{72}{201.62} = 0.357 \text{ kN/mm}^2 \quad \#$$

ii) Elastic stiffness

$$E = \frac{\sigma_{pL}}{\epsilon_{pL}} = \frac{P_{pL}/A_0}{\Delta L_{pL}/L_0} = \frac{48/201.62}{0.12/160}$$

$$E = 317.429 \text{ kN/mm}^2 \quad \#$$

iii) Ductility $\approx 20\%$

$$\% \text{ elong} = \frac{\Delta l_{\max}}{l_0} \times 100\%$$

$$= \frac{32}{160} \times 100\% = 20\% \quad \#$$

$$\begin{aligned} \text{iv) } \sigma_D &= \frac{\sigma_y}{F.O.S} = \frac{P_y / A_0}{1.5} \\ &= \frac{45 / 201.67}{1.5} \end{aligned}$$

$$\therefore \sigma_D = 0.149 \text{ kN/mm}^2 \quad \#$$

v) initial necking \rightarrow max Load

$$\sigma_{\max} = 0.357 \text{ kN/mm}^2$$

$$\epsilon(P_{\max}) = \frac{26}{160} = 0.1625$$

$$\sigma_t = \sigma_{\max} (1 + \epsilon(P_{\max}))$$

$$= 0.357 (1 + 0.1625) = 0.415 \text{ kN/mm}^2$$

$$\epsilon_t = \ln(1 + 0.1625) = 0.15 \quad \#$$

17
م. 17

Faculty of engineering
Civil engineering

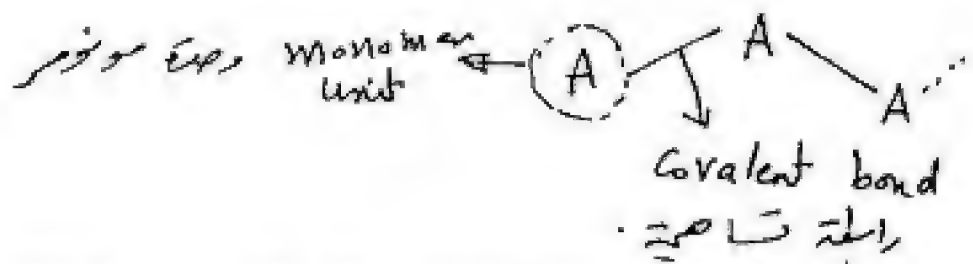
1st year

Material

البوليمرات
Polymers

* Polymers * البوليمرات

* عبارة عن جزيئات كبيرة تتكون من وحدات صغيرة
تسمى "monomers" ترتبط مع بعضها بروابط تساهمية

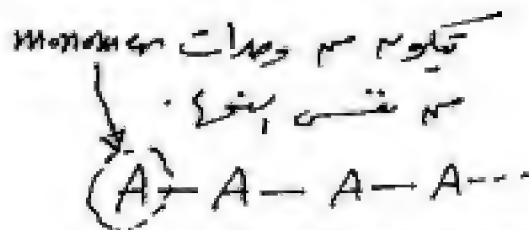


* Classification of polymers :- تصنيف البوليمرات

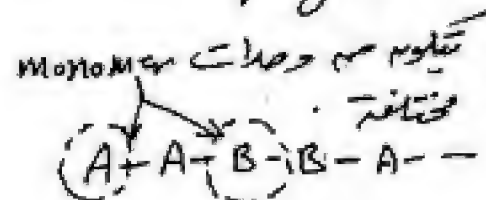
(1) according to chemical type of monomer.

تبعاً للطبيعة الكيميائية للمونومر.

Homopolymer



Copolymer



(2) according to Molecular Configuration

تبعاً للطبيعة الجزيئية.

أهم جداً جداً

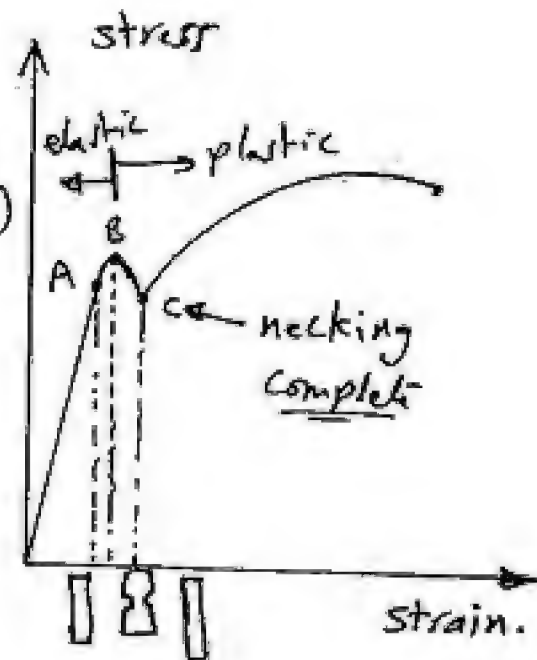
النوع .	Thermoplastic	thermosets.
structure البنية الجزيئية	linear chain سلسلة خطية	Cross-linked network شبكة متقاطعة
properties الخصائص .	- Ductile مطيلة - easy recycled سهلة إعادة التدوير	- Brittle قصفة - not recycled لا يمكن إعادة تدوير
shape الشكل	linear chain سلسلة خطية	Cross-linked شبكة متقاطعة
Example مثال .	polypropylene بولي بروبيلين	epoxy إيبوكسي

* Stress - strain curve of thermoplastic material in tension :-

A:- proportional limit .

B:- yield point
(point of necking start)
نقطة بداية الرقبة

* سلوك المواد البوليمرية يعتمد على
- درجة الحرارة .
- معدل الإزاحة
- خصائص الجزيئات



* Deformation * in metals

دکتر
م. اشرف

نسبت یاب

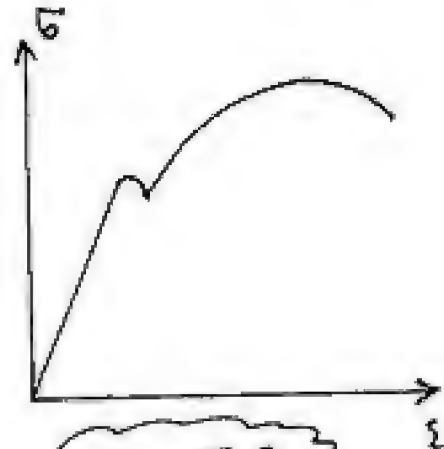
$$E < \nu < G$$

$$G = \frac{E}{2(1+\nu)}$$

E :- Modulus of elasticity

ν :- poisson's ratio

G :- Modulus of rigidity.



$$\sigma = E \cdot \epsilon$$

$$\tau = G \cdot \gamma$$

#



* Mention the difference between :-

- i) plane stress and plane strain assump.
- ii) The Volumetric strain, $\Delta V/V$, in elastic and plastic deformations.

i)

plane stress	plane strain
<ul style="list-style-type: none"> - for thin section • $\sigma_z = 0$ - $\epsilon_z = \max$ - $\sigma_{xz} = \tau_{xz} = \tau_{yz} = 0.0$ 	<ul style="list-style-type: none"> - for thick sect. • $\epsilon_z = 0$ - $\sigma_x = \max$ - $\epsilon_{zz} = \sigma_{xz} = \sigma_{yz} = 0.0$

ii) - elastic stage $\sigma < \sigma_y$

$$\Delta V = \epsilon_x + \epsilon_z + \epsilon_y \neq 0.0$$

• ΔV is not constant

$\Rightarrow (0.25 - 0.35)$ in metals

- plastic stage $\sigma > \sigma_y$

$$\Delta V = \epsilon_x + \epsilon_z + \epsilon_y = 0.0$$

$\nu = 0.5$ constant for all metals.

* Composite materials *

هو خليج من مادتين أو أكثر لإنتاج مادة جديدة تختلف في خواصها عن المواد الأصلية.

* Combination of two materials or more to produce new material different in properties from the original material.

* classification of Composite material

* there are 3 types of Composite material.

1- fibrous Composites. (تتكون من consist of fibers in matrix)

2- particulate Composites (Consists of particles in matrix)

3- Laminated Composites (Consists of layers of various materials)
تتكون من طبقات من مواد مختلفة

* Isotropic

المواد التي لها خصائص متساوية في جميع الاتجاهات عند أي نقطة.

* anisotropic

المواد التي لها خصائص مختلفة في جميع الاتجاهات عند أي نقطة.
في الجسم.

* Fiber Composite may be (isotropic or anisotropic)

* particulated Composite (if particles are uniformly distributed then it have isotropic properties)

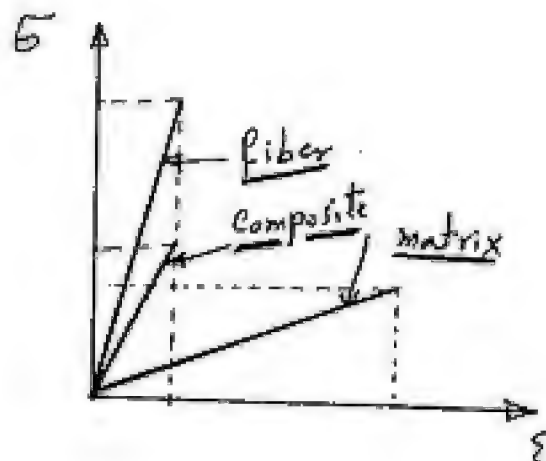
* Laminar Composite always have anisotropic properties.

Fibrous Composite

Fiber :- ⁰¹⁹⁷ نوع من المواد المركبة (Composite) التي

Matrix :- ^{دورها}

1- حماية المادة (fiber) من البيئة
2- تعمل على ربط المواد مع أجزاء (fiber)



18
4-11

Faculty of engineering
Civil engineering

1st year

Material

Fatigue

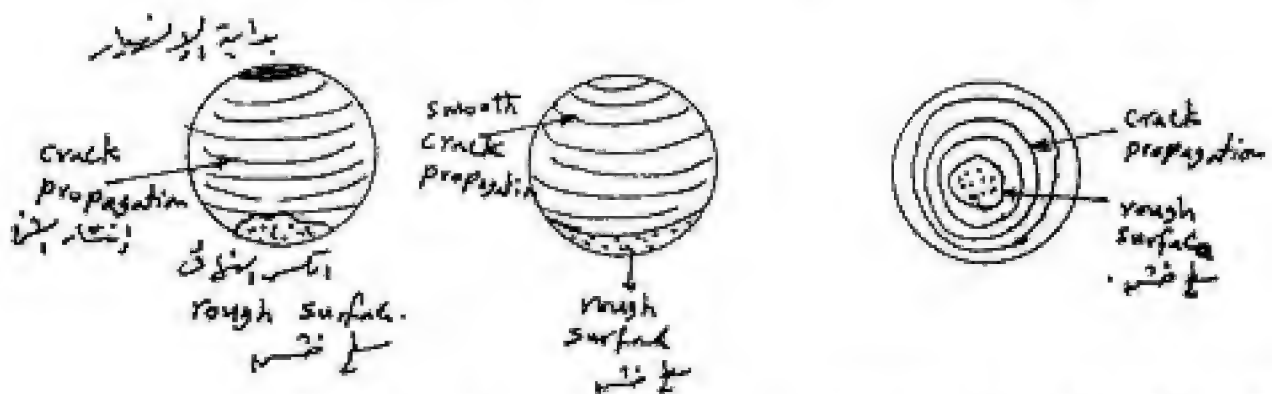
التلال Fatigue

التلال :- هو الإضرار الناتج عن تأثيرات متكررة أو جزاء متكررات
المركبة لأحمال متكررة (repeated loading) أثناء تشغيل بعد
عدد من دورات التحميل (cycles).

* Mechanism of fatigue :-

تكون حالة التلال بالتلال لجميع المواد مثل حالة كسر المواد القصفة :-
Brittle Fracture كما يلي :-

- 1- يحدث تآكل مستمر في المنطقة المتكونة .
- 2- يحدث حالة عدم التوازن للجزء المتبقية من المادة حيث لا يعد قادراً على
تحمل الأحمال الواقعة عليه فيحدث تآكل المفاجئة للعينة .



* Fracture Shape * أشكال الإضرار العينية المختلفة نتيجة التلال .

* نلاحظ ظهور منطقتين رئيسيتين :-

المنطقة الأولى :- منطقة بسطح ناعم لا يدل على وجود شقوق ينتشر تدريجياً .
تتكرر دورات التحميل .

المنطقة الثانية :- تكون ذات سطح خشن ما يدل على الإضرار المفاجئ
بمزيجات (Brittle failure) تآكل مفاجئ .

* Fatigue loads :- repeated loads.

یعنی بتواتر باجهان تکرارہ ہونے والے بوجھوں

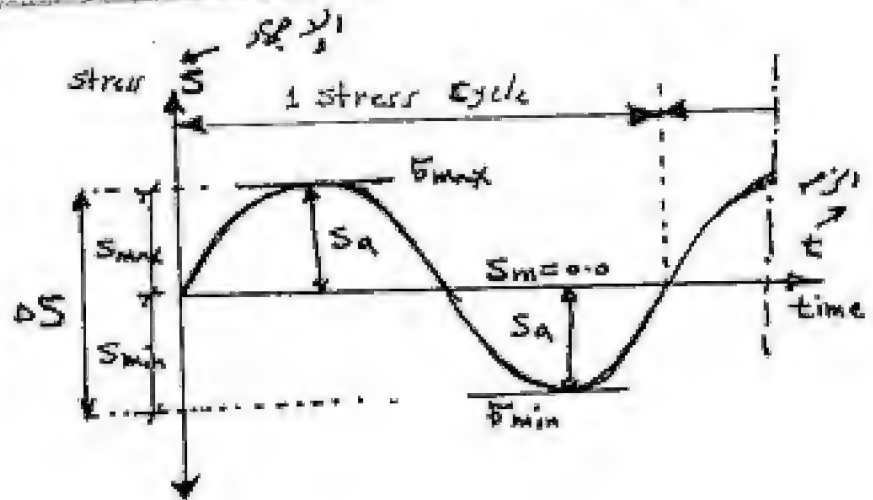
a) Completely Reversed stress cycle :- دورہ الیچھاد مکمل طور پر

S_a :- amplitude stress
الیچھاد کی بلندی

S_{max} :- max stress
الیچھاد کی زیادہ سے زیادہ

S_{min} :- min stress
الیچھاد کی کم سے کم

S_m :- mean stress
الیچھاد کی متوسط (میانگیت)



$$S_m = \frac{S_{max} + S_{min}}{2} = \text{Zero}$$

ΔS = Range of stress. \Rightarrow

$$\Delta S = S_{max} - S_{min} = 2 S_a$$

$$\text{Stress range ratio} = \frac{S_{min}}{S_{max}} = \frac{-1}{1} = -1 \quad \# \quad S_{max} = -S_{min}$$

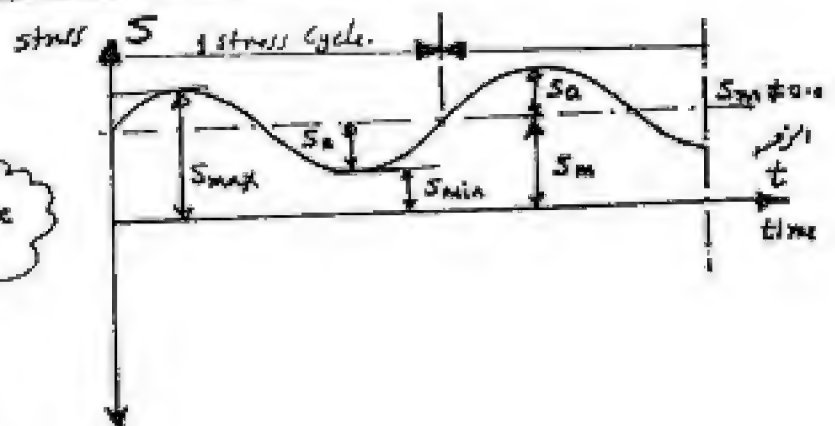
b) non zero mean stress $S_m \neq 0.0$

$$S_{max} = S_m + S_a$$

$$S_{min} = S_m - S_a$$

$$S_m = \frac{S_{max} + S_{min}}{2} = +ve$$

$$S_a = \frac{S_{max} - S_{min}}{2}$$



#

c) Zero minimum stress $S_{min} = 0$

$$S_m = \frac{S_{max} + S_{min}}{2}$$

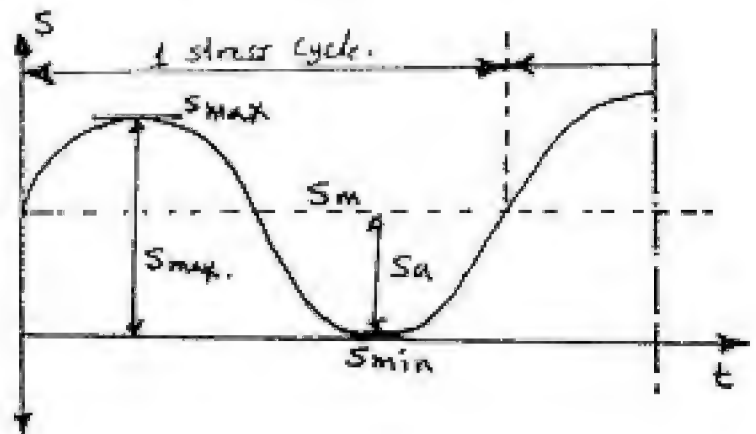
$$S_{min} = 0$$

$$S_m = \frac{S_{max}}{2}$$

$$S_a = \frac{S_{max} - S_{min}}{2}$$

$$S_a = \frac{S_{max}}{2}$$

$$\Rightarrow S_m = S_a = \frac{S_{max}}{2} \quad \#$$



Endurance limit (Fatigue limit) (S_e)

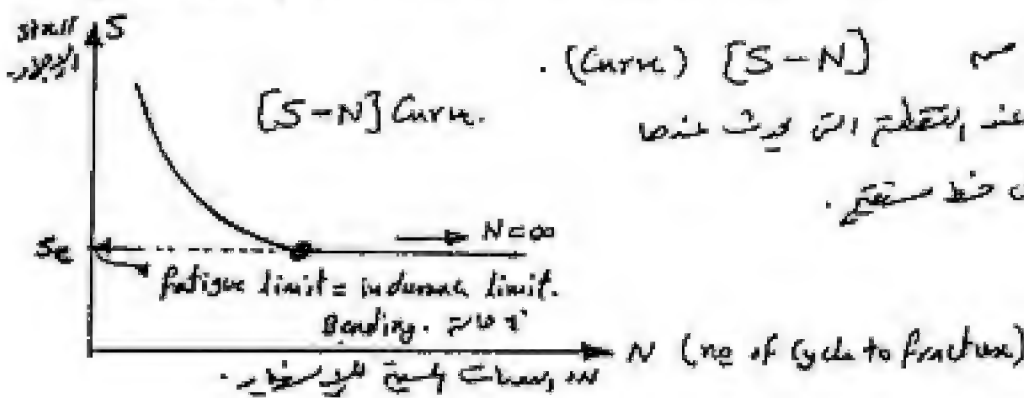
حد پایداری یا حد استقامت

* هو أقصى إجهاد لدورة تحميل معينة في حالة اختيار الإختبار.

Completely reversed stress in Bending.

* يكرر عمل الجهد بعد لدورتين مع دورات التحميل دورية كسر به في حالة اختيار آخر كسر معينة. ← يسمى (over stressing) بمرور دورات التحميل أكثر من (Fatigue limit).

* عند اختيار معينة عند أقل من Fatigue limit. بحيث تظل بعد كسر حتى عدد كبير من الدورات في حالة اختيار آخر كسر معينة عند إجهاد أقل ← يسمى (under stressing).



رسم (Curve) $[S-N]$ (S_e)

* هو قيمة الإجهاد عند التقاطع التي يثبت منها كدالة مع الزمن أي خط مستقيم.

$$S_e (\text{Tension}) = 0.85 S_e (\text{Bending})$$

$$S_e (\text{Torsion}) = 0.58 S_e (\text{Bending})$$

Fatigue stress due to variant of stressor :-

1) due to Tension :-

$$S \rightarrow \begin{cases} S_{\max} \\ S_{\min} \end{cases} = \sigma_{\text{tension}} = \frac{P}{A} \rightarrow \begin{cases} S_{\max} = \frac{P_{\max}}{A} \\ S_{\min} = \frac{P_{\min}}{A} \end{cases}$$

2) due to bending :-

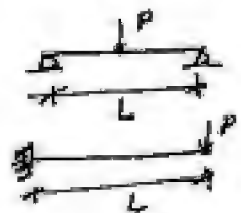
$$S \rightarrow \begin{cases} S_{\max} \\ S_{\min} \end{cases} = \sigma_{\text{bending}} = \frac{M y}{I} \rightarrow \begin{cases} S_{\max} = \frac{M_{\max} \cdot y}{I} \\ S_{\min} = \frac{M_{\min} \cdot y}{I} \end{cases}$$

for simply supported \Rightarrow

$$S = \frac{P L}{4} \times \frac{y}{I}$$

for cantilever beam \Rightarrow

$$S = P \times L \times \frac{y}{I}$$



3) due to Torsion :-

$$S \rightarrow \begin{cases} S_{\max} \\ S_{\min} \end{cases} = \tau_{\text{Torsion}} = \frac{T \cdot r}{J}$$



$$S_{\max} = \frac{T_{\max} \cdot r}{J}$$

$$S_{\min} = \frac{T_{\min} \cdot r}{J}$$

* Modified Goodman's diagram

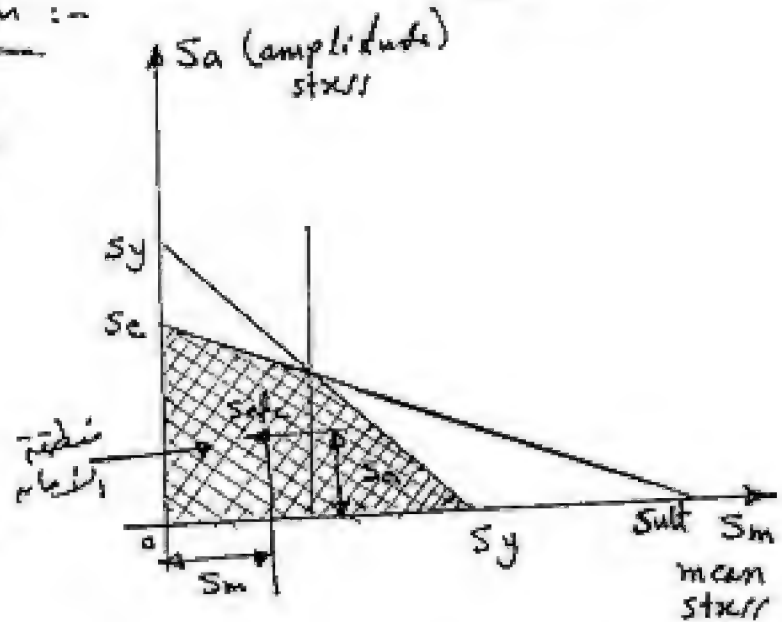
ماتن لا بفر
مقاومت، تکرار

Langer's diagram :-

حالت ایستاد
P.O.S $\Leftrightarrow S_y < S_u$
static load

P.O.S $\Leftrightarrow S_e$
ایستاد، تکرار

$S_{min} < S_{max}$ یکبار ایستاد
ایستاد، تکرار S_m کا سترین سائز
ایستاد



اذا اعلم $S_a < S_m$ یکبار معرفت حل هذه ریاست Safe ام لا نه
طریقه کنییه صایع عتقنا اذا كانت تقع، ایستاد، تکرار Safe
اذا كانت تقع خارج ایستاد، تکرار Safe (Unsafe).

طریقه ایستاد $S_{min} < S_{max}$

1 Gerber's rule

معادله
تایید مکانی

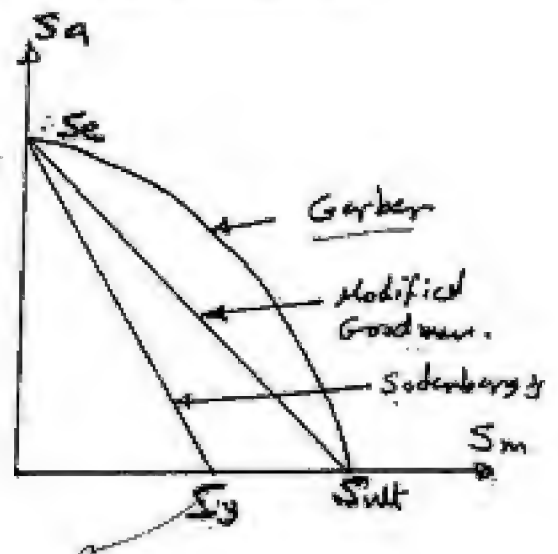
$$\frac{S_a}{S_e} + \left(\frac{S_m}{S_u}\right)^2 = 1.0$$

if ≤ 1 Safe
 > 1 unsafe.

$$S_a = S_e \left[1 - \left(\frac{S_m}{S_u}\right)^2 \right]$$

$$S_{max} = S_m + S_a$$

$$S_{min} = S_m - S_a$$



2 Goodman's rule قانون جودمان

$$\boxed{\frac{S_a}{S_e} + \frac{S_m}{S_{ult}} = 1.0} \Rightarrow \text{معادله خط مستقیم}$$

$$S_a = S_e \left[1 - \frac{S_m}{S_{ult}} \right]$$

$$\begin{aligned} S_{max} &= S_m + S_a \\ S_{min} &= S_m - S_a \end{aligned} \quad \#$$

3 Soderberg's rule قانون سودربرگ

$$\boxed{\frac{S_a}{S_e} + \frac{S_m}{S_y} = 1.0} \Rightarrow \text{معادله خط مستقیم}$$

$$S_a = S_e \left[1 - \frac{S_m}{S_y} \right]$$

$$\begin{aligned} S_{max} &= S_m + S_a \\ S_{min} &= S_m - S_a \end{aligned}$$

مقیاس $(S_e < S_y < S_{ult})$ در انت تقاطع $(f.o.s)$ منطبق

#

Sheet No (8)

No (1)

Given

machine member



$(\text{kg/mm}^2) S_{\text{max}}$	$\rightarrow +12$	$+8$	$+4$
$(\text{kg/mm}^2) S_{\text{min}}$	$\rightarrow -8$	zero	-2

tensile strength $\Rightarrow S_{\text{ult}} = 40 \text{ kg/mm}^2 \quad \left. \begin{array}{l} S_y = 24 \text{ kg/mm}^2 \\ S_e = 20 \text{ kg/mm}^2 \end{array} \right\} \begin{array}{l} \text{f.o.s} = 2.0 \\ \text{f.o.s} = 3.0 \end{array}$

$$S_{\text{ult}} = \frac{40}{2} = 20 \text{ kg/mm}^2$$

$$S_y = \frac{24}{2} = 12 \text{ kg/mm}^2$$

$$S_e = \frac{20}{3} = 6.67 \text{ kg/mm}^2$$

For point (A)

$$S_m = \frac{S_{\text{max}} + S_{\text{min}}}{2} = \frac{12 - 8}{2} = 2 \text{ kg/mm}^2$$

$$S_a = \frac{S_{\text{max}} - S_{\text{min}}}{2} = \frac{12 + 8}{2} = 10 \text{ kg/mm}^2$$

Point (A) is out of range \Rightarrow unsafe

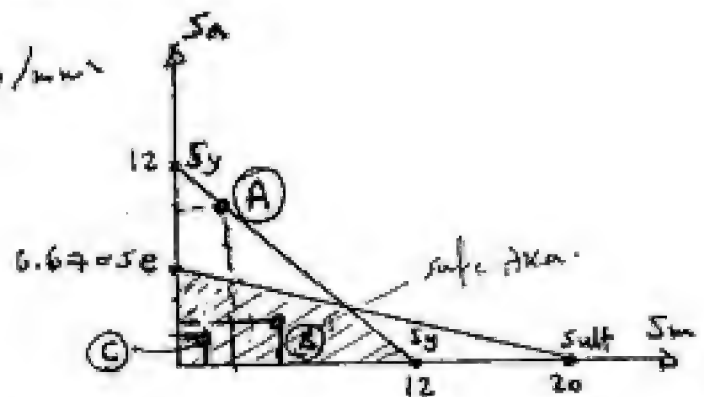
Point (B)

$$S_m = 4 < S_a = 4 \text{ is in range (safe)}$$

Point (C)

$$S_m = 1.0 < S_a = 3.0 \text{ is in range (safe)}$$

but (A) not safe \therefore member is unsafe #



No(2)

Given

$$S_m = 1260 \text{ kg/cm}^2$$

$$S_{ult} = 4200 \text{ ''}$$

$$S_y = 3360 \text{ ''}$$

$$S_e = 2100 \text{ ''}$$

Req

$S_{max} < S_{min}$ using Goodman, Gerber, Soderberg.

Solution

① Gerber's rule

$$S_a = S_e \left[1 - \left(\frac{S_m}{S_{ult}} \right)^2 \right]$$
$$= 2100 \left[1 - \left(\frac{1260}{4200} \right)^2 \right] = 1911 \text{ kg/cm}^2$$

$$S_{max} = S_m + S_a = 1260 + 1911 = 3171 \text{ kg/cm}^2$$

$$S_{min} = S_m - S_a = 1260 - 1911 = -651 \text{ kg/cm}^2$$

② Goodman's

$$S_a = S_e \left[1 - \frac{S_m}{S_{ult}} \right] = 2100 \left[1 - \frac{1260}{4200} \right] = 1470 \text{ kg/cm}^2$$

$$S_{max} = 2730 \text{ kg/cm}^2$$

$$S_{min} = -210 \text{ kg/cm}^2$$

③ Soderberg's

$$S_a = S_e \left[1 - \frac{S_m}{S_y} \right] = 2100 \left[1 - \frac{1260}{3360} \right] = 1312.5 \text{ kg/cm}^2$$

$$S_{max} = 2572.5 \text{ kg/cm}^2$$

$$S_{min} = -52.5 \text{ kg/cm}^2$$

No (3)

Given

$$P_{max} = +3 \text{ ton} \quad P_{min} = +1 \text{ ton}$$

$$S_m = ? \quad \left. \begin{array}{l} S_{ult} = 40 \text{ kg/mm}^2 \\ S_y = 24 \text{ kg/mm}^2 \\ S_e = 18 \text{ kg/mm}^2 \end{array} \right\} f.o.s = 2.0$$

Key find $A = ?$ by Goodman diagram & Soderberg.

Solution

$$S_{max} = \frac{P_{max}}{A} = \frac{3 \times 10^3}{A} \quad S_{min} = \frac{1 \times 10^3}{A}$$

$$S_m = \frac{S_{max} + S_{min}}{2} = \frac{3 \times 10^3 + 1 \times 10^3}{2A} = \frac{2 \times 10^3}{A}$$

$$S_a = \frac{S_{max} - S_{min}}{2} = \frac{1 \times 10^3}{A}$$

1 Goodman diagram

$$S_{ult} = \frac{40}{2} = 20$$

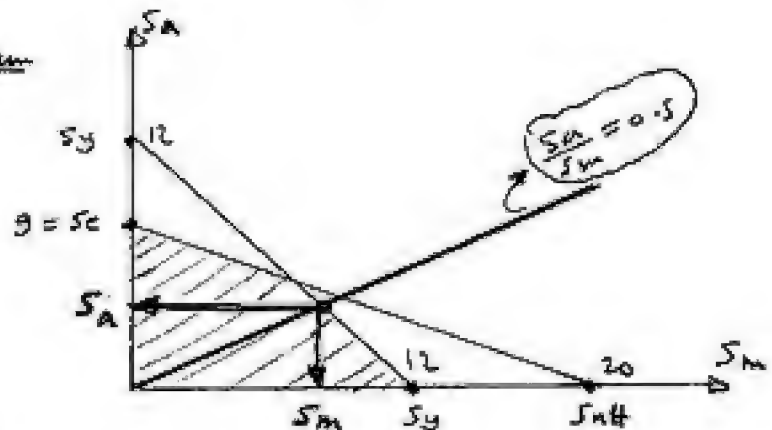
f.o.s

$$S_y = \frac{24}{2} = 12$$

$$S_e = \frac{18}{2} = 9$$

$$\frac{S_a}{S_m} = \frac{1 \times 10^3 / A}{2 \times 10^3 / A} = 0.5$$

Check $S_a < S_m$ c. S_{ult}
 . safe \Rightarrow yes, \bar{E} is



(2) by Soderberg.

$$\frac{S_a}{S_e} + \frac{S_m}{S_y} = 1$$

$$\frac{1 \times 10^3}{A \times 9} + \frac{2 \times 10^3}{A \times 12} = 1.0 \Rightarrow A = \frac{1 \times 10^3}{9} + \frac{2 \times 10^3}{12}$$

$$A = 277.8 \text{ mm}^2 \quad \#$$

Nº(4)

Given data

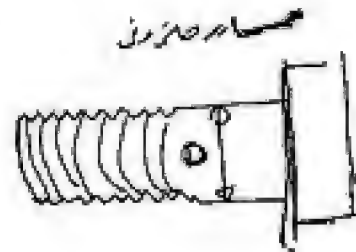
$$P = 50000 \text{ lb} \Rightarrow \text{F.R.F} = 1.5$$

$$d = ?? \Rightarrow A = ??$$

$$S_e = 50000 \text{ psi} \Rightarrow f.o.s = 3.0$$

$$S_y = 60000 \text{ psi} \Rightarrow f.o.s = 2.0$$

$$\text{stress concentration factor} = 2.0 \quad \therefore D = ??$$



(1) diameter due to fatigue stress

$$\frac{S_e}{\text{F.R.F} \times f.o.s} = \frac{P}{A} \Rightarrow \frac{50000}{1.5 \times 3} = \frac{50000}{A}$$

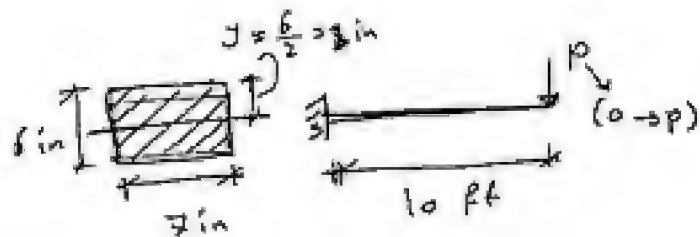
$$A = 4.5 \text{ in}^2 = \frac{\pi}{4} D^2 \Rightarrow D = 2.4 \text{ in}$$

(2) diameter due to yield stress (static stress) #

$$\frac{S_y}{\text{stress concentration factor} \times f.o.s} = \frac{P}{A} \Rightarrow \frac{60000}{2 \times 2} = \frac{50000}{A} \Rightarrow A = \frac{20}{6}$$

$$A = 3.33 \text{ in}^2 \Rightarrow D = 2.06 \text{ in} \quad \#$$

N = 5



Given

$$S_y = 90000 \text{ psi} \quad \text{---} \quad \underline{16 \text{ in}^2}$$

$$S_{ult} = 120000 \text{ psi}$$

$$S_e = 60000 \text{ psi}$$

$$N = 10^5 \text{ cycles}$$

Req get failure load $P = ?$ using Goodman's & Soderberg's

Solution

1 Goodman's rule

$$S = \frac{P \times L \times y}{I} \Rightarrow M = P \times L$$

$$S_{max} = \frac{P_{max} \times (10 \times 12) \times 3}{\frac{7 \times 6^3}{12}} \quad \text{---} \quad \frac{y \times L}{I}$$
$$= 2.85 P_{max}$$

$P (0 \rightarrow P)$

$$P_{max} = P \quad \text{---} \quad P_{min} = 0.0$$

$$S_{min} = 0.0$$

$$\Rightarrow S_m = \frac{2.85 P}{2} = 1.425 P$$

$$S_a = 1.425 P$$

$$\frac{S_a}{S_e} + \frac{S_m}{S_{ult}} = 1$$

$$\frac{1.425 P}{60000} + \frac{1.425 P}{120000} = 1 \quad \#$$

$$\Rightarrow P = 28070 \text{ lb}$$

2 Soderberg's rule

$$\frac{S_a}{S_e} + \frac{S_m}{S_y} = 1$$

$$\frac{1.425 P}{60000} + \frac{1.425 P}{90000} = 1$$

$$\Rightarrow P = 25263 \text{ lb} \quad \#$$

Metallurgy

*Bond between
atoms*

الروابط بين الذرات

Ch(1) + Ch(2)

Chapter (1)

Classification of Solid engineering materials تصنيفات المواد الهندسية .

* تنقسم المواد الهندسية إلى خمس مجموعات :-

1- Metals and metallic alloys الفلزات و سبائك فلزية

A) Ferrous metals مواد حديدية

Fe (Iron الحديد)

steel \rightarrow الحديد الصلب $(Fe) + C \% \leq 2\%$

cast iron \rightarrow الحديد المصبوب $(Fe) + C \% > 2\%$

هو الك 90% مواد ينتجها صهر الحديد الخام حديد صلب (Steel).

B) Non-ferrous metals مواد معدنية غير حديدية

الفضة Ag ، الذهب Au ، الألومنيوم Al ، النيكل Ni ، النحاس Cu

و بعض سبائك مثل (Brass) نحاس و زنك $(Cu + Zn)$ 70% (Zn 30%)

(Duralumine) ألومنيوم و نحاس $(Al + Cu)$ (4-5%)

يستخدم في صناعة الطائرات لكونه خفيف الوزن - صلب - مقاوم للصدأ

* properties of metals خواص الفلزات .

1- high conductivity for electricity & heat . موصل جيد للكهرباء و الحرارة .

2- have good mechanical properties . له خواص ميكانيكية جيدة .

2- Ceramics الخزفيات

مثل : الطوب brick ، الزجاج glass ، العوازل insulators

Al₂O₃ ، أكسيد الألمنيوم ، Fe₂O₃ أكسيد الحديد

NaCl ، كلوريد الصوديوم

* properties of ceramics :- خواص الخزفيات :-

- Low Conductivity for electricity & heat . موصل ضعيف للكهرباء و الحرارة .
- have high strength & hardness . له مقاومة و صلابة عالية .

3- Semi-Conductor أشباه موصلات

مثل السيليكون (Si) ، الجيرمانيوم (Ge) ، القصدير (tin) تستعمل في تصنيع الشرائح الالكترونية .

تعتمد التوصيل الكهربائي من فجوات الطاقة (energy gap)

(tin) القصدير له فجوات طاقة صغيرة لذلك يتغير من أشباه موصل جيد لحرارة عالية .

(Si ، Ge) لهم فجوات طاقة كبيرة لذلك يتغيروا مثل أشباه موصلات موصل لحرارة منخفضة .

4- Polymers البوليمرات

مثل الخشب (Wood) ، المطاط (rubber) ، البلاستيك (plastic)

تنتج من الحرق بنمو جزئيات كبيرة من جزئيات صغيرة ؛ عملية البلمرة

* properties of polymers :-

1- ضعيفة التوصيل لحرارة و الكهرباء

2- له مقاومة ضعيفة

3- مواد خفيفة و ذات مقاومة عالية ضد التآكل

5- Composites المواد المركبة

مواد مكونة من مادتين لهما خواص جديدة

Ex Carbon Fiber ، الخرسانة المسلحة Concrete

* properties of composites

1- High strength & ductility ذات مقاومة و مطوية جيدة

chapter (2)

Bonding between atoms. الروابط بين الذرات .



atom (ذرة)



molecule (جزيء)

الجزيئات أكثر استقراراً من الذرات وذلك لوجود الإلكترونات المشتركة
' المستويات الإلكترونية بالذرات مما يغير من وجود الجزيئات .

أنواع الروابط :-

① primary bonds . روابط رئيسية .
روابط قوية وثابتة

② secondary bonds . روابط ثانوية .
روابط ضعيفة وغير ثابتة

* Types of Primary bonds :- أنواع الروابط الرئيسية .

① Metallic bond :- روابط معدنية .

* exist in metals & metallic alloys. توجد في الفلزات و السبائك الفلزية .

أكثر بين الذرات ارتباطاً .
 $Cu < Fe < Ni < \underline{\underline{Al}}$

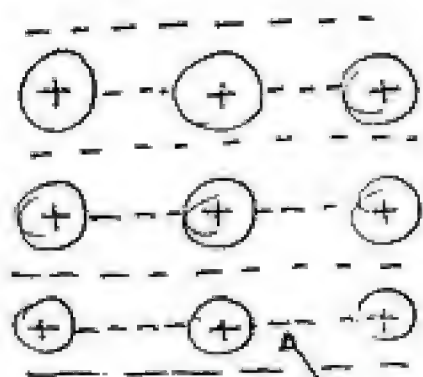
* تفقد الذرات إلكترونات موجودة في

المحار الخارجي .

* تتكون سحابة إلكترونات حرة (free electron cloud)

* يحدث ارتباط بين الإلكترونات السالبة

والإلكترونات الموجبة تتكون الرابطة الفلزية



electric

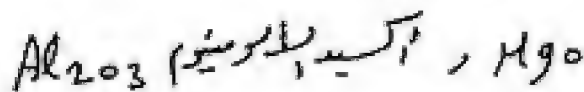
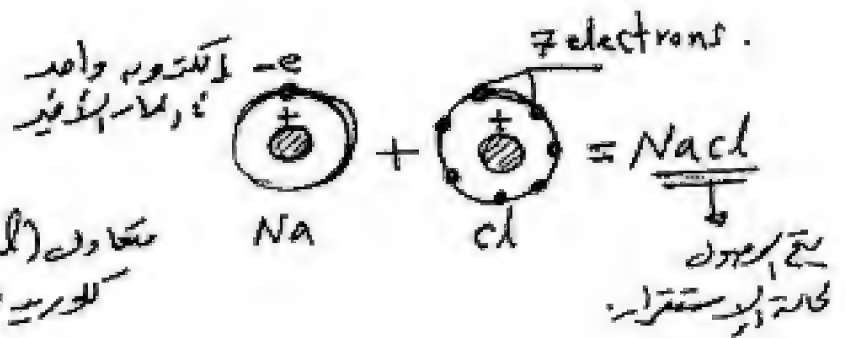
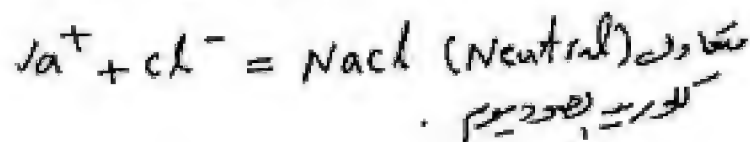
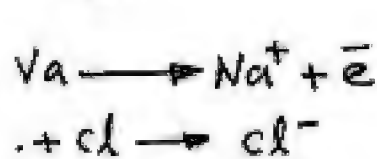
* Properties of metallic bond :-

- 1- good Conductor for heat and electricity
due to the presence of free electron.
- 2- high malleability and ductility
- 3- Low melting point and boiling temperature.
- 4- Solid materials only.

② Ionic bond :-

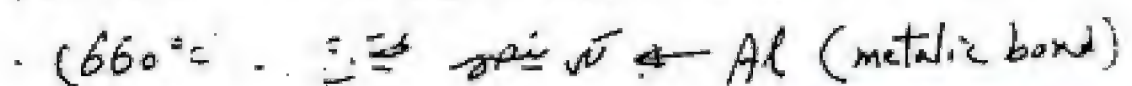
حالتا یکوم مدار الیضیر لیکه ابرابطه متبعتا بآئونه ۲ الکترونات
آلکتریم او اونیون

EX



- ۱- تلفد بعضه الذرات آلکتریماتک، مدار الیضیر و تحولات ای آیونیات
- ۲- تکلیف الذرات الیضیر هذه الیضیرات و تحولات ای آیونیات سابه
- ۳- جیوت تجاذب بین الیضیرات الیضیریه ر سابه متکون ابرابطه الیضیریه
- * ابروایط الیضیریه آتونه ر ررر الیضیریه و ذلك بسبب ۴
ای استقرار ات یصل که ابرابطه

روایط فلزیه Metalic bond >> Ionic bond رابطة ایونیته



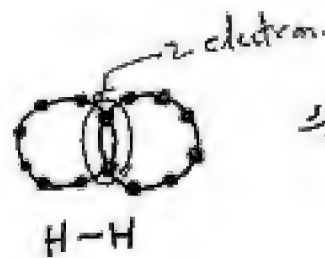
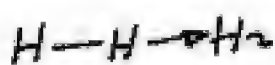
* Properties of ionic bond :-

- 1- bad conductor for heat and electricity
موصلة سيئة للحرارة والكهرباء .
- 2- not malleable and not ductile
قابلة للتطوية والمطوية .
- 3- high melting and boiling temperature
درجة حرارة انصهار وغليان مرتفعة .
- 4- high hardness
صلابة عالية .

③ Covalent bond : روابط تساهمية

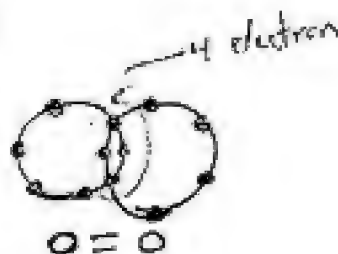
حدث بين الذرات اشتراكية بحيث يتكون مدار مشترك للإلكترونات بين الذرتين .

1- single bond رابطة تساهمية أحادية



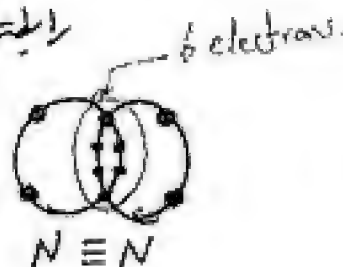
كل عنصر يحتاج
إلى إلكترون واحد

2- double bond رابطة تساهمية ثنائية



كل عنصر يحتاج
إلى ٢ إلكترونات

3- Triple bond رابطة تساهمية ثلاثية



كل عنصر يحتاج
إلى ٣ إلكترونات

EX insulating materials are :- diamond, SiC, SiO₂

Covalent bond
الرابطة التساهمية

أيون >> Ionic bond
الرابطة الأيونية

أيون >> Metallic bond
الرابطة المعدنية

* properties of Covalent bond :-

- 1- bad conductor for heat and electricity. موصلية سيئة للحرارة والكهرباء.
- 2- not malleable and ductile. عملية المخطوئية والطورقية.
- 3- high melting and boiling temperatures. درجة حرارة انصهار ما عالياً ودرجة غليان مرتفعة.
- 4- have low hardness except diamond & silicon carbide. لصلابة منخفضة ما عدا الماس & كربيد السيليكون.

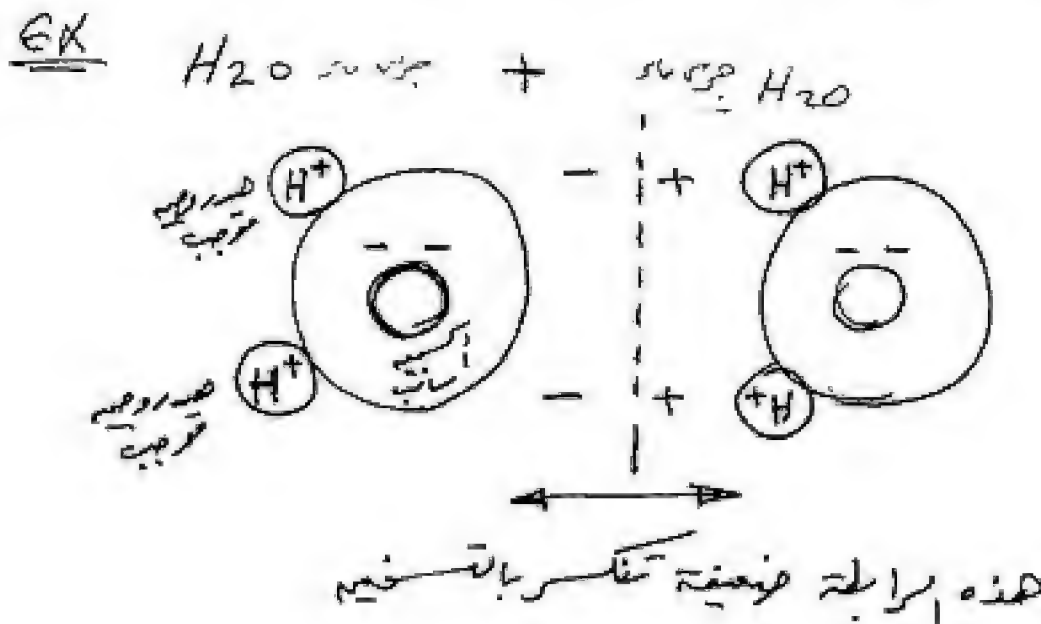
* Types of Secondary bonds :-

انواع الروابط الثانوية.

① Van der Waals bond :-

- weak electrical attraction between neighboring atoms or Molecules.

- تجاذب كوزي ضعيف بين الذرات أو الجزيئات المجاورة.



Ex 1.1

6-

iron at $t = 750^\circ\text{C}$ and at $t = 1000^\circ\text{C}$

1) At $t = 750^\circ\text{C}$ iron is B.C.C

iron \rightarrow 91.8% α -iron
 91.8 - 14.4 F.C.C
 > 14.4 B.C.C
6 iron

No. of atoms = 2 ——— Volume of cell $a = \frac{4}{\sqrt{3}} R$

$$\rho = \frac{\text{No. of atoms} \times \text{Atomic weight}}{\text{Volume of cell}}$$

$$= \frac{2 \times 55.85}{6.02 \times 10^{23}} \div \left(\frac{4}{\sqrt{3}} \times 1.24 \times 10^{-8} \right)^3 = \underline{\underline{7.9 \text{ gm/cm}^3}}$$

at 1000°C is F.C.C

No. of atoms = 4

$$a = \frac{4}{\sqrt{2}} R$$

$$\rho = \frac{4 \times 55.85}{6.02 \times 10^{23}} \div \left(\frac{4}{\sqrt{2}} \times 1.24 \times 10^{-8} \right)^3 = \underline{\underline{8.6 \text{ gm/cm}^3}}$$

6
11

Metallurgy

Crystal Structure

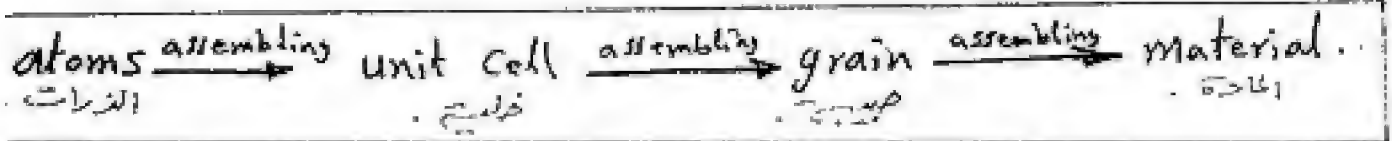
البناء البلوري

Ch(3)

Chapter (3)

التركيب البلوري Crystal structure

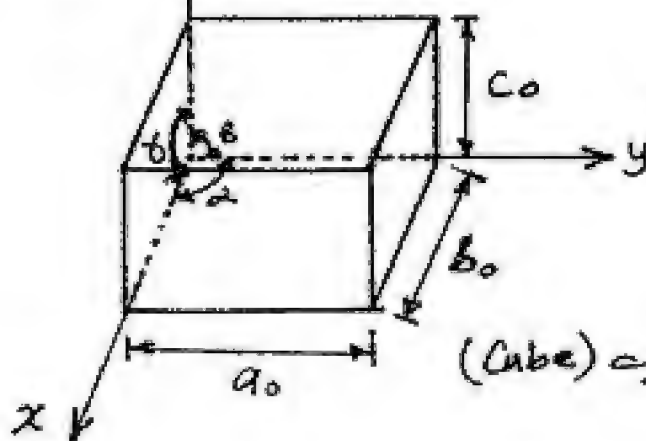
* هو شكل معين لتوزيع الذرات بطريقة تآسك داخل الخلية



unit cell :- هي أصغر وحدة لبناء الذرات وتكرر داخل المادة.

* * Factor affecting cell shape :- العوامل المؤثرة على شكل الخلية:

- ① Cell dimension $a_0 < b_0 < c_0$ أطوال الخلية.
- ② Cell angle $\alpha < \beta < \gamma$ الزوايا.



*** حالات من أشكال unit cell ***

$$\begin{aligned} a_0 &= b_0 = c_0 \\ \alpha &= \beta = \gamma = 90^\circ \end{aligned} \quad (1)$$

← يصبح متوازٍ، بلعج مكعب (Cube)

Tetragonal. ← يصبح متوازٍ، بلعج

$$\begin{aligned} a_0 &= b_0 \neq c_0 \\ \alpha &= \beta = \gamma = 90^\circ \end{aligned} \quad (2)$$

orthorhombic \Leftarrow

$$\begin{aligned} a_0 &\neq b_0 \neq c_0 \\ \alpha &= \beta = \gamma = 90^\circ \end{aligned} \quad (3)$$

Rhombohedral. \Leftarrow

$$\begin{aligned} a_0 &= b_0 = c_0 \\ \alpha &= \beta = \gamma \neq 90^\circ \end{aligned} \quad (4)$$

... \Leftarrow

$$a_0 \neq b_0 \neq c_0 \quad (5)$$

* The most important system is :-

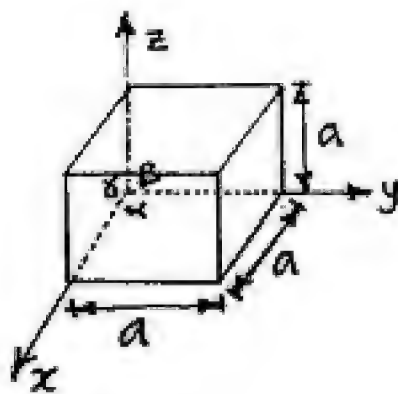
- ① Cubic system شكل مكعب
- ② hexagonal system شكل سداسي

وذلك لأنه يمثل المعاداة في سبائك الحديدية في هذا الجزء البصري .

1 The Cubic System :-

$$a_0 = b_0 = c_0 = a \rightarrow \text{lattice parameter}$$

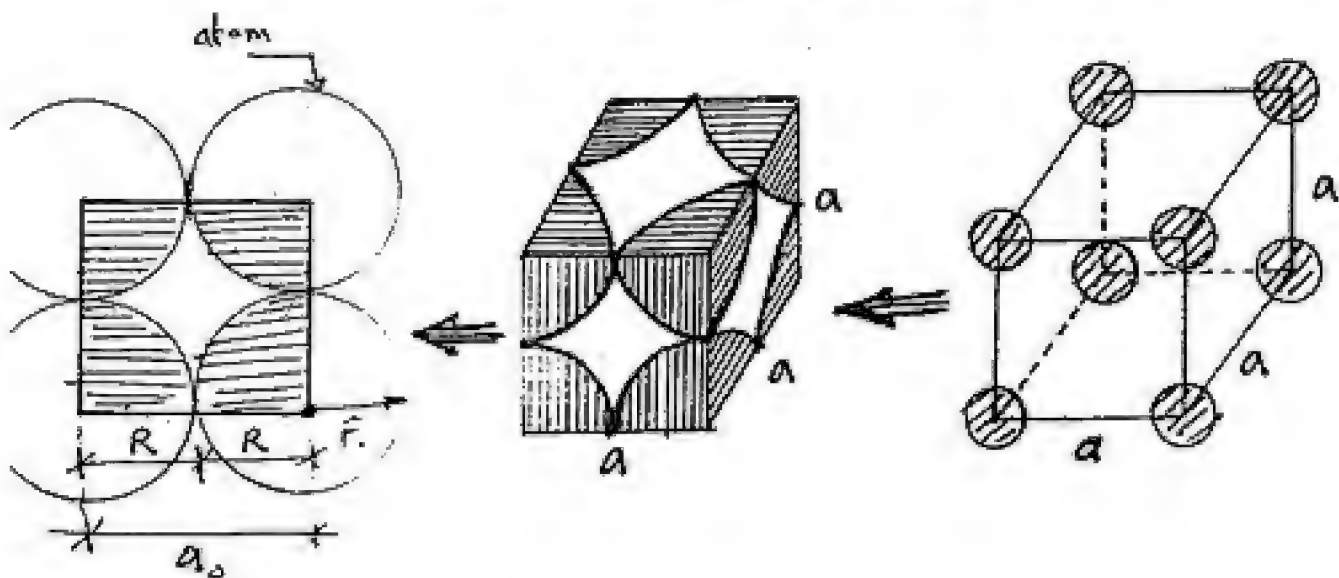
$$\alpha = \beta = \gamma = 90^\circ \quad \text{or lattice constant}$$



* يوجد ثلاث أشكال في حالة Cubic

A Simple Cubic structure المكعب البسيط

* الذرات موجودة في الزوايا فقط ومترابطة .



sequence of simple cubic structure is AAAA
4 4 4 4

- Volume of unit cell $= a^3 = (2R)^3 = 8R^3$

where:-

a :- lattice parameter.

R :- Radius of atom.

- no of atoms/unit cell $= 8 \times \frac{1}{8} = 1$ atom

- Atomic packing factor

هو معامل يعبر عنه الحيز الذي تشغله الذرات داخل الخلية.

$$A.P.F = \frac{\text{volume of atoms/unit cell}}{\text{volume of unit cell}} = \frac{\text{حجم الذرات داخل الخلية}}{\text{حجم الخلية}}$$

$$A.P.F = \frac{\text{no of atoms/unit cell} \times \text{Volume of one atom}}{\text{volume of unit cell}} \quad \#$$

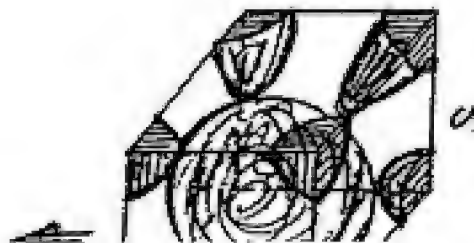
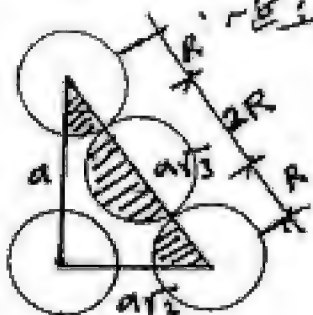
- for simple cubic structure -

$$A.P.F = \frac{1 \times \frac{4}{3} \times \pi \times R^3}{8R^3} = \frac{\pi}{6} = 0.52$$

أي أن حجم الذرات داخل الخلية $= 52\%$ وأما حجم الفراغات $= 48\%$

[B] Body Centered Cubic structure (B.C.C)

- ذرات موجودة في الزوايا ومركزها يشتمل على ذرة واحدة.



$$a\sqrt{3} = 4R \Rightarrow \boxed{a = \frac{4}{\sqrt{3}} R}$$

$$\text{Volume of unit Cell} = a^3 = \left(\frac{4}{\sqrt{3}}\right)^3 R^3$$

$$\text{No. of atoms/unit Cell} = 8 \times \frac{1}{8} + 1 = 2 \text{ atom.}$$

$$\text{A.P.F} = \frac{\text{No. of atoms/unit Cell} \times \text{Volume of one atom}}{\text{Volume of unit Cell.}}$$

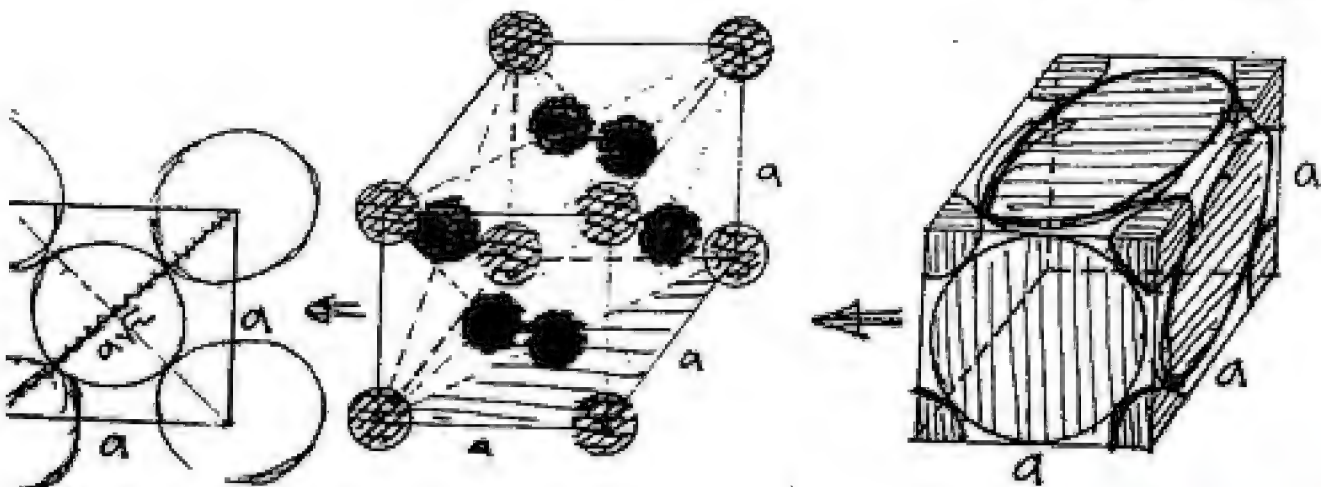
$$\therefore \boxed{\text{A.P.F} = \frac{N \times \frac{4}{3} \pi R^3}{a^3}} \quad \#$$

$$\therefore \text{A.P.F} = \frac{2 \times \frac{4}{3} \pi R^3}{\left(\frac{4}{\sqrt{3}}\right)^3 R^3} = 0.68$$

أي أن حجم الذرات داخل الخلية = 68% و 32% حجم الفراغات

C Face Centered Cubic Structure (F.c.c)

- ذرات موجودة في الزوايا ومنتصف كل وجه من أوجه المكعبات الذرات الموجودة في الزوايا.



$$a\sqrt{2} = 4R \Rightarrow \boxed{a = \frac{4}{\sqrt{2}} R}$$

- Volume of unit cell = $a^3 = \left(\frac{4}{\sqrt{2}}\right)^3 R^3$ #

- No. of atoms/unit cell = $8 \times \frac{1}{8} + 6 \times \frac{1}{2} = 4$ atoms. #

$$\boxed{A.P.F = \frac{N \times \frac{4}{3} \pi R^3}{a^3}}$$

$$A.P.F = \frac{4 \times \frac{4}{3} \pi R^3}{\left(\frac{4}{\sqrt{2}}\right)^3 R^3} = 0.74$$

ن حج ذرات داخل الخلية = 74% و 26% حج ذرات خارج الخلية

2 Hexagonal system.

A Hexagonal closed packed structure (H.C.P)

- توجد ذرات في كل ركن من الزوايا،
و في مركز كل قاعدة و في منتصف
ذرات داخل الخلية

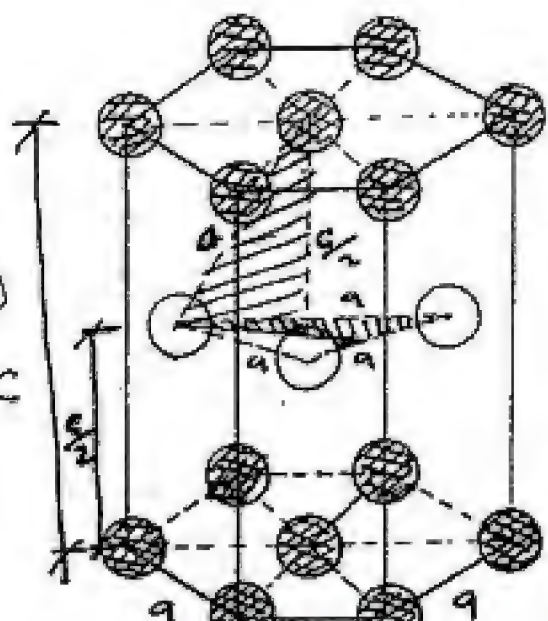
No. of atoms/unit cell =

$$12 \times \frac{1}{6} + 2 \times \frac{1}{2} + 3 = 6 \text{ atoms}$$

Volume of unit cell = Area of base * height.

$$= 6 \times \left(\frac{1}{2} a \times a \sin 60^\circ\right) \times c$$

$$V = \frac{3\sqrt{3}}{2} a^2 \times c$$



For ideal (H.c.p)

$$\boxed{C = 1.63 a} \quad \& \quad \boxed{a = 2R}$$

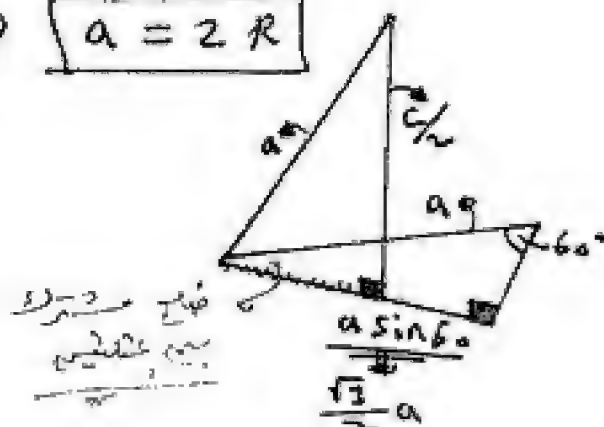
why?

$$= \left(\frac{C}{2}\right)^2 + \left(\frac{2}{3} a \sin 60^\circ\right)^2$$

$$= \frac{C^2}{4} + \left(\frac{\sqrt{3}}{3}\right)^2 a^2$$

$$\frac{C^2}{4} = a^2 - \frac{3}{9} a^2 = \frac{6}{9} a^2$$

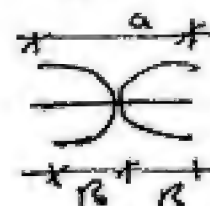
$$C^2 = \frac{24}{9} a^2 \Rightarrow C = \sqrt{\frac{24}{9}} a \Rightarrow \boxed{C = 1.63 a} \#$$



$$A.P.F = \frac{N \times \frac{4}{3} \times \pi \times R^3}{V}$$

$$= \frac{6 \times \frac{4}{3} \times \pi \times R^3}{\frac{3\sqrt{3}}{2} a^2 \times C} = \frac{8 \pi R^3}{3\sqrt{3} a^2 \times 1.63 a}$$

$$\boxed{a = 2R}$$



$$A.P.F = \frac{8 \pi R^3}{3\sqrt{3} \times (2R)^2 \times 1.63 (2R)}$$

$$= \frac{8 \pi R^3}{8\sqrt{3} \times 1.63 R^3} = 0.74$$

26% = Cavity, 74% = filled (H.c.p) i.e. 74% filled

(F.c.c) filled

Examples

(1) (B.C.C)

Fe at Temperature $< 910^{\circ}\text{C}$

Vanadium (V)

Niobium (Nb)

(2) (F.C.C)

Fe at $1410^{\circ}\text{C} > T > 910^{\circ}\text{C}$

Copper (Cu) نحاس , Al الأكسجين , Nickel (Ni) نحاس

Silver (Ag) الفضة , Gold (Au) الذهب

(3) (H.C.P)

Zinc الزنك , Magnesium المغنيسيوم , Titanium التيتانيوم

** Theoretical density

$$\rho_{th} = \frac{\text{mass}}{\text{Volume}} = \frac{\text{mass of atoms}}{\text{Volume of unit cell}} = \frac{\frac{(\text{At. wt})}{\text{atomic weight}} \times \frac{\text{no. of atoms}}{N_A}}{a^3}$$

Theoretical density الكثافة النظرية

$$\rho = \frac{\text{mass}}{\text{Volume}} = \frac{\text{الكتلة}}{\text{الحجم}}$$

$$= \frac{\text{mass of unit cell}}{\text{Vol. of unit cell}} \Rightarrow \rho = \frac{\text{wt. of atoms / u.c.}}{\text{Vol. of u.c.}}$$

$$\therefore \rho = \frac{\text{No. of atoms} \times \frac{\text{At. wt}}{\text{Avogadro's no.}}}{\text{Vol. of u.c.}} \quad \#$$

directions and planes in unit cell

* Lattice Point النقطة

The point in u.c where an atom may exist.

من نقطة التي يوجد فيها ذرة في الخلية وحدة : $[x, y, z]$

* Directions [Miller - Bravais system] الاتجاهات

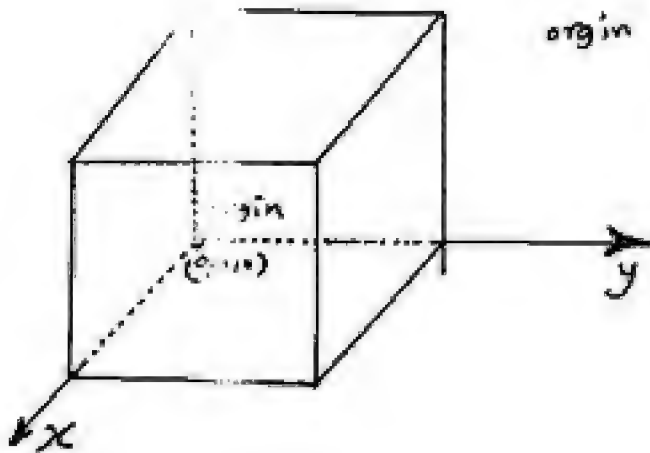
كيفية تعيين أي اتجاه مطلوب

1- نضع برسم الخلية موضع نقطة (0,0,0) ← origin

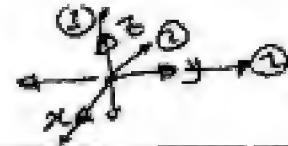
2- نضع بقومع النقطة المطلوبة ونوصل

بنقطة الأصل (0,0,0) يكون هذا

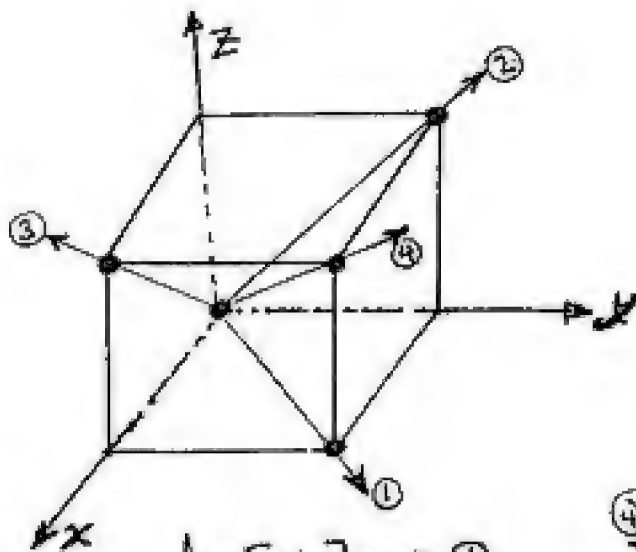
هو الاتجاه المطلوب ←



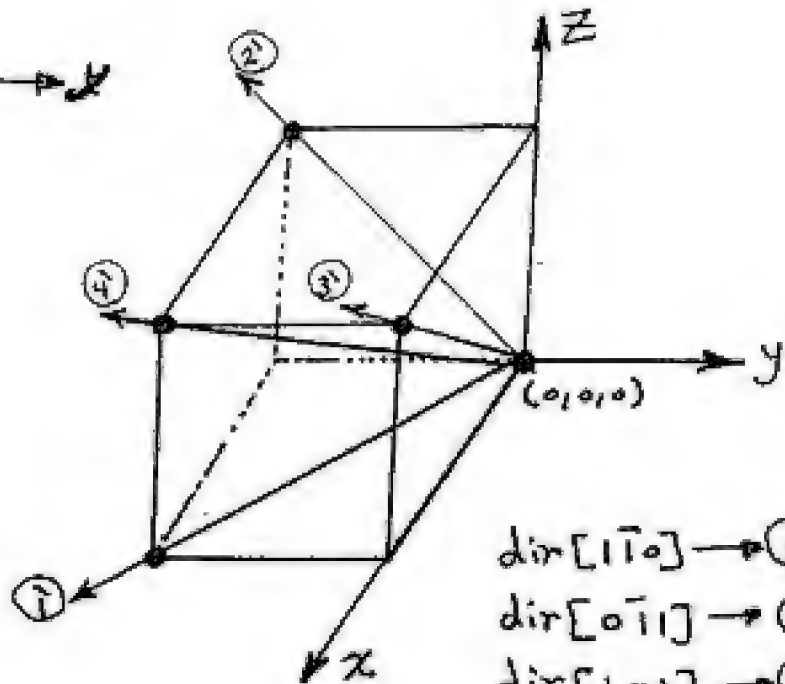
Example



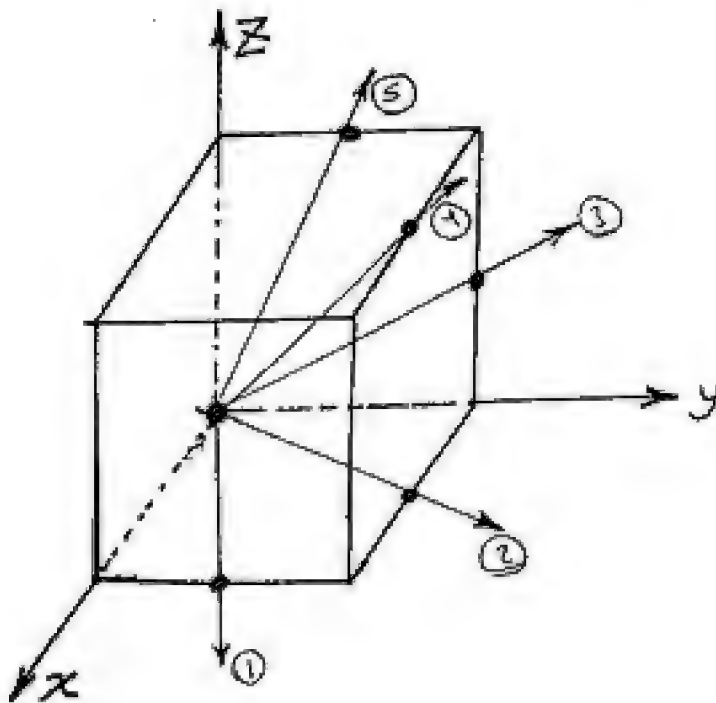
- | | |
|---------------------|----------------------------------|
| 1- dir (x) is (100) | $\rightarrow \equiv (\bar{1}00)$ |
| 2- dir (y) is (010) | $\rightarrow \equiv (0\bar{1}0)$ |
| 3- dir (z) is (001) | $\rightarrow \equiv (00\bar{1})$ |



- dir [110] \rightarrow (1)
 dir [011] \rightarrow (2)
 dir [101] \rightarrow (3)
 dir [111] \rightarrow (4)



- dir [1 $\bar{1}$ 0] \rightarrow (1)
 dir [0 $\bar{1}$ 1] \rightarrow (2)
 dir [10 $\bar{1}$] \rightarrow (3)
 dir [1 $\bar{1}$ 1] \rightarrow (4)



- dir [1 $\frac{1}{2}$ 0] \equiv [210] \rightarrow (1)
 dir [$\frac{1}{2}$ 1 0] \equiv [120] \rightarrow (2)
 dir [0 1 $\frac{1}{2}$] \equiv [021] \rightarrow (3)
 dir [$\frac{1}{2}$ 1 1] \equiv [122] \rightarrow (4)
 dir [0 $\frac{1}{2}$ 1] \equiv [012] \rightarrow (5)

linear density . الكثافة الخطية

- ص عدد الذرات في وحدة الطول .
no of atoms per unit length.

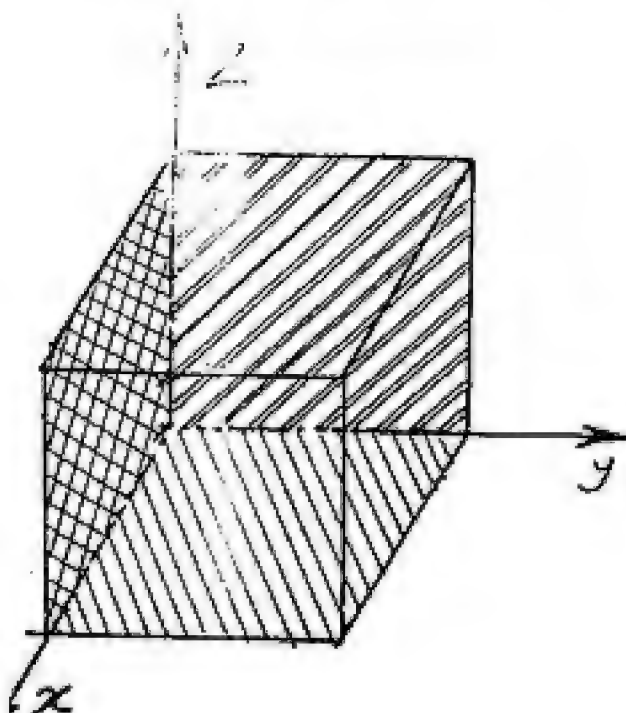
* كيفية حساب الكثافة الخطية :-

- 1- توزيع الذرات المطلوب كما تم سابقاً ونوجد طول .
- 2- نقوم بحساب عدد الذرات في طول هذا الاتجاه (التير الاتجاه بمرارة

$$\text{linear density (L.D)} = \frac{\text{no of atom/dir}}{\text{length of dir}} = \frac{\text{عدد الذرات}}{\text{طول الاتجاه}}$$

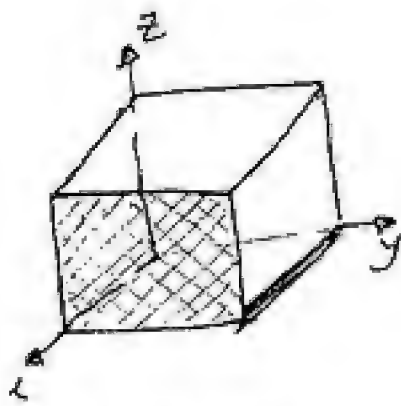
* planes . المستويات

- لتحديد مستوى نعتبر أن كل نقطة على خط، مستوى
نفسه إذا كانت (x=0) معناه أن المستوى يوازي محور (x) وهذا -

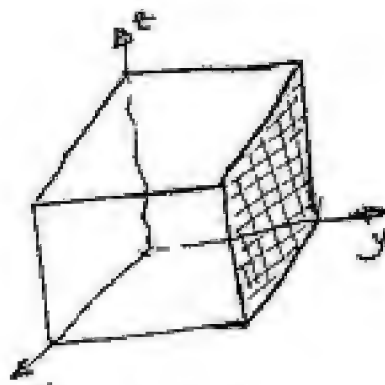


$$\begin{aligned} (xy) \text{ plane} &\rightarrow (001) \equiv (00\bar{1}) \\ (yz) \text{ plane} &\rightarrow (100) \equiv (\bar{1}00) \\ (xz) \text{ plane} &\rightarrow (010) \equiv (0\bar{1}0) \end{aligned}$$

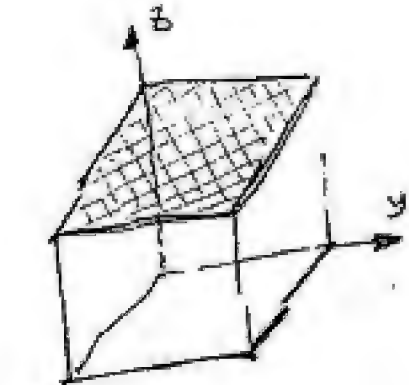
✱



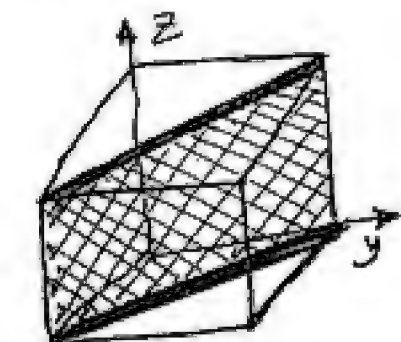
Plane (100)



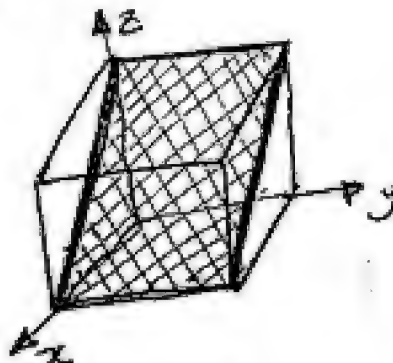
Plane (010)



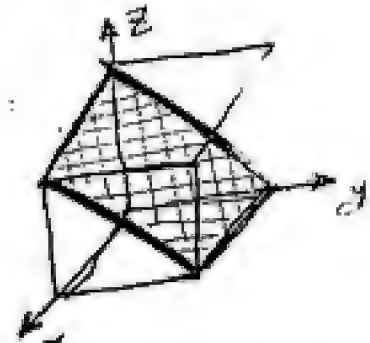
Plane (001)



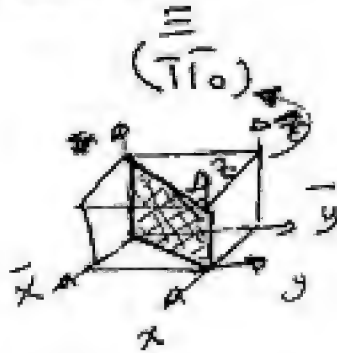
Plane (110)



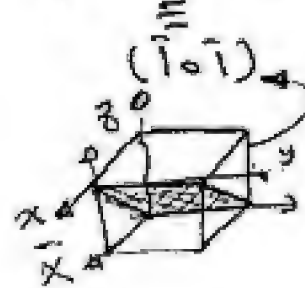
Plane (101)



Plane (011)



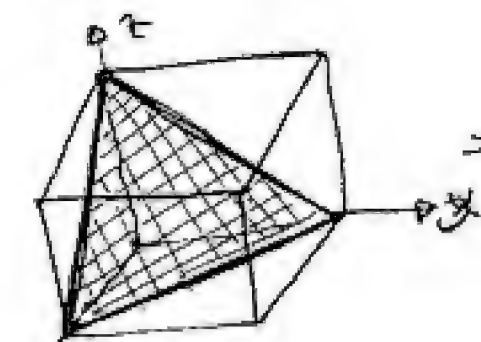
\equiv
(110)



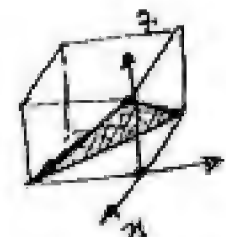
\equiv
(101)



\equiv
(011)



Plane (111)



Plane (111)



Plane (111)



Plane (111)

planar density الكثافة المستوية

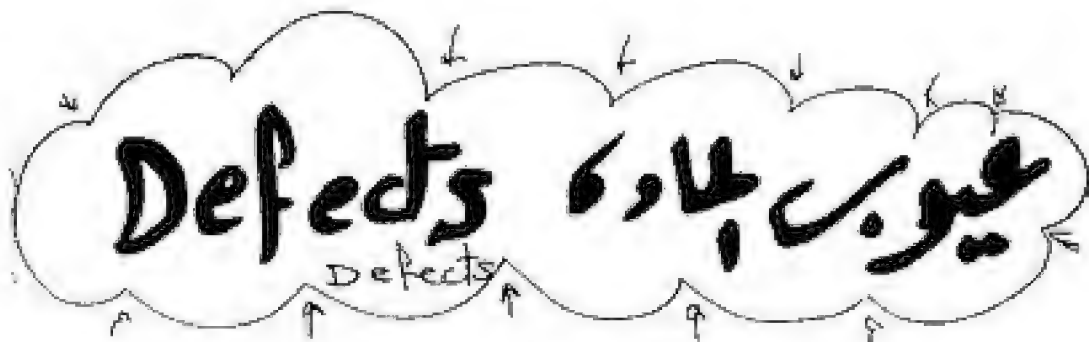
- هو عدد الذرات في وحدة المساحة .

no of atoms per unit Area .

* كيفية حساب الكثافة المستوية

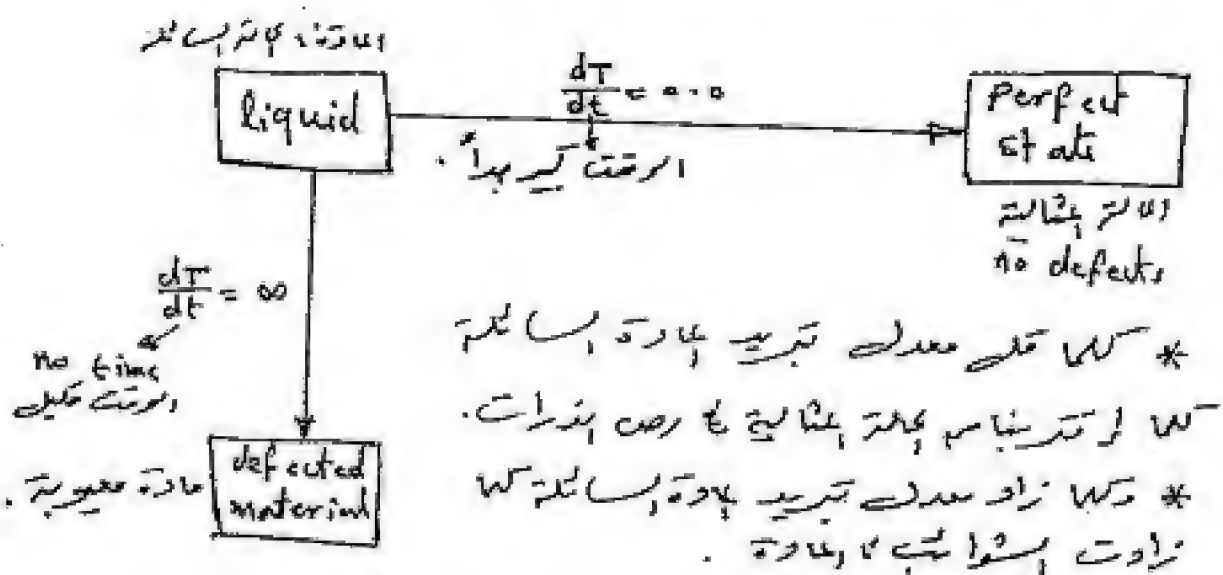
- ١- توضع المستويات المطلوبة كما هي بقاء ونوجد مساحتها .
- ٢- نقوم بحساب عدد الذرات الموجودة في هذه المساحة

$$\text{planar density (P.D)} = \frac{\text{no of atoms/plane}}{\text{Area of the plane}} = \frac{\text{عدد الذرات في المستوي}}{\text{مساحة المستوي}}$$



عیوب بخارده

Imperfections (Defects)



* large number of defects \Rightarrow strength \uparrow & ductility \downarrow

عیوب بخارده Defects

1 point defect عیوب موضعی

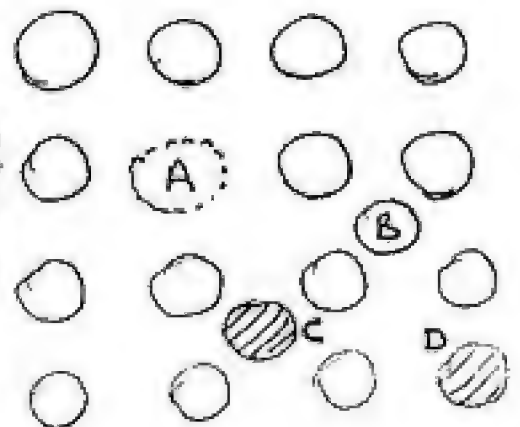
(A) Vacancies

* فراخ نایج به هم رسیده ذره از آنجا
نمکانه

* as temperature $\uparrow \Rightarrow$ no of vacancies \uparrow

* as no of vacancies $\uparrow \Rightarrow$ conductivity \downarrow

* as no of vacancies $\uparrow \Rightarrow$ Density \downarrow



(B) self interstitial atoms

ذره اویگند من تقس نوع پرت (self) محوره داخل ایزرات
البینیه

(If A.p.f is low)

as self interstitial atoms: $\uparrow \Rightarrow$ Density (ρ) \uparrow
 " $\uparrow \Rightarrow$ conductivity \downarrow
 " $\uparrow \Rightarrow$ Ductility \downarrow
 " $\uparrow \Rightarrow$ Strength & Hardness \uparrow

(C) interstitial impurities

ذره غریب که در ذره اویگند محوره داخل ایزرات البینیه

as interstitial imp. $\uparrow \Rightarrow$ strength \uparrow & ductility \downarrow مثال

ذرات دیگر جوهر که در محوره داخل ذرات اکید

Steel $\begin{cases} \text{iron} \begin{cases} \text{B.C.C} \Rightarrow R_{\text{hole}} = 0.36 \text{ \AA} \\ \text{F.C.C} \Rightarrow R_{\text{hole}} = 0.52 \text{ \AA} \end{cases} \\ \text{Carbon} \end{cases}$ نظر ایزرات

$R_c = 0.76 \text{ \AA}$
 لذت یابو در میان ایزرات F.C.C اکید
 B.C.C اکید

ex iron at $1000^\circ\text{C} \Rightarrow \text{F.C.C}$



$$R_{\text{Fe}} = 1.24 \text{ \AA} \quad \text{o.c} = 2\%$$

Req Density of alloy.

$$\rho = \frac{\text{mass (u.c)}}{\text{Volume (u.c)}} = \frac{\text{wt of Fe} + \text{wt of Carbon}}{\text{Vol}}$$

$$a = \frac{4}{\sqrt{2}} R$$

$$= \frac{\left[4 \times \frac{\text{At wt}}{6.02 \times 10^{23}} \right] + \left[\left(4 \times \frac{2}{100} \right) \left(\frac{\text{At wt}}{6.02 \times 10^{23}} \right) \right]}{\left[\frac{4}{\sqrt{2}} \times (1.24 \times 10^{-8}) \right]^3} \Rightarrow \rho = 7.3$$

(D) substitutional impurities

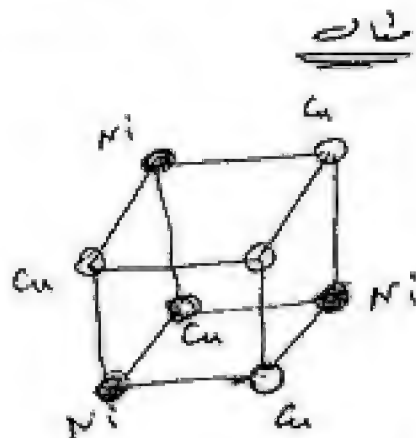
ذرات اتمی که محل ذرات میزبان را بگیرند.

alloy $\begin{cases} \text{Cu} \rightarrow \text{F.C.C} \\ \text{Ni} \rightarrow \text{F.C.C} \end{cases}$

70% Cu 30% Ni

$R_{\text{Cu}} = r$ $R_{\text{Ni}} = r$

At.wt = — At.wt = —



$$\rho_{\text{alloy}} = \frac{\text{Mass}}{\text{Volume}} = \frac{\left[\left(4 \times \frac{70}{100} \right) \times \frac{\text{At.wt}}{6.02 \times 10^{23}} \right] + \left[\left(4 \times \frac{30}{100} \right) \times \frac{\text{At.wt}}{6.02 \times 10^{23}} \right]}{\text{Volume}}$$

$$\text{Volume} = a^3 = \left(\frac{4 R_{\text{avg}}}{\sqrt{2}} \right)^3$$

$$R_{\text{avg}} = \frac{70}{100} R_{\text{Cu}} + \frac{30}{100} R_{\text{Ni}} \quad \neq$$

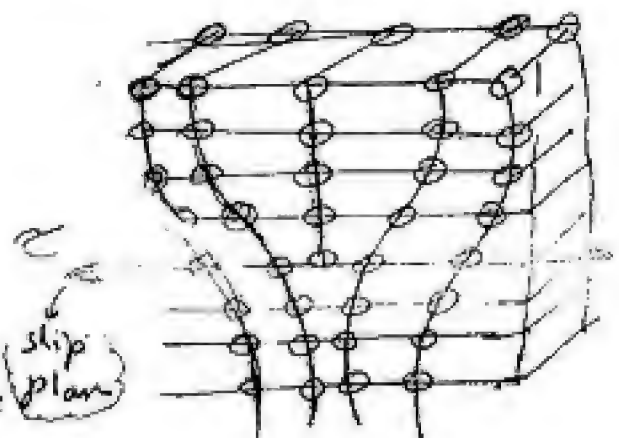
[2] line defects عيوب خطية (dislocation) لبه خلل

It's an extra half plane of atoms.

* slip plane \perp extra half plane.

(edge) line dislocation لبه خلل

* movement of dislocation increases deformation.



* If no. of dislocation increase \Rightarrow Deformation increase

* If mobility of dislocation increase \Rightarrow Deformation increase.

$$\epsilon = \rho_1 \mu_1$$

ϵ :- strain
 ρ_1 :- Density of dislocation
 μ_1 :- mobility

at beginning of plasticity



① equiaxed grains

$Dn \approx \text{of } 1/\text{cm} = 10^6 - 10^8$

after yielding

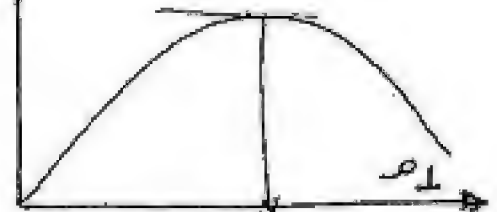


① elongated grains

$Dn \approx \text{of } 1/\text{cm} = (10^8 - 10^{10})$

بعد مرحلة yielding زيادة كثافة البنى
 يؤدي إلى فترة deformation لوقت يكون حركة
 ببطء $\epsilon \downarrow \Rightarrow \mu \downarrow$ strain hardening
 بمرحلة strain hardening بعد البنى.

Ductility



عند ازدياد الكثافة البنى
 density of edge dislocation
 كثافة البنى

③ planar Defects (grain boundaries)

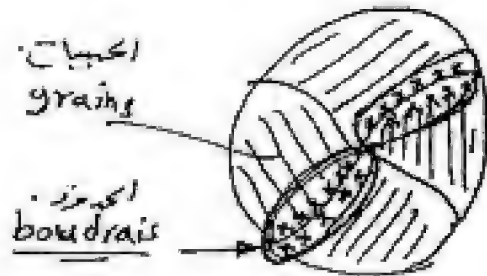
Grains :- no of unit cells have certain direction.

Boundaries :- no of unit cell have random direction.

(have high energy unit cells).
 كحالة طاقة جبراً .
 عند التماسك .

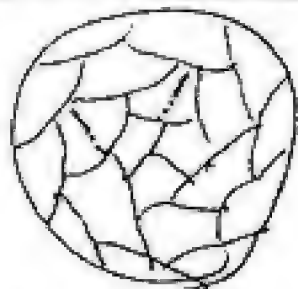
mean free path (M.F.P) :- البنى داخل grain .

* وجود Boundaries يعوق حركة البنى
 يقل Ductility .



213
 * Explain effect of planar defects on properties of metals? or

* How the grain size affect ductility and strength of metals?



Fine grain

mean boundaries increase.

- * ① mobility of dislocation decrease \Rightarrow H.F.P \downarrow
- * ② Deformation decrease
- * ③ Ductility "
- * ④ strength increase.



Coarse grain

mean boundaries decrease

- * ① mobility of dislocation increase \Rightarrow H.F.P \uparrow
- * ② Deformation increase
- * ③ Ductility "
- * ④ strength decrease



* Fine grained material are harder than coarse grained material. \Rightarrow Explain \Rightarrow

* Coarse grained material are more ductile than fine grained material. \Rightarrow Explain.

مراجعة مائيرال
Material

Tension Test اختبار شد

Q1 Define :- عرف

(1) Strength المقاومة

It's the resistance of material to rupture
مقاومة مادة للتسريع

2) Elasticity المرونة

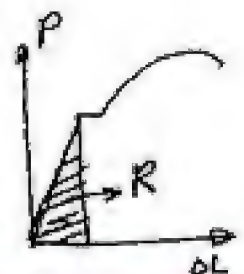
the removal of Deformation upon the removal of load
إزالة التشكل المرنة عند إزالة الحمل (إستعادة حالة التوازن الأصلية بعد إزالة الحمل)

(3) stiffness الصلابة

* ability of material to resist elastic deformation
مقاومة مادة لتشكيل المرنة

(4) Resilience المرونة

الشفط المنحدر من منطقة المرونة وبنفس القيمة إستعادته بالكامل
بعد إزالة الحمل وبقاها حالة التوازن تحت نقطة التشكل المرنة
(P- ΔL)



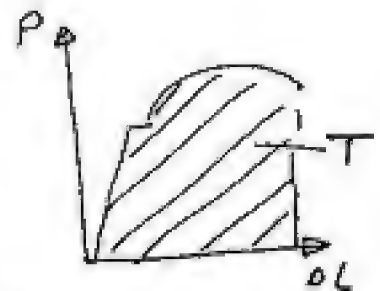
(4) Modulus of resilience حاجز مرونة

المنطقة المبرزة في مخطط إجهاد-الانفعال للحجوم التي تكونت في المادة تحت إجهاد مرنة (E-σ) تحت إجهاد مرنة.



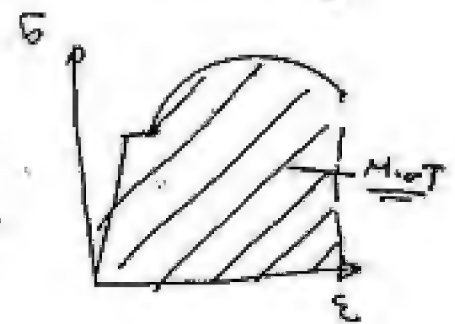
5) Toughness المقاومة

المنطقة المبرزة في المخطط إجهاد-الانفعال للمواد تحت إجهاد مرنة (P-ΔL) تحت إجهاد مرنة.



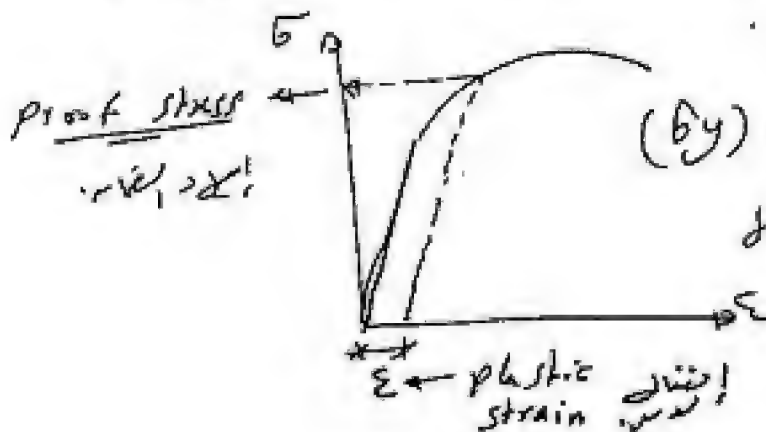
(5) Modulus of toughness

المنطقة المبرزة في مخطط إجهاد-الانفعال للمواد تحت إجهاد مرنة (σ-ε) تحت إجهاد مرنة.



(6) Proof stress إجهاد الخضوع

هو الإجهاد الذي يحدث فيه إجهاد الخضوع في المادة.



يستخدم في اختبار المواد (σ-ε)

في اختبار المواد تحت إجهاد مرنة.

(7) Ductility . المطيلية

ability of material to deform plastically

قدرة المادة على التشكل بشكل دائم بعد الحد المرن .

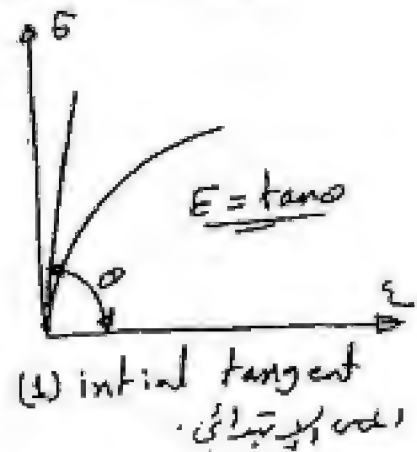
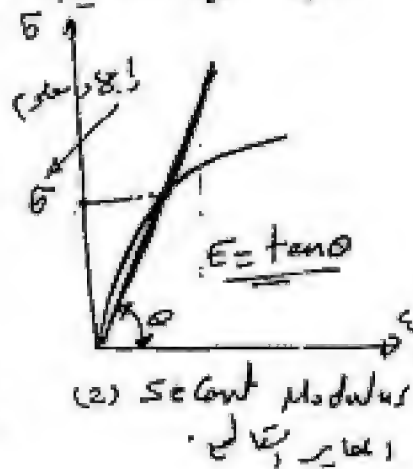
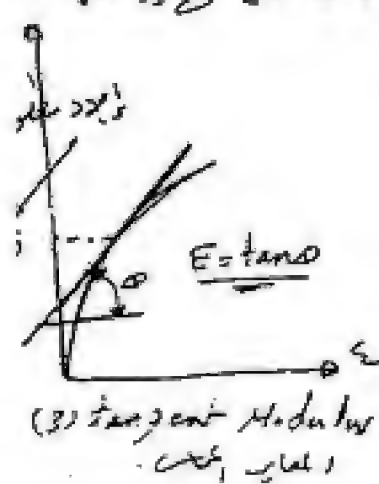
* How the ductility affect the toughness of material.?

مع زيادة المطيلية، يزداد رفق المرن، ويزداد Toughness .
رابطتي تزداد .

Q2

* Explain the three methods of estimating modulus of elasticity for materials having non-linear (Stress-strain) behavior.?

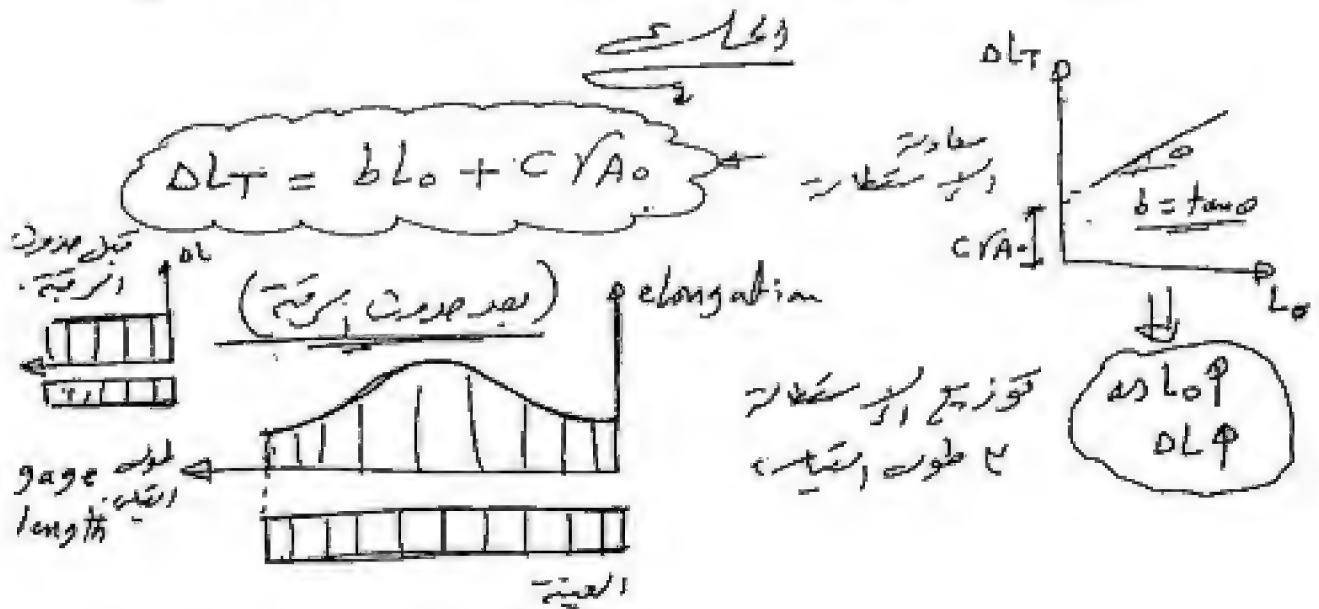
وضح ثلاث طرق لحساب (E) لمواد الاستجابة غير الخطية (6-5) نوع غير خطي



Q3

* Write the elongation equation, draw the elongation distribution along the gage length and show the effect of gage length on percentage elongation?

* اكتب معادلة الاستطالة ، و ارسم توزيع الاستطالة على طول العينة ، و اظهر تأثير طول العينة على نسبة الاستطالة (% elongation)



24

* What is the difference between ordinary stress and true stress, derive the relation between them?

Solution

σ_t (true stress) = $\frac{P_i}{A_i}$

وحداته نفسى للضغط
مساحة مقطع
الضغط

σ_n (ordinary stress) = $\frac{P_i}{A_0}$

الضغط عيسى للضغط
مساحة المقطع
للضغط

Volume is constant

$A_0 l_0 = A_i l_i$

$A_i = \frac{A_0 l_0}{l_i}$

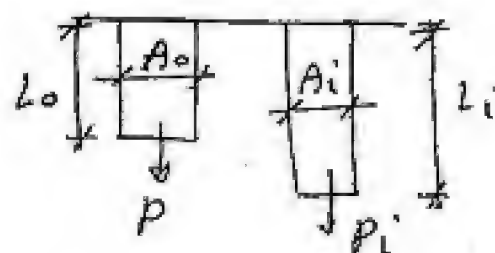
$\therefore \sigma_t = \frac{P_i}{A_i} \Rightarrow \sigma_t = \frac{P_i}{\frac{A_0 l_0}{l_i}} = \frac{P_i l_i}{A_0 l_0}$

$\sigma_t = \sigma_n \left(\frac{l_i}{l_0} \right)$

$\therefore \sigma_t = \sigma_n \left(\frac{l_0 + \Delta L}{l_0} \right) = \sigma_n \left(1 + \frac{\Delta L}{l_0} \right)$

$\sigma_t = \sigma_n (1 + \epsilon_n)$

العلاقة بين الضغط
الحقيقي والضغط العادي



اضواء الفينة Compression test

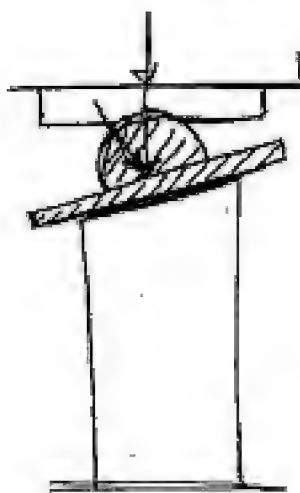
Q5

* State the limitation of Compression test?

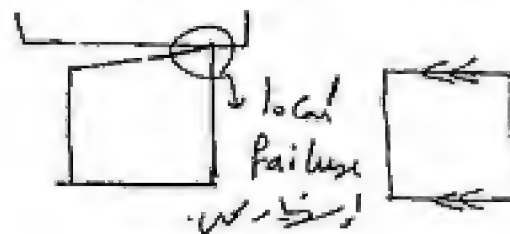
- ١- صعوبة التحليل قبل كسرها .
- ٢- الحد من مقدار حجم العينات التي يمكن فحصها (الفينة) مما يسبب حدوث تشقق، وبرشور.
- ٣- الطبيعة الغير متزنة للضغط فيها .
- ٤- الحصول على طبيعة متزنة للضغط من استخدام عينات ذات حجم كبير مما يتطلب مآليات ذات سعة كبيرة ..

Q6

* What is the purpose of spherical seating block in Compression testing machine?



* لتقليل من عدم استواء سطح الفينة



وبالتالي لا يحدث استواء السطح

الجهودات المركزة في نقطة معينة

Note

* بعضی اقسام کے اجزاء میں باقی اقسام کی طرح ہی نہیں بلکہ
میں سے توزیع کے طور پر توزیع ہوتا ہے۔

Q7

* Discuss the general requirements of the compression test specimens?

۱۔ استعمال میں ذاتی مقامی دائرہ لائنوں سے پر مشتمل ہو
مستطیل۔

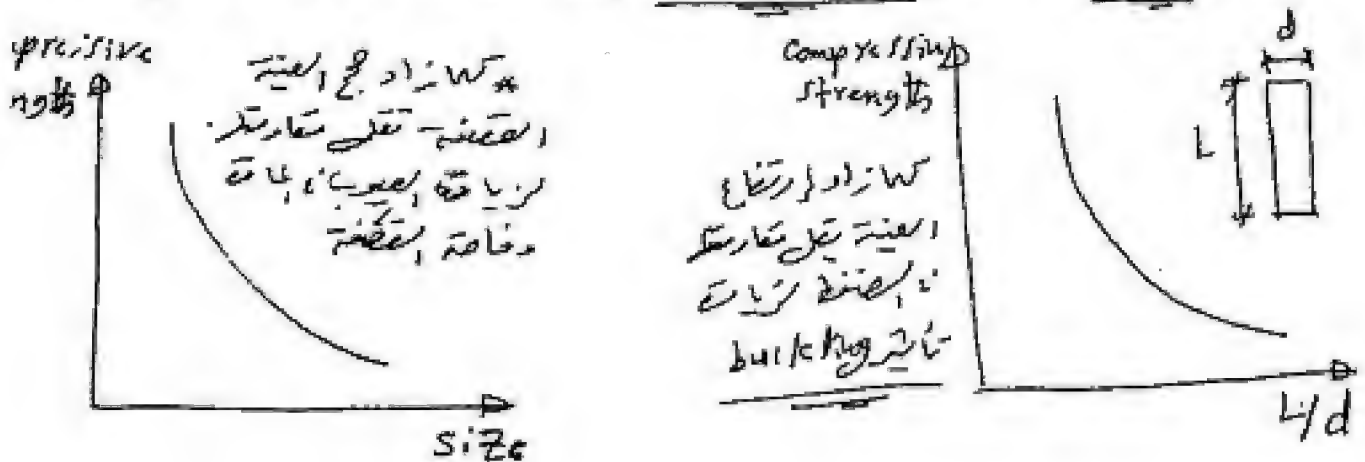
$$10 > L/d > 2$$

۲۔ استعمال میں عیناً تیار ہونے والی

۳۔ نتیجہ میں اس قدر بڑا کہ اگر $L/d < 2$ کا تعلق ہو تو نتیجہ
بدلتا ہے (buckling) اگر $L/d > 10$ کا تعلق ہو

۴۔ اسے ایک سطح (یعنی اسی) پر رکھنا اور اسے ایک محور پر رکھنا

Q8 * Explain the effect of specimen size and height on ultimate compressive strength of brittle mat?



Q8

* Explain the fracture shape of materials under Tension Test ?

Ductile materials

مطاطی،
کشش پذیر

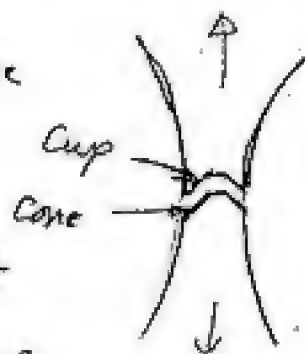
Brittle materials

شکننده،
مقاومت کم

Cup and Cone fracture.

Failure due to shear stresses.

شکست به سبب تنش های برشی



Separation or Tensile Failure

* Failure due to tension stresses

شکست به سبب تنش های کششی



Q9

* Explain the fracture shape of materials under Compression Test ?

Brittle mat.

(Cast Iron)



$$\phi = 45 + \frac{\phi}{2}$$

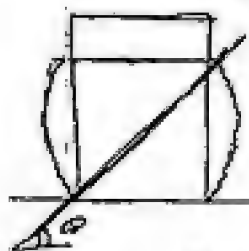
$$\phi = (20 - 30)$$

$$\phi = (55 - 60)^\circ$$

Shear Failure

Semi-Ductile

(Brass)



$$\phi = 45 + \frac{\phi}{2} = 50^\circ$$

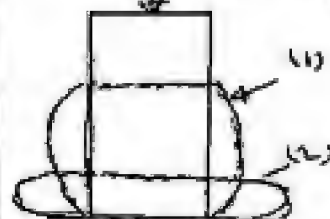
$$\phi = 100$$

Shear Failure

شکست به سبب تنش های برشی

Ductile mat.

(mild steel)



1- تغییر شکل و بریدگی

2- تغییر شکل و بریدگی

3- تغییر شکل و بریدگی

Failure without fracture

شکست بدون تنش های کششی

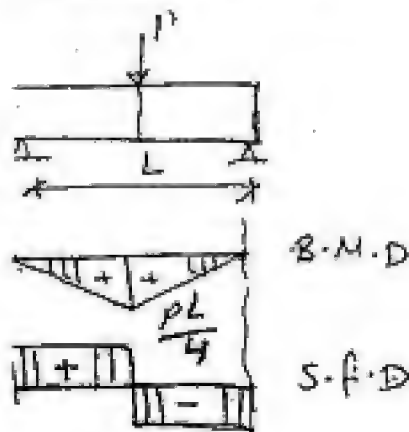
bending test لاختبار

Q10

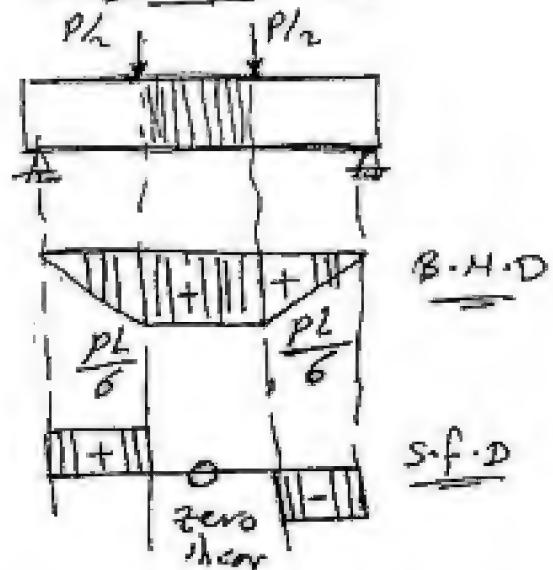
* Compare between the ultimate strength of brittle materials measured from 3-PB and 4-PB ?

* مقارنة بين مقادير القوة القصوى لمواد هشة من اختبار (3-point bending) < (4-point bending).

3-point bending



4-point bending



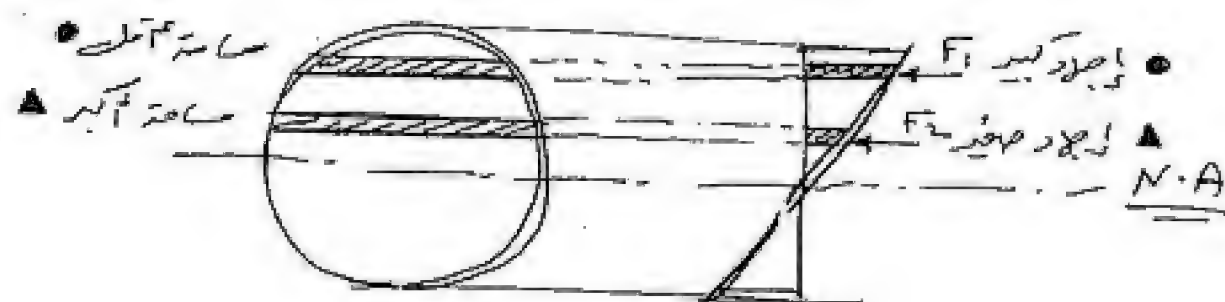
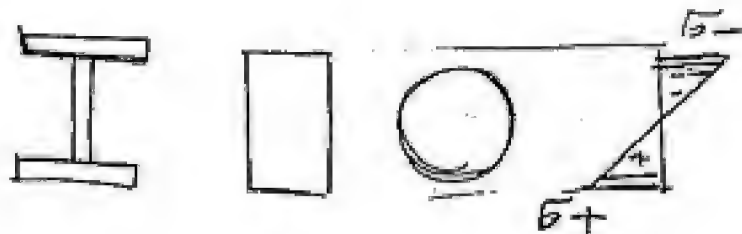
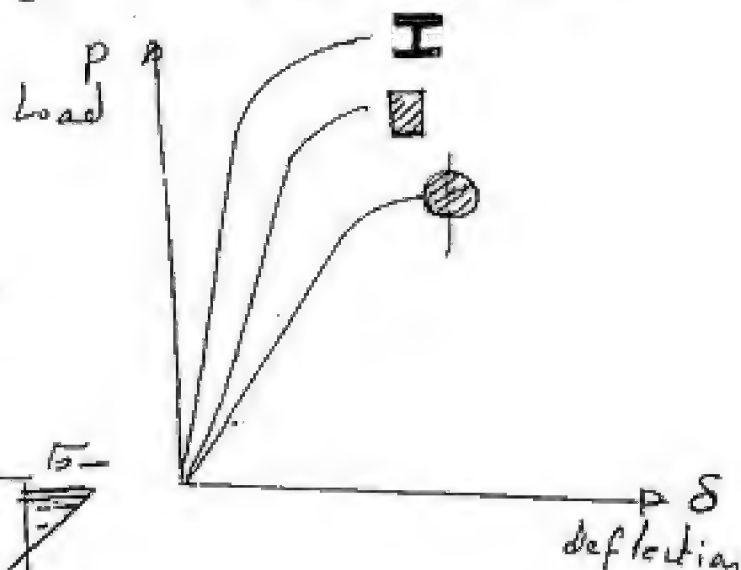
نلاحظ وجود جزء كبير من منطقة 4-point bend، بكرة 4-point bend، صرف القص، عزم (بنت) بنينا (3-point bend) نقطة واحدة فقط صرف القص عزم لوجود تنقيح بكرة 4-point bend (3-PB) < (4-PB) مع حاله

$$\sigma_{ult}^{4PB} < \sigma_{ult}^{3PB}$$

Q₁₁ * show the effect of cross section shape (O, □, I) on flexure strength?

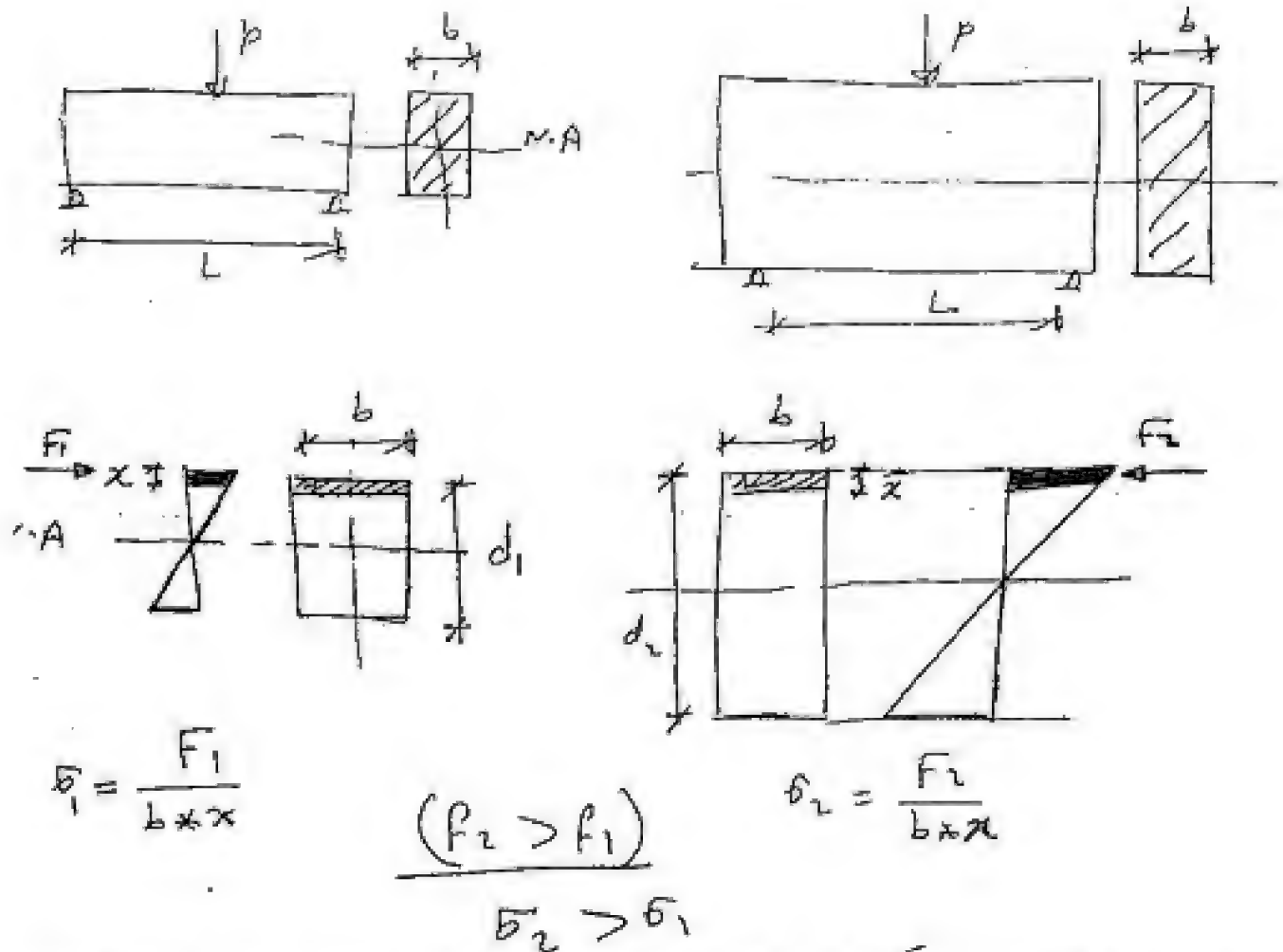
وضح تأثير المقطع مع مقاومة الانحناء.

باعتبارنا يوضح انه بشكل هذا الشكل يعطى
اقل كثافة ممكنة (I) يعطى اقل
كثافة .



نلاحظ انه المقطع هذا ليس يعطى مساحة اقل في مواضعه
البرهونات الكبيرة ومساحة اقل في مواضع البرهونات الصغيرة
حيث ان كثافته متغيرة وهذا يثبت ان (I) هي اقل كثافة
كثافة .

Q12 * what is the effect of specimen depth on bending strength?



* بزيادة حجم المادة يزداد الاستطاعة المرنية وبالتالي تزداد
 قدرة تحمل المقطعات المستطانية، بمعنى زيادة تآكل عمق المادة
 تقل مقاومتها للانحناء.

* هناك سبب آخر كما زاد حجم المادة تزداد حجمها وبالتالي يزداد
 كمية العيوب الموجودة به وتزداد الاستطاعة المرافقة عند انحناءه
 ان به عيوب رقيقة في سطحه.

Metallurgy

$$\frac{21}{2}$$

* Give three different types of engineering materials and give an application for each one?

آذکر ملاقات انجاء محمود احمدیہ رآذکر تعلیم سکول

1. metallic materials $\bar{z}i\bar{z}e, \bar{z}z\bar{z}1$

Example (A1).

[illegible]

آئید ہوسیم .
الکرنیات . Cranics 2

Example (SiO_2) آکسید سیلیکون ، (Al_2O_3)

سینمائی عہدہ انرجائیج

3 Polymer البوليمرات

از علی ط

Example (rubber)

سینہ : حفاظت کمارش ہے (۱۰)

Q2

* Give reason why Al (metals) is good conductor while Al_2O_3 (ceramics) are insulator.

روضہ لاذا اللہوسیم (نذر) موملہ ہوتا ہے یا اللہوسیم
(خریات) یعتبہ لازلہ .

(Al) is (metallic bond)

الأكسجين رابطة فلزية . أي روابط فلزية تحتوي على إلكترونات حرة كثيرة . بإمكان تكون توصيلية عالية .

(Al_2O_3) is (ionic bond)

أكسيد الألمنيوم رابطة أيونية متعادلة مستقرة لا يوجد بها إلكترونات حرة وبإمكان نقل توصيلية في الألمنيوم .

Q3 * melting point of (Al_2O_3) is more than
melting point of (Al)
نقطة الانصهار .

Al_2O_3 is (ionic bond)

أكسيد الألمنيوم رابطة أيونية مستقرة رشيقة تحتاج لدرجة حرارة كبيرة صانعة كسرهما جينا . الألمنيوم رابطة فلزية رص ضعيفة تحتاج لدرجة حرارة أقل .

Q4 * what is the effect of temperature on the
conductivity of metals & ceramics & semi-conductor.

1- in metals

زيادة درجة الحرارة تقلل من حركة الإلكترونات ، حركة الإلكترونات تقل التوصيلية

2- in Ceramics & Semi-conductor

زيادة درجة الحرارة تزيد عدد الإلكترونات الحرة وحرارة حركتها
التوصيلية .

* unit cell :- U.C.
اصغر دھرتی لیباری ہڈتے داخل ہلات

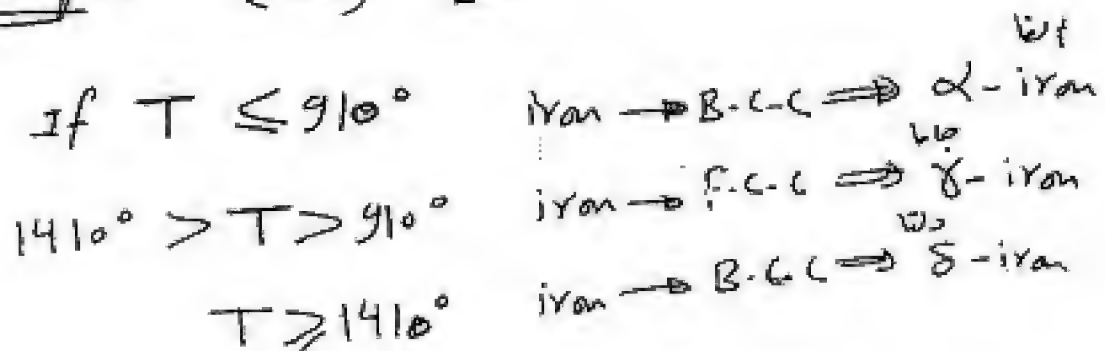
* Atomic packing factor (A.P.F)

unit cell معاملے پھر ہم اکیڑا ہڈتے شغل ہڈرات داخل

B.C.C	APF = 0.68	ازہیات
F.C.C	APF = 0.74	مطلوب
H.C.P	APF = 0.74	

* Allotropy اناصل
صظا صر ر ہڈر ہلات اناصل صر صر ہڈر ہلات
صرات شغل

Example (iron) اکس



* linear density :- (L.D) كثافة الخطية

no of atoms per unit length (atom/cm)

* planar density :- (P.D) الكثافة السطحية

no of atoms per unit Area (atom/cm²)

* Slip direction اتجاه الانزلاق

the most packed direction in (u.c)

هو الاتجاه الأكثر كثافة في البنية (u.c) (L.D)

* Slip planes مستويات الانزلاق

the most packed planes in unit cell

هي المستويات الأكثر كثافة في البنية (P.D)

* Slip system نظام الانزلاق

It's a combination of slip directions

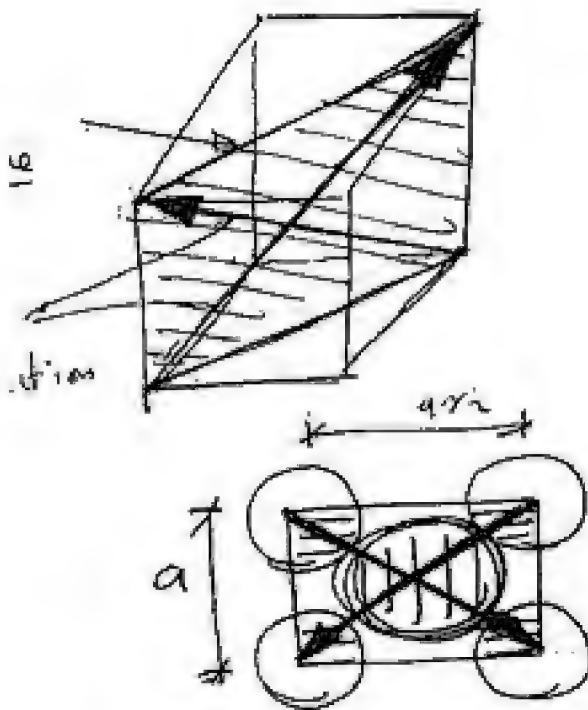
and slip planes (the most packed directions}

in the most packed planes)

هو تجميع اتجاهات الانزلاق ومستويات الانزلاق

* slip system

B.C.C

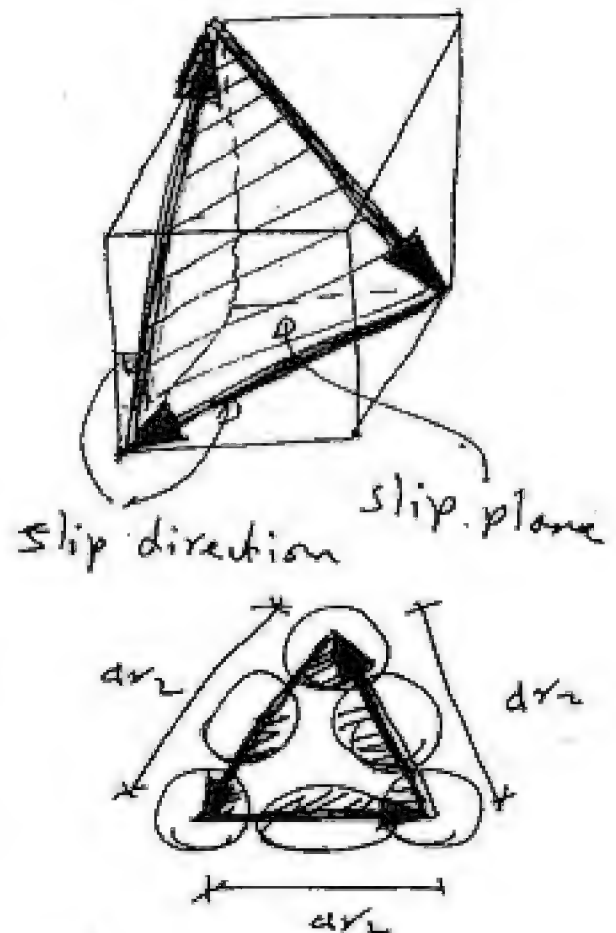


slip plane (110)
 (101)
 (011)

slip direction $[111]$

no of slip direction in
 slip plane = 2

F.C.C



slip plane (111)
 slip direction $[110]$
 $[101]$
 $[011]$

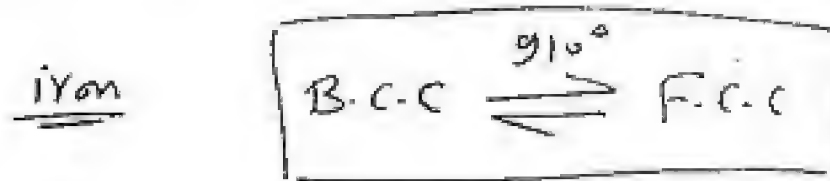
no of slip direction
 in slip plane = 3

\therefore no of slip system in F.C.C is more than B.C.C

\therefore Ductility of F.C.C $>$ B.C.C

$APF_{FCC} > APF_{BCC}$ \Rightarrow $\mu_{FCC} > \mu_{BCC}$

* change in Volume From Allotropic transformation



$$V_{\text{iron}}(\text{B.C.C}) = a_{\text{B.C.C}}^3$$

$$V_1 = V_{\text{(one atom)}}_{\text{(B.C.C)}} = \frac{V_{\text{iron}}}{\text{no of atoms}} = \frac{a^3(\text{B.C.C})}{2}$$

$$V_{\text{iron}}(\text{F.C.C}) = a_{\text{F.C.C}}^3$$

$$V_2 = V_{\text{(one atom)}}_{\text{(F.C.C)}} = \frac{V_{\text{iron}}(\text{F.C.C})}{\text{no of atoms}} = \frac{a^3(\text{F.C.C})}{4}$$

$$\Delta V = \left(\frac{V_1 - V_2}{V_2} \right) * 100 \%$$

* يجب مذاكرة حساب المواد (Defects)

Answer the following questions

Question #1

- Calculate the planar density of atoms (atoms/cm²) in BCC iron ($a_0 = 2.86 \text{ \AA}$) in the (100), (110) and (111) planes.
- Prove that the atomic packing factor (APF) in BCC structure is equals to 0.68.
- Discuss in details the types of point defects that may occur in metallic solid materials.

Question #2

- a) Define:

Ductility - Modulus of resilience- stiffness- proof stress

- Explain the fracture behavior of brittle and ductile materials under tension test?
- Explain the effect of specimen size and height on the ultimate compressive strength of brittle materials?
- Why a barrel shape is formed in the test specimen during compression test?
- A tensile test was carried out on a long test specimen of 10 mm diameter and the following data were obtained:

P, kN	0	5	8	11	13	15	16.5	17.5	17	15
Δl , mm	0	0.05	0.08	1	1.5	3.5	6	9	11	15

- Stiffness
- 0.2 % proof stress
- Ultimate tensile strength
- True stress and true strain at initial necking
- Modulus of toughness
- Based on the ductility index, classify the type of the used material.

GOOD LUCK

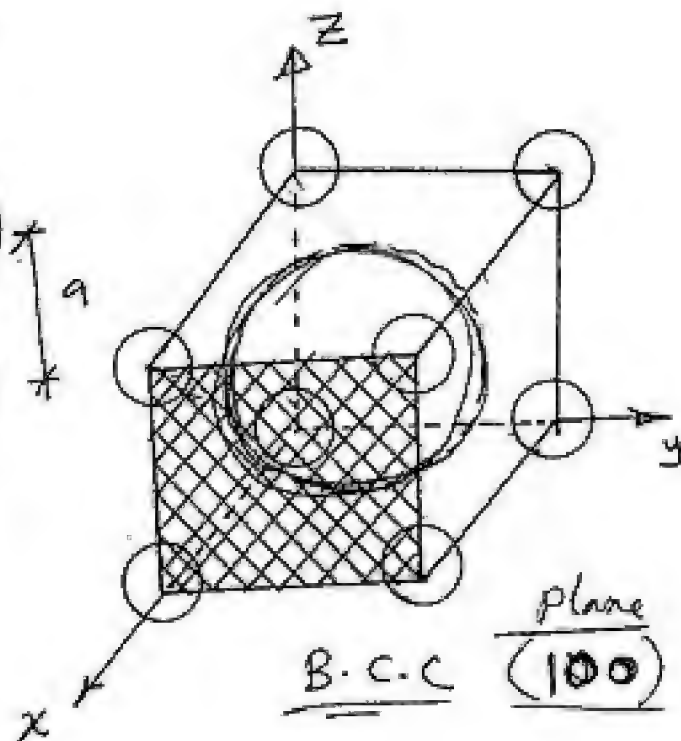
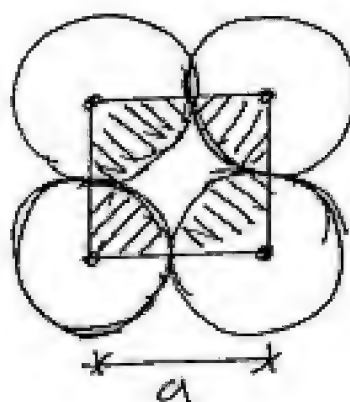
* Mid Term Exam 2005 *

* Question no(1)

a) Calculate the planar density of atoms
(atoms/cm²) in B.C.C iron ($a_0 = 2.86 \text{ \AA}$) in the
(100), (110) and (111) planes.

Solution

Plane (100)



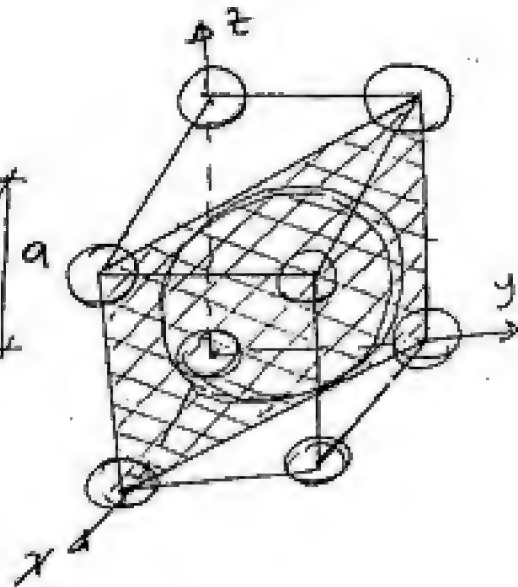
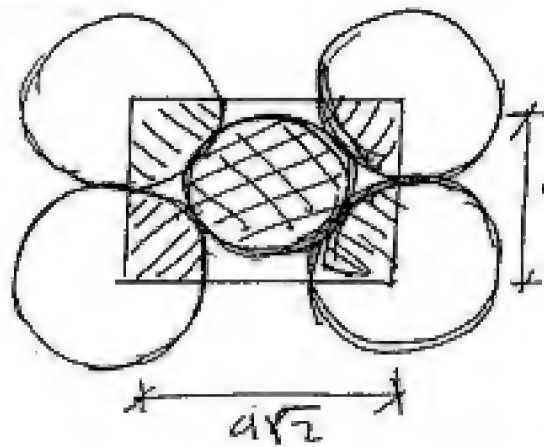
planar density (P.D) =

$$= \frac{\text{no. of atoms / plane}}{\text{Area of this plane}}$$

$$P.D_{(100)} = \frac{4 \times \frac{1}{4}}{a^2} = \frac{1}{(2.86 \times 10^{-8})^2} = 0.122 \times 10^{16} \text{ atom/cm}^2$$

↓ (cm²)

plane (110)

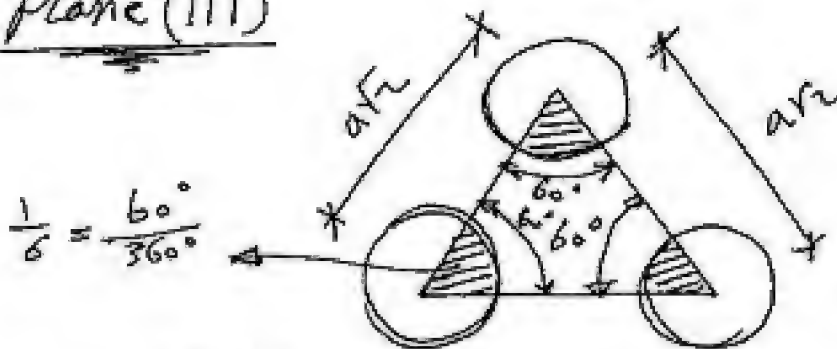


$$P.D = \frac{4 \times \frac{1}{4} + 1}{a \times a\sqrt{2}}$$

$$P.D_{(110)} = \frac{2}{a^2 \sqrt{2}} = \frac{2}{(2.86 \times 10^{-8})^2 \times \sqrt{2}} = 0.173 \times 10^{16} \text{ atom/cm}^2$$

slip plane

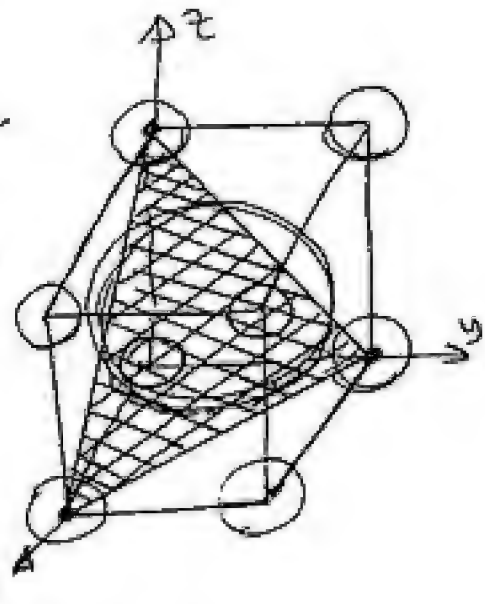
plane (111)



$$P.D = \frac{3 \times \frac{1}{6}}{a\sqrt{2}} \left(\frac{1}{2} \times (a\sqrt{2} \times a\sqrt{2}) \times \sin 60 \right)$$

$$= \frac{0.5}{0.5 \times 2a^2 \times \frac{\sqrt{3}}{2}} = 0.07 \times 10^6$$

$$P.D_{(111)} = 0.07 \times 10^6 \text{ atom/cm}^2$$



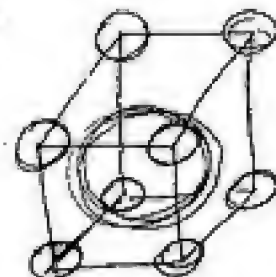
b) prove that the atomic packing factor (APF)
in B.C.C structure is equal to 0.68

$$A.P.F = \frac{\text{no of atoms/unit cell} \times \text{Volume (atom)}}{\text{Volume of unit cell}}$$

$$= \frac{2 \times \frac{4}{3} \pi R^3}{a^3}$$

for B.C.C $\Rightarrow a = \frac{4}{\sqrt{3}} R$

$$A.P.F = \frac{2 \times \frac{4}{3} \pi R^3}{\left(\frac{4}{\sqrt{3}}\right)^3 R^3} = 0.68 \quad \#$$



B.C.C

c) Discuss in details the types of point defects
that may occur in metallic solid materials.

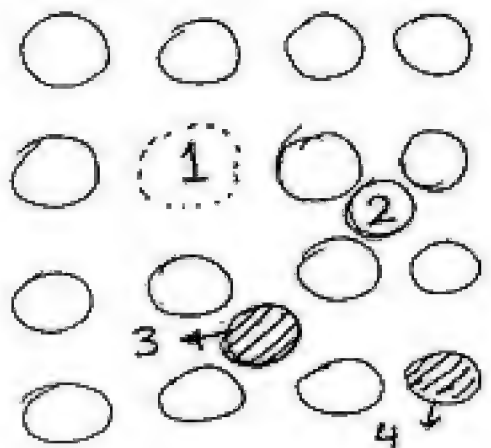
① VolCanCies الفجوات

* فراغ ناتج عن عدم وجود ذرة
أو آت في مكانه

* a) temperature $\uparrow \Rightarrow$ no of VolCanCies \uparrow
التردد

* as VolCanCies $\uparrow \Rightarrow$ Conductivity \downarrow

* as VolCanCies $\uparrow \Rightarrow$ Density \downarrow
الكثافة



② Self interstitial atoms

* ذرة اوتز من نفس نوع \uparrow (self) محبوسة داخل الفراغات.
(If A.P.F is low)

as self interstitial atoms $\uparrow \Rightarrow$ Density \uparrow
Conductivity \downarrow
Ductility \downarrow
strength & Hardness \uparrow

③ Interstitial impurities

* ذرة غريبة كحل ذرة اقلية محبوسة داخل الفراغات البينية.

مثال (ذرة الكربون تكون محبوسة داخل ذرات الحديد في steel)

as interstitial impurities $\uparrow \Rightarrow$ Density \uparrow
Ductility \downarrow
strength \uparrow

④ Substitutional impurities

* ذرة اوتز تحل ذرة اقلية، نفس مكانها.

Brass $\left\{ \begin{array}{l} \text{Cu} \quad \underline{\text{F.C.C}} \\ \text{Ni} \quad \underline{\text{F.C.C}} \end{array} \right.$ $\text{او } \text{Cu}$

70% Cu < 30% Ni

* Mid-Term Exam 2005 *

* Question No(2)

a) Define :-

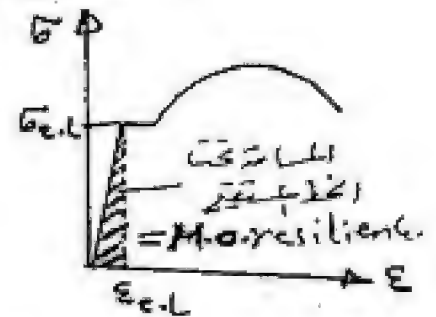
- Ductility . المطولية

* هي خاصية تعبر عن درجة استطالة المادة .

- Modulus of resilience . معيار المرونة

* هو أقصى استطالة خلال مرحلة التحميل المرنة
بالكامل بعد إزالة الحمل .

$$U.R = \frac{1}{2} * \sigma_{e.L} * \epsilon_{e.L}$$



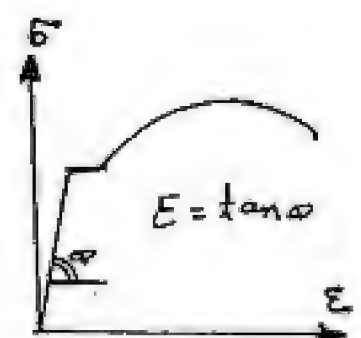
- Stiffness . الصلابة

* هي خاصية تعبر عن مقاومة المادة للتشوه أو التمدد .

$$E = \frac{\sigma_{e.L}}{\epsilon_{e.L}} \leftarrow \text{Modulus of elasticity. المرونة}$$

(E) ← يزداد مع زيادة استطالة المادة

الخط المرن زاد stiffness



- Proof stress . إجهاد إبقاء

- * هو الإجهاد الذي يُسبب في العينة استطالة لا تنعكس
- * مساوية لنسبة كدرة مع طول العينة
- * يستخدم في التعبير بـ σ_p إجهاد الخضوع في العينات
- التسليح بـ خضوع .

b) Explain the fracture behavior of Brittle and ductile materials under tension test ?

* Ductile materials Shear Failure

Cup and Cone failure

إسقاط إبقاء

* يحدث الإبقاء في منطقة



① separation due to Tension stress

يحدث الانفصال في الشيفت نتيجة إجهادات

② shear failure

يحدث الإسقاط في الشيفت نتيجة إجهادات

القص . العينة تكون سميكة في الوسط

إجهادات القص Shear failure

* Brittle materials Tension failure

Separation or Tensile fracture

إسقاط نتيجة إجهادات
التسليح في سكون
عند نهاية الإبقاء



* المواد الهشة

تقاومتها للتسليح أقل من

المواد المطيعة . Ductile mat.

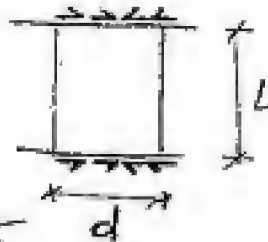
c) Explain the effect of specimen size and height on the ultimate compressive strength of brittle materials?

- $\frac{L}{d}$ must be not small & not large.

1- If $\frac{L}{d}$ is too small.

سوف يزداد الإجهاد مع زيادة

الصلابة، ولذلك تأثير buckling



2- If $\frac{L}{d}$ is too large

سوف يكون تأثير (buckling) أكبر

كبير ويكون تأثير الإجهاد



buckling effect.
تأثير مدرف
الإجهاد

الملاحظة
الوجهية
المدرف
في الجزء
المتوسط

d) Why a barrel shape is formed in the test specimen during compression test.

1- الإجهاد يزداد مع زيادة

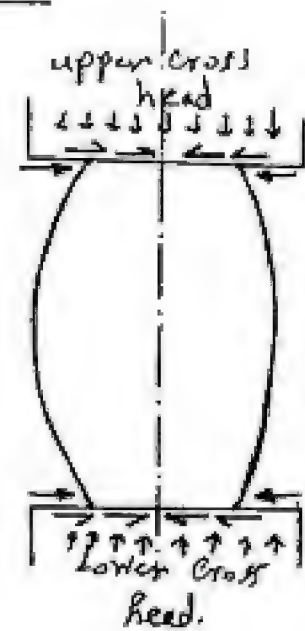
الصلابة (Lateral expansion)

وتتولد الإجهاد تدريجياً مع

زيادة هذا الإجهاد كما بعدنا عن

نصف تقطع للعين (barrel shape)

أو بشكل البرميل.



e) A tensile test was carried out on long test specimen of 10 mm diameter and the following data were obtained :-

elastic stage \longleftrightarrow elastic-plastic \longleftrightarrow failure stage

$P, \text{ kN}$	0	5	8	11	13	15	16.5	17.5	17	15
$\Delta L, \text{ mm}$	0	0.05	0.08	1	1.5	3.5	6	9	11	15

Required :-

a) stiffness $\sim \frac{1}{\Delta l}$

تقاسم بجای بر فرضه (سج)

$$E = \frac{5e \cdot L}{\varepsilon e \cdot L}$$

$$\sigma_{e.L} = \frac{P_{e.L}}{A_0} = \frac{8}{\frac{\pi (1)^2}{4}} = 10.186 \text{ KN/cm}^2$$

$$\epsilon_{e-L} = \frac{\Delta L_{e-L}}{L_0} \quad \text{for long specimen } L_0 = 10d$$

$$\Sigma_{e.L} = \frac{0.08}{100} = 8 \times 10^{-4}$$

$$= 10 \times 10$$

$$= 100 \text{ mm}$$

$$\therefore E = \frac{10.186}{8 \times 10^{-4}} = 1.27 \times 10^4 \text{ kN/cm}^2$$

b) 0.2 % proof stress nice job!

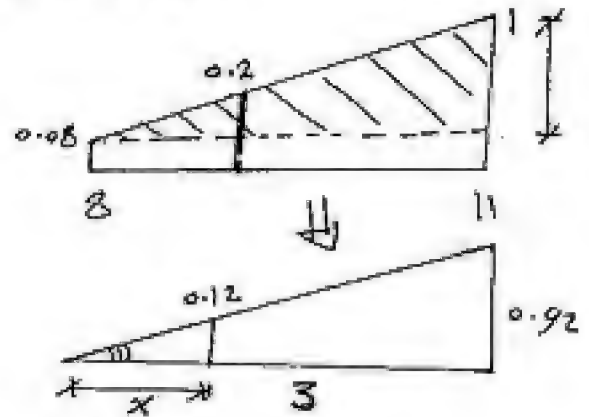
$$\varepsilon = 0.2 \% = \frac{0.2}{100} = 0.002$$

$$\Rightarrow \frac{\Delta L}{L_0} = \varepsilon \Rightarrow \Delta L = \varepsilon \times L_0 = 0.002 \times 100 = 0.2 \text{ mm}$$

$$\therefore P_{\text{proof}} = 8 + 0.391 = 8.391 \text{ kN}$$

$$\bar{\sigma}_{\text{proof}} = \frac{P_{\text{proof}}}{A_0}$$

$$\therefore \bar{\sigma}_{\text{proof}} = \frac{8.391}{\frac{\pi}{4} (1)^2} = 10.68 \text{ kN/cm}^2$$



$$\frac{0.92}{3} = \frac{0.12}{x} \Rightarrow x = 0.391$$

c) Ultimate tensile strength. (مقاومة الشد)

$$\bar{\sigma}_{\text{ult}} = \frac{P_{\text{ult}}}{A_0} = \frac{17.5}{\frac{\pi}{4} (1)^2} = 22.28 \text{ kN/cm}^2$$

d) True stress and true strain at initial necking
initial necking (نقطة الرقبة) \Rightarrow at max. stress.

$$\bar{\sigma}_{\text{ult}} = 22.28 \text{ kN/cm}^2 \quad \text{عند } L = L_0 \text{ و } \varepsilon$$

$$\epsilon (\text{at max stress}) = \frac{\Delta L (\text{max stress})}{L_0} = \frac{9}{100} = 0.09$$

$$\therefore \sigma_t = \sigma_n (1 + \epsilon_n) = 22.28 (1 + 0.09) = 24.29 \text{ kN/cm}^2$$

$$\epsilon_t = \ln(1 + \epsilon_n) = \ln(1 + 0.09) = \ln(1.09) = 0.086$$

e) Modulus of toughness . حابر لمتانة

* يقع لوجودة في المبداء بتمه أنه لا يوجد مرحلة خضوع
(no yield stage) ، العينة 2

$$M.O.T = \left(\frac{\sigma_{max} + \sigma_{proof}}{2} \right) * \epsilon_{max}$$

$$\sigma_{max} = 22.28 \text{ kN/cm}^2 < \sigma_{proof} = 10.68 \text{ kN/cm}^2$$

$$\epsilon_{max} = \frac{\Delta L_{max}}{L_0} = \frac{15}{100} = 0.15$$

$$M.O.T = \left(\frac{22.28 + 10.68}{2} \right) * 0.15 = 2.47 \text{ kN/cm}^2$$

f) Based on the ductility index, classify the type of the used material.

* Ductility index is (% elongation)

$$\begin{aligned}\% \text{ elongation} &= \frac{\Delta L_{f.(\max)}}{L_0} \times 100 \% \\ &= \frac{15}{100} \times 100 = 15 \%\end{aligned}$$

$$\therefore \% \text{ elongation} \geq 15 \%$$

∴ material is Ductile material

19
4th
11/11

Faculty of engineering
Civil engineering

1st year

Material

Solved final
term
2006



Answer the following questions. Indicate the units and use illustrative sketches wherever it is necessary.

Question # 1

- Give reasons why aluminum is a good conductor while Al_2O_3 is an insulator.
- The atomic diameter of an iron atom is 2.492 \AA ; Calculate the lattice constant of BCC iron? If atomic weight of iron is 55.85 gm/mol ; calculate the density of BCC iron? (Avogadro's No. = 6.02×10^{23} atoms/atomic weight)
- If slip planes of FCC copper is $\{111\}$ planes, sketch the atomic arrangement in one of these planes and mark the $\langle 110 \rangle$ slip directions on it?
- Show the Burger's vector of an edge and screw dislocation lines.
- The plastic deformation of metallic materials depend mainly on the nature of dislocations present in the material; Discuss in details.

Question # 2

- What is the difference between ordinary stress and true stress, derive the relation between them?
- Explain the three methods of estimating modulus of elasticity for materials having non-linear stress-strain behavior.
- What is the purpose of spherical seating block in compression testing machine? List the various precautions that should be taken in positioning it?
- A tensile test specimen of 20 mm diameter was tested under tension up to fracture. Some of the test results were recorded as follows.

Load (kN)	Proportional limit	Maximum	Fracture
	65	115	100
Elongation (mm)	0.25	35	45

The elongation percentage was 22.5 % and the smallest cross section area (at fracture) was 1.6 cm^2 . Find:

- Ductility
- The tensile strength
- The stiffness
- True stress and true strain at fracture.
- Modulus of resilience
- Explain the Fracture behavior of the tested material

Question # 3

- State the limitations of compression test?
- What are the properties measured from gold bead test? Explain the four modes of failure under this test?

- c) A three-point bending test was carried on a cast iron beam of circular cross section and 300 mm loaded span. If the modulus of resilience of the tested material was 0.02 N.mm/mm^3 , and the following readings were recorded:

Load, kN	1.5	3	4.5	6	7.5	9	10.50	11
δ , mm	1	2	3	4.5	5.25	7	9	failure

Draw the load-deflection diagram and find:

- Diameter of the beam
- Modulus of rupture
- Modulus of elasticity
- Elastic bending strength
- Fracture shape of test specimen

Question #4

- Explain the effect of making hardness test near the edge of specimen or near an old indentation on the Brinell hardness number and state the minimum distance?
- State the limitations of Brinell hardness test.
- A torsion test was done on solid metal rod specimen of 15 mm diameter. The modulus of rigidity was $1.7 \times 10^4 \text{ N/mm}^2$. The following readings was recorded:

T , (N.m)	0	40	80	100	120	140	160	175	190	200
θ , degree	0	4	8	20	5	100	150	250	500	800

Find:

- The length of the rod
- Design stress if the factor of safety equals 3
- Ultimate shear strength
- Poisson's ratio of material
- Modulus of elasticity if poisson's ratio ($\nu = 0.3$)
- Discuss the fracture shape of test specimen

Question #5

- What is the property measured from impact test and why the impact test specimen is notched?
- Explain the effect of temperature on the impact fracture energy?
- Define fatigue and state the characteristics of fatigue failure?
- A structural element is subjected to repeated loads change from +6 to -2 tons. Find the cross sectional area of this part using Soderberg and Goodman rules.
The tensile strength = 60 kg/mm^2 , Yield strength = 40 kg/mm^2 , Fatigue limit = 18 kg/mm^2
Take the factor of safety for static and fatigue loadings equals to 2

Question #6

- أشرح كيفية تعيين نسبة انتماس الأحجار للماء؟
- أشرح طريقة صناعة أحجار خبث الأفران العالية والطوب الرملية الخفيف مع ذكر خواص كل منها؟
- أذكر مع ذكر أنواع المواد اللاصقة؟ ووضح كيف يمكن أن تتركب بين كل من الجير الحي والمطفأ والجبس؟
- أشرح كيفية تعيين كمية المياه الزائدة للشاب أيضاً تعيين زمن الشك الابتدائي للجبس؟
- أشرح كيفية تصنيع الأسفلت مع ذكر أنواعه؟ يربط الموجودة في الأسفلت؟

Good Luck

Final Term Exam (2006)

Question No (1)

a) Al is Good conductor while Al_2O_3 is an insulator.

* وذلك لوجود الإلكترونات الحرة في الألومنيوم
(رابطية فلزية) وعدم وجود الإلكترونات الحرة في أكسيد
الألومنيوم (رابطية أيونية).

b) Given

القطر

Diameter of an iron atom = 2.492 \AA

(1) * get lattice constant of B.C.C iron?

↓ If atomic weight = 55.85 gm/mol

(2) * get the density of B.C.C iron?

If Avogadro's $N_0 = 6.02 \times 10^{23} \text{ atom/atomic weight}$.

Solution
↓

For B.C.C

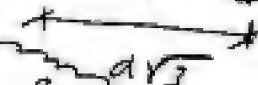
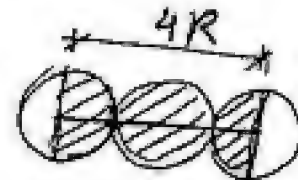
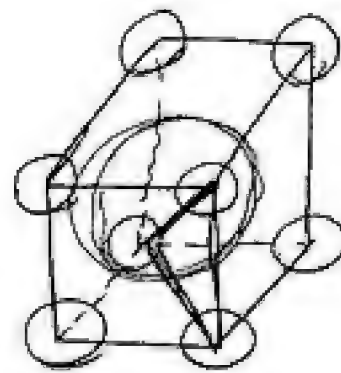
$$a\sqrt{3} = 4R$$

$$a = \frac{4R}{\sqrt{3}}$$

$$\therefore R = \frac{\text{Diameter}}{2} = 1.246 \text{ \AA}$$

$$= 1.246 \times 10^{-8} \text{ cm}$$

$$a = \frac{4 \times 1.246 \times 10^{-8}}{\sqrt{3}} = 2.88 \times 10^{-8} \text{ cm}$$

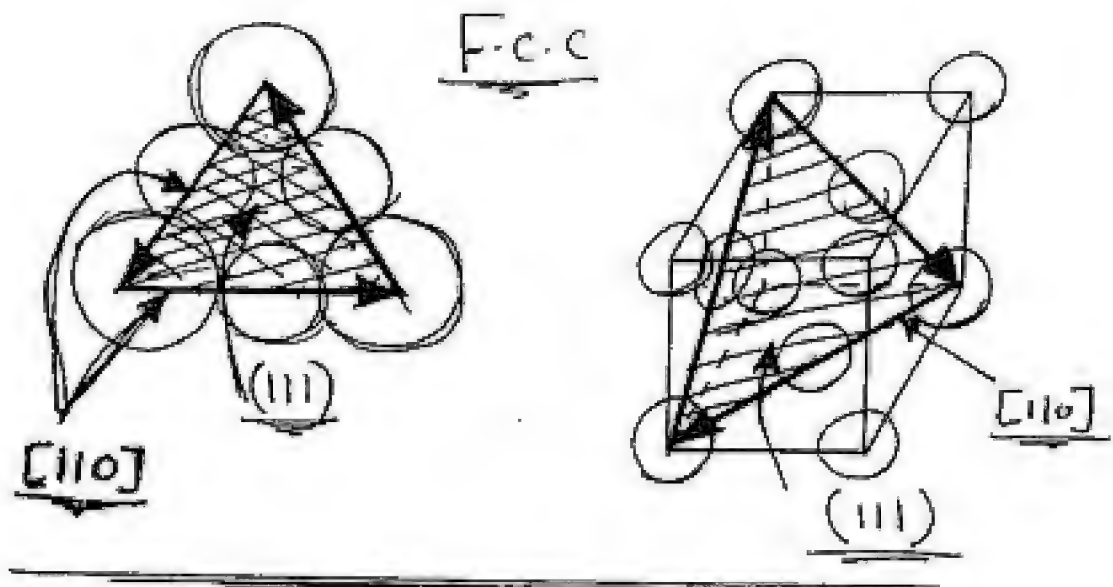


* Density

$$\rho_{\text{B.C.C}} = \frac{m}{V} = \frac{\text{no of atoms} \times \frac{\text{atomic weight}}{6.02 \times 10^{23}}}{a^3}$$

$$\rho_{\text{B.C.C}} = \frac{2 \times \frac{55.85}{6.02 \times 10^{23}}}{(2.88 \times 10^{-8})^3} = 7.767 \text{ gm/cm}^3$$

- c) If slip plane of f.c.c Copper is (111) plane sketch the atomic arrangement in one of these planes and mark $\langle 110 \rangle$ slip direction on it ?



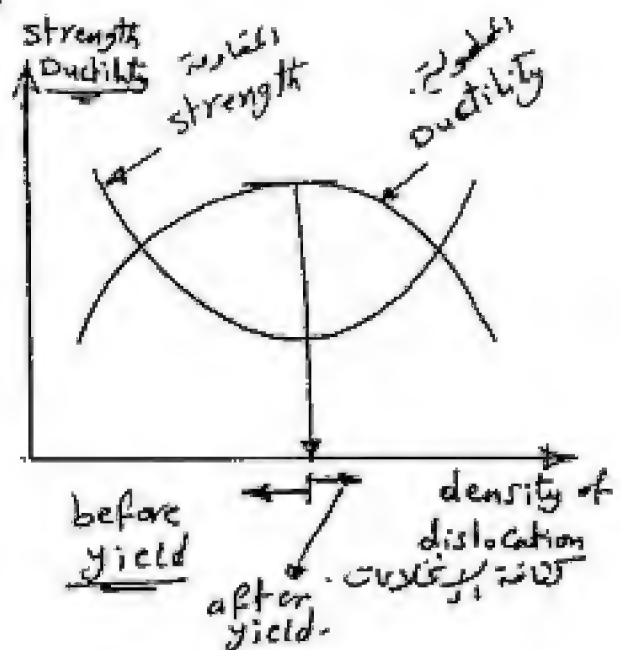
d) the plastic deformation of metallic material depend mainly on the nature of dislocation present in the material, discuss in details.

Solution

* قبل از ایجاد اختلال
زاد است این اختلالات تنزداد
الخطوية و strength



* بعد از عبور اختلال
الخطويات تنقل الخطوية و تنزداد
strength



Question No (2)

- a) what is the difference between ordinary stress and true stress, drive the relation between them?

ordinary stress

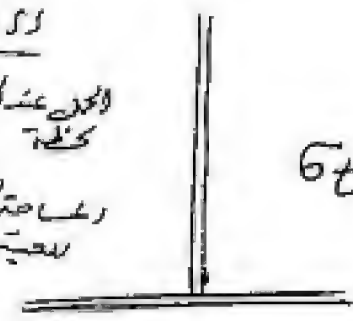
$$\sigma_n = \frac{P_i}{A_0}$$

الضغط عند كل لحظة / مساحة المقطع الأصلي

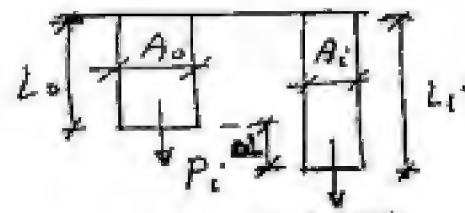
true stress

$$\sigma_t = \frac{P_i}{A_i}$$

الضغط عند كل لحظة / نفس المقطع



$\sigma_t = \sigma_n (1 + \epsilon_n)$



$A_0 L_0 = A_i L_i$

from Constant Volume

$\sigma_t = \frac{P_i}{A_i}$

$A_i = \frac{A_0 L_0}{L_i}$

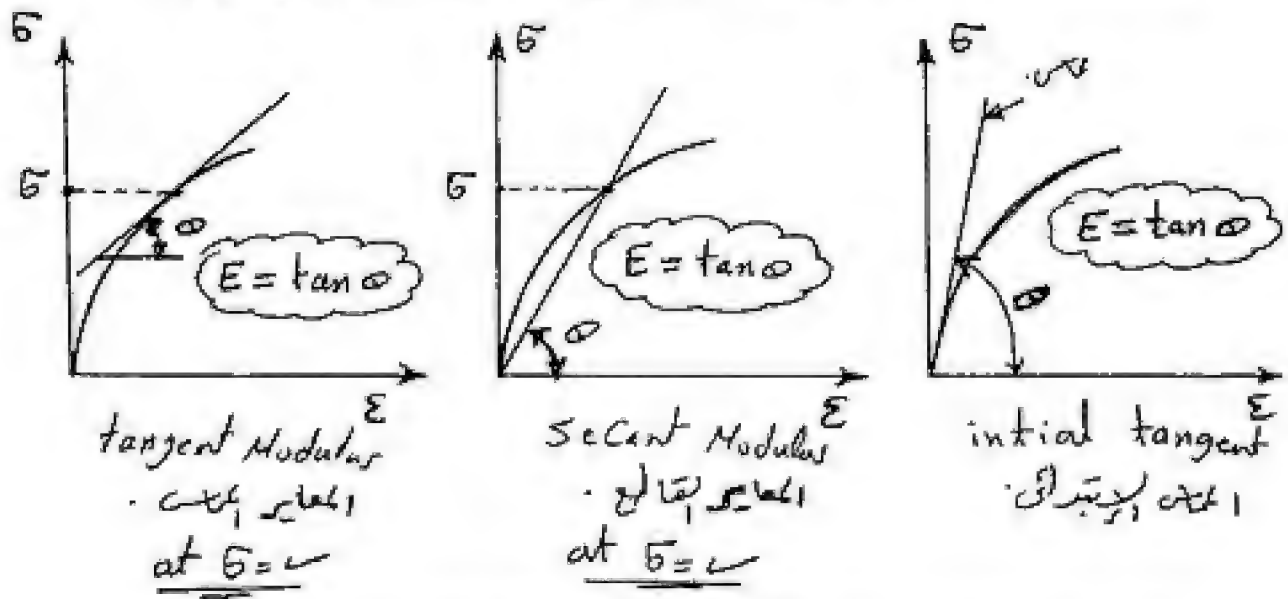
$\sigma_t = \frac{P_i L_i}{A_0 L_0} = \sigma_n \left(\frac{L_i}{L_0} \right)$

$= \sigma_n \left(\frac{L_0 + \Delta L}{L_0} \right)$

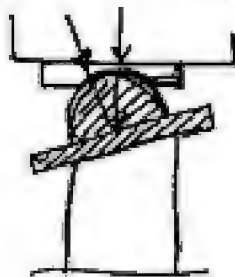
$\sigma_t = \sigma_n (1 + \epsilon_n)$ #

b) Explain the three methods of estimating modulus of elasticity for material having non-linear (stress-strain) behavior.

ثلاث طرق لحساب (E) للمواد التي ليس لها علاقة غير خطية.



c) What is the purpose of spherical seating block in compression testing machine?



للتغلب على عدم استواء العين وعدم توازي سطح العين.

Question No (3)

a) state the limitations of Compression test.
 اذكر اوجه العجز في اختبار الضغط.

- ١- صعوبة التحليل لحمل كوراصفينة.
- ٢- الطبيعة الغير متزنة للاختبار.
- ٣- الاختلاف بين سطح الضغط وخصائص المادة في نفس بؤرة التحمل.
- ٤- الحصول على طبيعة متزنة للبيانات باستخدام عينات ذات حجم كبير والى تحتاج لآلات ذات سعة كبيرة.

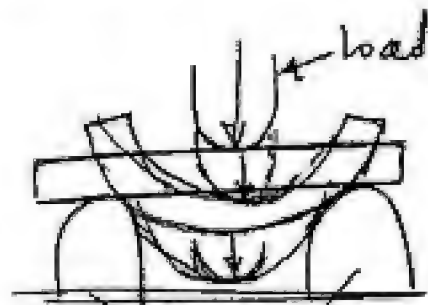
b) What are the properties measured from Cold bend test? Explain the four modes of failure under this test?

* اختبار البند البارد

- ١- حساب الانحراف النسبي
- ٢- اختبار البند البارد

* 4-modes of failure

- 1- Failure in outer fiber due to tension stress
- 2- " " inner " " + Compression stress
- 3- " at inclined plane due to shear stress
- 4- Failure due to imperfections.



d) tensile test $d = 20 \text{ mm}$

Load (kN)	Proportional limit	Maximum	Fracture
	65	115	100
Elongation (mm)	0.25	35	45

$$\% \text{ elongation} = 22.5\% \quad \& \quad A_f \left(\frac{L_0}{A_1} \right) = 1.6 \text{ cm}^2$$

find :-

i) Ductility.

$$\% \text{ elongation} = \frac{\Delta L_{\max}}{L_0} \times 100\% = 22.5\%$$

ii) the tensile strength

$$\sigma_{\text{ult}} = \frac{P_{\text{ult}}}{A_0} = \frac{115}{\frac{\pi (20)^2}{4}} = 0.366 \text{ kN/mm}^2$$

iii) the stiffness

$$E = \frac{\sigma_{\text{p.l.}}}{\epsilon_{\text{p.l.}}} = \frac{65 / \frac{\pi (20)^2}{4}}{0.25 / L_0}$$

$$\text{from } \% \text{ elongation} = 22.5\% = \frac{\Delta L_{\max}}{L_0} \times 100$$

$$\Rightarrow \frac{\Delta L_{\max}}{L_0} = 0.225 \Rightarrow L_0 = \frac{45}{0.225} = 200 \text{ mm}$$

$$E = \frac{0.207}{0.25/200} = \frac{0.207}{1.25 \times 10^{-3}} = 165.6 \text{ kN/mm}^2$$

$\sigma_{p.L}$ (above the fraction)
 $\epsilon_{p.L}$ (below the denominator)

iv) True stress and true strain at fracture.

at fracture

$$\sigma_t = \frac{P_f}{A_f} = \frac{100}{1.6} = 62.5 \text{ kN/cm}^2$$

(cm) (below the denominator)

$$\epsilon_t = \ln \frac{A_0}{A_f} = \ln \frac{\frac{\pi \times (2)^2}{4}}{1.6 \text{ (cm}^2\text{)}} = \ln \frac{3.14}{1.6} =$$

$$\epsilon_t = 0.674$$

v) Modulus of resilience.

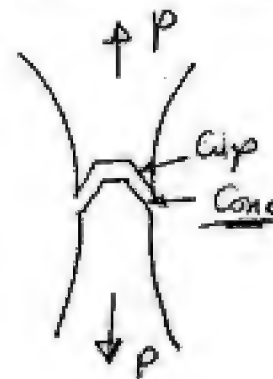
$$M.O.R = \frac{1}{2} \sigma_{p.L} \times \epsilon_{p.L} = \frac{1}{2} \times 0.207 \times 1.25 \times 10^{-3} = 0.13 \times 10^{-3} \text{ kN/mm}^2$$

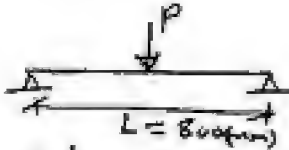
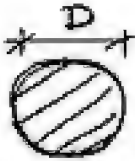
vi) Explain the fracture behavior of tested material.

Cup and Cone Failure

Due to shear stresses.

• $\sigma_{\theta\theta}, \sigma_{\phi\phi}, \sigma_{zz}$ (circumferential, tangential, and axial stresses)



- c) * 3-point bending  
- * Cast iron of Circular cross section
- * Modulus of resilience = $0.02 \text{ N}\cdot\text{mm}/\text{mm}^3$
 $= \underline{0.02 \text{ N}/\text{mm}^2}$

Load (kN) P	1.5	3	4.5	6	7.5	9	10.5	11
S_x (mm)	1	2	3	4.5	5.25	7	9	Failure

(proportional) p.l. \leftarrow 10.5 \rightarrow 9 $\xrightarrow{9.43}$
 11 \rightarrow 2
 $\Rightarrow \underline{\underline{x = 9.43}}$

i) Diameter of the beam

$$\text{Modulus of resilience} = \frac{\frac{1}{2} P \cdot L \cdot S_p \cdot L}{A \cdot L}$$

$$\leftarrow 0.02 \frac{\text{N}}{\text{mm}^2} = \frac{\frac{1}{2} * (4.5 * 10^3) * 3}{A * 800}$$

$$\Rightarrow A = 421.67 \text{ mm}^2 = \frac{\pi d^2}{4}$$

$$\Rightarrow \boxed{d = 23.2 \text{ mm}} \quad \#$$

ii) Modulus of rupture

it's mean maximum bending strength

$$\sigma_{max} = \frac{M_{max} y}{I}$$

$$= \frac{2200 \times 11.6}{14220.7}$$

$$\sigma_{max} = 1.79 \text{ KN/mm}^2$$

$$y = \frac{d}{2} = \frac{23.2}{2}$$

$$= 11.6 \text{ mm}$$

$$I = \frac{\pi d^4}{64} = 14220.7$$

$$\text{mm}^4$$

$$M_{max} = \frac{P_{max} L}{4}$$

$$= \frac{11 \times 800}{4}$$

$$M_{max} = 2200 \text{ KN}\cdot\text{mm}$$

iii) Modulus of elasticity

$$E = \frac{PL^3}{48 \delta I} = \frac{P_{p.L}}{\delta_{p.L}} \times \frac{L^3}{48 I}$$

$$\# E = \frac{4.5}{3} \times \frac{(800)^3}{48 \times 14220.7} = 1.758 \text{ KN/mm}^2$$

iv) Elastic bending strength.

$$\sigma_{e.L} = \frac{M_{p.L} y}{I} = \frac{\frac{P_{p.L} \times L}{4} \times y}{I}$$

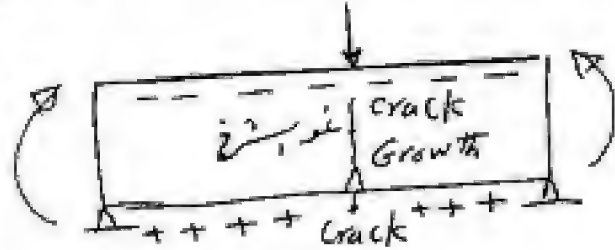
$$\sigma_{e.L} = \frac{\frac{4.5 \times 800}{4} \times 11.6}{14220.7} = 0.734 \text{ KN/mm}^2$$

#

V) Fracture shape of test specimen.

Cast iron \rightarrow Brittle material.

نتیجہ اعزوم کھیت شدہ
دکترہ اسفل در نقطه لا بجز
العلو و سبب حدوث شرف
مکیدت له عن صا کیدت بکسر



Answer the following questions

Question#1

a) Explain why:-

- 1- Aluminum is a conductor while Al_2O_3 is an insulator.
- 2- FCC-metallic materials is more ductile than BCC-metallic materials.
- 3- Grain boundaries may be used to enhance the material's strength.
- 4- Plastic deformation of solid materials depends mainly on the nature of dislocation present in the material.
- 5- The calculated theoretical density of a material may be slightly higher than the value of its experimental density.

b) BCC-iron has an atomic radius of 0.124 nm. Sketch and calculate the linear densities of the $[110]$ and $[111]$.

c) On the same coordinate system, sketch and calculate the planar densities of $(10\bar{1})$ and (111) planes for FCC-copper ($a = 0.362$ nm).

Question#2

a) Define: Stiffness - Proof stress - Toughness

b) A tension test was carried out on a mild steel specimen of 20 mm diameter. The following data were recorded.

	Proportional limit	Maximum load	Failure load
Load, tonf	6.28	10.99	9.42
Δl , mm	0.20	30.00	40.00

The elongation percentage was 20%. Find the following:

- 1- Ultimate tensile strength
- 2- The modulus of resilience
- 3- The modulus of elasticity
- 4- The fracture shape of test specimen

Question#3

a) Discuss the factors controlling the selection of the actual size of the compression test specimen.

b) A cast iron beam of circular cross-section simply supported over a span of 800mm was tested in bending under a central load. If the modulus of resilience of this material was 0.96 N/cm^2 and the loads versus deflection were as follows:

Load, kN	1.5	3	4.5	6	7.5	9	10.5	11
δ , mm	1.05	2.10	3.15	4.2	5.25	6.80	8.88	10

Calculate:

- 1- Diameter of the beam
- 2- The modulus of elasticity
- 3- The modulus of rupture
- 4- The modulus of toughness

Good Luck

FINAL TERM EXAM

Answer the following questions. Indicate units and use illustrative sketches wherever it is necessary. (الامتحان ستة أسئلة في صفتين)

Question # 1 [15 degree]

a) **Define:** Stiffness, Proof stress, Elasticity.

b) A long standard specimen of mild steel was tested in tension. Its diameter was 16 mm. The loads and corresponding extension were as follows:

Load, kN	24	48	45	52	60	70	72	68	60
ΔL , mm	0.06	0.12	1	3	8	18	26	30	32

Find :

- 1- Design stress if the factor of safety equals 3.
- 2- Ultimate tensile strength.
- 3- True stress and true strain at initial necking.
- 4- Ductility.
- 5- Modulus of rigidity if Poisson's ratio equals 0.3.
- 6- Modulus of toughness.
- 7- The fracture shape of the test specimen.

Question # 2 [15 degree]

- a) Why barrel shape is formed during a compression test?
- b) State the limitations of compression test.
- c) State the factors affecting the results of the bending tests.
- d) What is the property that measured from the cold bend test; explain the failure characteristics of test specimen under this test?

Question # 3 [15 degree]

- a) State the limitations of Brinell hardness test.
- b) Explain the effect of making indentation near the edge of specimen on BHN.
- c) A torsion test was done on a mild steel rod specimen of 15 mm diameter. The modulus of rigidity was $1.8 \times 10^5 \text{ kg/cm}^2$. The relation between the applied torque and angle of twist θ was as follows:

T (ton. cm)	0	0.1	0.2	0.5	1.25	1.4	1.6	1.75	1.9	2
θ (Degree)	0	4	8	20	50	100	150	250	500	800

Find:

- 1- Stress at proportional limit.
- 2- Length of the rod.
- 3- Modulus of resilience.
- 4- Ultimate shear strength
- 5- Explain the fracture behavior of test specimen

Question # 4 [15 degree]

- a) Define brittle fracture, state the factors lead to this type of fracture.
- b) Show the effect of temperature on the impact energy.
- c) Define fatigue limit and explain the effect of mean stress on fatigue life:
- d) A simply supported beam is struck at its mid-span by a weight $W = 10 \text{ kN}$ falling freely from a height $h = 100 \text{ mm}$ above the top of the beam. The beam is 5 m span and of a circular cross-section 100 mm in diameter. Take $E = 2 \times 10^5 \text{ N/mm}^2$. Determine the maximum deflection of the beam.

Question # 5 [15 degree]

- a) Give reason(s) for:-
 - 1- High ductility of metallic materials.
 - 2- High strength of mild steel at 25°C as compared to mild steel at 950°C .
 - 3- Low ductility of metallic materials with fine grains.
 - 4- The climb motion of edge dislocation.
 - 5- High hardness of diamond relative to graphite.
- b) Calculate the planar density (atoms/cm²) in the (111) and (110) planes in FCC copper ($a = 0.362 \text{ nm}$). Illustrate your answer with clear sketches.
- c) Zirconium has an HCP crystal structure with atomic weight of 91.2 and a density of 6.51 g/cm^3 .
 - 1- What is the volume of its unit cell in cubic meters?
 - 2- If the c/a ratio is 1.593, compute the values of c and a .

Question # 6 [15 degree]

- a) What are the main differences between:-
 - 1) Plane stress and plane strain conditions.
 - 2) Tresca and von Mises yield criteria.
 - 3) Thermoplastics and thermosets.
- b) Draw the stress-strain curve of thermoplastic materials showing their stages of failures.
- c) What are the advantages and disadvantages of advanced composite materials?

- (d) اشرح أنواع الصخور معطيا امثلة لكل نوع ومجال استخدام الحجارة الطبيعية في البناء والتشييد ؟
- (e) اكتب عن ظاهرة التزهير في الحوائط موضعا كيفية حدوثها وكيف يمكن تجنبها؟

scanner & modified & upload
by

Mahmoud Ashraf

contact info

titanic_ship1912@yahoo.com